

สำนักหอสมุดกลาง พระจอมเกล้าลาดกระบัง

การสร้างอินเวอร์เตอร์พีดับเบิลยูเอ็มกึ่งเรโซแนนท์แบบขนานสวิตซ์ขณะ
แรงดันเป็นศูนย์สำหรับเตาหุงต้มเหนี่ยวนำ

IMPLEMENTATION OF QUASI-PARALLEL RESONANT ZVS-PWM
INVERTER FOR INDUCTION COOKING



ณรงค์ชัย ทศพร

NARONGCHAI THODSAPORN

๑๗.
๐๗ 21/7/17
๑๖๖1

เลขหมู่.....
เลขทะเบียน..... 87117
วัน,เดือน,ปี..... 30 ส.ค. 2552

วิทยานิพนธ์นี้เป็นส่วนหนึ่งของการศึกษาตามหลักสูตรปริญญาวิศวกรรมศาสตรมหาบัณฑิต

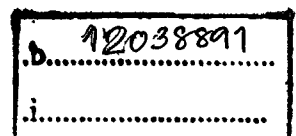
สาขาวิชาวิศวกรรมไฟฟ้า

คณะวิศวกรรมศาสตร์

สถาบันเทคโนโลยีพระจอมเกล้าเจ้าคุณทหารลาดกระบัง

พ.ศ. 2551

KMITL-2008-EN-M-020-188



**IMPLEMENTATION OF QUASI-PARALLEL RESONANT ZVS-PWM
INVERTER FOR INDUCTION COOKING**

NARONGCHAI THODSAPORN

**A THESIS SUBMITTED IN PARTIAL FULFILLMENT
OF THE REQUIREMENT FOR THE DEGREE OF
MASTER OF ENGINEERING IN ELECTRICAL ENGINEERING
FACULTY OF ENGINEERING
KING MONGKUT'S INSTITUTE OF TECHNOLOGY LADKRABANG
2008
KMITL-2008-EN-M-020-188**

COPYRIGHT 2008

FACULTY OF ENGINEERING

KING MONGKUT'S INSTITUTE OF TECHNOLOGY LADKRABANG

หัวข้อวิทยานิพนธ์	การสร้างอินเวอร์เตอร์พีดับเบิลยูเอ็มกึ่งเรโซแนนซ์แบบขนาน สวิตช์ขณะแรงดันเป็นศูนย์สำหรับเตาหุงต้มเหนี่ยวนำ
นักศึกษา	นายณรงค์ชัย ทศพร
รหัสนักศึกษา	46060708
ปริญญา	วิศวกรรมศาสตรมหาบัณฑิต
สาขาวิชา	วิศวกรรมไฟฟ้า
พ.ศ.	2551
อาจารย์ผู้ควบคุมวิทยานิพนธ์	รศ.ดร.วิจิตร กิณเรศ

บทคัดย่อ

วิทยานิพนธ์นี้นำเสนอการออกแบบ วิเคราะห์และสร้างอินเวอร์เตอร์พีดับเบิลยูเอ็มกึ่งเรโซแนนซ์แบบขนาน สวิตช์ขณะแรงดันเป็นศูนย์ สำหรับเตาหุงต้มเหนี่ยวนำ ด้วยหลักการความถี่สวิตช์คงที่ 20 kHz และปรับเปลี่ยนกำลังไฟฟ้าเอาต์พุต โดยการเพิ่มสวิตช์อนุกรม กับคาปาซิเตอร์คร่อมโหลดของอินเวอร์เตอร์ กึ่งเรโซแนนซ์ ซึ่งทำหน้าที่ลดแรงดันตกคร่อมสวิตช์หลัก ทำให้นาฬิกาของอุปกรณ์สวิตช์ ไอจีบีที เสื่อมอีกทั้งเป็นการลดการสูญเสียเนื่องจากแรงดันตกคร่อมสวิตช์สูง ควบคุมการทำงานของวงจรด้วยการแปลงการจำลองการทำงานของโปรแกรม Simulink บนโปรแกรมสำเร็จรูป MATLAB ควบคุมการทำงานไมโครคอนโทรลเลอร์ dsPIC

Thesis Title	Implementation of Quasi-Parallel Resonant ZVS-PWM Inverter for Induction Cooking
Student	Mr. Narongchai Thodsaporn
Student ID.	46060708
Degree	Master of Engineering
Programme	Electrical Engineering
Year	2008
Thesis Advisor	Assoc. Prof. Dr. Vijit Kinnares

ABSTRACT

The thesis presents the design, analysis and implementation of a Quasi-Parallel Resonant ZVS-PWM inverter for Induction Cooking with constant frequency and variable output power. The additional switch and series capacitor are used across the quasi-resonant load. This topology is used for reducing voltage across the main switch resulting in a reduction in IGBTs switch rating. Moreover turn-off switching loss is reduced due to high voltage across the switch. The control of the circuit operation is based on the transformation of the circuit operation in Simulink on dsPIC microcontroller.

กิตติกรรมประกาศ

วิทยานิพนธ์เล่มนี้สำเร็จลุล่วงไปได้ด้วยดีจากความกรุณาของ รศ.ดร.วิจิตร กิณเรศ อาจารย์ผู้ควบคุมวิทยานิพนธ์ที่ได้ให้ความช่วยเหลือ ให้คำแนะนำปรึกษาตลอดจนช่วยแก้ปัญหาต่างๆ เกี่ยวกับการทำวิทยานิพนธ์แก่ข้าพเจ้า

ขอขอบคุณ ผศ.ดร.อนุวัฒน์ งามวิมลเลิศ, ดร.ภพ จันทร์เจริญสุข กรรมการสอบหัวข้อ และโครงร่างวิทยานิพนธ์ ที่ได้ให้คำแนะนำตลอดจนชี้แนะจนทำให้วิทยานิพนธ์นี้สำเร็จลงได้

ขอขอบคุณ อาจารย์ชัยทัต มณีอินทร์ ที่คอยให้คำปรึกษาและชี้แนะแนวทางตลอดจนความรู้เกี่ยวกับวงจรอิเล็กทรอนิกส์และอิเล็กทรอนิกส์กำลัง

ขอขอบคุณ อาจารย์ดุสิต สุขสวัสดิ์ ที่คอยหาแหล่งเงินทุนสนับสนุนการทำวิจัยตลอดมา

ขอกราบขอบคุณ คุณพ่อสมจิตร, คุณแม่ลำดวน ที่คอยให้กำลังใจในการศึกษาเล่าเรียน และเป็นผู้สนับสนุนทุกสิ่งทุกอย่างในการศึกษาเล่าเรียนมาโดยตลอด

ขอขอบคุณ ชูดากรณ์ เทศแก้ว ที่คอยเป็นกำลังใจและคอยดูแลเอาใจใส่ด้วยดีเสมอมา

ขอขอบคุณภาควิชาวิศวกรรมไฟฟ้า, ห้องสมุดคณะวิศวกรรมศาสตร์, สำนักหอสมุดกลาง สถาบันเทคโนโลยีพระจอมเกล้าเจ้าคุณทหารลาดกระบัง ที่เป็นแหล่งสนับสนุนทางด้านตำรา เอกสารอ้างอิง และข้อมูลทางอินเตอร์เน็ตรวมทั้งเครื่องมือและอุปกรณ์ต่างๆ ที่ใช้ในการทำวิจัย

สุดท้ายสำหรับคำขอบคุณอันพิเศษสุดขอมอบให้แก่ พี่ๆ น้องๆ และเพื่อนๆ นักศึกษากลุ่ม PMC สถาบันเทคโนโลยีพระจอมเกล้าเจ้าคุณทหารลาดกระบัง ทุกท่านที่คอยให้ความช่วยเหลือและเป็นกำลังใจด้วยดีตลอดมา

คุณค่าและประโยชน์ที่พึงมีจากวิทยานิพนธ์ฉบับนี้ ข้าพเจ้าขอมอบให้กับ บิดา มารดา ซึ่งเป็นที่รักและเคารพยิ่งของข้าพเจ้า ตลอดจนครูอาจารย์ที่เคารพนับถือและผู้มีพระคุณทุกท่าน

ณรงค์ชัย ทศพร

สารบัญ

	หน้า
บทคัดย่อภาษาไทย.....	I
บทคัดย่อภาษาอังกฤษ.....	II
กิตติกรรมประกาศ.....	III
สารบัญ.....	IV
สารบัญตาราง.....	VII
สารบัญรูป.....	VIII
บทที่ 1 บทนำ.....	1
1.1 ความเป็นมาและความสำคัญของปัญหา.....	1
1.2 ความมุ่งหมายและวัตถุประสงค์ของการศึกษา.....	2
1.3 สมมติฐานของการศึกษา.....	2
1.4 ทฤษฎีหรือแนวความคิดที่ใช้ในการวิจัย.....	3
1.5 ขอบเขตการวิจัย.....	3
1.6 ขั้นตอนของการศึกษาวิจัย.....	3
1.7 โครงสร้างของวิทยานิพนธ์.....	4
บทที่ 2 ทฤษฎีเบื้องต้น.....	6
2.1 บทนำ.....	5
2.2 วงจรเรโซแนนท์.....	5
2.2.1 วงจรเรโซแนนท์แบบอนุกรม (Series Resonant Circuit).....	5
2.2.2 วงจรเรโซแนนท์แบบขนาน (Parallel Resonant Circuit).....	8
2.3 พื้นฐานการให้ความร้อนเหนี่ยวนำความถี่สูง.....	13
2.4 หลักการสร้างกระแสความถี่สูงเพื่อใช้ในการเหนี่ยวนำให้เกิดความร้อน.....	18
2.4.1 โครงสร้างของเตาหุงต้มเหนี่ยวนำความถี่สูง.....	18
2.4.2 อินเวอร์เตอร์พีดับเบิลยูเอ็มกึ่งเรโซแนนท์แบบขนาน ZVS-PWM.....	18
2.4.3 การควบคุมกำลังไฟฟ้าอินพุท.....	20
2.5 สรุป.....	22
บทที่ 3 การวิเคราะห์และการจำลองทำงาน.....	23
3.1 บทนำ.....	23

สารบัญ (ต่อ)

	หน้า
3.2 การวิเคราะห์การทำงานของวงจรอินเวอร์เตอร์กึ่งเรโซแนนท์.....	23
3.2.1 การวิเคราะห์การทำงานของอินเวอร์เตอร์กึ่งเรโซแนนท์ก่อนปรับปรุง.....	23
3.2.2 การวิเคราะห์สภาวะการทำงานของวงจรอินเวอร์เตอร์ที่ดับเบิลยูเอ็มกึ่งเรโซแนนท์แบบขนานหลังปรับปรุง	28
3.3 การจำลองการทำงานของวงจร.....	37
3.3.1 การจำลองอินเวอร์เตอร์กึ่งเรโซแนนท์ก่อนปรับปรุง.....	37
3.3.2 การจำลองการทำงานของอินเวอร์เตอร์กึ่งเรโซแนนท์หลังปรับปรุง	50
3.4 เปรียบเทียบผลจำลองคุณสมบัติของอินเวอร์เตอร์ก่อนปรับปรุงและหลังปรับปรุง.....	60
3.5 สรุป.....	60
บทที่ 4 การออกแบบและสร้างวงจรต้นแบบที่นำเสนอ	65
4.1 บทนำ.....	65
4.2 ชุดวงจร โหลดเรโซแนนท์	66
4.2.1 การสร้างขดลวดเหนี่ยวนำ (LI).....	66
4.2.2 การออกแบบค่าตัวเก็บประจุเรโซแนนท์ (CI).....	67
4.3 การออกแบบวงจรกำลัง.....	68
4.3.1 การออกแบบวงจรเรียงกระแส.....	68
4.3.2 การออกแบบ LC Filter.....	69
4.3.3 วงจรอินเวอร์เตอร์.....	71
4.4 วงจรร่วมอื่นๆ.....	72
4.4.1 วงจรตัดกระแสเกิน (Fuse)	73
4.4.2 วงจรป้องกันแรงดันเกินชั่วขณะ (MOV).....	73
4.4.3 วงจรตัดต่อระบบไฟฟ้าเข้าวงจร (Relay).....	74
4.4.4 ระบบระบายอากาศ (Cooling Fan).....	75
4.5 การออกแบบและสร้างวงจรควบคุม.....	75
4.5.1 การออกแบบและสร้างวงจรตรวจจับกระแสอินพุท (Input Current).....	75
4.5.2 การออกแบบและสร้างวงจรตรวจจับแรงดันอินพุท (Input Voltage)	80
4.5.3 การออกแบบและสร้างวงจรตรวจจับกระแสเอาต์พุท	81
4.5.4 การออกแบบและสร้างวงจรตรวจจับอุณหภูมิ.....	82

สารบัญ (ต่อ)

	หน้า
4.5.5 การออกแบบและสร้างวงจรขับไอจีบีที.....	84
4.6 การออกแบบไมโครคอนโทรลเลอร์และการควบคุม.....	86
4.7 สรุป.....	87
บทที่ 5 การทดลองและผลการทดลอง.....	88
5.1 บทนำ.....	88
5.2 การทดสอบหาระยะ Gap ระหว่างขดลวดกับก้นภาชนะ.....	88
5.2.1 ตัวอย่างการทดสอบที่ระยะ Gap 10 mm.....	89
5.3 การทดสอบเพื่อตรวจสอบการทำงานของเครื่อง.....	95
5.3.1 การตรวจสอบรูปคลื่นตามส่วนต่าง ๆ ของวงจร.....	95
5.3.2 การตรวจสอบสมรรถนะการทำงานของเครื่อง.....	105
5.3.3 การหาประสิทธิภาพทางไฟฟ้า.....	108
5.3.4 การหาประสิทธิภาพรวม.....	109
5.4 สรุป.....	111
บทที่ 6 สรุปผลการวิจัยและข้อเสนอแนะ.....	112
เอกสารอ้างอิง.....	113
ภาคผนวก.....	115
ภาคผนวก ก เครื่องมือที่ใช้ในการทำวิจัย.....	115
ภาคผนวก ข เครื่องต้นแบบที่ใช้ในงานวิจัย.....	119
ภาคผนวก ค ผลงานวิจัยที่ได้รับการเผยแพร่ในวารสารทางวิชาการ.....	122
ประวัติผู้เขียน.....	129

สารบัญตาราง

ตารางที่	หน้า
2.1 เปรียบเทียบคุณสมบัติของวงจรเรโซแนนท์	12
2.2 คุณสมบัติทางไฟฟ้าของวัสดุต่างๆ ที่ใช้ในภาชนะหุงต้มที่ความถี่ 20 kHz.....	16
3.1 ตารางการทำงานของสวิตช์ในแต่ละโหมด	32
3.2 ตัวแปรที่ใช้ในการจำลองการทำงานก่อนปรับปรุง	38
3.3 ค่าองค์ประกอบต่างๆ ทางไฟฟ้าที่ได้จากการคำนวณก่อนปรับปรุง	45
3.4 ตัวแปรที่ใช้ในการจำลองการทำงานหลังปรับปรุง.....	51
3.5 ค่าองค์ประกอบต่างๆ ทางไฟฟ้าที่ได้จากการคำนวณหลังปรับปรุง.....	56
4.1 ขีดจำกัดค่ากระแสฮาร์โมนิกตามมาตรฐานของ Class A	70
5.1 การทดสอบและบันทึกผลประสิทธิภาพทางไฟฟ้า.....	108
5.2 การทดสอบและบันทึกผลการหาค่าประสิทธิภาพรวมทั้งดีวีดีแฟคเตอร์ 0.34-0.6.....	110
5.3 คุณสมบัติทางไฟฟ้าของเตาหุงต้มเหนี่ยวนำที่พิกัด กำลังไฟฟ้าเอาต์พุต 1.5 kW.....	110

สารบัญรูป

รูปที่	หน้า
1.1 อินเวอร์เตอร์กึ่งเรโซแนนท์ควบคุมโดยการปรับความถี่สวิตชิง(ZVS-PFM).....	1
1.2 อินเวอร์เตอร์ที่ดับเบิลยูเอ็มกึ่งเรโซแนนท์แบบขนาน	2
2.1 วงจร RLC แบบอนุกรม	6
2.2 ความสัมพันธ์ของ X_L และ X_C ต่อความถี่สำหรับวงจร RLC แบบอนุกรม.....	6
2.3 อิมพีแดนซ์รวม และกระแสที่ไหลในวงจร RLC แบบอนุกรม ที่ความถี่ต่างๆ	7
2.4 วงจร RLC แบบขนาน	8
2.5 ความสัมพันธ์ของ B_L และ B_C ต่อความถี่สำหรับวงจร RLC แบบขนาน.....	8
2.6 อิมพีแดนซ์รวม และกระแสที่ไหลในวงจร RLC แบบขนาน ที่ความถี่ต่างๆ	9
2.7 วงจรแทงค์	10
2.8 วงจรเทียบเคียงของวงจรแทงค์.....	11
2.9 เปรียบเทียบตัวแปรที่สำคัญของวงจรเรโซแนนท์ระหว่างแบบอนุกรมกับขนาน.....	12
2.10 หลักการให้ความร้อนของเตาหุงต้มความถี่สูงเหนี่ยวนำ.....	13
2.11 วงจรสมมูลเทียบเท่าหม้อแปลงไฟฟ้า	13
2.12 วงจรเทียบเท่าทางด้านปฐมภูมิ.....	14
2.13 ความสัมพันธ์ระหว่างความหนาแน่นกระแสกับระยะทางของผิวของภาชนะหุงต้ม	16
2.14 เส้นกราฟแสดงการหาค่าคุณสมบัติทางไฟฟ้าของภาชนะหุงต้มจากตารางที่ 2.2.....	17
2.15 บล็อกไดอะแกรมของเตาหุงต้มเหนี่ยวนำความถี่สูง.....	18
2.16 วงจรกิจยอินเวอร์เตอร์ที่ดับเบิลยูเอ็มกึ่งเรโซแนนท์แบบขนาน.....	19
2.17 วงจรภาคแหล่งจ่ายไฟฟ้ากระแสตรง	19
2.18 วงจรอินเวอร์เตอร์ที่ดับเบิลยูเอ็มกึ่งเรโซแนนท์แบบขนาน	20
2.19 ภาควงจรโหลดภาชนะหุงต้ม	20
2.20 สัญญาณขับเคลื่อนสวิตช์ Q_1 และ Q_2	21
2.21 การควบคุมตัวดีเฟกเตอร์	21
3.1 วงจรอินเวอร์เตอร์กึ่งเรโซแนนท์ Class-E.....	23
3.2 วงจรสมมูลเตาหุงต้มเหนี่ยวนำก่อนปรับปรุง.....	24
3.3 โหมดการทำงานในหนึ่งไซเคิลก่อนปรับปรุง.....	24
3.4 โหมดการทำงานในหนึ่งไซเคิล	25
3.5 วงจรอินเวอร์เตอร์หลังปรับปรุง.....	28

สารบัญรูป(ต่อ)

รูปที่	หน้า
3.6 วงจรสมมูลโหลดหลังปรับปรุง.....	28
3.7 สัญญาณขับเคลื่อน.....	29
3.8 โหมคการทำงานในหนึ่งไซเคิลก่อนปรับปรุง.....	30
3.9 สภาวะการทำงานของอินเวอร์เตอร์กึ่งเรโซแนนท์หลังปรับปรุง.....	31
3.10 แรงดันตกคร่อมสวิตช์หลักในหนึ่งไซเคิล.....	37
3.11 รูปของวงจรการจำลองการทำงานของอินเวอร์เตอร์ก่อนปรับปรุง.....	38
3.12 การจำลองการทำงานและผลการทดลองเบื้องต้นก่อนปรับปรุงที่ 110 V, 50Hz.....	39
3.13 การจำลองการทำงานและผลการทดลองเบื้องต้นก่อนปรับปรุงที่ 150 V, 50Hz.....	40
3.14 แรงดันและกระแสอินพุท,เอาต์พุทและสวิตช์ที่ความถี่สวิตช์ 23.5kHz.....	41
3.15 แรงดันและกระแสอินพุท,เอาต์พุทและสวิตช์ที่ความถี่สวิตช์ 26 kHz.....	42
3.16 แรงดันและกระแสอินพุท,เอาต์พุทและสวิตช์ที่ความถี่สวิตช์ 29kHz.....	43
3.17 แรงดันและกระแสอินพุท,เอาต์พุทและสวิตช์ที่ความถี่สวิตช์ 31 kHz.....	43
3.18 ความสัมพันธ์ระหว่างกำลังไฟฟ้าอินพุท เอาต์พุทกับความถี่สวิตช์.....	46
3.19 ความสัมพันธ์ระหว่างตัวประกอบกำลังกับความถี่สวิตช์.....	46
3.20 ความสัมพันธ์ระหว่างประสิทธิภาพทางไฟฟ้ากับความถี่สวิตช์.....	47
3.21 ความสัมพันธ์ระหว่างกระแสอินพุทกับความถี่สวิตช์.....	47
3.22 ความสัมพันธ์ระหว่าง THD_v , THD_i กับความถี่สวิตช์.....	48
3.23 ความสัมพันธ์ระหว่างกำลังไฟฟ้าสูญเสียกับความถี่สวิตช์.....	48
3.24 ความสัมพันธ์ระหว่างพิกัดแรงดันสวิตช์กับความถี่สวิตช์.....	49
3.25 ความสัมพันธ์ระหว่างพิกัดกระแสไหลผ่านสวิตช์กับความถี่สวิตช์.....	49
3.26 การสวิตช์ขณะแรงดันไม่เป็นศูนย์.....	50
3.27 รูปของวงจรการจำลองการทำงานของอินเวอร์เตอร์หลังปรับปรุง.....	51
3.28 การจำลองการทำงานที่คิวดีแฟคเตอร์ 0.3.....	52
3.29 การจำลองการทำงานที่คิวดีแฟคเตอร์ 0.4.....	53
3.30 การจำลองการทำงานที่คิวดีแฟคเตอร์ 0.5.....	53
3.31 การจำลองการทำงานที่คิวดีแฟคเตอร์ 0.6.....	54
3.32 การจำลองการทำงานที่คิวดีแฟคเตอร์ 0.7.....	55
3.33 ความสัมพันธ์ระหว่างกำลังไฟฟ้ากับคิวดีแฟคเตอร์.....	57
3.34 ความสัมพันธ์ระหว่างประสิทธิภาพทางไฟฟ้ากับคิวดีแฟคเตอร์.....	57

สารบัญรูป(ต่อ)

รูปที่	หน้า
3.35 ความสัมพันธ์ระหว่างกำลังไฟฟ้าสูญเสียกับคิวดี้แฟคเตอร์	58
3.36 ความสัมพันธ์ระหว่างกระแสอินพุทกับคิวดี้แฟคเตอร์	58
3.37 ความสัมพันธ์ระหว่าง THD _v THD _i กับคิวดี้แฟคเตอร์	59
3.38 ความสัมพันธ์ระหว่างพิกัดแรงดันสูงสุดกับคิวดี้แฟคเตอร์	59
3.39 ความสัมพันธ์ระหว่างพิกัดกระแสสูงสุดกับคิวดี้แฟคเตอร์	60
3.40 เปรียบเทียบความสัมพันธ์ระหว่างกำลังไฟฟ้าอินพุทกับเอาต์พุท	61
3.41 เปรียบเทียบความสัมพันธ์ระหว่าง THD _v , THD _i กับกำลังไฟฟ้าเอาต์พุท	61
3.42 เปรียบเทียบความสัมพันธ์ระหว่างประสิทธิภาพทางไฟฟ้ากับกำลังไฟฟ้าเอาต์พุท	62
3.43 เปรียบเทียบความสัมพันธ์ระหว่างกำลังไฟฟ้าสูญเสียกับกำลังไฟฟ้าเอาต์พุท	62
3.44 เปรียบเทียบความสัมพันธ์ระหว่างพิกัดแรงดันของสวิทช์กับกำลังไฟฟ้าเอาต์พุท	63
3.45 เปรียบเทียบความสัมพันธ์ระหว่างพิกัดกระแสของสวิทช์กับกำลังไฟฟ้าเอาต์พุท	63
4.1 วงจรกำลังและวงจรควบคุมของเตาหุงต้มเหนียวนำที่นำเสนอ	65
4.2 วงจรโหลดและภาชนะหุงต้ม	66
4.3 ขดลวดสำหรับภาชนะกั้นแบน	66
4.4 ลักษณะตัวเก็บประจุที่ใช้งาน	67
4.5 กราฟความสัมพันธ์ระหว่างแรงดัน(V_{rms}) และความถี่ที่ใช้งาน	68
4.6 ไดโอดกำลังชนิดเต็มคลื่นแบบ โมดูล	68
4.7 วงจรเรียงกระแสหนึ่งเฟสและ LC Filter	71
4.8 วงจรอินเวอร์เตอร์และ ไอจีบีทีที่ใช้ในงานวิจัยนี้	72
4.9 ตัวเก็บประจุ C_r	72
4.10 กราฟแสดงคุณสมบัติการทำงานของวาริสเตอร์	73
4.11 รูปร่างของวาริสเตอร์	74
4.12 วงจรตัดต่อระบบไฟเข้าวงจร	74
4.13 บล็อกไดอะแกรมวงจรตรวจจับกระแสอินพุท	76
4.14 อุปกรณ์ตรวจจับตรวจจับกระแสอินพุทที่ใช้	76
4.15 วงจรการต่อบัฟเฟอร์	77
4.16 วงจรเพิ่มอัตราขยาย	77
4.17 วงจรเรียงกระแสแบบเต็มคลื่นสัญญาณขนาดเล็ก	78
4.18 วงจรหาค่าเฉลี่ย	78

สารบัญรูป(ต่อ)

รูปที่	หน้า
4.19 วงจรตรวจจับแรงดันอินพุท.....	80
4.20 กราฟความสัมพันธ์ระหว่างกระแส I_c , I_f และ V_{ce} ของออปโตไดโอด.....	81
4.21 บล็อกไดอะแกรมวงจรตรวจจับกระแสเอาต์พุท.....	82
4.22 ความสัมพันธ์ระหว่างค่าความต้านทานกับอุณหภูมิ.....	83
4.23 วงจรตรวจจับอุณหภูมิด้วยเทอร์มิสเตอร์.....	83
4.24 สัญญาณ PWM ขับเกทไอจีบีที Q_2 และ Q_1	84
4.25 วงจรขับเกทไอจีบีที Q_2 และ Q_1	85
4.26 ชุดพัฒนาไมโครคอนโทรลเลอร์ dsPIC.....	86
4.27 Embedded Target for dsPIC ที่ติดตั้งลงบน Matlab Simulink.....	87
4.28 ไดอะแกรมการจำลองการทำงานและป้อนกลับเพื่อควบคุมอินเวอร์เตอร์.....	87
5.1 วงจรและเครื่องมือวัดสำหรับการทดสอบหาระยะ Gap.....	89
5.2 การตรวจวัดและบันทึกผลที่ระยะ Gap 10 mm.....	92
5.3 กราฟความสัมพันธ์ทางไฟฟ้าเมื่อระยะ Gap เปลี่ยนแปลง.....	94
5.4 วงจรและเครื่องมือวัดสำหรับการตรวจสอบรูปคลื่น.....	95
5.5 การตรวจสอบรูปคลื่นเปรียบเทียบกับผลการจำลองที่คิวตี้แฟคเตอร์ 0.36.....	97
5.6 การตรวจสอบรูปคลื่นเปรียบเทียบกับผลการจำลองที่คิวตี้แฟคเตอร์ 0.5.....	99
5.7 การตรวจสอบรูปคลื่นเปรียบเทียบกับผลการจำลองที่คิวตี้แฟคเตอร์ 0.6.....	101
5.8 การสวิตช์ขณะแรงดันไม่เป็นศูนย์ที่คิวตี้แฟคเตอร์ต่ำกว่า 0.34 ของ Q_1	102
5.9 รูปคลื่นแรงดันและกระแสที่คิวตี้แฟคเตอร์ 0.64.....	102
5.10 ความสัมพันธ์ระหว่างพิคคใช้้งานกับคิวตี้แฟคเตอร์.....	105
5.11 วงจรและเครื่องมือวัดสำหรับการตรวจสอบสมรรถนะการทำงานของเครื่อง.....	106
5.12 การตรวจวัดรูปคลื่นและองค์ประกอบทางไฟฟ้าคิวตี้แฟคเตอร์ 0.6.....	108

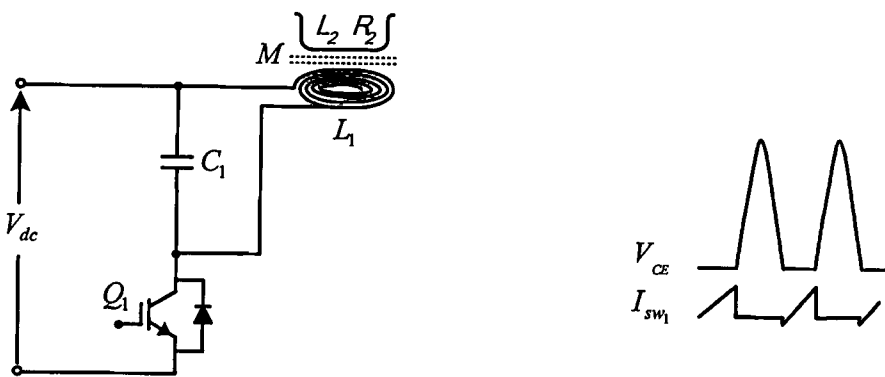
บทที่ 1

บทนำ

1.1 ความเป็นมาและความสำคัญของปัญหา

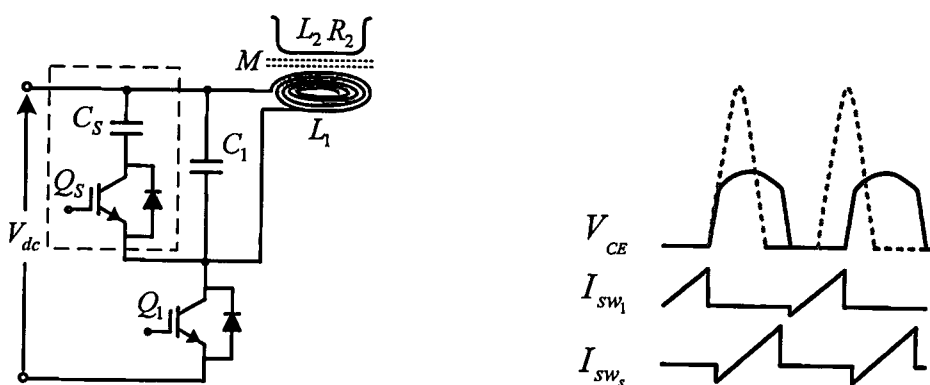
ปัจจุบันเตาหุงต้มเป็นอุปกรณ์ไฟฟ้าที่มีความสำคัญต่อการดำรงชีวิตประจำวันและมีการใช้งานอย่างแพร่หลายอันเนื่องมาจากสะดวก เล็กกระทัดรัด เคลื่อนย้ายได้ง่าย โดยหลักการทำงานส่วนมากจะเป็นการใช้ขดลวดความร้อน ส่งถ่ายความร้อนผ่านภาชนะหุงต้มสู่อาหารซึ่งเป็นการให้ความร้อนกับภาชนะหุงต้มแบบทางอ้อม ส่งผลให้ใช้เวลานานและสิ้นเปลืองพลังงานมาก เพื่อความรวดเร็วและลดการสูญเสียของพลังงาน การให้ความร้อนด้วยหลักการเหนี่ยวนำจึงถูกนำเข้ามาทดแทน เป็นการให้ความร้อนโดยตรง โดยการจ่ายกระแสไฟฟ้าสลับความถี่สูงให้กับขดลวดเหนี่ยวนำสร้างสนามแม่เหล็กเกี่ยวข้องกับภาชนะหุงต้มที่ทำจากวัสดุชนิดสารตัวนำแม่เหล็กทำให้เกิดกระแสไหลวนบริเวณก้นภาชนะเป็นผลให้เกิดความร้อนและถ่ายเทความร้อนไปยังการหุงต้มอาหารภายในภาชนะ

เตาหุงต้มเหนี่ยวนำที่ใช้อินเวอร์เตอร์กึ่งเรโซแนนซ์ควบคุมกำลังอินพุตด้วยการปรับความถี่สวิตช์ซึ่งดังรูปที่ 1.1 ข้อดีคือสามารถควบคุมให้อุปกรณ์สวิตช์เริ่มนำกระแสในสถานะแรงดันเป็นศูนย์ (Zero Voltage Switching: ZVS) ซึ่งจะทำให้ไม่มีการสูญเสียขณะสวิตช์เริ่มนำกระแส และมีการควบคุมที่ง่ายประสิทธิภาพสูง[1] แต่เมื่อนำมาใช้งานในระบบไฟฟ้ากระแสสลับ 220 โวลต์ ในสถานะสวิตช์หยุดนำกระแสแรงดันตกคร่อมอุปกรณ์สวิตช์ค่อนข้างสูง ทำให้เกิดปัญหาขนาดพิกัดแรงดันสูงกว่าพิกัดปลอดภัยของอุปกรณ์สวิตช์ทุกๆ ไปที่จะทนได้ (Reverse Biase Safe Operatiag Area : RBSOA) การควบคุมกำลังอินพุตในย่านความถี่ควบคุมที่กว้างประสิทธิภาพอินเวอร์เตอร์จะลดต่ำลงและการปรับความถี่สวิตช์ซึ่งที่ย่านความถี่สูงๆ ยังก่อให้เกิดสัญญาณรบกวน EMI กลับเข้าสู่ระบบไฟฟ้ากระแสสลับ[2]



รูปที่ 1.1 อินเวอร์เตอร์กึ่งเรโซแนนซ์ควบคุมโดยการปรับความถี่สวิตช์ซึ่ง(ZVS-PFM)

การนำอินเวอร์เตอร์กึ่งเรโซแนนท์มาใช้งานในระบบไฟฟ้ากระแสสลับ 220 โวลต์ จึงจำเป็นต้องเพิ่มขนาดพิกัดปลอดภัยของอุปกรณ์สวิตช์ที่สูงมากหรือใช้อุปกรณ์สวิตช์ที่ถูกออกแบบมาเป็นพิเศษเพื่อให้สามารถทนแรงดันตกคร่อมในสถานะสวิตช์หยุดนำกระแสซึ่งอุปกรณ์สวิตช์ดังกล่าวหาได้ยากตามท้องตลาดทั่วไปเมื่อเปรียบเทียบค่าใช้จ่ายที่เพิ่มขึ้นกับกำลังอินพุทที่ได้ทำให้ความน่าสนใจของอินเวอร์เตอร์ชนิดนี้ลดน้อยลง การลดขนาดแรงดันตกคร่อมสวิตช์จึงเป็นทางเลือกหนึ่งซึ่งทำได้โดยการเพิ่มสวิตช์อนุกรมกับตัวเก็บประจุ (Q_s, C_s) ต่อขนานกับวงจรของโหลดอินเวอร์เตอร์กึ่งเรโซแนนท์ ดังรูปที่ 1.2 เพื่อลดแรงดันตกคร่อมสวิตช์หลัก Q_1 ทำให้พิกัดแรงดันของอุปกรณ์สวิตช์เล็กลง ลดการเกิดสัญญาณรบกวนจากการปรับความถี่สวิตช์ซึ่ง ด้วยการควบคุมความถี่สวิตช์คงที่แบบพีคเบิลยูเอ็ม [3]



รูปที่ 1.2 อินเวอร์เตอร์พีคเบิลยูเอ็มกึ่งเรโซแนนท์แบบขนาน

1.2 ความมุ่งหมายและวัตถุประสงค์ของการศึกษา

ศึกษาหลักการทํางาน โครงสร้าง และทฤษฎีต่างๆ ที่เกี่ยวข้องกัอินเวอร์เตอร์กึ่งเรโซแนนท์ ตลอดจนศึกษาการทํางานของอุปกรณ์ต่างๆ ที่นำมาใช้ในการสร้างเครื่องต้นแบบที่ใช้ในงานวิจัยทั้งวงจรกำลังและวงจรควบคุม เปรียบเทียบข้อดีข้อเสียของวงจรอินเวอร์เตอร์กึ่งเรโซแนนท์แบบปรับความถี่ และแบบสวิตช์ความถี่คงที่ ที่พัฒนาขึ้น รวมทั้งนำอินเวอร์เตอร์ต้นแบบที่สร้างขึ้นไปทดสอบเพื่อเปรียบเทียบกับผลการจำลอง

1.3 สมมติฐานของการศึกษา

วิทยานิพนธ์นี้ได้นำเสนอแนวทางการศึกษาและพัฒนาอินเวอร์เตอร์กึ่งเรโซแนนท์แบบขนาน เพื่อปรับปรุงลดแรงดันตกคร่อมอุปกรณ์สวิตช์หลักในสถานะสวิตช์หยุดนำกระแสเพื่อใช้งานกับระบบไฟฟ้ากระแสสลับ 220 โวลต์ ลดการสูญเสียที่เกิดขึ้น โดยใช้เทคนิคควบคุมแบบพีคเบิลยูเอ็ม (ZVS-PWM) ควบคุมกำลังไฟฟ้าเอาต์พุทโดยการปรับเปลี่ยนเปอร์เซ็นต์ดีวี่ไซเคิล

กำหนดความถี่ในการสวิตช์ซึ่งคงที่ และประยุกต์ใช้ไมโครคอนโทรลเลอร์ dsPIC ในการควบคุมการทำงานของวงจร

1.4 ทฤษฎีหรือแนวความคิดที่ใช้ในการวิจัย

1. นำข้อดีของอินเวอร์เตอร์กึ่งเรโซแนนท์แบบ ZVS-PFM มาใช้งานคือการควบคุมให้อุปกรณ์สวิตช์เริ่มนำกระแสในสถานะแรงดันเป็นศูนย์ตลอดเวลา
2. ใช้การควบคุมแบบพีคดับเบิลยูเอ็ม ลดช่วงความกว้างความถี่ควบคุมเพื่อเพิ่มประสิทธิภาพของระบบโดยการกำหนดให้ความถี่สวิตช์ซึ่งคงที่ ควบคุมกำลังไฟฟ้าเอาต์พุตโดยการปรับเปลี่ยนดิวตี้ไซเคิล
3. ปรับปรุงวงจรเพื่อลดแรงดันตกคร่อมอุปกรณ์สวิตช์หลักในสถานะสวิตช์หยุดนำกระแส โดยการเพิ่มชุดแอกทีฟแรงดัน Q_s ต่ออนุกรมกับ C_s ขนานวงจรโหลด

1.5 ขอบเขตการวิจัย

1. วิเคราะห์หลักการทำงานและการควบคุมการทำงานรวมทั้งจำลองการทำงานของอินเวอร์เตอร์พีคดับเบิลยูเอ็มกึ่งเรโซแนนท์แบบขนาน ที่มีการปรับปรุงลดแรงดันที่ตกคร่อมอุปกรณ์สวิตช์
2. ออกแบบและสร้างเตาหุงต้มเหนี่ยวนำคุณสมบัติดังนี้

แรงดันไฟฟ้าอินพุต	220	โวลต์
ความถี่อินพุต	50	เฮิรตซ์
กำลังไฟฟ้าเอาต์พุต	1,500	วัตต์
ความถี่สวิตช์	20	กิโลเฮิรตซ์
3. ทดสอบเครื่องต้นแบบเปรียบเทียบกับผลการจำลอง เปรียบเทียบการสูญเสียที่เกิดขึ้นขณะสวิตช์เปลี่ยนสถานะการทำงาน (switching loss) ของวงจรอินเวอร์เตอร์กึ่งเรโซแนนท์ในเทคนิคเดิมและหลังปรับปรุง

1.6 ขั้นตอนของการศึกษาวิจัย

1. ศึกษาค้นคว้าทฤษฎีจากบทความ, วารสาร, เอกสาร และตำราต่างๆ ที่สามารถให้ข้อมูลเกี่ยวกับอินเวอร์เตอร์กึ่งเรโซแนนท์ และวงจรที่เกี่ยวข้องกับงานวิจัยนี้
2. วิเคราะห์การทำงานของวงจรกำลังและวงจรควบคุมการทำงานของวงจรอินเวอร์เตอร์กึ่งเรโซแนนท์

3. ออกแบบวงจรการทำงาน โดยการจำลองการทำงานของระบบด้วยโปรแกรม Simulink บนโปรแกรมสำเร็จรูป MATLAB
4. ออกแบบและสร้างเครื่องต้นแบบที่ใช้ในการวิจัย
5. ทดสอบเครื่องต้นแบบตามขอบเขตของวิทยานิพนธ์
6. เขียนวิทยานิพนธ์

1.7 โครงสร้างของวิทยานิพนธ์

ในวิทยานิพนธ์นี้ได้นำเสนอการวิเคราะห์, การออกแบบ และสร้างเครื่องต้นแบบของวงจรอินเวอร์เตอร์ พัดเบิลยูเอ็มกึ่งเรโซแนนท์แบบขนาน สวิตซ์ขั้วแรงดันเป็นศูนย์กลางที่มีการปรับปรุงเพื่อลดแรงดันตกคร่อมอุปกรณ์สวิตซ์หลัก, ลดขนาดพิกัดแรงดันของอุปกรณ์สวิตซ์และเปรียบเทียบการสูญเสียขั้วสวิตซ์เปลี่ยนสถานะการทำงานกับเทคนิคเดิมซึ่งสามารถแบ่งรายละเอียดที่กล่าวถึง ในวิทยานิพนธ์เป็น 6 บท ดังต่อไปนี้

บทที่ 1 บทนำ กล่าวถึงความเป็นมาและความสำคัญของปัญหา ความมุ่งหมายและวัตถุประสงค์ของการศึกษาวิจัย สมมติฐานของการศึกษา ทฤษฎีหรือแนวความคิดที่ใช้ในการวิจัย ขอบเขตการวิจัย และโครงสร้างวิทยานิพนธ์ซึ่งกล่าวถึงเนื้อหาคร่าวๆ ของแต่ละบท

บทที่ 2 ทฤษฎีเบื้องต้น กล่าวถึงหลักการและทฤษฎีพื้นฐานต่างๆ ที่เกี่ยวข้องกับงานวิจัยนี้

บทที่ 3 การวิเคราะห์และการจำลองการทำงาน กล่าวถึงเทคนิคการสร้างวงจรควบคุมการจำลองและการวิเคราะห์สภาวะการทำงานของวงจร

บทที่ 4 การออกแบบและสร้างเครื่องต้นแบบ กล่าวถึงการเลือกใช้อุปกรณ์ การออกแบบวงจรต่างๆ ที่นำมาใช้ในการสร้างเครื่องต้นแบบทั้งวงจรกำลังและวงจรควบคุมที่ใช้ในงานวิจัย

บทที่ 5 การทดลองและผลการทดลอง กล่าวถึงผลการจำลองและผลการทดลองเปรียบเทียบระหว่างวงจรแบบเดิมและแบบที่มีการปรับปรุงลดแรงดันตกคร่อมสวิตซ์หลัก รวมถึงการทดสอบเครื่องต้นแบบด้วยเงื่อนไขการทำงานต่างๆ

บทที่ 6 บทสรุปและวิจารณ์ผลการทดลอง กล่าวถึงปัญหาที่เกิดขึ้นในการวิจัย ผลการวิจัย และข้อเสนอแนะในการพัฒนางจรอินเวอร์เตอร์พัดเบิลยูเอ็มกึ่งเรโซแนนท์ต่อไป

บทที่ 2

ทฤษฎีเบื้องต้น

2.1 บทนำ

ในหัวข้อนี้จะกล่าวถึงทฤษฎีพื้นฐานต่างๆ ที่เกี่ยวข้องในการวิจัย และหลักการพื้นฐานของการเกิดความร้อนโดยอาศัยการเหนี่ยวนำความถี่สูง การพิจารณาวงจรเทียบเท่าของอุปกรณ์ให้ความร้อนเหนี่ยวนำในลักษณะของหม้อแปลงเพื่อให้สามารถวิเคราะห์ลักษณะหุงต้มชุดได้ง่ายขึ้น สำหรับโหลดภาระที่ใช้วัสดุต่างชนิดกันจะมีค่าพารามิเตอร์ทางไฟฟ้าที่แตกต่างกันดังนั้นวัสดุของภาระแต่ละชนิดจึงเป็นองค์ประกอบสำคัญในการพิจารณาและออกแบบลักษณะการพันขดลวดเหนี่ยวนำเพื่อให้เหมาะสมกับโหลดนั้น ๆ และการพิจารณาหลักการสร้างความถี่สูงเพื่อใช้ในการเหนี่ยวนำให้เกิดความร้อน ซึ่งจะพิจารณาในส่วนของโครงสร้างของอินเวอร์เตอร์กึ่งเรโซแนนซ์แบบขนานที่ใช้ในงานวิจัยนี้ประกอบด้วย วงจรเรียง-กระแส วงจรอินเวอร์เตอร์ โหลดเรโซแนนซ์แบบขนาน และการควบคุมกำลังไฟฟ้า

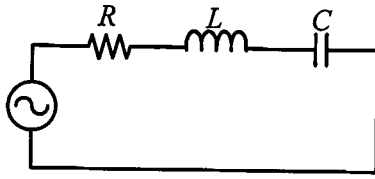
2.2 วงจรเรโซแนนซ์ [5-6]

วงจรไฟฟ้ากระแสสลับที่เกิดสถานะเรโซแนนซ์ (Resonance) หมายถึง วงจรที่มีค่าเพาเวอร์แฟกเตอร์ของวงจรเท่ากับหนึ่ง นั่นคือกระแสที่ไหลในวงจรจะมีเฟสตรงกันกับแรงดันที่จ่ายให้แก่วงจร และค่าอิมพีแดนซ์เทียบเท่าภายในวงจรจะเหลือแต่ค่าความต้านทานเพียงอย่างเดียวเท่านั้น เพราะค่าอินดักทีฟรีแอกแตนซ์ (Inductive Reactance) และค่าคาปาซิทีฟรีแอกแตนซ์ (Capacitive Reactance) จะหักล้างกันหมดไป ในขั้นพื้นฐานจะสามารถแยกพิจารณาออกเป็น 2 ลักษณะคือ วงจรเรโซแนนซ์แบบอนุกรม และวงจรเรโซแนนซ์แบบขนาน

2.2.1 วงจรเรโซแนนซ์แบบอนุกรม (Series Resonant Circuit)

ลักษณะพฤติกรรมทางไฟฟ้า ของวงจรเรโซแนนซ์แบบอนุกรมจะมีอิมพีแดนซ์ที่ตำแหน่งเรโซแนนซ์ต่ำที่สุด ดังนั้นจะทำให้กระแสไหลผ่านวงจรได้มากที่สุดจึงทำให้เกิดกำลังไฟฟ้าที่โหลดมีค่าสูงสุด วิธีการควบคุมกำลังไฟฟ้าทำได้โดยการลดแรงดันที่จ่ายให้วงจร หรือเลื่อนความถี่การใช้งานให้ต่ำหรือสูงกว่าตำแหน่งเรโซแนนซ์ เมื่อพิจารณาในรูปที่ 2.1

$$Z = R + j(X_L - X_C) \quad (2.1)$$



รูปที่ 2.1 วงจร RLC แบบอนุกรม

สภาวะเรโซแนนท์

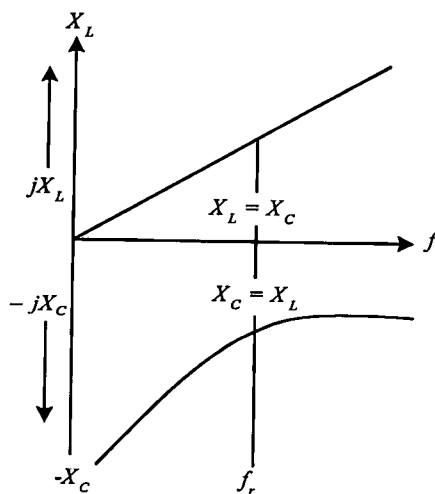
$$X_L = X_C$$

$$2\pi f_r L = \frac{1}{2\pi f_c C}$$

$$f_r = \frac{1}{2\pi\sqrt{LC}} \quad (2.2)$$

จากสมการ (2.1) จะพบว่าค่าอิมพีแดนซ์จะขึ้นอยู่กับความถี่ของแหล่งจ่ายไฟ เนื่องจากค่า $X_L = 2\pi fL$ และค่า $X_C = 1/2\pi fC$ จากรูปที่ 2.2 จะเห็นว่าเมื่อความถี่ของแหล่งจ่ายไฟมีค่าเพิ่มขึ้นอย่างเป็นเชิงเส้นค่า X_L จะมีค่าเพิ่มขึ้น ส่วนค่าของ X_C จะมีค่าลดลงอย่างเป็นเชิงเส้นด้วย

โดยที่ผลรวมของค่ารีแอกแตนซ์จะมีค่าเท่ากับ ($X_L = X_C$) ดังนั้นถ้าหากความถี่ของแหล่งจ่ายไฟมีค่าเท่ากับความถี่เรโซแนนท์ ดังสมการที่ (2.2) ก็จะมีผลทำให้ค่ารีแอกแตนซ์รวมมีค่าเท่ากับศูนย์ ดังนั้นอิมพีแดนซ์รวมของวงจรจะมีค่าเท่ากับค่าความต้านทาน ($Z = R$)

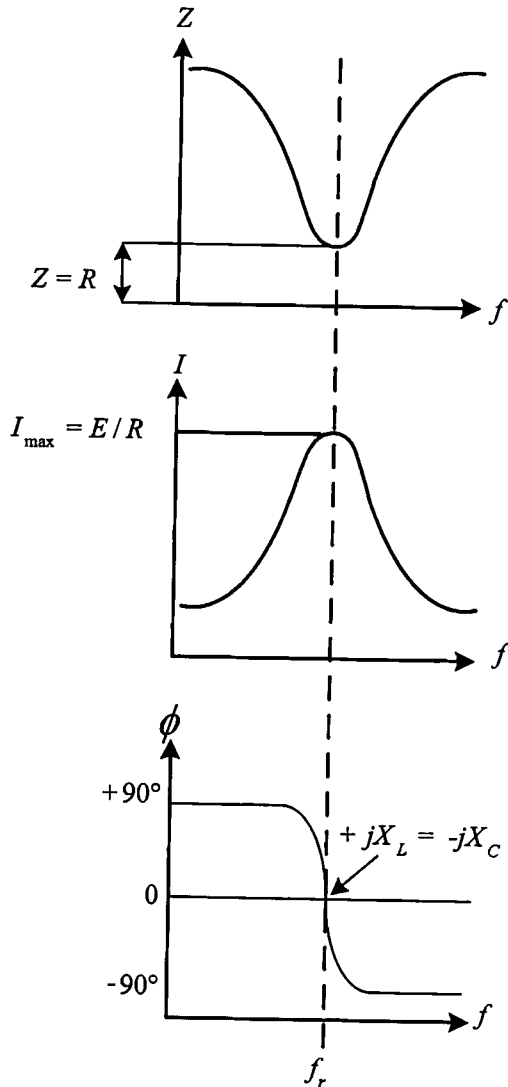


รูปที่ 2.2 ความสัมพันธ์ของ X_L และ X_C ต่อความถี่สำหรับวงจร RLC แบบอนุกรม

$$Z = \sqrt{R^2 + X^2} \quad (2.3)$$

$$I = V / R \quad (2.4)$$

จากสมการที่ (2.3) และสมการที่ (2.4) นำค่าอิมพีแดนซ์รวมและกระแสที่ไหลในวงจรที่ความถี่ใดๆ มาเขียนกราฟได้ดังรูปที่ 2.3

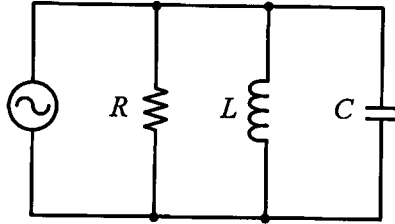


รูปที่ 2.3 อิมพีแดนซ์รวม และกระแสที่ไหลในวงจร RLC แบบอนุกรม ที่ความถี่ต่างๆ

ค่าของแรงดันที่ตกคร่อมตัวต้านทาน ตัวเหนี่ยวนำและตัวเก็บประจุที่ความถี่ใดๆ ดังแสดงในสมการที่ (2.5) ที่ความถี่เรโซแนนซ์จะพบว่าแรงดัน V_L และ V_C จะกลับเฟสกันอยู่ 180 องศา และแรงดัน V_R จะมีค่ามากที่สุด (แรงดัน V_L และ V_C หักล้างกันมีค่าเป็นศูนย์) แสดงว่าที่สภาวะเรโซแนนซ์จะไม่มีพลังงานสะสม

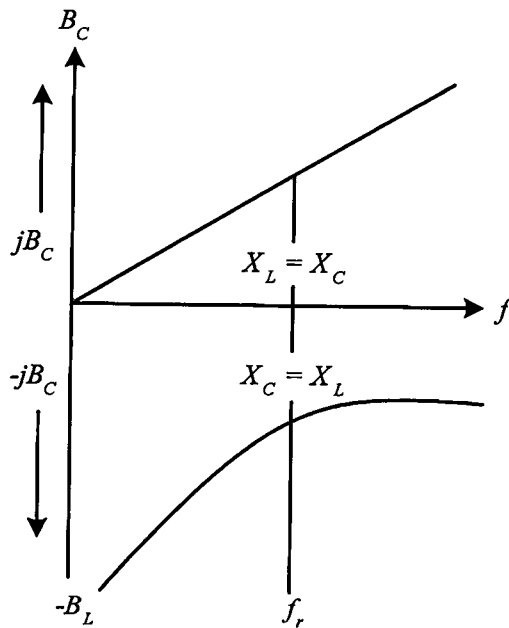
$$V_R = IR; \quad V_L = IX_L; \quad V_C = IX_C; \quad (2.5)$$

2.2.2 วงจรเรโซแนนซ์แบบขนาน (Parallel Resonant Circuit)



รูปที่ 2.4 วงจร RLC แบบขนาน

จากวงจรรูปที่ 2.4 จะพบว่า เมื่อวงจรเกิดสภาวะเรโซแนนซ์ได้ก็คือเมื่ออินดักทีฟซัสเซพแตนซ์ (Inductive Susceptance) มีค่าเท่ากับคาปาซิทีฟซัสเซพแตนซ์ หรือ $B_L = B_C$ ดังนั้นค่าแอดมิตแตนซ์ (Admittance) ของวงจรจะน้อยที่สุด หรือกล่าวได้ว่ามีแต่ค่ากับความนำเท่านั้น ดังแสดงในสมการที่ (2.7)



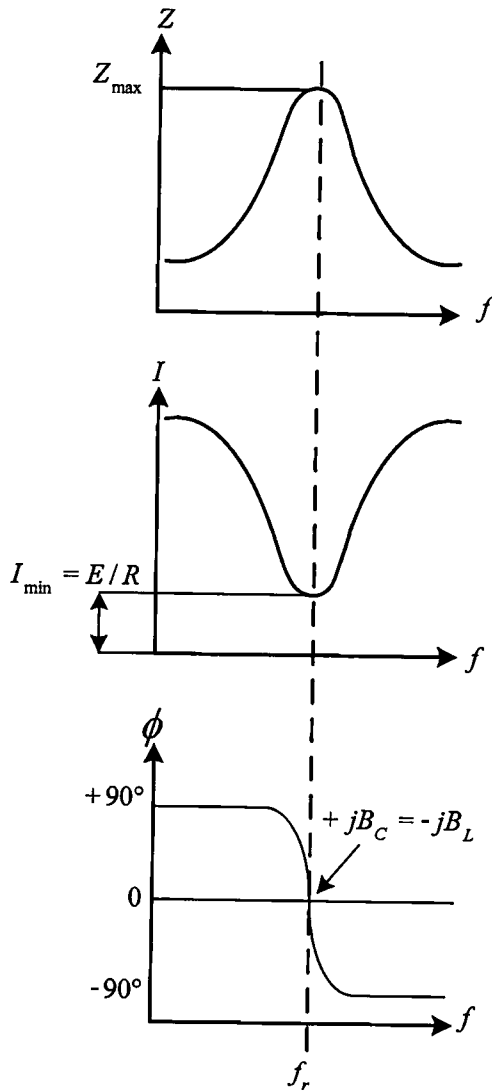
รูปที่ 2.5 ความสัมพันธ์ของ B_L และ B_C ต่อความถี่สำหรับวงจร RLC แบบขนาน

$$Y = G + j(B_C - B_L) \quad (2.6)$$

เมื่อ $B_L = B_C$ ($f_r = \frac{1}{2\pi\sqrt{LC}}$) จะได้ว่า

$$Y = G = \frac{1}{R} \quad (2.7)$$

เมื่อนำค่าอิมพีแดนซ์รวมและกระแสที่ไหลในวงจร RLC แบบขนานที่ความถี่ใดๆ มาเขียนกราฟได้ดังรูปที่ 2.6



รูปที่ 2.6 อิมพีแดนซ์รวม และกระแสที่ไหลในวงจร RLC แบบขนาน ที่ความถี่ต่างๆ

เมื่อเกิดสภาวะเรโซแนนซ์ขึ้นในวงจร RLC แบบขนาน กระแสทั้งหมดที่ไหลในวงจรจะมีค่าเท่ากับกระแสที่ไหลผ่านความต้านทานเพียงอย่างเดียว ส่วนกระแสที่ไหลผ่านคาปาซิเตอร์และตัวเหนี่ยวนำจะหักล้างกันหมดไป ดังนั้นกระแสที่ไหลผ่านตัวเหนี่ยวนำและตัวคาปาซิเตอร์จะมีค่า

มากกว่ากระแสที่ไหลในวงจรมากก็เท่ากับยอมเป็นไปได้ แต่สุดท้ายค่ากระแสที่ไหลในวงจรจะเท่ากับกระแสที่ไหลผ่านความต้านทาน ส่วนค่าของ Q (Quality Factor) ของวงจรเรโซแนนซ์แบบขนานจะมีค่าเท่ากับอัตราส่วนระหว่างค่าชัซเซฟแดนซ์ทั้งสองต่อค่าความนำของวงจรดังสมการที่ (2.8)

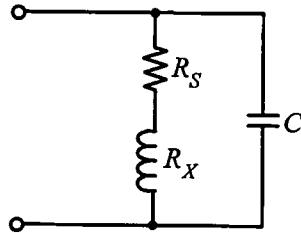
$$Q_r = \frac{B_C}{G} = \frac{B_L}{G} \quad (2.8)$$

โดยสามารถเขียนให้อยู่ในรูปของกระแสได้ดังสมการที่ (2.9)

$$Q_r = \frac{I_C}{I_R} = \frac{I_L}{I_R} \quad (2.9)$$

โดยที่

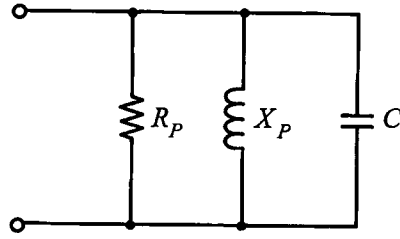
- Q_r คือค่า Q ในขณะเกิดสภาวะเรโซแนนซ์
- B_C คือค่า คาปาซิทีฟชัซเซฟแดนซ์ในขณะเกิดสภาวะเรโซแนนซ์
- B_L คือค่า อินดักทีฟชัซเซฟแดนซ์ในขณะเกิดสภาวะเรโซแนนซ์
- G คือค่า ความนำของวงจร



รูปที่ 2.7 วงจรแทงค์

ในรูปที่ 2.7 เป็นวงจรเสมือนของโหลดของวงจรอินเวอร์เตอร์เรโซแนนซ์แบบขนาน ซึ่งโดยทั่วไปจะเรียกว่าวงจรแทงค์ โดยเมื่ออยู่ที่สภาวะเรโซแนนซ์ค่าคุณสมบัติอิมพีแดนซ์ (Characteristic Impedance) ของวงจรสามารถหาค่าได้ดังสมการที่ (2.10)

$$Z = \sqrt{\frac{L}{C}} \quad (2.10)$$



รูปที่ 2.8 วงจรเทียบเคียงของวงจรแทงค์

เพื่อให้ง่ายต่อการวิเคราะห์หาค่าอิมพีแดนซ์ของวงจรแทงค์ที่แสดงในรูปที่ 2.7 เราสามารถเปลี่ยนให้อยู่ในรูปของวงจร RLC แบบขนาน ดังแสดงในรูปที่ 2.8 โดยสามารถค่าอิมพีแดนซ์รวมของวงจรดังแสดงในสมการที่ (2.11)

$$Z(f) = \frac{R_p}{1 + jQ_p \left(\frac{f}{f_o} - \frac{f_o}{f} \right)} \quad (2.11)$$

โดยที่

$$R_p = \frac{X_p^2}{R_s} \quad (2.12)$$

$$X_p = X_s \quad (2.13)$$

$$Q_p = \frac{\omega L}{R} \quad (2.14)$$

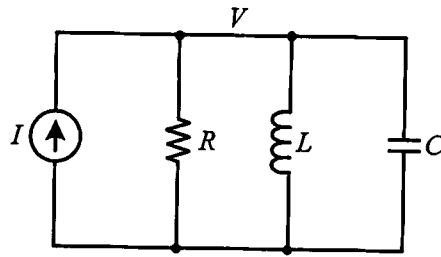
$$Q_c = \frac{1}{\omega CR} \quad (2.15)$$

R_p คือค่าความต้านทานสมมูลของวงจรแทงค์ที่แหล่งจ่ายมองเห็น

Q_p, Q_c คือค่า Quality Factor ของวงจรแทงค์

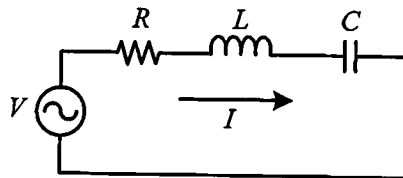
f_o คือค่า Natural resonant frequency ของวงจรแทงค์

เมื่อพิจารณาสมการที่ (2.12) จะพบว่า R_p มีค่าแปรผกผันกับค่า R_s ดังนั้นเมื่อมีโหลดภายนอกที่ขดลวดเหนี่ยวนำจะมีผลทำให้ค่า R_p มีค่าลดลงและค่า X_p มีค่าสูงขึ้นจึงมีผลทำให้ความถี่เรโซแนนท์เปลี่ยนแปลงไปจากเดิม มีผลทำให้กำลังที่ด้านขาออกมีค่าลดลง



$$I = V \left(\frac{1}{R} + j\omega C + \frac{1}{j\omega L} \right)$$

(ก) แบบขนาน



$$V = I \left(R + j\omega L + \frac{1}{j\omega C} \right)$$

(ข) แบบอนุกรม

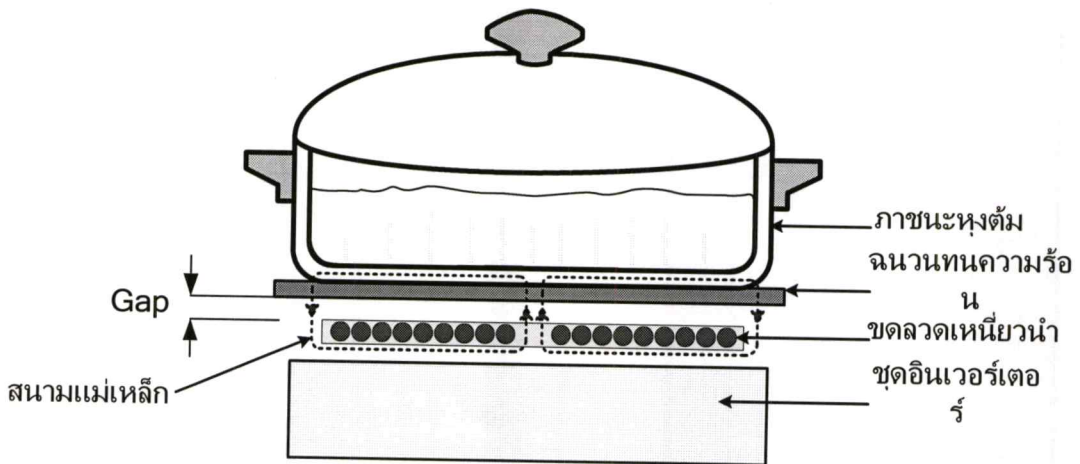
รูปที่ 2.9 เปรียบเทียบตัวแปรที่สำคัญของวงจรเรโซแนนซ์ระหว่างแบบอนุกรมกับขนาน

ตารางที่ 2.1 เปรียบเทียบคุณสมบัติของวงจรเรโซแนนซ์

คุณสมบัติ	วงจรอนุกรม RLC	วงจรขนาน RLC
ความถี่เรโซแนนซ์ f_r	$f_r = \frac{1}{2\pi\sqrt{LC}}$	$f_r = \frac{1}{2\pi\sqrt{LC}}$
แรงดันไฟฟ้าตกคร่อม R	สูงสุดที่ f_r	คงที่ที่ V_o
กระแสไฟฟ้าไหลผ่าน R	คงที่ที่ $\frac{V_o}{R}$	ต่ำสุดที่ f_r
ค่า Q	$Q = \frac{2\pi f_r L}{R}$	$Q = \frac{R}{2\pi f_r L}$
ค่าแบนด์วิดท์, BW	$BW = \frac{f_r}{Q}$	$BW = \frac{f_r}{Q}$
สภาวะ Impedance ที่จุดต่ำกว่า f_r	Capacitive	Inductive
สภาวะ Impedance ที่จุดเหนือกว่า f_r	Inductive	Capacitive
ผลกระทบเมื่อเปลี่ยนค่า R	เพิ่มค่า R, ค่า BW เพิ่ม	เพิ่มค่า R, ค่า BW ลด
ผลกระทบเมื่อเปลี่ยนค่า $\frac{L}{C}$	เพิ่มค่า $\frac{L}{C}$, ค่า BW ลด	เพิ่มค่า $\frac{L}{C}$, ค่า BW ลด

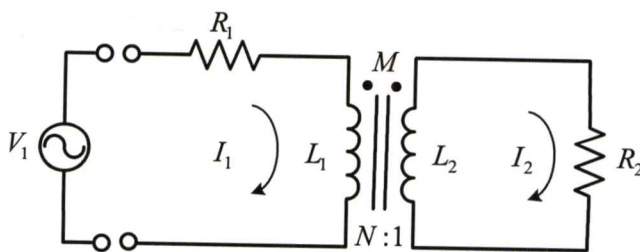
2.3 พื้นฐานการให้ความร้อนเหนี่ยวนำความถี่สูง [7-9]

จากรูปที่ 2.10 เมื่อป้อนกระแสสลับความถี่สูงให้กับขดลวดเหนี่ยวนำที่อยู่ใต้ภาชนะหุงต้ม ขดลวดเหนี่ยวนำจะสร้างสนามแม่เหล็กเกี่ยวข้องกับภาชนะหุงต้มจะทำให้เกิดกระแสไหลวนในภาชนะแบบเส้นทางปิด ทำให้เกิดการสูญเสียเนื่องจากกระแสไหลวน เกิดความร้อนขึ้นที่ก้นภาชนะ และถ่ายเทความร้อนไปยังการหุงในภาชนะ

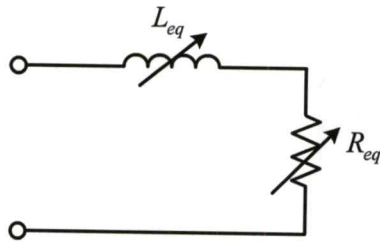


รูปที่ 2.10 หลักการให้ความร้อนของเตาหุงต้มเหนี่ยวนำ

การให้ความร้อนแบบเหนี่ยวนำความร้อนจะเกิดขึ้นที่ภาชนะ โดยตรงโดยอาศัยกระแสไหลวนในภาชนะหุงต้ม ทำให้เกิดความร้อนในการหุงต้มด้วยเวลาอันรวดเร็ว ซึ่งหลักการให้ความร้อนเหนี่ยวนำพิจารณาโดยการอาศัยหลักการเช่นเดียวกับหลักการของหม้อแปลงไฟฟ้า จากรูปที่ 2.11 โดยให้ภาชนะหุงต้มทำหน้าที่เป็นขดลวดทุติยภูมิ มีจำนวน $N = 1$ Leakage Inductance ของภาชนะหุงต้ม L_2 และความต้านทานภาชนะ R_2 ขดลวดทางด้านปฐมภูมิแทนด้วยขดลวดเหนี่ยวนำ Leakage Inductance ของขดลวดเหนี่ยวนำ L_1 ความต้านทานของขดลวดเหนี่ยวนำ R_1 ดังนั้นสามารถเขียน วงจรเทียบเท่าทางด้านปฐมภูมิดังรูปที่ 2.12 ซึ่งประกอบด้วย L_{eq} และ R_{eq}



รูปที่ 2.11 วงจรสมมูลเทียบเท่าหม้อแปลงไฟฟ้า



รูปที่ 2.12 วงจรเทียบเท่าทางด้านปฐมภูมิ

จากรูปที่ 2.11 วงจรสมมูลเทียบเท่าหม้อแปลงไฟฟ้า พิจารณาโดย KVL Loop เขียนเป็นสมการในรูปของ phasor

$$\text{Loop1} \quad (R_1 + j\omega L_1)I_1 - j\omega MI_2 = V_1 \quad (2.16)$$

$$I_2 = \frac{j\omega L_1 I_1 - V_1}{j\omega M} \quad (2.17)$$

$$\text{Loop2} \quad -j\omega MI_1 + (j\omega L_2 + R_2)I_2 = 0 \quad (2.18)$$

$$I_2 = \frac{j\omega MI_1}{(j\omega L_2 + R_2)} \quad (2.19)$$

จาก (2.17) และ (2.19) จะได้

$$\frac{j\omega L_1 I_1 - V_1}{j\omega M} = \frac{j\omega MI_1}{(j\omega L_2 + R_2)} \quad (2.20)$$

ดังนั้น R_{eq}, L_{eq} หาได้จาก

$$Z_{eq} = \frac{V_1}{I_1} = \left[R_1 + \frac{(\omega M)^2 \cdot R_2}{R_2^2 + (\omega L_2)^2} \right] + j\omega \left[L_1 - \frac{(\omega M)^2 \cdot L_2}{R_2^2 + (\omega L_2)^2} \right] \quad (2.21)$$

เมื่อ

$$Z_{eq} = R_{eq} + j\omega L_{eq} \quad (2.22)$$

$$L_{eq} = L_1 - \frac{(\omega M)^2 \cdot L_2}{R_2^2 + (\omega L_2)^2} = L_1 - A^2 \cdot L_2 \quad (2.23)$$

$$R_{eq} = R_1 + \frac{(\omega M)^2 \cdot R_2}{R_2^2 + (\omega L_2)^2} = R_1 + A^2 \cdot R_2 \quad (2.24)$$

$$A = \frac{\omega M}{\sqrt{R_2^2 + (\omega L_2)^2}} \approx \frac{M}{L_2} \text{ at } \omega L_2 \gg R_2 \quad (2.25)$$

และ
$$k = \frac{M}{\sqrt{L_1 L_2}} \quad (2.26)$$

เมื่อ

R_1 : ความต้านทานของขดลวดเหนี่ยวนำ

R_2 : ความต้านทานของโหลดภาระหุงต้ม

L_1 : Leakage Inductance ทางด้านปฐมภูมิ

L_2 : Leakage Inductance ทางด้านทุติยภูมิ

M : Mutual Inductance ระหว่าง L_1 และ L_2

k : Electromagnetic coupling coefficient

ความร้อนที่เกิดขึ้นที่ภาระหุงต้มเนื่องจากกระแสไหลวนที่บริเวณผิวชั้นนอกของกัน
ภาระที่มีความลึกเท่ากับ δ ซึ่งมีพารามิเตอร์ของภาระหุงต้มมีดังนี้

$$\delta = \sqrt{\frac{1}{4\pi^2 \times 10^{-7}}} \cdot \sqrt{\frac{\rho}{\mu_r f}} \quad (2.27)$$

$$R_2 = \frac{\rho}{\delta} = \sqrt{\frac{1}{4\pi^2 \times 10^{-7}}} \cdot \sqrt{\rho \mu_r f} \quad (2.28)$$

$$I_2 = NI_1 \quad (2.29)$$

กำลังไฟฟ้าสูญเสียในขดลวดเหนี่ยวนำมีค่าเท่ากับ

$$P_1 = I_1^2 R_1 \quad (2.30)$$

กำลังไฟฟ้าสูญเสียในโหลดภาระหุงต้มมีค่าเท่ากับ

$$P_2 = (I_2)^2 R_2 \quad (2.31)$$

หรือ

$$P_2 = \sqrt{\frac{1}{4\pi^2 \times 10^{-7}} \cdot (NI_1)^2 \cdot \sqrt{\rho\mu_r f}} \quad (2.32)$$

ประสิทธิภาพของโหลดภาวะหุงต้ม

$$\eta = \frac{P_2}{P_2 + P_1} = \frac{1}{1 + \frac{R_1}{R_2}} \quad (2.33)$$

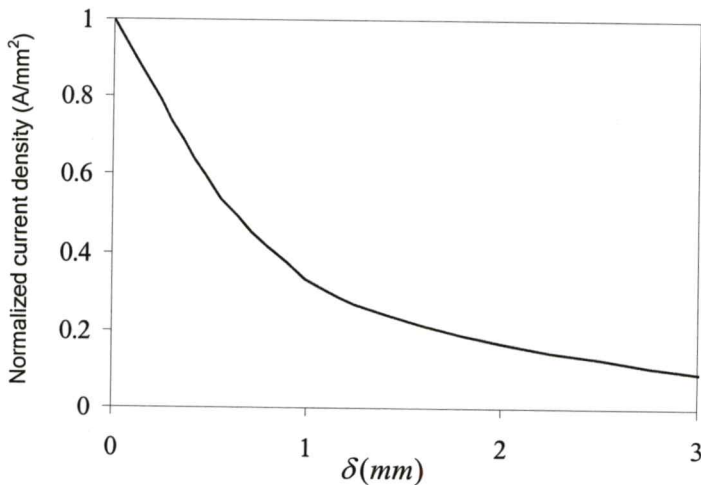
เมื่อ

N : จำนวนรอบของขดลวดเหนี่ยวนำ

ρ : สภาพความต้านทานของภาชนะ

f : ความถี่ไฟฟ้ากระแสสลับที่ป้อนให้กับโหลด

μ_r : ความซึมซาบแม่เหล็กสัมพัทธ์

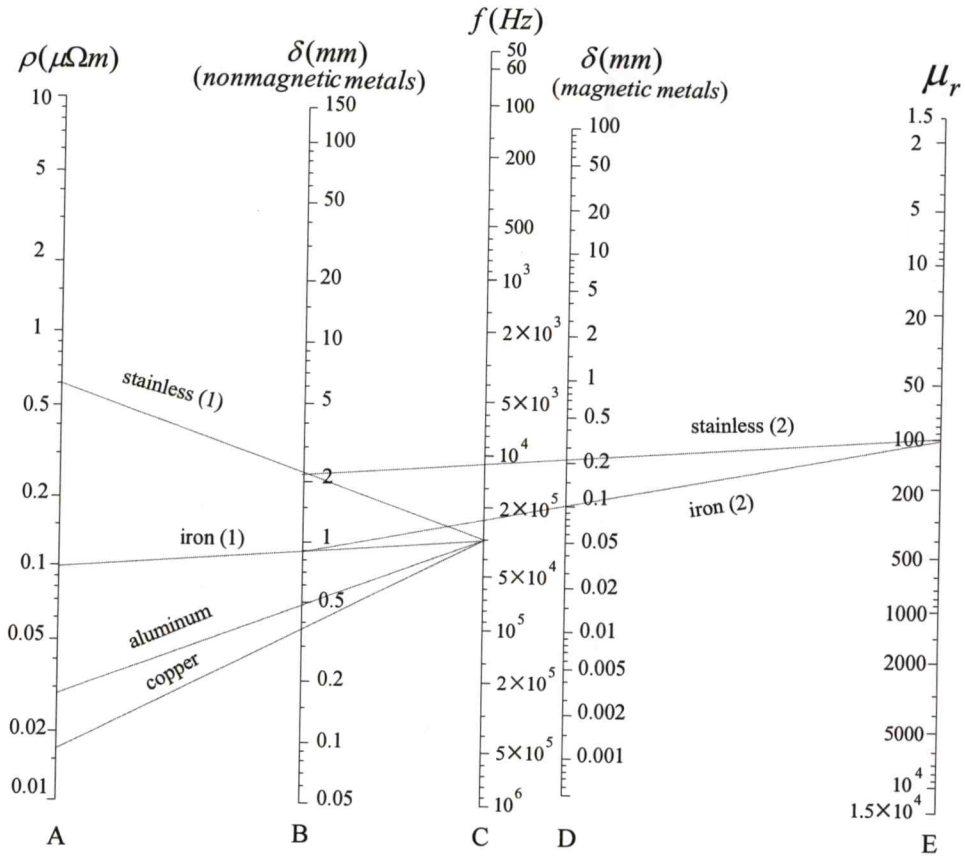


รูปที่ 2.13 ความสัมพันธ์ระหว่างความหนาแน่นกระแสกับระยะทางของผิวของภาชนะหุงต้ม

ตารางที่ 2.2 คุณสมบัติทางไฟฟ้าของวัสดุต่างๆ ที่ใช้ในภาชนะหุงต้มที่ความถี่ 20 kHz

Material	Iron	stainless	Aluminum	Copper
Resistivity (Ω -m): ρ	9.8×10^{-8}	60×10^{-8}	2.8×10^{-8}	1.7×10^{-8}
Relative permeability : μ_r	100	100	1	1
Skin depth (mm) : δ	0.11	0.28	0.60	0.46
Surface resistivity (Ω) : R_2	8.8×10^{-4}	22×10^{-4}	0.47×10^{-4}	0.37×10^{-4}

สำนักหอสมุดกลาง พระจอมเกล้าลาดกระบัง



กรณีใช้วัสดุสาร Ferromagnetic

ลากเส้นระหว่างตำแหน่งบนสเกล ρ :

A และสเกล f : C จะได้จุดตัดกับตำแหน่งบนสเกล δ : B จากนั้นลากเส้นระหว่างจุดตัดนี้กับตำแหน่งบนสเกล μ_r : E จะได้จุดตัดใหม่ที่ตำแหน่งบนสเกล D อ่านค่า δ ที่ได้ตำแหน่งจุดตัดนี้

กรณีใช้วัสดุสาร Nonmagnetic

ลากเส้นจากตำแหน่งบนสเกล ρ : A ไปยังตำแหน่งบนสเกล f : C และอ่านค่าที่ได้บนสเกล δ : B

รูปที่ 2.14 เส้นกราฟแสดงการหาค่าคุณสมบัติทางไฟฟ้าของภาชนะหุงต้มจากตารางที่ 2.2

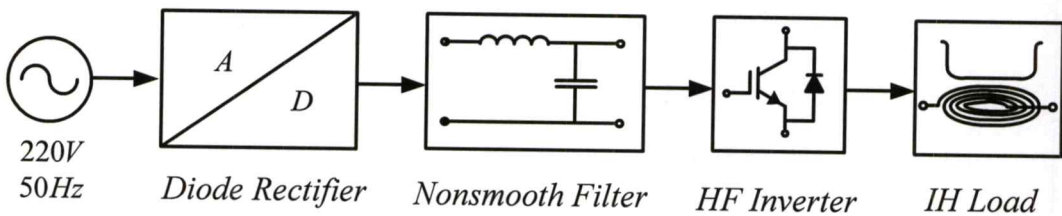
คุณสมบัติทางไฟฟ้าของวัสดุต่างๆ ที่นำมาใช้ทำภาชนะหุงต้มจะขึ้นอยู่กับค่าพารามิเตอร์ต่างๆ ของวัสดุนั้นไม่ว่าจะเป็น สภาพความต้านทานไฟฟ้า ρ ของภาชนะหุงต้ม ค่าความซึมซาบแม่เหล็ก μ_r ความลึกผิว δ สภาพความต้านทานของภาชนะหุงต้ม R₂ จำนวนรอบของขดลวดเหนี่ยวนำ N และความถี่ที่ไฟฟ้ากระแสสลับที่ป้อนขดลวดเหนี่ยวนำ f ซึ่งค่าพารามิเตอร์เหล่านี้ให้ค่าความต้านทานเทียบเท่า R_{eq} และอินดักแตนซ์เทียบเท่า L_{eq} ของวงจรเรโซแนนซ์เปลี่ยนไปโดยที่ภาชนะหุงต้มที่ทำด้วยสาร non ferro-magnetic เช่น อลูมิเนียมและทองแดงจะมีค่าสภาพความต้านทานของภาชนะหุงต้ม R₂ ต่ำมากเมื่อเทียบกับภาชนะที่ทำด้วยสาร ferro-magnetic เช่น สเตนเลสและเหล็กเป็นต้น ดังนั้นวัสดุที่ทำด้วยสาร non ferro-magnetic เมื่อนำมาใช้เป็นภาชนะหุงต้มจะ

ทำให้มีกระแสสูงมาก เป็นผลทำให้ชุดอินเวอร์เตอร์เสียหายได้ ขณะเดียวกันภาชนะหุ้มดัมที่มาจากสาร ferro-magnetic ก็จะทำให้กระแสความถี่สูงจากวงจรอินเวอร์เตอร์มีขนาดลดลงได้มาก

2.4 หลักการสร้างกระแสความถี่สูงเพื่อใช้ในการเหนี่ยวนำให้เกิดความร้อน [1-10]

2.4.1 โครงสร้างของเตาหุงต้มเหนี่ยวนำความถี่สูง

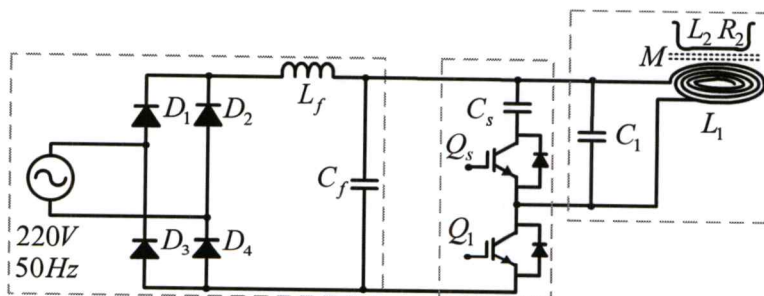
โครงสร้างของเตาหุงต้มเหนี่ยวนำความถี่สูงในงานวิจัยนี้สามารถแบ่งการทำงานออกเป็นบล็อกไดอะแกรมได้รูปที่ 2.15



รูปที่ 2.15 บล็อกไดอะแกรมของเตาหุงต้มเหนี่ยวนำความถี่สูง

รายละเอียดประกอบด้วย แหล่งจ่ายกระแสไฟฟ้าสลับ 1 เฟส 220 โวลต์ 50 เฮิร์ตซ์จากแหล่งจ่ายการไฟฟ้าเพื่อป้อนให้กับวงจรเรียงกระแสซึ่งทำหน้าที่แปลงแรงดันไฟฟ้ากระแสสลับให้เป็นไฟฟ้ากระแสตรง เข้าวงจรกรองแรงดันทางด้านเอาต์พุต(Nonsmoothing filter) ประกอบด้วยตัวเหนี่ยวนำและตัวเก็บประจุขนาดเล็ก แล้วจ่ายให้วงจรอินเวอร์เตอร์ ซึ่งทำหน้าที่แปลงแรงดันไฟตรงให้เป็นแรงดันไฟสลับความถี่สูง โดยใช้ IGBTs เป็นอุปกรณ์สวิตช์เพื่อจ่ายให้กับวงจรโหลด

2.4.2 อินเวอร์เตอร์ที่ดับเบิลยูเอ็มกึ่งเรโซแนนท์แบบขนาน ZVS-PWM



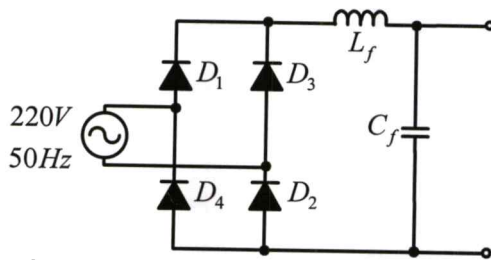
รูปที่ 2.16 วงจรกำลังอินเวอร์เตอร์ที่ดับเบิลยูเอ็มกึ่งเรโซแนนท์แบบขนาน

จากรูปที่ 2.16 เป็นวงจรกำลังอินเวอร์เตอร์กึ่งเรโซแนนท์แบบขนานที่ใช้ในงานวิจัยนี้ซึ่งจะแบ่งออกเป็นส่วนหลัก ๆ ดังนี้

1. ภาคแหล่งจ่ายไฟฟ้ากระแสตรง
2. ภาคแหล่งจ่ายไฟฟ้ากระแสสลับความถี่สูง
3. ภาคชุดโพลดภาชนะหุงต้ม

2.4.2.1 ภาคแหล่งจ่ายไฟฟ้ากระแสตรง

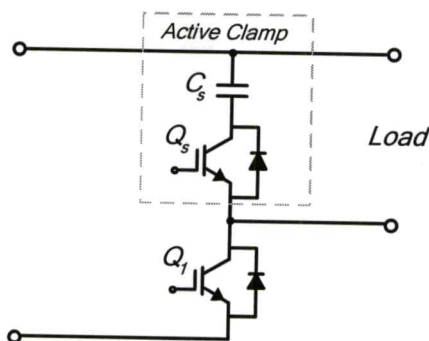
ในส่วนนี้จะป็นวงจรที่ภาคกำลังความถี่ต่ำซึ่งจะเป็นส่วนแรกของแหล่งจ่ายกำลังไฟฟ้าความถี่สูงที่ใช้ในการเหนี่ยวนำโดยจะประกอบด้วยวงจรเรกติไฟเออร์และดีซีฟิลเตอร์โดยจะรับแรงดันไฟฟ้ากระแสสลับความถี่ 50 เฮิร์ตซ์จากการไฟฟ้าและทำการแปลงแรงดันไฟฟ้ากระแสสลับให้เป็นแรงดันไฟฟ้ากระแสตรงเพื่อป้อนให้กับอินเวอร์เตอร์ ซึ่งมีวงจрдังรูปที่ 2.17



รูปที่ 2.17 วงจรภาคแหล่งจ่ายไฟฟ้ากระแสตรง

2.4.2.2 ภาคแหล่งจ่ายไฟฟ้ากระแสสลับความถี่สูง

ในส่วนนี้ประกอบไปด้วยวงจรอินเวอร์เตอร์ซึ่งมีหน้าที่หลักคือ จ่ายกำลังไฟฟ้าความถี่สูงให้แก่โหลดทางด้านเอาต์พุต โดยในวงจรอินเวอร์เตอร์นั้นจะมีด้วยกันอยู่หลายแบบแต่ในที่นี้จะกล่าวเฉพาะอินเวอร์เตอร์พีดับเบิลยูเอ็มกึ่งเรโซแนนท์แบบขนาน ZVS-PWM เนื่องจากเป็นวงจรที่เลือกใช้ในงานวิจัยนี้ ซึ่งมีลักษณะการต่อวงจรดังรูปที่ 2.18

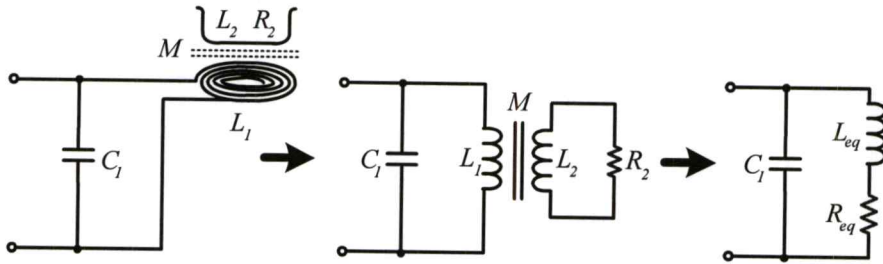


รูปที่ 2.18 วงจรอินเวอร์เตอร์พีดับเบิลยูเอ็มกึ่งเรโซแนนท์แบบขนาน

จากรูปที่ 2.18 จะเห็นได้ว่าวงจรจะประกอบไปด้วยสวิตช์ทั้งหมด 2 ตัว นั่นคือ สวิตช์ Q_1 และ Q_2 มีลักษณะการทำงานดังนี้คือ สวิตช์ Q_1 และ Q_2 จะทำงาน ON - OFF สลับกันไปเพื่อ

แปลงแรงดันไฟฟ้ากระแสตรงเป็นแรงดันไฟฟ้ากระแสสลับความถี่สูง โดย Q_1 เป็นสวิตช์หลัก ส่วน Q_2 อนุกรมกับ C_1 คอยทำหน้าที่แอกทีฟแรงดันเพื่อลดแรงดันตกคร่อมสวิตช์ Q_1 ช่วงเวลาหยุดนำกระแส

2.4.2.3 ภาคชุดโหนดภาชนะหุ้มฉนวน



(ก) วงจรโหนด

(ข) วงจรเทียบเท่าหม้อแปลง

(ค) วงจรเทงก์

รูปที่ 2.19 ภาควงจรโหนดภาชนะหุ้มฉนวน

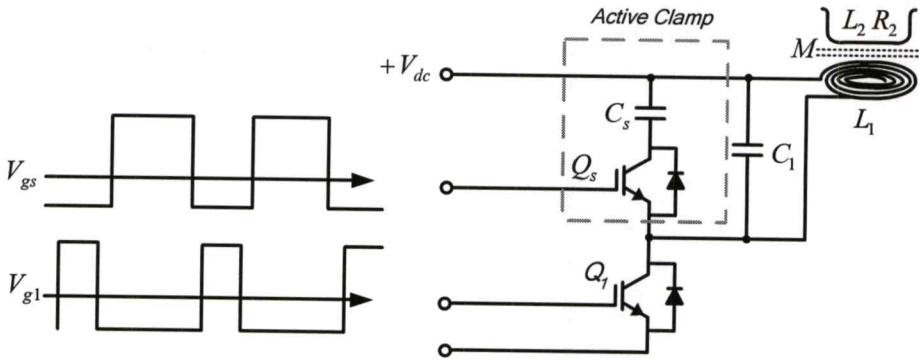
จากรูปที่ 2.19 (ก) ในส่วนนี้ประกอบด้วยขดลวด L_1 ซึ่งขดเป็นวงกลมให้พอดีกับกันภาชนะ (L_2, R_2) เส้นผ่านศูนย์กลาง 20 เซนติเมตร และทำหน้าที่เป็นตัวเหนี่ยวนำเรโซแนนซ์, ตัวเก็บประจุเรโซแนนซ์ C_1 สามารถเขียนเป็นวงจรสมมูลเทียบเท่าหม้อแปลงดังรูปที่ 2.19 (ข) และสามารถเขียนเป็นวงจรเทียบเท่าทางด้านปฐมภูมิดังรูปที่ 2.19 (ค) ซึ่งเป็นวงจรเสมือนของโหนดของวงจรอินเวอร์เตอร์เรโซแนนซ์แบบขนานโดยทั่วไปจะเรียกว่าวงจรเทงก์

ในงานวิจัยนี้ได้ออกแบบให้ใช้งานกับภาชนะหุ้มฉนวนชนิดกันเบนขนาดเส้นผ่านศูนย์กลางระหว่าง 18-20 เซนติเมตร (L_2, R_2) ดังนั้นความกว้างของขดขดลวด L_1 จึงต้องมีขนาดใกล้เคียงหรือพอดีกับกันภาชนะ ขดลวดได้ใช้ขดลวดทองแดงเบอร์ 30 AWG ซึ่งสามารถทนอุณหภูมิสูงสุดได้ 200 องศาเซลเซียส จำนวน 26 เส้น พันติเกลียวเพื่อชดเชยผลสกินเอฟเฟค (Skin Effect) ที่เกิดขึ้นกับการไหลของกระแสในขดลวดทองแดงขณะทำงานที่ความถี่สูง และมีพื้นที่เพียงพอกับปริมาณกระแสที่ไหลขณะเตาหุ้มฉนวนทำงานที่พิกัดสูงสุด ($\sim 60 A_{peak}$) ออกแบบฟอรัมขดลวดเป็นวงกลมโดยจุดศูนย์กลางเว้นช่องว่างเส้นผ่านศูนย์กลาง 4 เซนติเมตร

2.4.3 การควบคุมกำลังไฟฟ้าเอาต์พุต

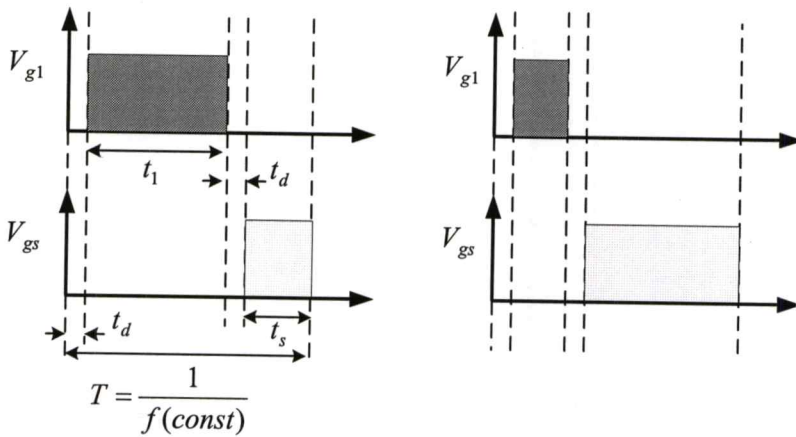
จากวงจรอินเวอร์เตอร์รูปที่ 2.20 กำหนดให้ความถี่สวิตซ์ซึ่งคงที่ 20 กิโลเฮิร์ตซ์สามารถควบคุมกำลังไฟฟ้าเอาต์พุตได้โดยการปรับเปอร์เซ็นต์ดิวตีแฟคเตอร์ (Duty Factor : D) ตามสมการที่ (2.34) จะได้สัญญาณ PWM ดังรูปที่ 2.21 เป็นการปรับสัญญาณขั้วเบสที่ค่าดิวตีต่างกันเพื่อควบคุม

กำลังเอาต์พุต เมื่อต้องการเพิ่มกำลังเอาต์พุตทำได้โดยการปรับช่วงเวลา t_1 ให้กว้างออก ลดกำลังเอาต์พุตโดยการปรับ t_1 ให้แคบลง



รูปที่ 2.20 สัญญาณขับเคลื่อนสวิตช์ Q_1 และ Q_s

$$D = \frac{t_1}{T} \quad (2.34)$$



รูปที่ 2.21 การควบคุมดิวิตีแฟคเตอร์

เมื่อ

V_{g1} คือ สัญญาณขับเคลื่อนของสวิตช์ Q_1

V_{gs} คือ สัญญาณขับเคลื่อนสวิตช์ Q_s

t_d คือช่วงประวิงเวลา

t_1 คือช่วงเวลาสัญญาณขับเคลื่อน V_{g1} สั่งให้สวิตช์ Q_1 ทำงาน

t_s คือช่วงเวลาสัญญาณขับเคลื่อน V_{gs} สั่งให้สวิตช์ Q_s ทำงาน

D คือเปอร์เซ็นต์ดิวิตีแฟคเตอร์

2.5 สรุป

จากทฤษฎีการให้ความร้อนโดยการเหนี่ยวนำด้วยความถี่สูง ดังได้กล่าวมาแล้วนี้ สามารถสรุปเป็นข้อ ๆ ได้ดังนี้

1. คุณสมบัติทางไฟฟ้าของวัสดุต่าง ๆ ที่นำมาใช้ทำภาชนะหุงต้มจะขึ้นอยู่กับค่าพารามิเตอร์ต่างๆ ของวัสดุนั้นไม่ว่าจะเป็น สภาพความต้านทานทางไฟฟ้า ρ ค่าความซึมซาบแม่เหล็ก μ , ความลึกลับ δ สภาพความต้านทานของภาชนะ R_2 จำนวนรอบของขดลวดเหนี่ยวนำ N และความถี่กระแสไฟฟ้าสลับที่ป้อนขดลวดเหนี่ยวนำ f ซึ่งค่าพารามิเตอร์เหล่านี้ทำให้ค่าความต้านทานเทียบเท่าและอินดักแตนซ์เทียบเท่าของวงจรโซแนนท์เปลี่ยนไป โดยที่อุปกรณ์ภาชนะหุงต้มที่ทำด้วยสาร nonmagnetic เช่น อลูมิเนียมและทองแดงจะมีค่าสภาพความต้านทานของอุปกรณ์บรรจุ R_2 ต่ำมากเมื่อเทียบกับภาชนะที่ทำด้วยสาร ferromagnetic เช่น สเตนเลสและเหล็ก เป็นต้น โดยจะมีความแตกต่างกันถึงประมาณ 50 เท่า ดังนั้น เมื่อวัสดุที่ทำด้วยสาร nonmagnetic มาใช้เป็นภาชนะหุงต้มจะทำให้มีกระแสมากเกินไปเป็นผลให้ชุดอินเวอร์เตอร์เสียหายได้ขณะเดียวถ้าจะเลือกอุปกรณ์บรรจุที่ทำด้วยสาร ferromagnetic ก็จะทำให้กระแสความถี่สูงจากวงจรอินเวอร์เตอร์มีขนาดลดลงได้มาก

2. เตาหุงต้มเหนี่ยวนำในงานวิจัยนี้ใช้วงจรอินเวอร์เตอร์แบบพีคดับเบิลยูเอ็มกึ่งเรโซแนนท์แบบขนาน ความถี่สวิตซ์ซึ่งคงที่ควบคุมกำลังไฟฟ้าเอาท์พุทด้วยการปรับเปอร์เซ็นต์ดีฟเฟอเรนซ์

3. ความถี่สวิตซ์ซึ่งที่ใช้งานจะต่ำกว่าความถี่เรโซแนนท์เนื่องจากสถานะ Impedance ที่จุดต่ำกว่าจุดเรโซแนนท์มีคุณสมบัติเป็น Inductive และทางกลับกันที่ความถี่สูงกว่าจุดเรโซแนนท์จะมีคุณสมบัติเป็น Capacitive

บทที่ 3

การวิเคราะห์และการจำลองทำงาน

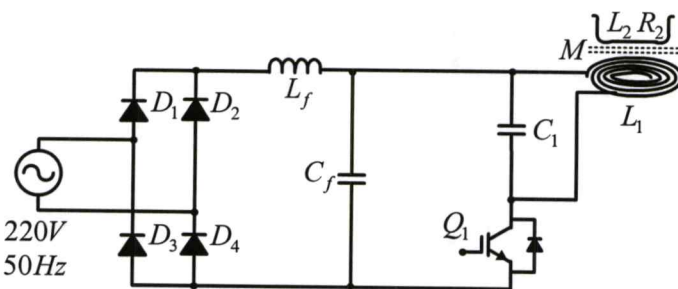
3.1 บทนำ

ในบทนี้จะกล่าวถึงการควบคุมการทำงานของวงจรอินเวอร์เตอร์ที่ดับเบิ้ลกึ่งเรโซแนนท์แบบขนานหรืออินเวอร์เตอร์คลาสอี ที่มีการปรับปรุงลดแรงดันที่ตกคร่อมสวิตช์หลัก (Q_1) รวมทั้งกล่าวถึงการวิเคราะห์และการจำลองการทำงานของวงจรอินเวอร์เตอร์ทั้งก่อนปรับปรุงและหลังปรับปรุงแรงดันตกคร่อมหลักในแต่ละสภาวะการทำงาน และสุดท้ายได้กล่าวถึงการประเมินสมรรถนะของระบบด้วยค่าดัชนีคุณภาพทางไฟฟ้าเพื่อเป็นแนวทางในการออกแบบและสร้างเครื่องต้นแบบต่อไป

3.2 การวิเคราะห์การทำงานของวงจรอินเวอร์เตอร์กึ่งเรโซแนนท์

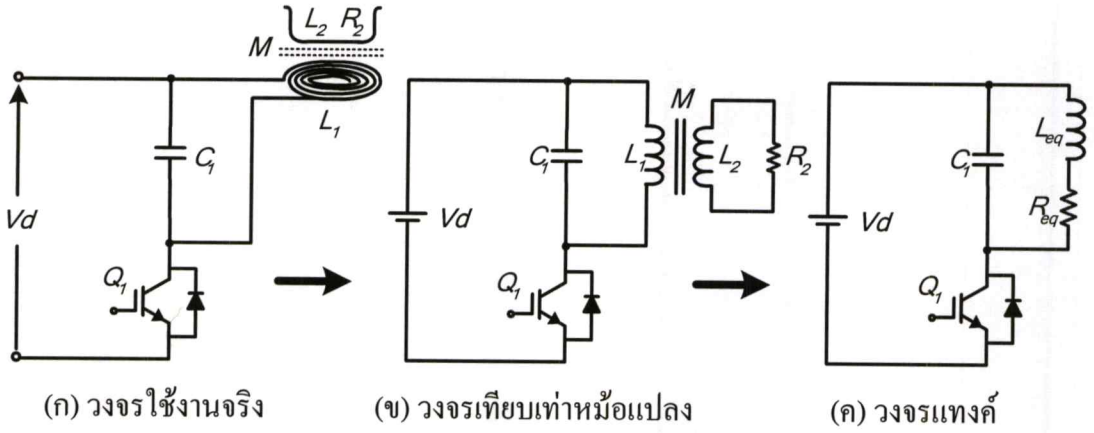
3.2.1 การวิเคราะห์การทำงานของอินเวอร์เตอร์กึ่งเรโซแนนท์ก่อนปรับปรุง

อินเวอร์เตอร์กึ่งเรโซแนนท์ในรูปที่ 3.1 เป็นซึ่งเป็นอินเวอร์เตอร์คลาสอี ลักษณะเด่นของอินเวอร์เตอร์ชนิดนี้คือ มีการสวิตช์ขณะแรงดันเป็นศูนย์ตลอดเวลาหากเลือกช่วงความถี่การสวิตช์ที่เหมาะสมทำให้ไม่มีการสูญเสียขณะเริ่มนำกระแส ง่ายต่อการออกแบบวงจรควบคุมประหยัดและราคาถูก แต่ในสภาวะที่สวิตช์หยุดทำงานในขณะที่มีค่ากระแสสูงสุด แรงดันตกคร่อมสวิตช์จะเพิ่มขึ้นอย่างรวดเร็วขณะที่กระแสค่อยๆลดลงจึงทำให้เกิดการสูญเสียเนื่องจากในจุดนี้ แต่สามารถจะลดลงได้ด้วยการออกแบบตัวเก็บประจุเรโซแนนท์ C_1 ค่าที่เหมาะสม



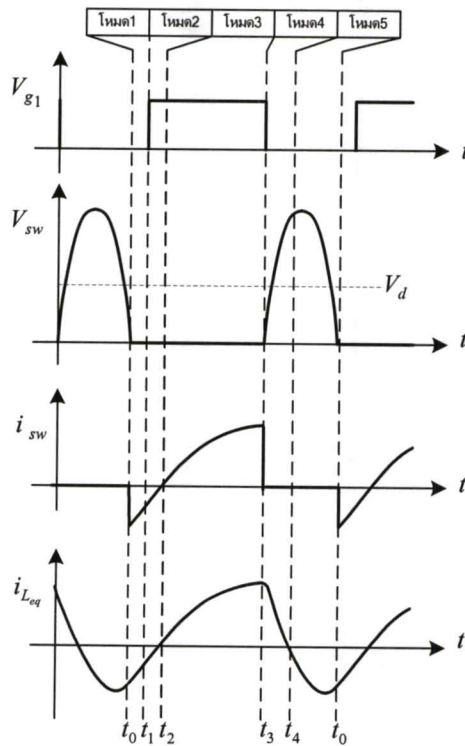
รูปที่ 3.1 วงจรอินเวอร์เตอร์กึ่งเรโซแนนท์ Class-E

จากรูปที่ 3.1 เมื่อพิจารณาในส่วนของวงจรโหลดดังรูปที่ 3.2 (ก) สามารถเขียนเป็นวงจรสมมูลเทียบเท่ากับแหล่งไฟฟ้าได้ดังรูปที่ 3.2 (ข) และวงจรสมมูลโหลดทางด้านปฐมภูมิดังรูปที่ 3.2 (ค) หรือที่เรียกว่าวงจรแทงค์



รูปที่ 3.2 วงจรสมมูลเตาหุงต้มเหนี่ยวนำก่อนปรับปรุง

เพื่อให้่ายในการพิจารณากำหนดให้อุปกรณ์ทุกตัวเป็นแบบอุดมคติและการทำงานของอินเวอร์เตอร์อยู่ในสภาวะคงที่ที่จะสามารถแบ่งโหมดและช่วงเวลาการทำงานในหนึ่งไซเคิลได้ดังรูปที่ 3.3

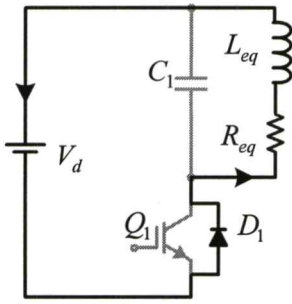


รูปที่ 3.3 โหมดการทำงานในหนึ่งไซเคิลก่อนปรับปรุง

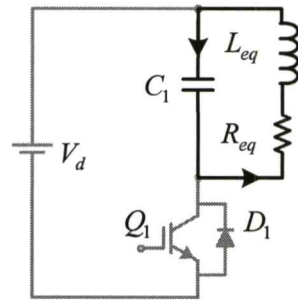
เมื่อ	V_{g1}	สัญญาณขั้วเกตสวิตช์ Q_1
	V_d	แรงดันเอาต์พุตเรกติไฟเออร์
	V_{sw}	แรงดันตกคร่อมสวิตช์ขณะหยุดนำกระแส
	i_{sw}	กระแสที่ไหลผ่านสวิตช์ Q_1

$i_{L_{eq}}$ กระแสที่ไหลผ่านขดลวดเหนี่ยวนำ

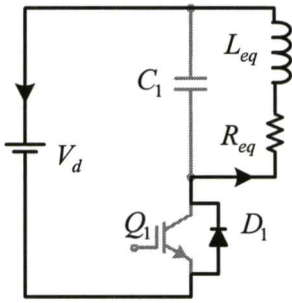
$t_0 - t_4$ ช่วงเวลาต่างๆในหนึ่งไซเคิล



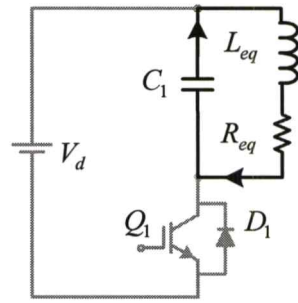
โหมด 1 ($t_0 - t_1$)



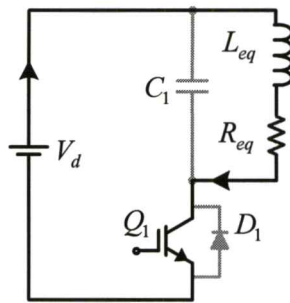
โหมด 5 ($t_4 - t_0$)



โหมด 2 ($t_1 - t_2$)



โหมด 4 ($t_3 - t_4$)



โหมด 3 ($t_2 - t_3$)

รูปที่ 3.4 โหมดการทำงานในหนึ่งไซเคิล

โหมด 1 ($t_0 - t_1$) $V_{g1} : OFF, Q_1 : OFF, D_1 : ON$

การทำงานของโหมดนี้จะทำงานอยู่ในช่วงซีกลบ ซึ่งจะไม่มีการส่งสัญญาณ V_{g1} ไปจับเกตของสวิตช์ Q_1 โดยที่ $V_d - V_{L_{eq}} - V_{R_{eq}}$ ทำให้ไดโอด D_1 นำกระแสจึงทำให้กระแส $i_{L_{eq}}$ มีทิศทางการไหลจาก $L_{eq} \longrightarrow V_d \longrightarrow D_1 \longrightarrow R_{eq}$

โหมด 2 ($t_1 - t_2$) $V_{g1} : ON, Q_1 : OFF, D_1 : ON$

การทำงานของโหมดนี้จะทำงานอยู่ในช่วงซีกลบ ซึ่งจะมีการส่งสัญญาณ V_{g1} ไปจับเกตของสวิตช์ Q_1 โดยที่ $V_d - V_{L_{eq}} - V_{R_{eq}}$ ยังคงทำให้ไดโอด D_1 นำกระแสจึงทำให้กระแส $i_{L_{eq}}$ มีทิศ

ทางการไหลจาก $L_{eq} \longrightarrow V_d \longrightarrow D_1 \longrightarrow R_{eq}$ จนกว่า $L_{eq} \frac{di_{L_{eq}}}{dt} = 0$ ไคโอด D_1 จึงหยุดนำกระแส

โหมด 3 ($t_2 - t_3$) $V_{g1} : ON, Q_1 : ON, D_1 : OFF$

การทำงานของโหมดนี้จะทำงานอยู่ในช่วงซีกบวกซึ่งจะมีการส่งสัญญาณ V_{g1} ไปขับเคลื่อนของสวิตช์ Q_1 โดยที่สวิตช์ Q_1 จะเริ่มนำกระแสขณะที่แรงดันเป็นศูนย์ (ZVS) เนื่องจากสถานะเริ่มต้นของ $L_{eq} \frac{di_{L_{eq}}}{dt} = 0$ กระแสจะค่อยๆเพิ่มขึ้นตามเวลาและกระแส $i_{L_{eq}}$ จะมีทิศทางการไหลจาก $L_{eq} \longrightarrow R_{eq} \longrightarrow V_d$ และจะมีค่าสูงสุดที่ช่วงเวลา t_3

โหมด 4 ($t_3 - t_4$) $V_{g1} : OFF, Q_1 : OFF, D_1 : OFF$

การทำงานของโหมดนี้จะทำงานอยู่ในช่วงซีกบวกซึ่งจะไม่มีมีการส่งสัญญาณ V_{g1} ไปขับเคลื่อนของสวิตช์ Q_1 โดยที่ตัวเก็บประจุเรโซแนนซ์ C_1 จะทำหน้าที่ลดการสูญเสียขณะสวิตช์หยุดนำกระแสทิศทางการไหล $i_{L_{eq}}$ จะไหลจาก $L_{eq} \longrightarrow R_{eq} \longrightarrow C_1$ เนื่องจากพลังงานสะสมในขดลวดเหนี่ยวนำ กระแส $i_{L_{eq}}$ จะหยุดไหลที่เวลา t_4 ซึ่ง $L_{eq} \frac{di_{L_{eq}}}{dt} = 0$

โหมด 5 ($t_4 - t_0$) $V_{g1} : OFF, Q_1 : OFF, D_1 : OFF$

การทำงานของโหมดนี้จะทำงานอยู่ในช่วงซีกลบซึ่งจะไม่มีมีการส่งสัญญาณ V_{g1} ไปขับเคลื่อนของสวิตช์ Q_1 โดยที่ตัวเก็บประจุเรโซแนนซ์ C_1 จะทำการคายประจุ $i_{L_{eq}}$ จะมีทิศทางการไหลจาก $L_{eq} \longrightarrow C_1 \longrightarrow R_{eq}$ ซึ่งมีทิศทางการตรงกันข้าม เมื่อ C_1 คายประจุจนหมดจะกลับเข้าสู่โหมดการทำงานที่ 1

จากรูปที่ 3.4 ในช่วงเวลาการทำงานหนึ่งไซเคิลแบ่งออกเป็น 5 โหมดการทำงานซึ่งแบ่งตามลักษณะของสัญญาณควบคุมของสวิตช์ Q_1 คือการทำงานแบบ ON-OFF ที่ดิวตีไซเคิล 50% สลับกันไปเรื่อยๆสามารถเขียนเป็นสมการได้สองสภาวะดังนี้

3.2.1.1 สภาวะสัญญาณขับเคลื่อน $V_{g1} : ON$

จากรูปที่ 3.3 คือช่วงเวลาของสัญญาณขับเคลื่อน V_{g1} ทำงาน ประกอบด้วยโหมด 2 ($t_1 - t_2$) และโหมด 3 ($t_2 - t_3$) กระแส $i_{L_{eq}}$ จะมีทิศทางการไหลจาก $L_{eq} \longrightarrow V_d \longrightarrow D_1 \longrightarrow R_{eq}$ โดยที่สวิตช์ Q_1 จะเริ่มนำกระแสที่ช่วงเวลา t_1 ในสภาวะ ZVS สามารถอธิบายในรูปของสมการแรงดันและกระแสได้ในสมการที่ (3.1) และ (3.2)

$$-V_d + L_{eq} \frac{di_{L_{eq}}}{dt} + R_{eq} i_{L_{eq}} = 0 \quad (3.1)$$

$$i_{L_{eq}}(t) = \frac{V_d}{R_{eq}} + \left(i_{0,L_{eq}}(t_1) - \frac{V_d}{R_{eq}} \right) e^{-\frac{L_{eq}}{R_{eq}}t} \quad (3.2)$$

เมื่อ $i_{0,L_{eq}}(t_1)$: สภาวะกระแสเริ่มต้น

3.2.1.2 สภาวะสัญญาณขั้วเกต $V_{g1} : OFF$

จากรูปที่ 3.3 คือช่วงเวลาของสัญญาณขั้วเกต V_{g1} หยุดทำงานประกอบด้วยโหมด 4 ($t_3 - t_4$), โหมด 5 ($t_4 - t_0$) และโหมด 1 ($t_0 - t_1$) ซึ่งสามารถอธิบายในรูปของสมการของแรงดันและกระแสดังสมการที่ (3.3) และ (3.4)

$$-V_d + L_{eq} \frac{di_{L_{eq}}}{dt} + R_{eq}i_{L_{eq}} + \frac{1}{C_1} \int i_{L_{eq}} dt = 0 \quad (3.3)$$

$$i_{L_{eq}}(t) = k_1 e^{\frac{a}{2}t} + k_2 e^{\frac{b}{2}t} \quad (3.4)$$

โดยที่

$$k_1 = \frac{2V_d - i_{L_{eq}}(t_3)R_{eq}}{2L_{eq} \sqrt{\left(\frac{R_{eq}}{L_{eq}}\right)^2 - \frac{4}{L_{eq}C_1}}} + \frac{i_{L_{eq}}(t_3)}{2} \quad (3.5)$$

$$k_2 = \frac{i_{L_{eq}}(t_3)}{2} - \frac{2V_d - i_{L_{eq}}(t_3)R_{eq}}{2L_{eq} \sqrt{\left(\frac{R_{eq}}{L_{eq}}\right)^2 - \frac{4}{L_{eq}C_1}}} \quad (3.6)$$

$$a = -\frac{R_{eq}}{L_{eq}} + \left(\sqrt{\left(\frac{R_{eq}}{L_{eq}}\right)^2 - \frac{4}{L_{eq}C_1}} \right) \quad (3.7)$$

$$b = -\frac{R_{eq}}{L_{eq}} - \left(\sqrt{\left(\frac{R_{eq}}{L_{eq}}\right)^2 - \frac{4}{L_{eq}C_1}} \right) \quad (3.8)$$

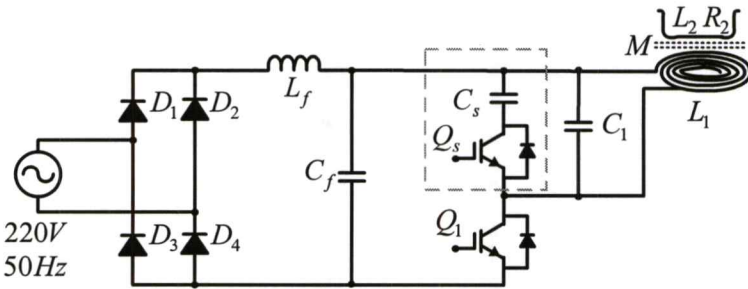
จากสมการที่ (3.4) สามารถหาแรงหาค่าแรงดันตกคร่อมสวิตช์ในสภาวะหยุดทำงานได้ดังสมการที่ (3.9)

$$V_{sw}(t) = \frac{1}{2\pi f_s C_1} (1 - e^{-t_{off} f_s}) \left(\frac{2}{a} k_1 e^{a\pi} + \frac{2}{b} k_2 e^{a\pi} \right) + V_m \sin \omega t \quad (3.9)$$

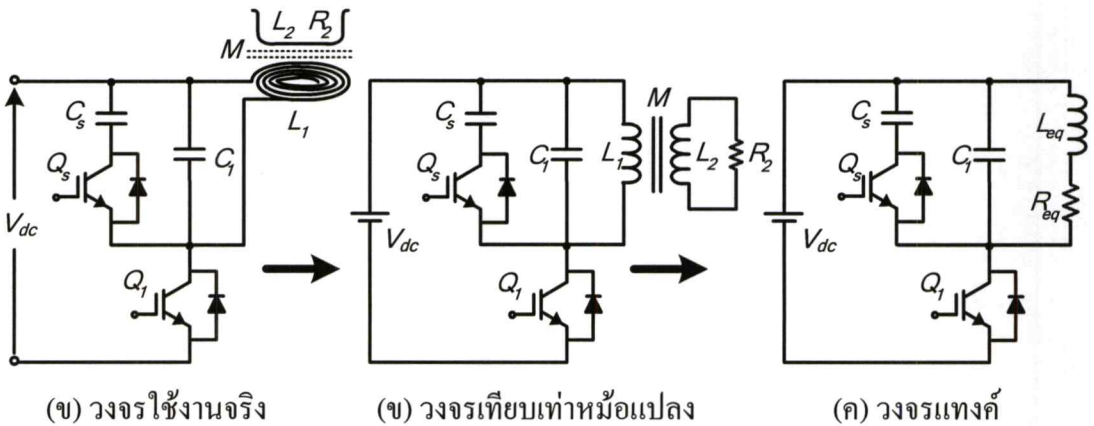
เมื่อ $1 - t_{off} f_s = D$ และ V_m แรงดันสูงสุดด้านอินพุท

3.2.2 การวิเคราะห์สภาวะการทำงานของวงจรอินเวอร์เตอร์ที่ดับเบิลยูเอ็มกึ่งเรโซแนนท์แบบขนานหลังปรับปรุง

จากรูปที่ 3.5 เป็นวงจรอินเวอร์เตอร์กึ่งเรโซแนนท์คลาสอี หลังปรับปรุงโดยเพิ่มชุด Active-Clamp ซึ่งประกอบด้วยเก็บบประจุ C_s ต่อนุกรมกับสวิตช์ Q_s เพื่อทำหน้าที่ลดแรงตกคร่อมสวิตช์หลักในช่วงหยุดทำงาน



รูปที่ 3.5 วงจรอินเวอร์เตอร์หลังปรับปรุง



รูปที่ 3.6 วงจรสมมูลโหลดหลังปรับปรุง

เพื่อให้่ายในการพิจารณาจากวงจรใช้งานจริงรูปที่ 3.6 (ก) สามารถเขียนเป็นวงจรสมมูลของโหลดเทียบเท่าหม้อแปลงไฟฟ้าและวงจรแทนค่าดังรูปที่ 3.6 (ข) และ (ค) ตามลำดับ ซึ่งการทำงานของสวิตช์ Q_1 และ Q_s จะ ON-OFF สลับกันไป ตามสัญญาณขั้วเกต V_{g1} และ V_{gs} เมื่อ

ต้องการเพิ่มกำลังไฟฟ้าเอาต์พุตทำได้โดยการเพิ่มช่วงเวลาการทำงาน Ton_1 ของสัญญาณขับเคลื่อน V_{g1} ลดกำลังไฟฟ้าเอาต์พุตโดยการลดช่วงเวลาการทำงาน Ton_1 ของ V_{g1} ดังรูปที่ 3.7 ซึ่งมีรายละเอียดดังนี้

V_{g1} คือ สัญญาณขับเคลื่อนของสวิตช์ Q_1

V_{gs} คือ สัญญาณขับเคลื่อนสวิตช์ Q_s

t_d คือช่วงประวิงเวลา

Ton_1 คือช่วงเวลาสัญญาณขับเคลื่อน V_{g1} สั่งให้สวิตช์ Q_1 ทำงาน

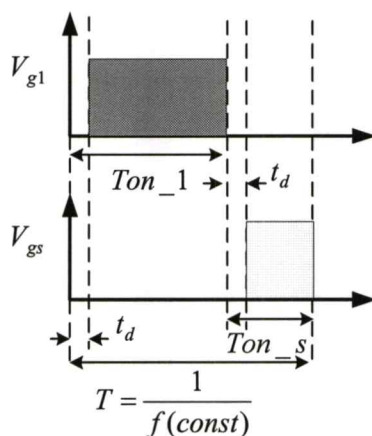
Ton_s คือช่วงเวลาสัญญาณขับเคลื่อน V_{gs} สั่งให้สวิตช์ Q_s ทำงาน

T คือคาบเวลาในหนึ่งไซเคิล

f คือความถี่สวิตช์

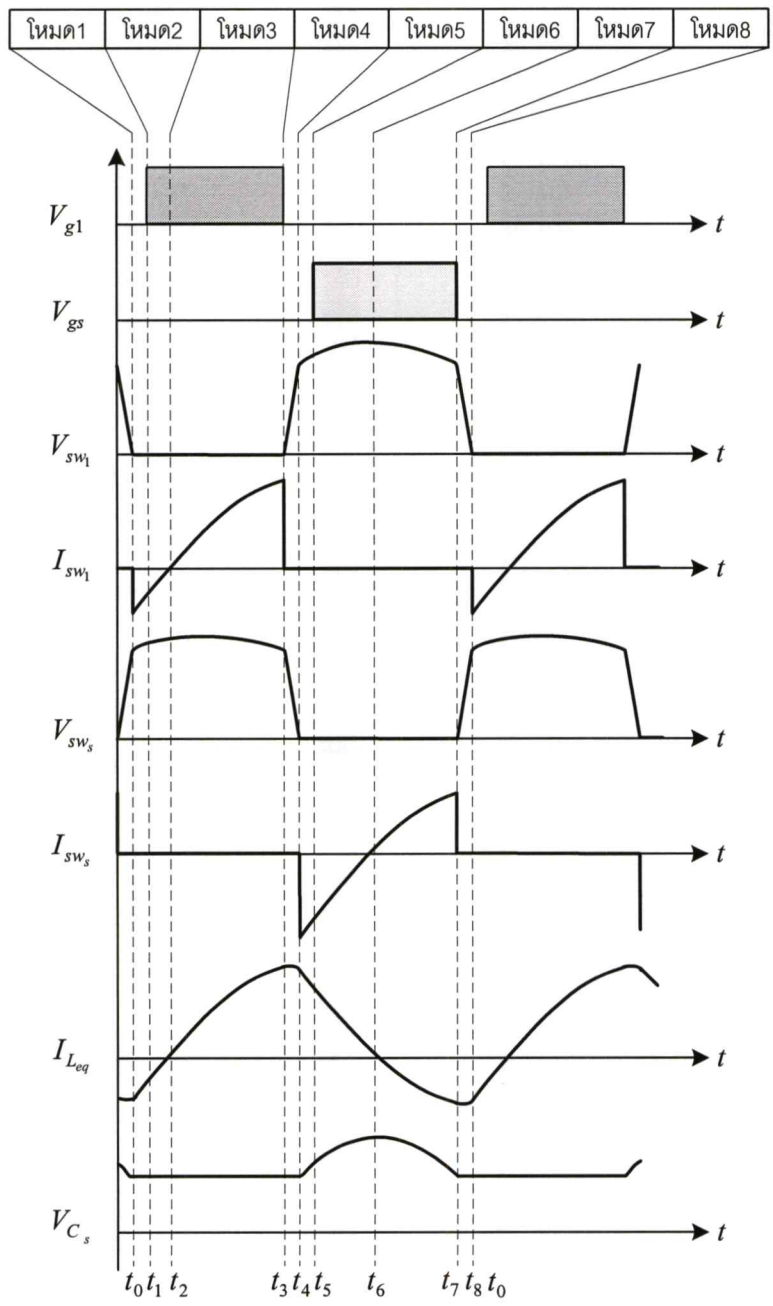
D คือเปอร์เซ็นต์ดีวตีเฟคเตอร์ของสัญญาณขับเคลื่อนหาได้จากสมการที่ (3.10)

$$D = \frac{Ton_1}{T} \quad (3.10)$$



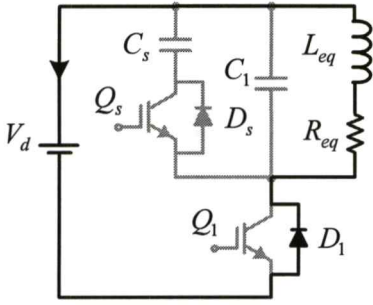
รูปที่ 3.7 สัญญาณขับเคลื่อน

ในการวิเคราะห์โหมมดการทำงานซึ่งจะกำหนดให้อุปกรณ์ทุกตัวเป็นแบบอุดมคติ อินเวอร์เตอร์ทำงานที่สภาวะคงที่ ดีวตีไซเคิล 50% ความถี่สวิตช์ซึ่งคงที่ทำให้สามารถแบ่งช่วงเวลาการทำงานในหนึ่งไซเคิลออกเป็น 8 โหมมดการทำงานดังรูปที่ 3.8

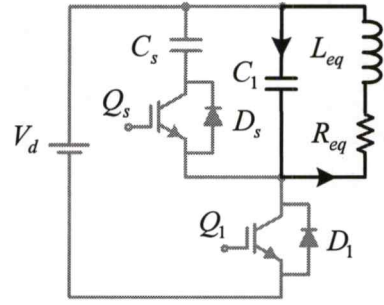


รูปที่ 3.8 โหมดการทำงานในหนึ่งไซเคิลก่อนปรับปรุง

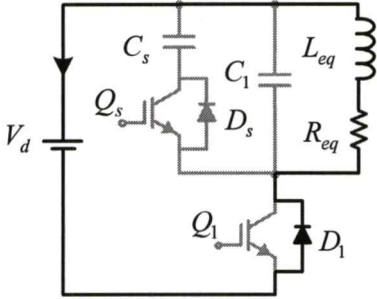
จากรูปที่ 3.8 โหมดการทำงานถูกแบ่งด้วยลักษณะการทำงาน ON-OFF ของสัญญาณขับเคลื่อน โดยที่ช่วงเวลาในหนึ่งไซเคิลประกอบด้วย t_0 ถึง t_8 สามารถเขียนเป็นวงจรสมมูลการทำงานในแต่ละโหมดได้ดังรูปที่ 3.9 เขียนเป็นตารางสรุปการทำงานของสวิตช์ในแต่ละโหมดดังตารางที่ 3.1 เป็นการพิจารณาจากสัญญาณขับเคลื่อน V_{g1} และ V_{gs} จากรูปที่ 3.7



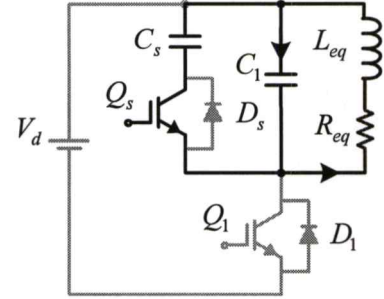
โหมด 1



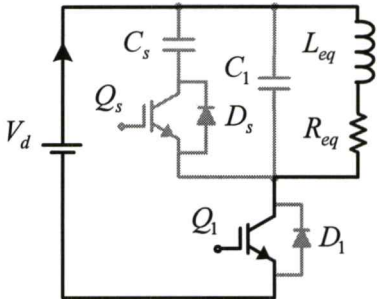
โหมด 8



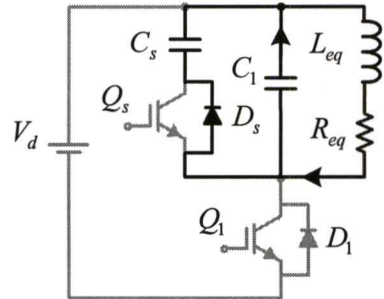
โหมด 2



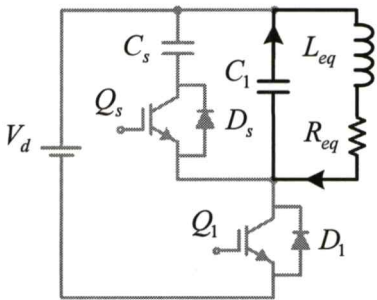
โหมด 7



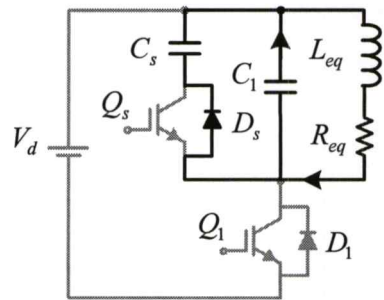
โหมด 3



โหมด 6



โหมด 4



โหมด 5

รูปที่ 3.9 สภาวะการทำงานของอินเวอร์เตอร์กึ่งเรโซแนนท์หลังปรับปรุง

ตารางที่ 3.1 ตารางการทำงานของสวิตช์ในแต่ละโหมด

	t	V_{g1}	V_{gs}	Q_1	D_1	Q_s	D_s
โหมด1	$(t_0 - t_1)$	OFF	OFF	OFF	ON	OFF	OFF
โหมด2	$(t_1 - t_2)$	ON	OFF	OFF	ON	OFF	OFF
โหมด3	$(t_2 - t_3)$	ON	OFF	ON	OFF	OFF	OFF
โหมด4	$(t_3 - t_4)$	OFF	OFF	OFF	OFF	OFF	OFF
โหมด5	$(t_4 - t_5)$	OFF	OFF	OFF	OFF	OFF	ON
โหมด6	$(t_5 - t_6)$	OFF	ON	OFF	OFF	OFF	ON
โหมด7	$(t_6 - t_7)$	OFF	ON	OFF	OFF	ON	OFF
โหมด8	$(t_7 - t_8)$	OFF	OFF	OFF	OFF	OFF	OFF

จากวงจรสมมูลในแต่ละโหมดการทำงานในรูปที่ 3.9 สามารถอธิบายได้ดังนี้

โหมด1

การทำงานของโหมดนี้กระแส $i_{L_{eq}}$ จะทำงานอยู่ในซีกลบ ซึ่งจะไม่มีการส่งสัญญาณ V_{g1} ไปขับเคลื่อนเนื่องจากอยู่ในช่วงประวิงเวลา t_d ของสวิตช์ Q_1 ไดโอด D_1 นำกระแส $i_{L_{eq}}$ มีทิศทางการไหลจาก $L_{eq} \longrightarrow V_d \longrightarrow D_1 \longrightarrow R_{eq}$

โหมด2

การทำงานของโหมดนี้กระแส $i_{L_{eq}}$ จะทำงานอยู่ในซีกลบ ซึ่งจะมีการส่งสัญญาณ V_{g1} ไปขับเคลื่อนของสวิตช์ Q_1 แต่ไดโอด D_1 ยังคงนำกระแสเนื่องจาก $L \frac{di_{L_{eq}}}{dt} + R_{eq} i_{L_{eq}} > V_d$ ซึ่ง $i_{L_{eq}}$ มีทิศทางการไหลจาก $L_{eq} \longrightarrow V_d \longrightarrow D_1 \longrightarrow R_{eq}$ และจะหยุดไหลเมื่อ $L \frac{di_{L_{eq}}}{dt} + R_{eq} i_{L_{eq}} = V_d$

โหมด3

การทำงานของโหมดนี้กระแส $i_{L_{eq}}$ จะทำงานอยู่ในซีกบวก ซึ่งจะมีการส่งสัญญาณ V_{g1} ไปขับเคลื่อนของสวิตช์ Q_1 และเริ่มนำกระแสขณะแรงดันเป็นศูนย์ ZVS กระแส $i_{L_{eq}}$ มีทิศทางการไหลจาก $L_{eq} \longrightarrow R_{eq} \longrightarrow Q_1 \longrightarrow V_d$ และจะเพิ่มขึ้นตามเวลาตามคุณสมบัติของโหลดที่ขั้วทำวงจร RL

โหมด4

การทำงานของโหมดนี้กระแส $i_{L_{eq}}$ จะทำงานอยู่ในซีกบวก ซึ่งจะไม่มีการส่งสัญญาณ V_{g1} และ V_{gs} ไปขับเคลื่อนเนื่องจากอยู่ในช่วงประวิงเวลา t_d ของสวิตช์ Q_s ในโหมดนี้จะเข้าสู่สถานะการเกิดเรโซแนนซ์กระแส $i_{L_{eq}}$ จะ มีทิศทางการไหลจาก $L_{eq} \longrightarrow R_{eq} \longrightarrow C_1$ จนแรงดันที่ตัวเก็บ

ประจุ C_1 มีเท่ากับ $V_d - V_{C_1} - V_{C_s}$ ไคโอด D_s ของสวิตช์ Q_s จะเริ่มนำกระแสซึ่งจะเข้าสู่สภาวะการทำงานที่ 5

โหมด 5

การทำงานของโหมดนี้กระแส $i_{L_{eq}}$ จะทำงานอยู่ในซีกบวก ซึ่งจะไม่มีการส่งสัญญาณ V_{gs1} และ V_{gs} ไปขับเคลื่อนเนื่องจากอยู่ในช่วงประวิงเวลา t_d ของสวิตช์ Q_s ไคโอด D_s จะเริ่มนำกระแสโดยที่กระแส $i_{L_{eq}} = i_{C_1} + i_{C_s}$

โหมด 6

การทำงานของโหมดนี้กระแส $i_{L_{eq}}$ จะทำงานอยู่ในซีกบวก ซึ่งจะมีการส่งสัญญาณ V_{gs} ไปขับเคลื่อน ของสวิตช์ Q_s แต่ไคโอด D_s ยังคงนำกระแสโดยที่กระแส $i_{L_{eq}} = i_{C_1} + i_{C_s}$ ซึ่ง กระแสจะไหลผ่าน C_1 และ C_s เนื่องจาก C_s มีค่ามากกว่า C_1 มากๆ ส่งผลทำให้กระแสยังคงไหลผ่าน C_s ซึ่งมีผลทำให้แรงดันที่ตกคร่อมสวิตช์ Q_1 ลดลง โดยโหมดนี้เป็นการแอกทีฟลดแรงดันตกคร่อมสวิตช์หลัก Q_1

โหมด 7

การทำงานของโหมดนี้กระแส $i_{L_{eq}}$ จะทำงานอยู่ในซีกลบ ซึ่งจะมีการส่งสัญญาณ V_{gs} ไปขับเคลื่อน สวิตช์ Q_s เริ่มนำกระแสขณะที่เกิดสภาวะ ZVS โดยกระแส $i_{L_{eq}}$ จะมีทิศทางตรงข้าม

โหมด 8

การทำงานของโหมดนี้กระแส $i_{L_{eq}}$ จะทำงานอยู่ในซีกลบ ซึ่งจะไม่มีการส่งสัญญาณ V_{gs1} และ V_{gs} ไปขับเคลื่อนเนื่องจากอยู่ในช่วงประวิงเวลา t_d ของสวิตช์ Q_1 จะเป็นโหมดของการเกิดเรโซแนนซ์ มีทิศทางการไหลของกระแส $i_{L_{eq}}$ จาก $L_{eq} \longrightarrow C_1 \longrightarrow R_{eq}$ จนกว่าแรงดันที่ตกคร่อม C_1 จะมากกว่า V_d ซึ่งจะทำให้ไคโอด D_1 ของสวิตช์ Q_1 เริ่มทำงานหลังจากนั้นจะเข้าสู่โหมด 1

จากโหมดการทำงานทั้งหมด 8 โหมด สวิตช์ Q_1 และ Q_s ON-OFF สลับกันไปตามสัญญาณขับเคลื่อน V_{gs1}, V_{gs} ดังนั้นสามารถเขียนเป็นสมการแรงดันและกระแสที่ไหลผ่านวงจรโหลดได้ดังนี้

3.2.2.1 สภาวะสัญญาณขับเคลื่อน $V_{gs1} : ON$

จากรูปที่ 3.8 คือช่วงเวลาของสัญญาณขับเคลื่อน V_{gs1} ทำงาน ประกอบด้วยโหมด 1, 2, 3 $i_{L_{eq}}$ สามารถเขียนเป็นสมการแรงดันและกระแสดังสมการที่ (3.11) และ (3.12) ตามลำดับ

$$-V_d + L_{eq} \frac{di_{L_{eq}}}{dt} + R_{eq} i_{L_{eq}} = 0 \quad (3.11)$$

$$i_{L_{eq}}(t) = \frac{V_d}{R_{eq}} + \left(i_{L_{eq}}(t_0) - \frac{V_d}{R_{eq}} \right) e^{-\frac{V_d}{R_{eq}t}} \quad (3.12)$$

3.2.2.2 สถานะสัญญาณขั้วเกต $V_{g1} : OFF$

จากรูปที่ 3.8 คือช่วงเวลาของสัญญาณขั้วเกต V_{g1} หยุดทำงานและอยู่ในช่วงประวิงเวลาของสัญญาณขั้วเกต V_{gs} ซึ่งเป็นการทำงานของโหมด 4 กระแส $i_{L_{eq}}$ มีทิศทางการไหลจาก $L_{eq} \longrightarrow R_{eq} \longrightarrow C_1$ สามารถเขียนเป็นสมการแรงดันและกระแสได้ดังนี้

$$L_{eq} \frac{di_{L_{eq}}}{dt} + R_{eq} i_{L_{eq}} + \frac{1}{C_1} \int i_{L_{eq}} dt = 0 \quad (3.13)$$

$$i_{L_{eq}}(t) = k_1 e^{\frac{a}{2}t} + k_2 e^{\frac{b}{2}t} \quad (3.14)$$

โดยที่

$$k_1 = \frac{i_{L_{eq}}(t_3)}{2} - \frac{i_{L_{eq}}(t_3)R_{eq}}{2L_{eq}\sqrt{\left(\frac{R_{eq}}{L_{eq}}\right)^2 - \frac{4}{L_{eq}C_1}}} \quad (3.15)$$

$$k_2 = \frac{i_{L_{eq}}(t_3)}{2} + \frac{i_{L_{eq}}(t_3)R_{eq}}{2L_{eq}\sqrt{\left(\frac{R_{eq}}{L_{eq}}\right)^2 - \frac{4}{L_{eq}C_1}}} \quad (3.16)$$

$$a = -\frac{R_{eq}}{L_{eq}} + \left(\sqrt{\left(\frac{R_{eq}}{L_{eq}}\right)^2 - \frac{4}{L_{eq}C_1}} \right) \quad (3.17)$$

$$b = -\frac{R_{eq}}{L_{eq}} - \left(\sqrt{\left(\frac{R_{eq}}{L_{eq}}\right)^2 - \frac{4}{L_{eq}C_1}} \right) \quad (3.18)$$

3.2.2.3 สถานะสัญญาณขั้วเกต $V_{gs} : ON$

จากรูปที่ 3.8 คือช่วงเวลาของสัญญาณขั้วเกต V_{gs} ทำงาน ประกอบด้วยโหมด 5, 6, 7 เมื่อไดโอด D_s ทำงานจะทำให้แรงดันตกคร่อมสวิตช์หลัก Q_1 จะลดลงและเมื่อสวิตช์ Q_s เกิด ZVS ในโหมด 7 มีทิศทางการไหลของ $i_{L_{eq}}$ จาก $L_{eq} \longrightarrow C_1 \longrightarrow R_{eq}$ และ $L_{eq} \longrightarrow C_s \longrightarrow R_{eq}$ สามารถเขียนเป็นสมการกระแสดังสมการที่ (3.19) และเขียนเป็นสมการแรงดันและกระแสสถานะเริ่มต้นได้ดังสมการที่(3.20)-(3.23)

$$i_{L_{eq}} = i_{C_1} + i_{C_s} \quad (3.19)$$

$$L_{eq} \frac{di_{C_1}}{dt} + R_{eq} i_{C_1} + \frac{1}{C_1} \int i_{C_1} dt = 0 \quad (3.20)$$

$$L_{eq} \frac{di_{C_s}}{dt} + R_{eq} i_{C_s} + \frac{1}{C_s} \int i_{C_s} dt = 0 \quad (3.21)$$

$$i_{C_1}(t_s) = \frac{C_s}{C_s + C_1} i_{L_{eq}}(t_s) \quad (3.22)$$

$$i_{C_s}(t_s) = \frac{C_1}{C_s + C_1} i_{L_{eq}}(t_s) \quad (3.23)$$

จากสมการที่ (3.20)- (3.23) กระแสของตัวเก็บประจุเรโซแนนท์ C_1 และตัวเก็บประจุ C_s สามารถนำมาเขียนเป็นสมการที่ (3.24) และ (3.25)

$$i_{C_1}(t) = A'e^{\frac{a}{2}t} + B'e^{\frac{b}{2}t} \quad (3.24)$$

$$i_{C_s}(t) = A''e^{\frac{a}{2}t} + B''e^{\frac{b}{2}t} \quad (3.25)$$

แทนค่าสมการที่ (3.24) และ (3.25) ลงในสมการที่ (3.19) จะได้สมการของกระแสโหลดที่ ดังสมการที่

$$i_{L_{eq}}(t) = (A' + A'')e^{\frac{a}{2}t} + (B' + B'')e^{\frac{b}{2}t} \quad (3.26)$$

เมื่อ

$$A' = \frac{i_{C_1}(t_s)}{2} - \frac{i_{C_1}(t_s)R_{eq}}{2L_{eq}\sqrt{\left(\frac{R_{eq}}{L_{eq}}\right)^2 - \frac{4}{L_{eq}C_1}}} \quad (3.27)$$

$$B' = \frac{i_{C_1}(t_s)}{2} + \frac{i_{C_1}(t_s)R_{eq}}{2L_{eq}\sqrt{\left(\frac{R_{eq}}{L_{eq}}\right)^2 - \frac{4}{L_{eq}C_1}}} \quad (3.28)$$

$$A^n = \frac{i_{C_s}(t_5)}{2} - \frac{i_{C_s}(t_5)R_{eq}}{2L_{eq}\sqrt{\left(\frac{R_{eq}}{L_{eq}}\right)^2 - \frac{4}{L_{eq}C_1}}} \quad (3.29)$$

$$B^n = \frac{i_{C_s}(t_5)}{2} + \frac{i_{C_s}(t_5)R_{eq}}{2L_{eq}\sqrt{\left(\frac{R_{eq}}{L_{eq}}\right)^2 - \frac{4}{L_{eq}C_1}}} \quad (3.30)$$

3.2.2.4 สถานะสัญญาณขับเคลื่อน V_{gs} : OFF

จะเป็นช่วงของการทำงานในโหมด 8 จะมีทิศทางการไหลของกระแส $i_{L_{eq}}$ จาก $L_{eq} \longrightarrow C_1 \longrightarrow R_{eq}$ สามารถเขียนเป็นสมการแรงดันและกระแสคังสมการที่ (3.31) และ (3.32) ตามลำดับ

$$L_{eq} \frac{di_{L_{eq}}}{dt} + R_{eq}i_{L_{eq}} + \frac{1}{C_1} \int i_{L_{eq}} dt = 0 \quad (3.31)$$

$$i_{L_{eq}}(t) = A^m e^{\frac{a}{2}t} + B^m e^{\frac{b}{2}t} \quad (3.32)$$

เมื่อ

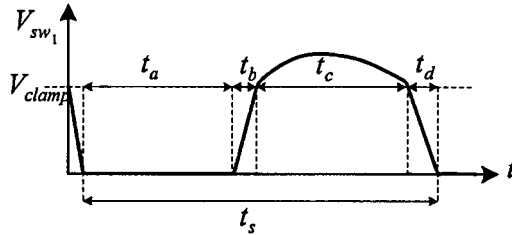
$$A^m = \frac{i_{L_{eq}}(t_7)}{2} - \frac{i_{L_{eq}}(t_7)R_{eq}}{2L_{eq}\sqrt{\left(\frac{R_{eq}}{L_{eq}}\right)^2 - \frac{4}{L_{eq}C_1}}} \quad (3.33)$$

$$B^m = \frac{i_{L_{eq}}(t_7)}{2} + \frac{i_{L_{eq}}(t_7)R_{eq}}{2L_{eq}\sqrt{\left(\frac{R_{eq}}{L_{eq}}\right)^2 - \frac{4}{L_{eq}C_1}}} \quad (3.34)$$

จากรูปที่ 3.10 เป็นรูปคลื่นแรงดันตกคร่อมสวิตช์หลัก Q_1 ในหนึ่งไซเคิลการทำงาน ขณะที่ สวิตช์ turn-off จะเกิดการเรโซแนนซ์ระหว่าง $R_{eq}L_{eq}$ และ C_1 เมื่อแรงดันเพิ่มขึ้นจนถึงระดับ V_{clamp} ไดโอด D_s จะเริ่มทำงานจุดเรโซแนนซ์จะเปลี่ยนไปเนื่องจากการเพิ่มเข้ามาของ C_s แรงดันที่ตกคร่อมสวิตช์หลัก Q_1 จะลดลงด้วยตัวเก็บประจุ C_s ด้วยค่าคงที่ค่าหนึ่งสามารถคำนวณหาได้จากสมการที่ 3.36 เมื่อกำหนดให้ระหว่างเกิดการเรโซแนนซ์ในหนึ่งไซเคิลพลังงานสมดุลกันสามารถเขียนเป็นสมการที่ 3.35

$$t_s V_{sw_1} \cong \frac{1}{2} k V_{sw_1} (t_b + t_d) + t_c k V_{sw_1} \quad (3.35)$$

$$k = \frac{2t_s}{2t_c + t_b + t_d} \quad (3.36)$$



รูปที่ 3.10 แรงดันตกรวมสวิตช์หลักในหนึ่งไซเคิล

จากการที่เพิ่มชุด Active-Clamp เข้าไปในอินเวอร์เตอร์คลาสอีจะทำให้เกิดสองจุดคือสถานะเรโซแนนซ์ของคลาสอี สามารถอธิบายได้จากสมการที่ 3.37 และสถานะเรโซแนนซ์ขณะการ Active-Clamped อธิบายได้จากสมการที่ 3.38

$$f_{rE} = \frac{1}{2\pi\sqrt{L_{eq}C_1}} \quad (3.37)$$

$$f_{rA} = \frac{1}{2\pi\sqrt{L_{eq}(C_1 + C_s)}} \quad (3.38)$$

เมื่อ

f_{rE} คือความถี่เรโซแนนซ์ของคลาสอี

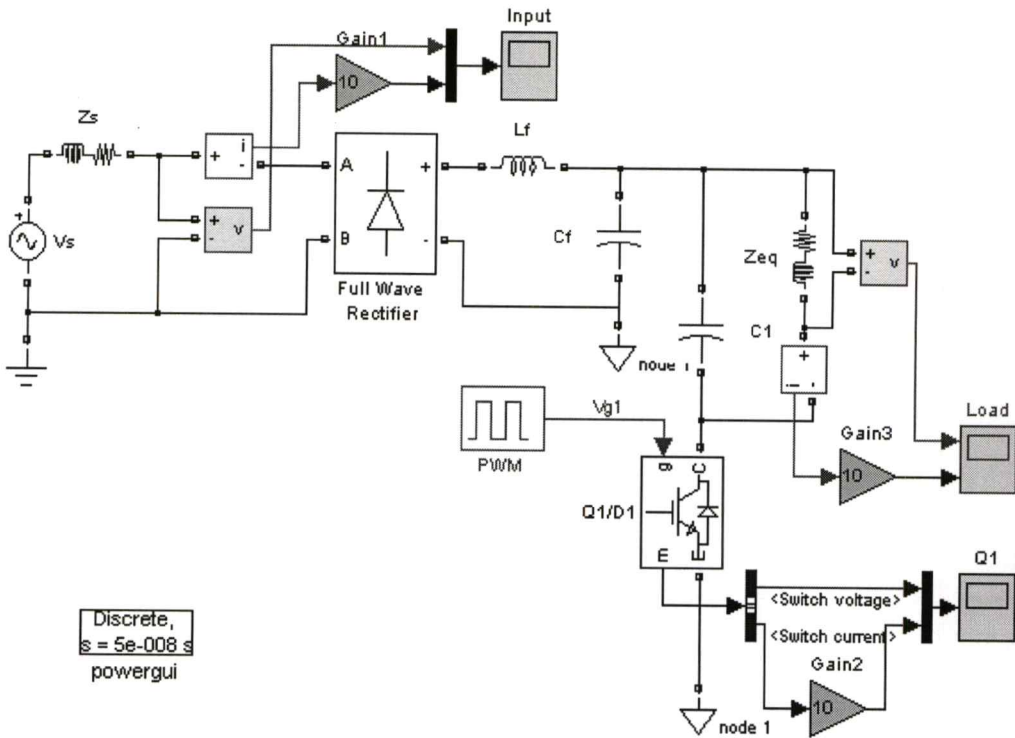
f_{rA} คือความถี่เรโซแนนซ์ของการ Active-Clamped

3.3 การจำลองการทำงานของวงจร

การจำลองการทำงานของวงจรอินเวอร์เตอร์กึ่งเรโซแนนซ์ก่อนปรับปรุงและหลังปรับปรุงในงานวิจัยนี้ จะเป็นการจำลองโดยใช้โปรแกรม Simulink บนโปรแกรมสำเร็จรูป MATLAB เพื่อศึกษาหลักการการทำงานแล้วจึงนำไปใช้ในการออกแบบวงจรจริง

3.3.1 การจำลองอินเวอร์เตอร์กึ่งเรโซแนนซ์ก่อนปรับปรุง

จากรูปที่ 3.11 เป็นวงจรการจำลองการทำงานของวงจรอินเวอร์เตอร์กึ่งเรโซแนนซ์ก่อนปรับปรุงโดยมีพารามิเตอร์ต่างๆดังตารางที่ 3.2



รูปที่ 3.11 รูปของวงจรการจำลองการทำงานของอินเวอร์เตอร์ก่อนปรับปรุง

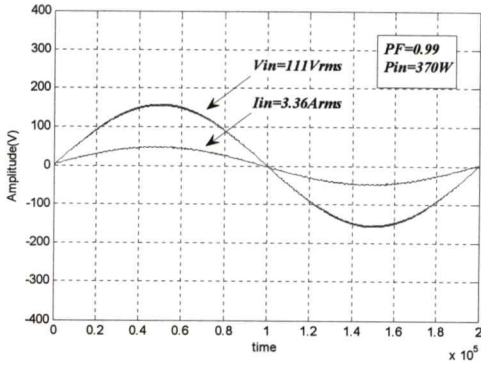
ตารางที่ 3.2 ตัวแปรที่ใช้ในการจำลองการทำงานก่อนปรับปรุง

V_s	Input Voltage	220,50	V_{AC}, Hz
f_s	Switching frequency	22-32	kHz
f_r	Resonant frequency	36-47	kHz
L_f	Input filter	450	μH
C_f	Input filter	5	μF
L_{eq}	Equivalent inductor	84.25	μH
R_{eq}	Equivalent resistor	3.8	Ω
C_1	Resonant capacitor	173	nF

3.3.1.1 การจำลองและทดสอบเบื้องต้น

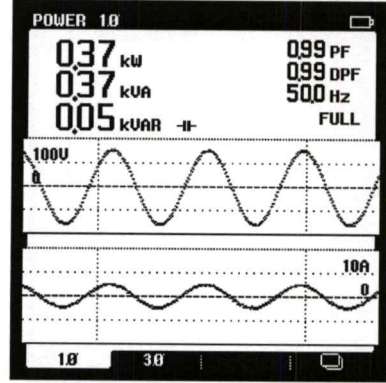
เป็นการจำลองการทำงานของอินเวอร์เตอร์กึ่งเรโซแนนท์คลาสซี เพื่อหาขนาดพิกัดของแรงดันและกระแสของอุปกรณ์สวิตช์เปรียบเทียบกับกรทดลองเบื้องต้น เมื่อแรงดันไฟฟ้าอินพุทเพิ่มขึ้นจาก 110 V, 50Hz จนถึง 220 V, 50Hz เพื่อเป็นแนวทางในการลดขนาดพิกัดอุปกรณ์สวิตช์หลัก เมื่อใช้งานกับระบบเอชไอไลน์ 220V, 50Hz

จากรูปที่ 3.12 เป็นตัวอย่างการจำลองและผลการทดลองที่แรงดันไฟฟ้าอินพุต 110V, 50Hz โดยมีการกำหนดค่าแปรดังนี้ L_{eq} 84.25 μ H , R_{eq} 3.8 Ω , C_1 173 μ F , f_s 26.32 kHz จากการทดสอบจะเห็นได้ว่าแรงดันและกระแสสวิตช์สูงสุดประมาณ 544 V_{peak} , 22 A_{peak} กำลังไฟฟ้าด้านอินพุต 370W



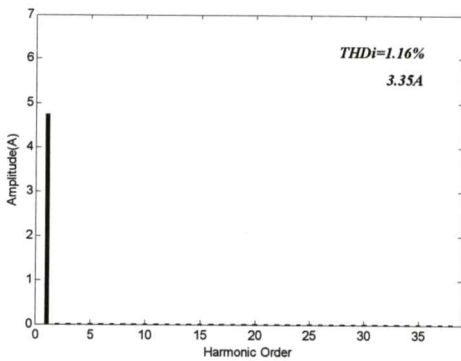
(ก) ผลจำลองแรงดันและกระแสอินพุต

100V/div, 10A/div, 2ms/div

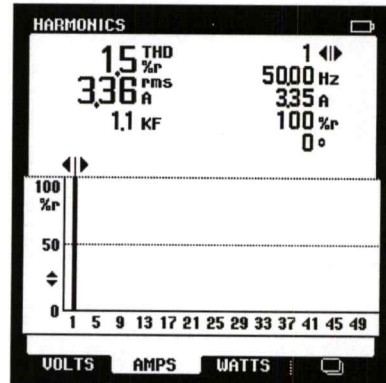


(ข) รูปคลื่นแรงดันและกระแสอินพุต

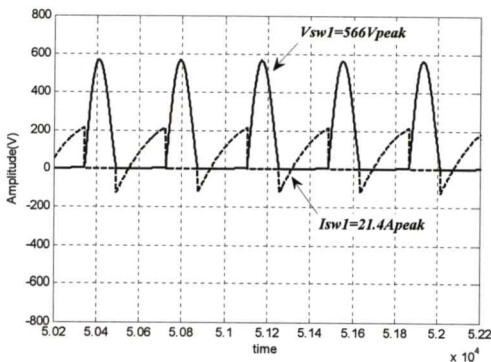
200V/div, 10A/div



(ค) ผลจำลองสเปกตรัมกระแสอินพุต

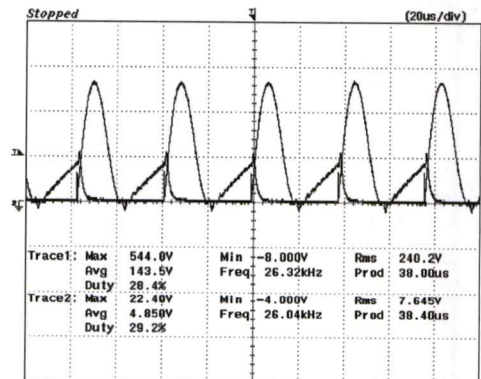


(ง) สเปกตรัมกระแสอินพุต



(จ) ผลจำลองแรงดันและกระแสสวิตช์ Q_1

200V/div, 20A/div, 20us/div

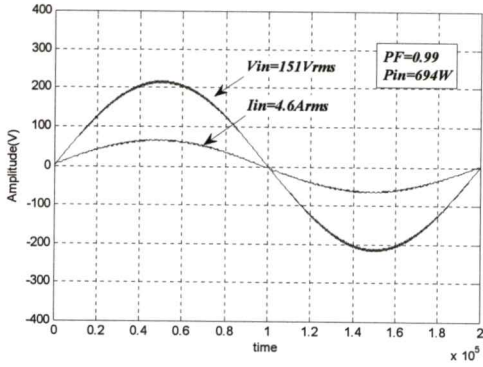


(ฉ) รูปคลื่นแรงดันและกระแสสวิตช์ Q_1

200V/div, 20A/div, 20us/div

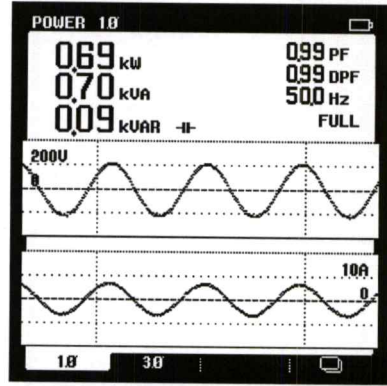
รูปที่ 3.12 การจำลองการทำงานและผลการทดลองเบื้องต้นก่อนปรับปรุงที่ 110 V, 50Hz

จากรูปที่ 3.13 เป็นตัวอย่างการจำลองและผลการทดลองที่แรงดันไฟฟ้าอินพุทเพิ่มขึ้นเป็น 150V, 50Hz โดยมีการกำหนดค่าแปรดังนี้ L_{eq} 84.25 μH , R_{eq} 3.8 Ω , C_1 173 μF , f_s 26.32 kHz จากการทดสอบจะเห็นได้ว่าแรงดันและกระแสคคร่อมสวิตช์สูงสุดประมาณ 752V_{peak}, 32A_{peak} กำลังไฟฟ้าด้านอินพุท 690W



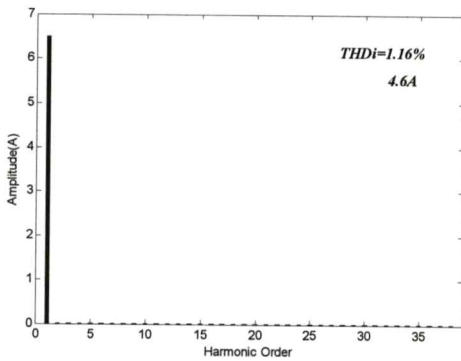
(ก) ผลจำลองแรงดันและกระแสอินพุท

100V/div, 10A/div, 2ms/div

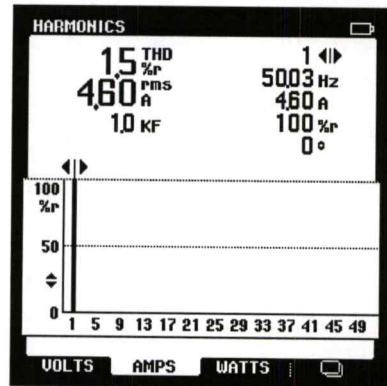


(ข) รูปคลื่นแรงดันและกระแสอินพุท

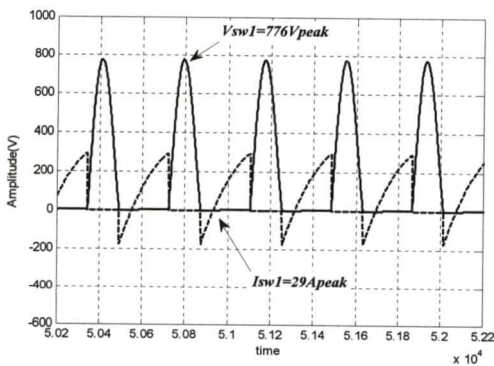
200V/div, 10A/div



(ค) ผลจำลองสเปกตรัมกระแสอินพุท

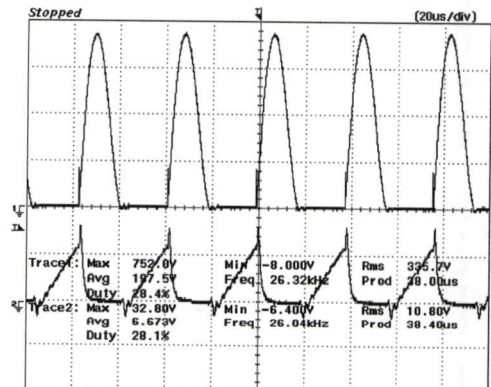


(ง) สเปกตรัมกระแสอินพุท



(จ) ผลจำลองแรงดันและกระแสสวิตช์ Q₁

200V/div, 20A/div, 20us/div



(ฉ) รูปคลื่นแรงดันและกระแสสวิตช์ Q₁

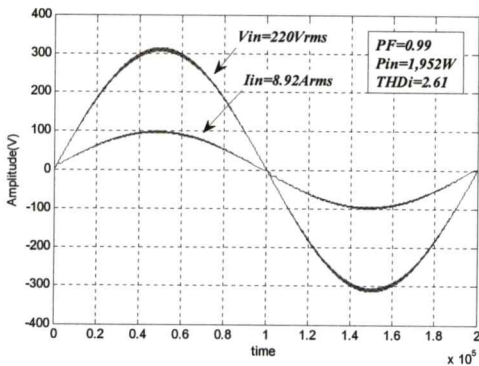
200V/div, 20A/div, 20us/div

รูปที่ 3.13 การจำลองการทำงานและผลการทดลองเบื้องต้นก่อนปรับปรุงที่ 150 V, 50Hz

จากรูปที่ 3.12 และรูปที่ 3.13 จะเห็นได้ว่าการจำลองการทำงานและการทดสอบเบื้องต้นได้ผลลัพธ์ที่สอดคล้องกันดังนั้นจึงได้ใช้การจำลองเพื่อทดสอบวงจรอินเวอร์เตอร์เมื่อใช้กับระบบเอซีไลน์ 220 V, 50Hz เพื่อหาขนาดพิกัดแรงดันและกระแสของอุปกรณ์สวิตช์ที่ต้องใช้งานจริง

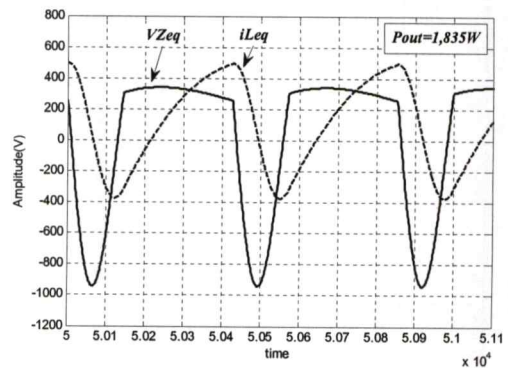
3.3.1.2 การจำลองการทำงานเมื่อใช้แรงดันเอซีไลน์ 220V, 50Hz

เป็นการจำลองการทำงานโดยปรับเปลี่ยนความถี่สวิตช์ของอินเวอร์เตอร์ตลอดช่วงความถี่การสวิตช์ขณะแรงดันเป็นศูนย์ซึ่งอยู่ระหว่าง 23-31 kHz เพื่อตรวจสอบขนาดพิกัดสูงสุดของอุปกรณ์สวิตช์เมื่อความถี่การสวิตช์เปลี่ยนแปลงโดยมีการกำหนดค่าแปรคงที่ดังนี้ $L_{eq} 84.25 \mu H$, $R_{eq} 3.8 \Omega$, $C_1 173 \mu F$



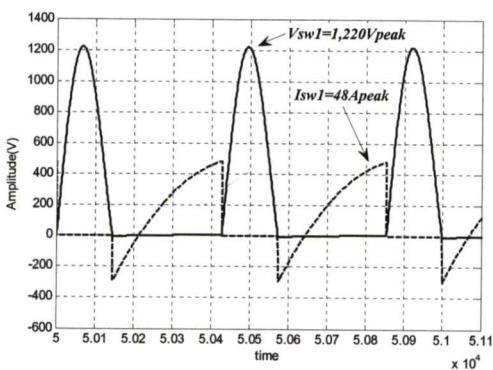
(ก) แรงดันและกระแสอินพุท

(100V/div, 10A/div, 2ms/div)



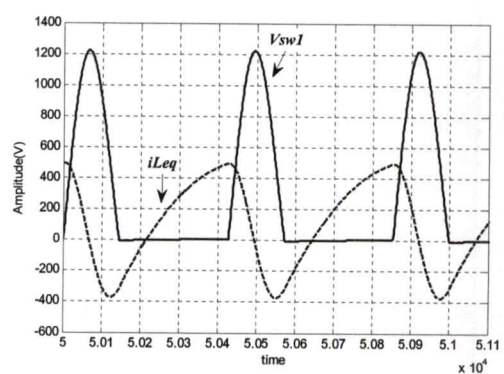
(ข) แรงดันและกระแสเอาต์พุท

(200V/div, 20A/div, 10us/div)



(ค) แรงดันและกระแสสวิตช์ Q_1

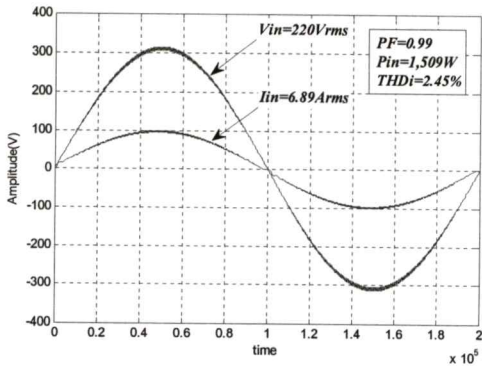
(200V/div, 20A/div, 10us/div)



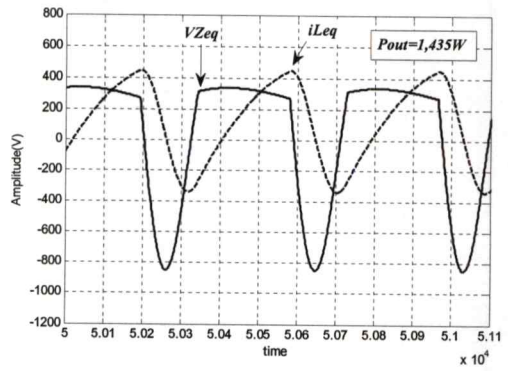
(ง) แรงดันสวิตช์และกระแสโหลด

(200V/div, 20A/div, 10us/div)

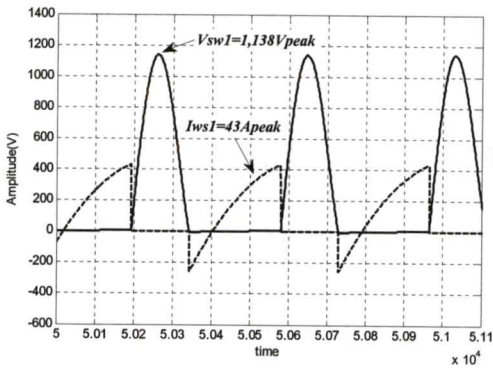
รูปที่ 3.14 แรงดันและกระแสอินพุท,เอาต์พุทและสวิตช์ที่ความถี่สวิตช์ 23.5kHz



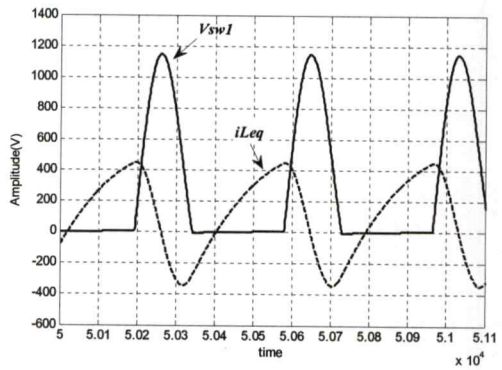
(ก) แรงดันและกระแสอินพุท
(100V/div, 10A/div, 2ms/div)



(ข) แรงดันและกระแสเอาต์พุท
(200V/div, 20A/div, 10us/div)

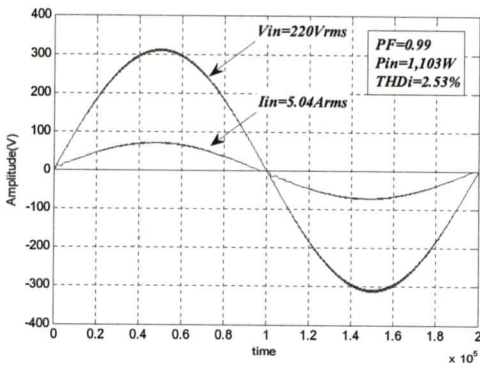


(ค) แรงดันและกระแสที่สวิตช์ Q_1
(200V/div, 20A/div, 10us/div)

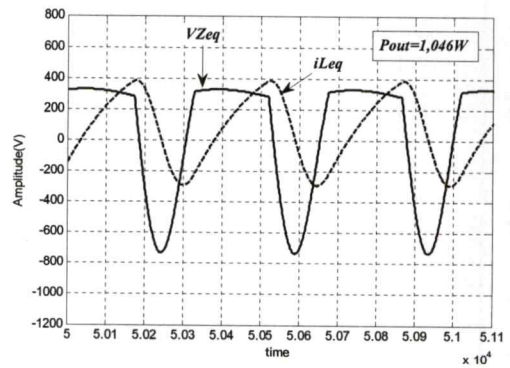


(ง) แรงดันสวิตช์และกระแสโหลด
(200V/div, 20A/div, 10us/div)

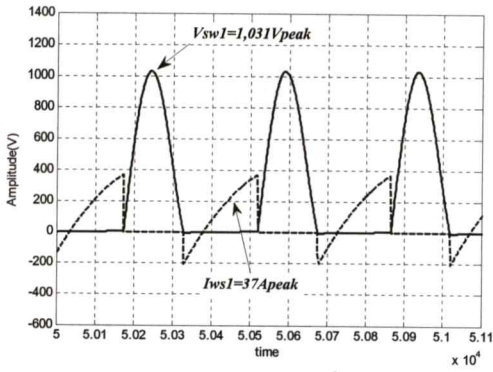
รูปที่ 3.15 แรงดันและกระแสอินพุท,เอาต์พุทและสวิตช์ที่ความถี่สวิตช์ 26 kHz



(ก) แรงดันและกระแสอินพุท
(100V/div, 10A/div, 2ms/div)

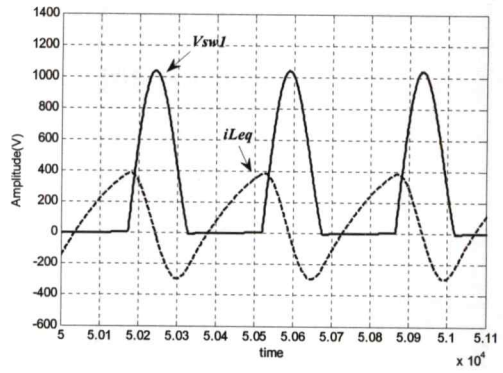


(ข) แรงดันและกระแสเอาต์พุท
(200V/div, 20A/div, 10us/div)



(ค) แรงดันและกระแสที่สวิตช์ Q_1

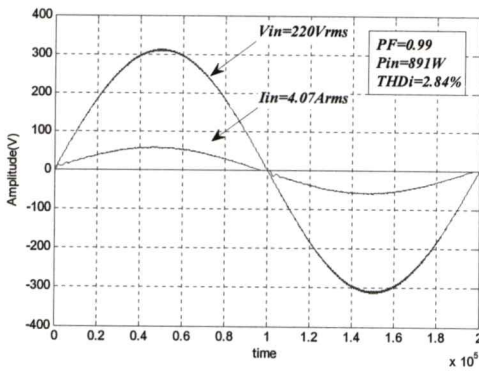
(200V/div, 20A/div, 10us/div)



(ง) แรงดันสวิตช์และกระแสโหลด

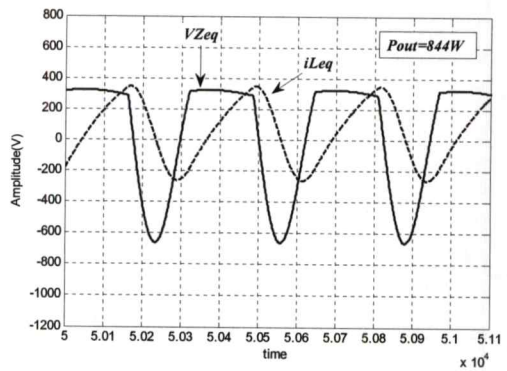
(200V/div, 20A/div, 10us/div)

รูปที่ 3.16 แรงดันและกระแสอินพุท, เอาท์พุทและสวิตช์ที่ความถี่สวิตช์ 29kHz



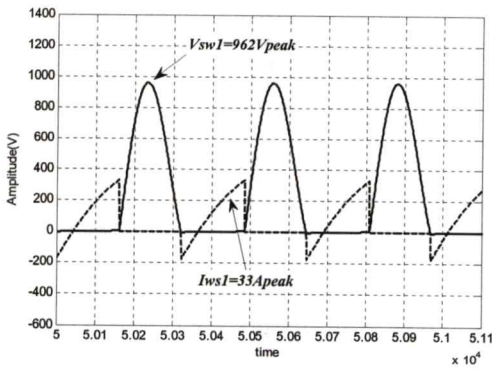
(ก) แรงดันและกระแสอินพุท

(100V/div, 10A/div, 2ms/div)



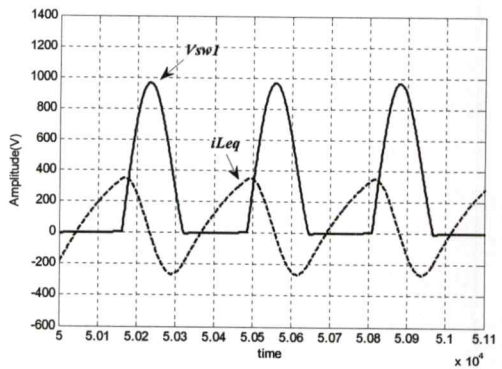
(ข) แรงดันและกระแสเอาท์พุท

(200V/div, 20A/div, 10us/div)



(ค) แรงดันและกระแสที่สวิตช์ Q_1

(200V/div, 20A/div, 10us/div)



(ง) แรงดันสวิตช์และกระแสโหลด

(200V/div, 20A/div, 10us/div)

รูปที่ 3.17 แรงดันและกระแสอินพุท, เอาท์พุทและสวิตช์ที่ความถี่สวิตช์ 31 kHz

จากรูปที่ 3.14-3.17 เป็นการจำลองการทำงานเบื้องต้นที่ความถี่ 23.5kHz, 26kHz, 29kHz และ 31kHz เพื่อตรวจสอบขนาดพิกัดสูงของอุปกรณ์สวิตช์ ซึ่งขนาดของอุปกรณ์สวิตช์ที่ต้องใช้จะอยู่ประมาณ $1220 V_{peak}$, $48 A_{peak}$ ที่กำลังไฟฟ้าเอาต์พุต 1,835W

3.3.1.3 ผลการคำนวณค่ากำลังไฟฟ้า ประสิทธิภาพ และตัวประกอบกำลังก่อนปรับปรุง

ในส่วนนี้เป็นผลการคำนวณค่าที่ได้การจำลองข้างต้น ซึ่งจะใช้ข้อมูลจากบล็อก Scope โดยตั้งค่าในบล็อก Scope ดังนี้เลือก Save data to Workspace ชนิดข้อมูลแบบ Array ความละเอียด $0.1e^{-6}$ แล้วจึงเริ่มต้นจำลองการทำงานที่ความถี่สวิตช์ 22 kHz เมื่อการจำลองการทำงานเสร็จสิ้นลงก็จะนำข้อมูลที่ได้จาก Workspace มาคำนวณเพื่อหาค่าต่างๆ ด้วยโปรแกรม Matlab อีกที จากนั้นปรับเปลี่ยนความถี่สวิตช์เพิ่มขึ้นทีละ 1 kHz และทำการทดลองเหมือนเดิม ซึ่งจะปรับความถี่สวิตช์เพิ่มขึ้นจนถึง 32 kHz ก็จะเพียงพอสำหรับการทดลอง เพราะถ้าปรับความถี่เพิ่มขึ้นมากกว่านี้ จะเกิดการสวิตช์ขณะแรงดันไม่เป็นศูนย์ ซึ่งในการปฏิบัติงานจริงจะทำให้เกิดการสูญเสียมากขึ้นเมื่อเปรียบเทียบกับ การเปลี่ยนแปลงกำลังไฟฟ้าเอาต์พุตที่น้อยลงและอาจทำให้อุปกรณ์สวิตช์เสียหายในที่สุด ซึ่งองค์ประกอบทางไฟฟ้าต่างๆสามารถหาได้จากสมการที่ 3.39 - 3.46

กำลังไฟฟ้าอินพุตเฉลี่ย

$$P_{in} = \frac{1}{N} \sum_{k=1}^N V_{in}(tk) \cdot I_{in}(tk) \quad (3.39)$$

ค่าความผิดเพี้ยนของกระแสอินพุต

$$THD_i(\%) = \frac{\sqrt{\sum_{h=2}^{\infty} I_{h,rms}^2}}{I_{1,rms}} \times 100 \quad (3.40)$$

ค่าความผิดเพี้ยนของแรงดันอินพุต

$$THD_v(\%) = \frac{\sqrt{\sum_{h=2}^{\infty} V_{h,rms}^2}}{V_{1,rms}} \times 100 \quad (3.41)$$

ค่ารากกำลังสองเฉลี่ยของแรงดัน

$$V_{rms} = \sqrt{\sum_{h=1}^{\infty} V_{h,rms}^2} \quad (3.42)$$

ค่ารากกำลังสองเฉลี่ยของกระแส

$$I_{rms} = \sqrt{\sum_{h=1}^{\infty} I_{h,rms}^2} \quad (3.43)$$

ค่าตัวประกอบกำลังไฟฟ้า

$$PF = \frac{P_{in}}{V_{1,rms} I_{1,rms} \sqrt{1 + \left(\frac{THD_v}{100}\right)^2} \sqrt{1 + \left(\frac{THD_i}{100}\right)^2}} \quad (3.44)$$

กำลังไฟฟ้าเอาต์พุต

$$P_{out} = \frac{1}{N} \sum_{k=1}^N V_{out}(tk) I_{out}(tk) \quad (3.45)$$

ประสิทธิภาพทางไฟฟ้า

$$\% \eta_{elec} = \frac{P_{out}}{P_{in}} \times 100 \quad (3.46)$$

กำลังไฟฟ้าสูญเสียที่สวิตช์

$$P_{S_w, loss} = \frac{1}{N} \sum_{k=1}^N V_{S_w}(tk) I_{S_w}(tk) \quad (3.47)$$

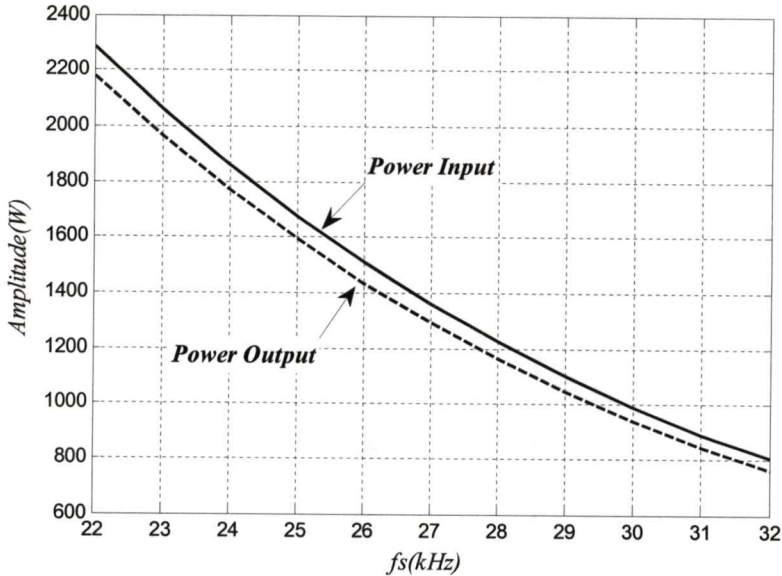
เมื่อ N คือ จำนวนข้อมูลทั้งหมดภายใน 1 ไซเคิลของ 50 Hz (20,000 ค่า)

ข้อมูลที่ได้จากการจำลอง เมื่อนำมาหาคำนวณหาค่าต่างๆ จะได้ค่าตามตารางที่ 3.3 ดังต่อไปนี้

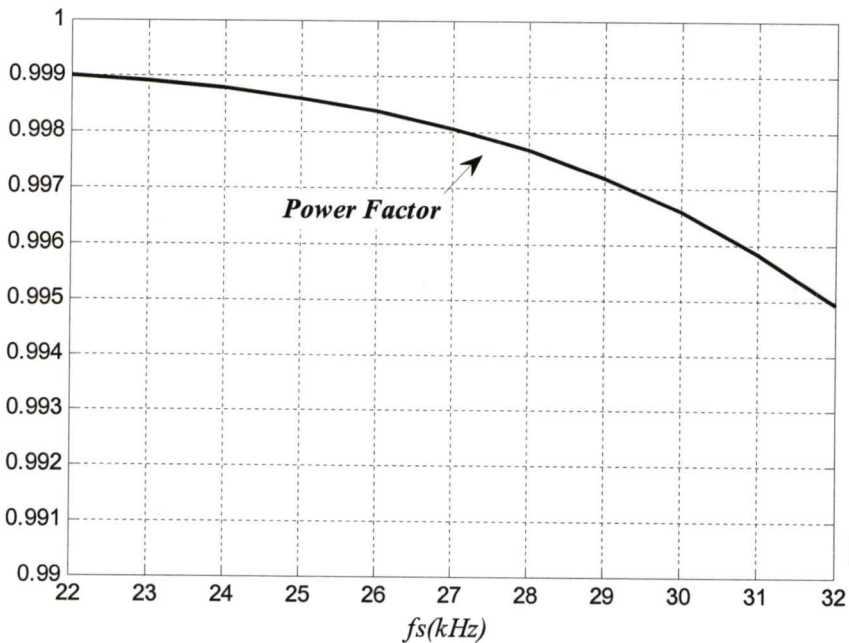
ตารางที่ 3.3 ค่าองค์ประกอบต่างๆ ทางไฟฟ้าที่ได้จากการคำนวณก่อนปรับปรุง

f_s (kHz)	P_{in} (W)	I_{in} (A)	V_{in} (V)	PF	THD_v (%)	THD_i (%)	P_{out} (W)	$\% \eta_{elec}$
22	2,287	10.50	220	0.99	1.79	2.80	2,180	95.32
23	2,063	9.43	220	0.99	1.60	2.68	1,965	95.28
24	1,858	8.49	220	0.99	1.42	2.58	1,769	95.22
25	1,674	7.65	220	0.99	1.26	2.51	1,593	95.16
26	1,509	6.89	220	0.99	1.11	2.45	1,435	95.10
27	1,360	6.21	220	0.99	0.97	2.43	1,292	95.04
28	1,225	5.60	220	0.99	0.85	2.45	1,163	94.97
29	1,103	5.04	220	0.99	0.75	2.52	1,046	94.91
30	992	4.53	220	0.99	0.64	2.64	940	94.84
31	891	4.07	220	0.99	0.56	2.84	844	94.77
32	805	3.69	220	0.99	0.48	3.09	759	94.24

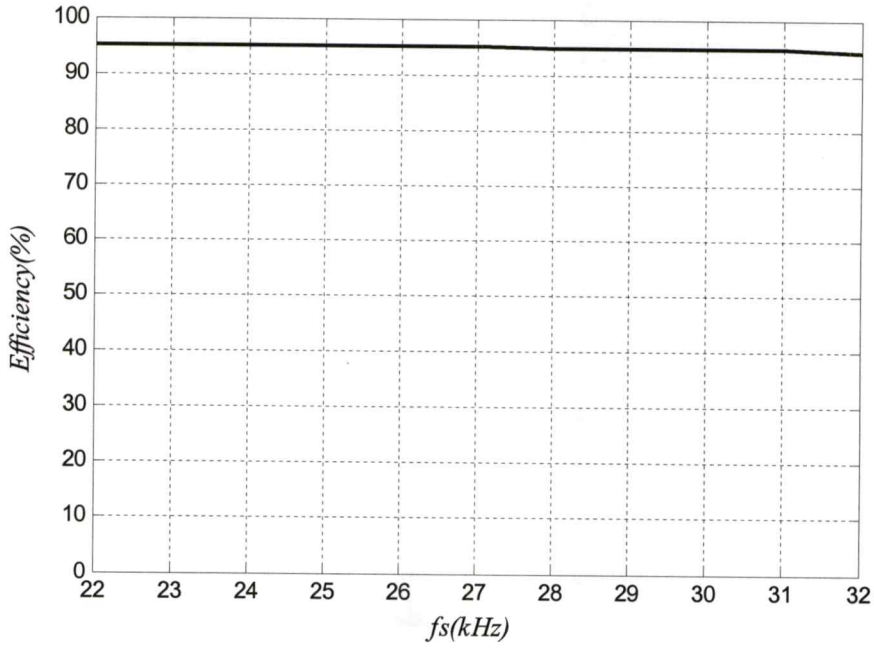
จากค่าในตารางเมื่อนำมาเขียนเป็นกราฟความสัมพันธ์ กำลังไฟฟ้าอินพุท เอาท์พุท ตัวประกอบกำลัง ประสิทธิภาพ กระแสอินพุท THD , การสูญเสียของสวิตช์ พิกัดแรงดันและกระแสของสวิตช์เทียบกับการเปลี่ยนแปลงความถี่สวิตช์ค่าต่างๆ ได้ตามรูปที่ 3.18, 3.19, 3.20, 3.21, 3.22, 3.33, 3.34 และ 3.25 ตามลำดับ



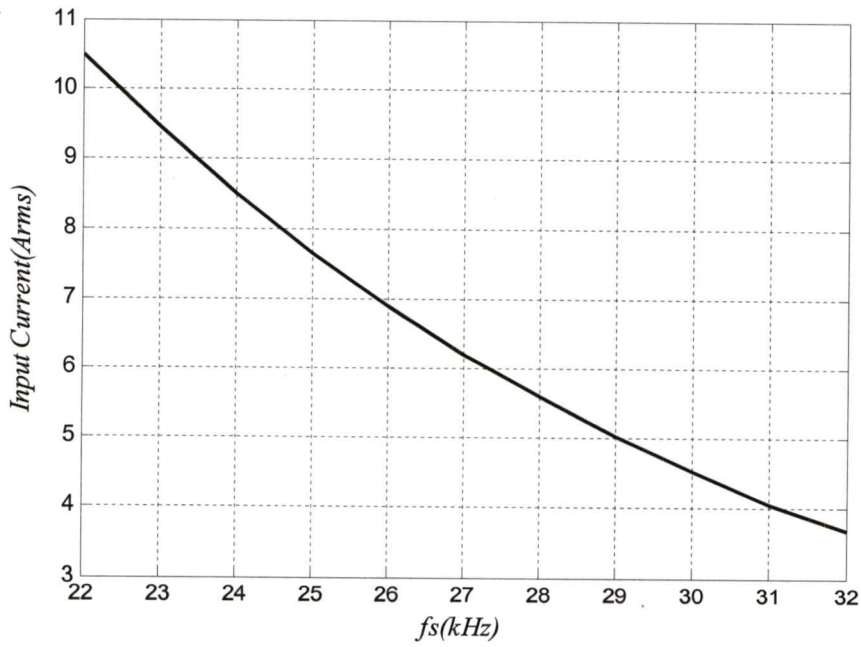
รูปที่ 3.18 ความสัมพันธ์ระหว่างกำลังไฟฟ้าอินพุท เอาท์พุทกับความถี่สวิตช์



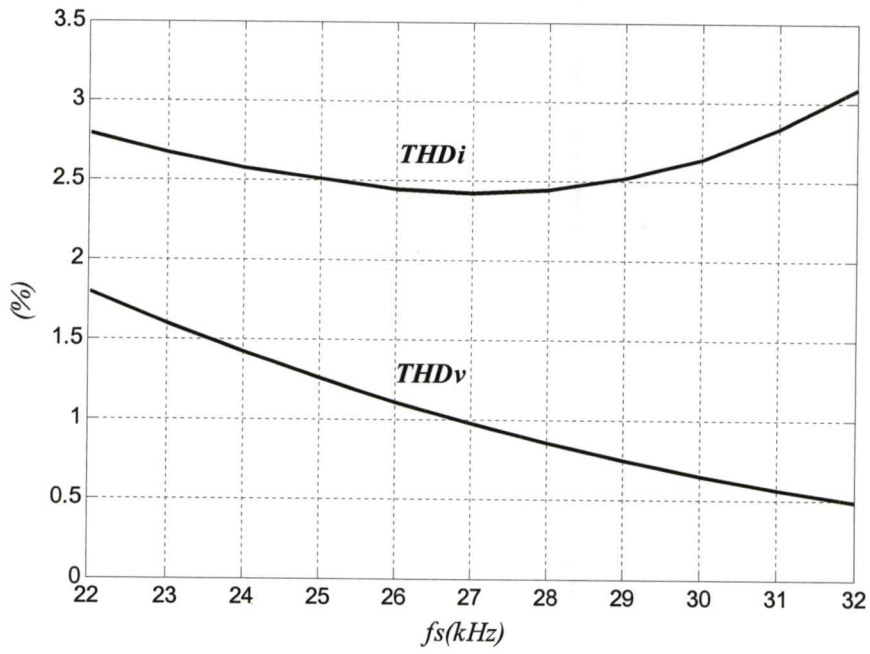
รูปที่ 3.19 ความสัมพันธ์ระหว่างตัวประกอบกำลังกับความถี่สวิตช์



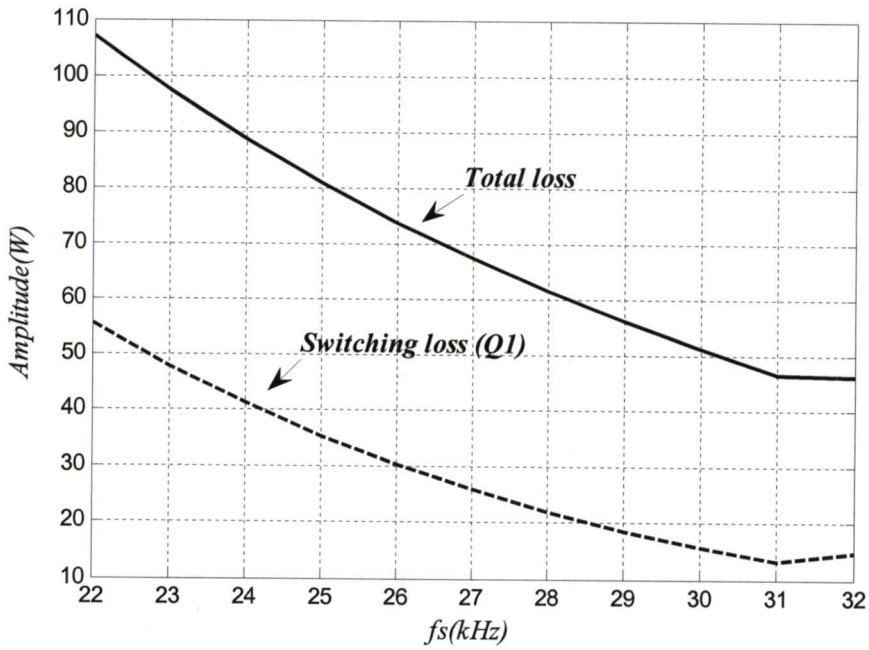
รูปที่ 3.20 ความสัมพันธ์ระหว่างประสิทธิภาพทางไฟฟ้ากับความถี่สวิตช์



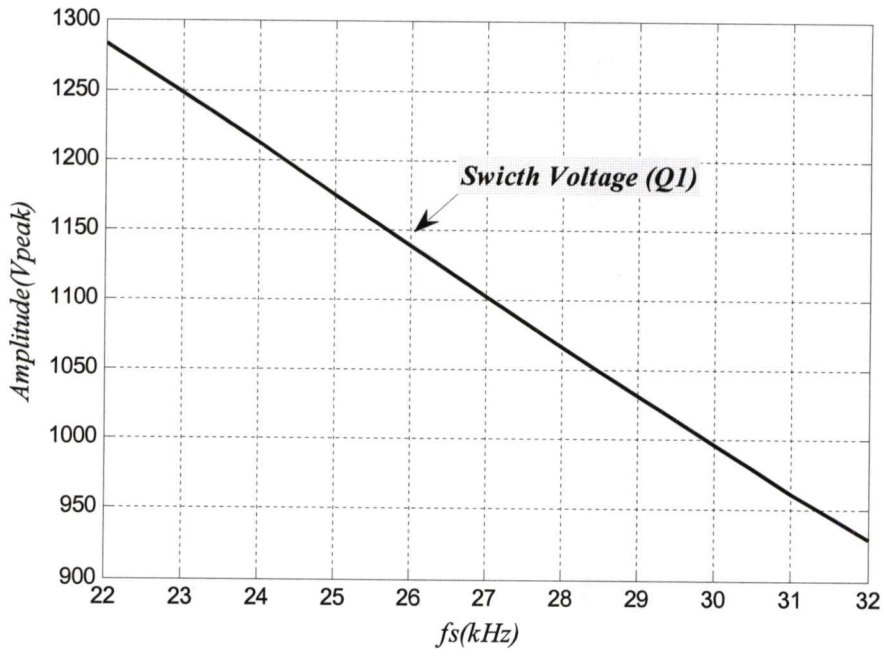
รูปที่ 3.21 ความสัมพันธ์ระหว่างกระแสอินพุทกับความถี่สวิตช์



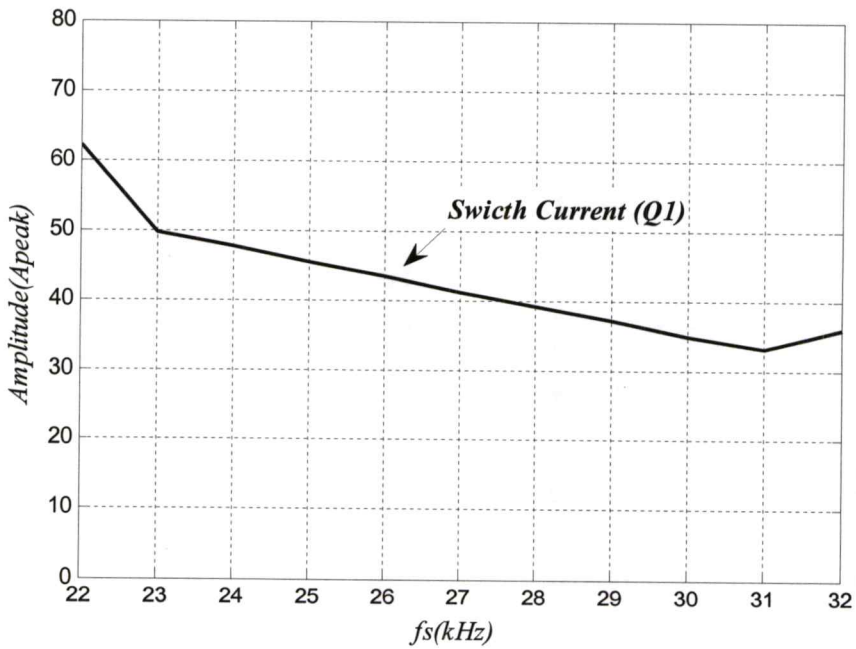
รูปที่ 3.22 ความสัมพันธ์ระหว่าง THD_v , THD_i กับความถี่สวิตช์



รูปที่ 3.23 ความสัมพันธ์ระหว่างกำลังไฟฟ้าสูญเสียกับความถี่สวิตช์

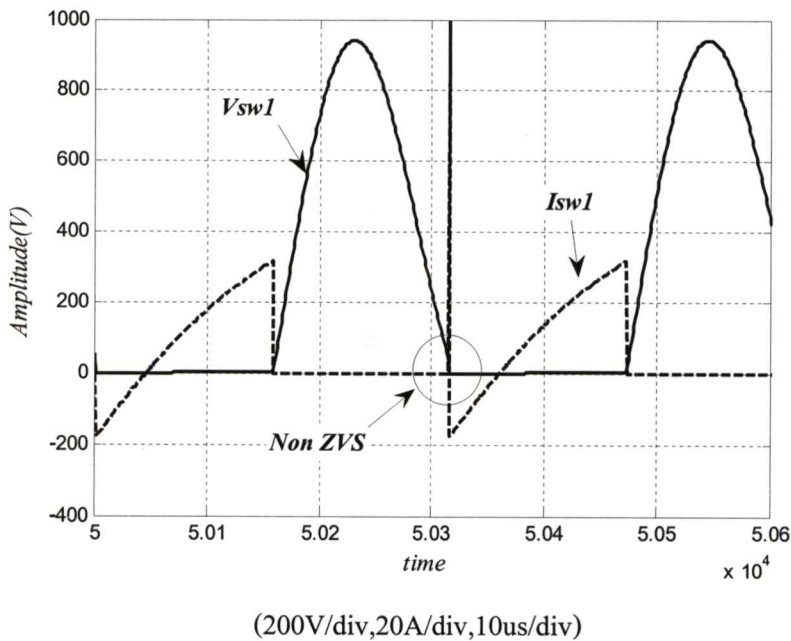


รูปที่ 3.24 ความสัมพันธ์ระหว่างพิกัดแรงดันสวิทช์กับความถี่สวิทช์



รูปที่ 3.25 ความสัมพันธ์ระหว่างพิกัดกระแสไหลผ่านสวิทช์กับความถี่สวิทช์

จากรูปที่ 3.25 จะเห็นว่าช่วงของการเกิดการสวิตช์ขณะแรงดันเป็นศูนย์ ที่เหมาะสมอยู่ระหว่างความถี่สวิตช์ 23-31kHz ซึ่งในทางปฏิบัติจริงที่ความถี่สวิตช์ต่ำกว่า 23 kHz ยังคงใช้งานได้ แต่จะทำให้พิคคของสวิตช์สูงมาก และที่ความถี่สวิตช์สูงกว่า 31kHz จะทำให้เกิดการสวิตช์ขณะแรงดันไม่เป็นศูนย์กระแสที่ไหลผ่านสวิตช์ช่วงจะสูงมากดังรูปที่ 3.26 ทำให้เกิดความเสียหายต่ออุปกรณ์สวิตช์ได้ง่าย

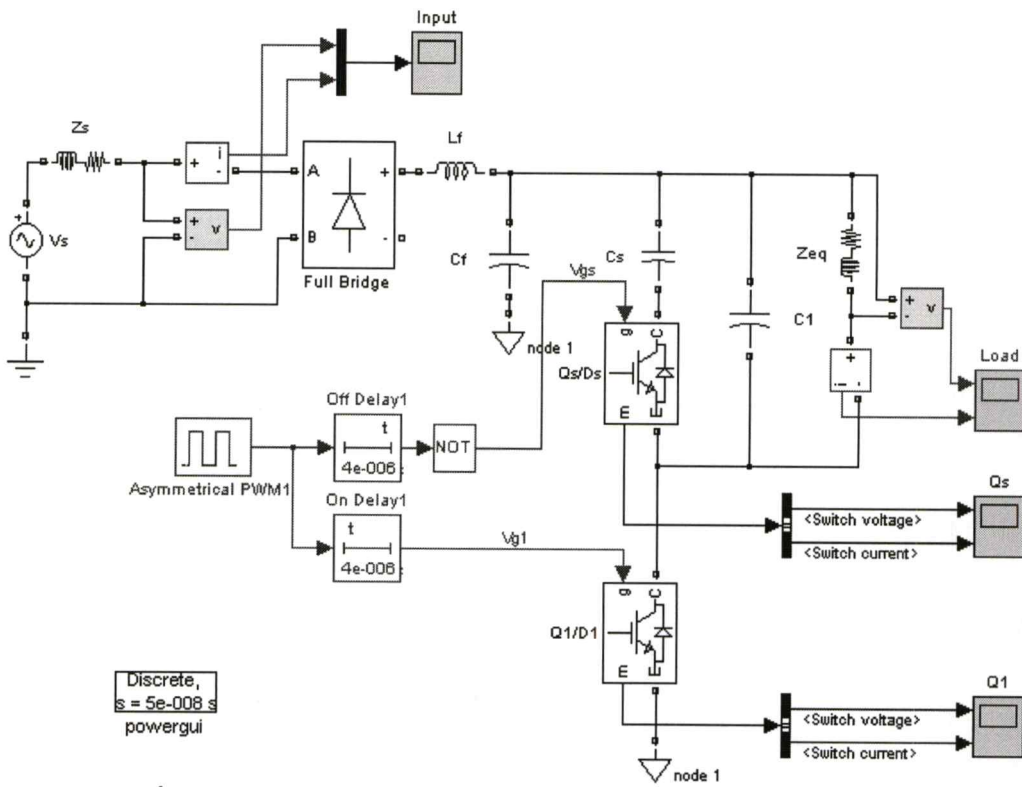


รูปที่ 3.26 การสวิตช์ขณะแรงดันไม่เป็นศูนย์

จากกราฟรูปที่ 3.18 จะเห็นได้ว่ากำลังไฟฟ้าเอาท์พุทจะลดลงเมื่อเพิ่มความถี่สวิตช์ขึ้น โดยจะเปลี่ยนแปลงอยู่ในย่าน 800 - 2200W เป็นไปตามลักษณะควบคุมแบบเปลี่ยนกำลังไฟฟ้าด้วยการควบคุมความถี่สวิตช์ นอกจากนี้ค่าอื่นๆ คือค่าตัวประกอบกำลัง และประสิทธิภาพจะลดลง ส่วนค่า THD_i จะเพิ่มขึ้น โดยค่าตัวประกอบกำลังอยู่ที่ 0.99 ค่าประสิทธิภาพอยู่ที่ 94 - 95% และค่า THD_i อยู่ที่ 2. -4%

3.3.2 การจำลองการทำงานของอินเวอร์เตอร์กึ่งเรโซแนนท์หลังปรับปรุง

เป็นการจำลองการทำงานโดยการเพิ่มชุด Active-Clamped เพื่อลดแรงดันตกคร่อมสวิตช์หลัก Q_1 ซึ่งประกอบด้วยสวิตช์ Q_2 ต่ออนุกรมกับตัวเก็บประจุ C_s 3 μF คร่อมวงจรโหลด Z_{eq} ใช้ความถี่สวิตช์ที่ 20kHz โดยยังคงค่าตัวแปรในการจำลองการทำงานของคลาสอีไว์ดังตารางที่ 3.4 และการจำลองเบื้องต้นเพื่อเป็นการตรวจสอบค่าความสัมพันธ์ต่างๆ เมื่อคิวตี้แฟลคเตอร์ของสัญญาณขับเคลื่อนมีการเปลี่ยนแปลงค่า ดังแสดงในรูปที่ 3.28 ถึงรูปที่ 3.32

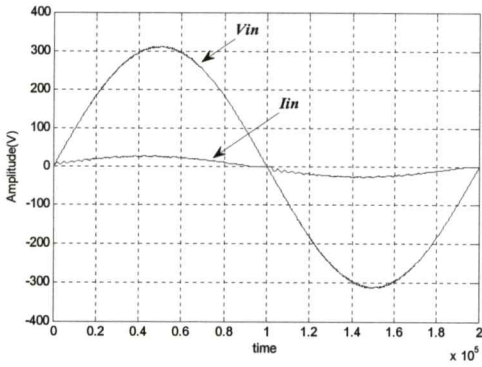


รูปที่ 3.27 รูปของวงจรการจำลองการทำงานของอินเวอร์เตอร์หลังปรับปรุง

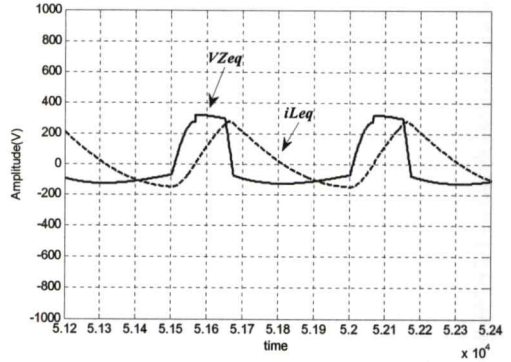
ตารางที่ 3.4 ตัวแปรที่ใช้ในการจำลองการทำงานหลังปรับปรุง

V_s	Input Voltage	220,50	V_{AC}, Hz
f_s	Switching frequency	20	kHz
f_r	Resonant frequency	42	kHz
L_f	Input filter	450	μH
C_f	Input filter	5	μF
L_{eq}	Equivalent inductor	84.25	μH
R_{eq}	Equivalent resistor	3.8	Ω
C_1	Resonant capacitor	173	nF
C_s	Clamping capacitor	3	μF

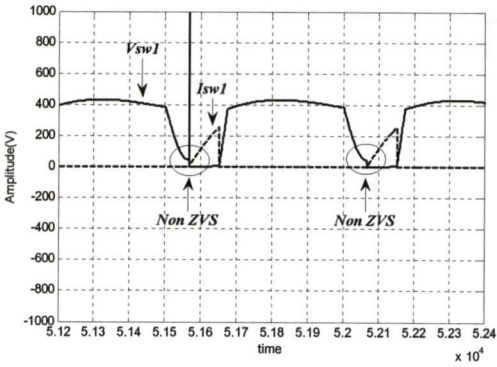
3.3.2.1 ผลการจำลองอินเวอร์เตอร์กึ่งเรโซแนนท์หลังปรับปรุง



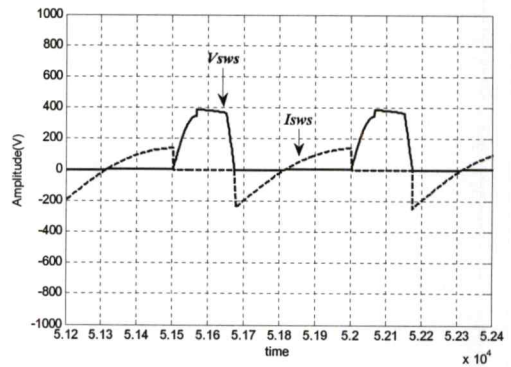
(ก) แรงดันและกระแสด้านอินพุท
100V/div, 10A/div, 2ms/div



(ข) แรงดันและกระแสด้านเอาต์พุท
200V/div, 10A/div, 10us/div

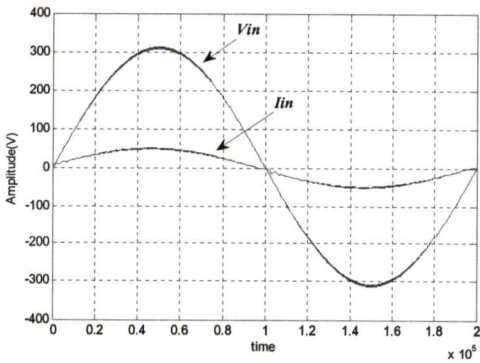


(ค) แรงดันและกระแสสวิตช์ Q_1
200V/div, 10A/div, 10us/div

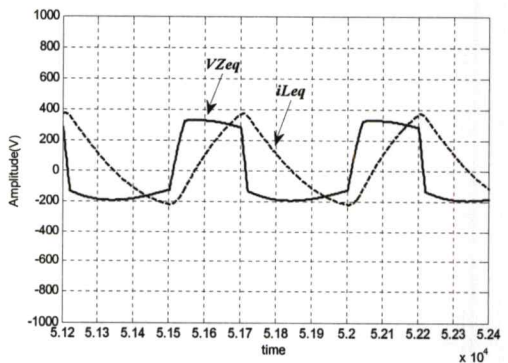


(ง) แรงดันและกระแสสวิตช์ Q_s
200V/div, 10A/div, 10us/div

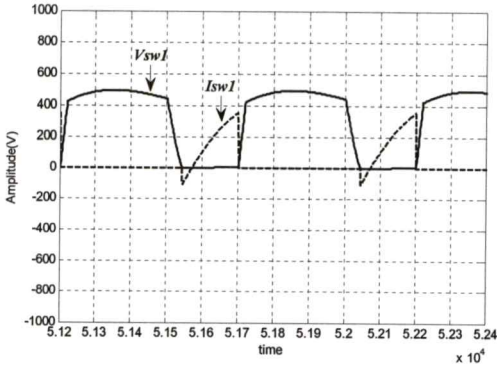
รูปที่ 3.28 การจำลองการทำงานที่คิวดีแฟคเตอร์ 0.3



(ก) แรงดันและกระแสด้านอินพุท
100V/div, 10A/div, 2ms/div

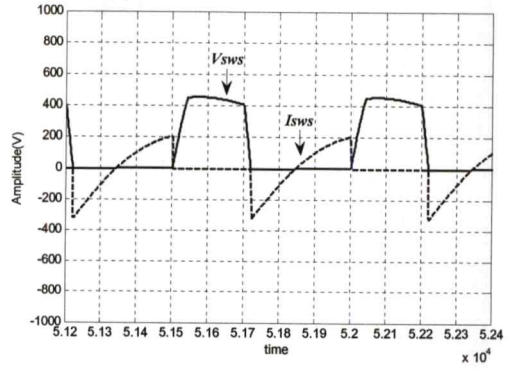


(ข) แรงดันและกระแสด้านเอาต์พุท
200V/div, 10A/div, 10us/div



(ค) แรงดันและกระแสสวิทช์ Q_1

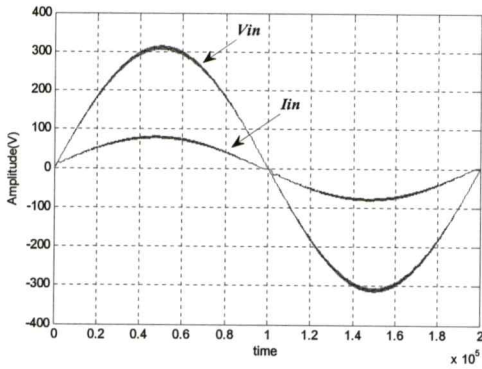
200V/div, 10A/div, 10us/div



(ง) แรงดันและกระแสสวิทช์ Q_s

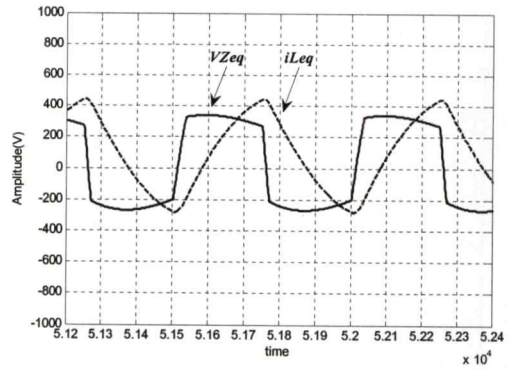
200V/div, 10A/div, 10us/div

รูปที่ 3.29 การจำลองการทำงานที่คิวดัฟลักเตอร์ 0.4



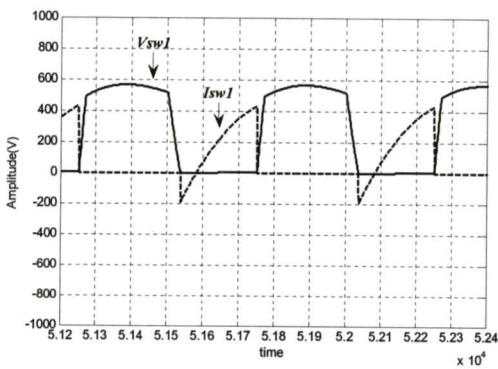
(ก) แรงดันและกระแสด้านอินพุท

100V/div, 10A/div, 2ms/div



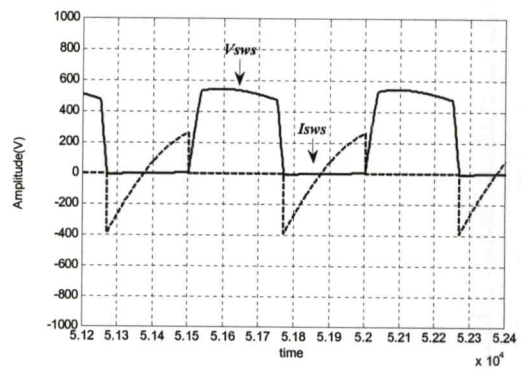
(ข) แรงดันและกระแสด้านเอาท์พุท

200V/div, 10A/div, 10us/div



(ค) แรงดันและกระแสสวิทช์ Q_1

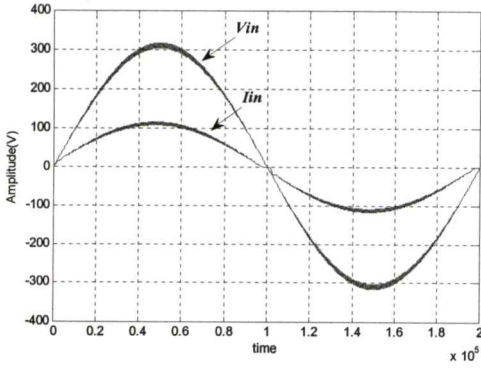
200V/div, 10A/div, 10us/div



(ง) แรงดันและกระแสสวิทช์ Q_s

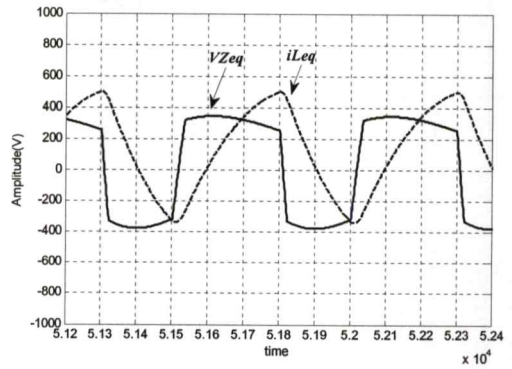
200V/div, 10A/div, 10us/div

รูปที่ 3.30 การจำลองการทำงานที่คิวดัฟลักเตอร์ 0.5



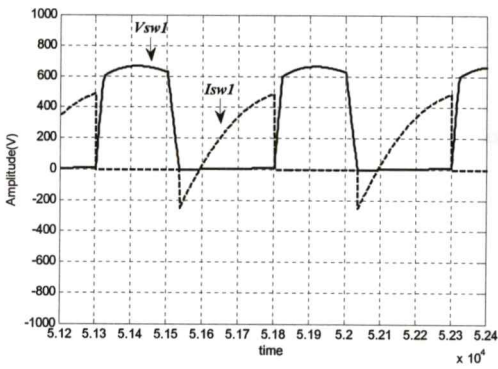
(ก) แรงดันและกระแสด้านอินพุท

100V/div, 10A/div, 2ms/div



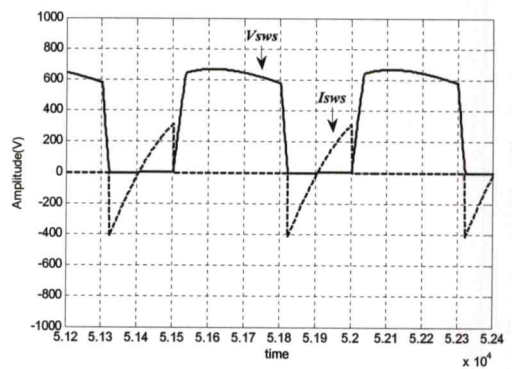
(ข) แรงดันและกระแสด้านเอาต์พุท

200V/div, 10A/div, 10us/div



(ค) แรงดันและกระแสสวิตช์ Q_1

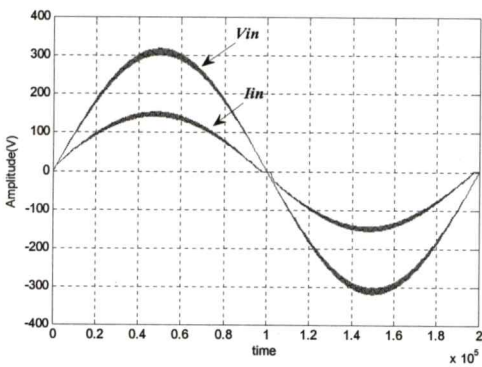
200V/div, 10A/div, 10us/div



(ง) แรงดันและกระแสสวิตช์ Q_s

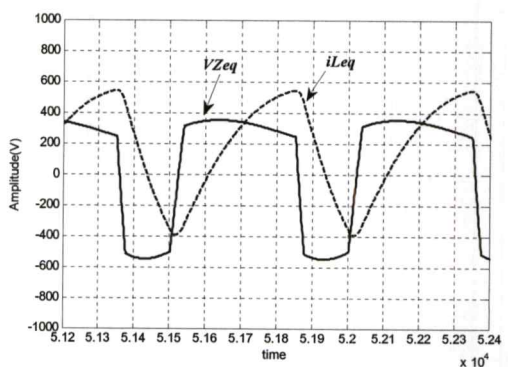
200V/div, 10A/div, 10us/div

รูปที่ 3.31 การจำลองการทำงานที่คิวตี้แฟลคเตอร์ 0.6



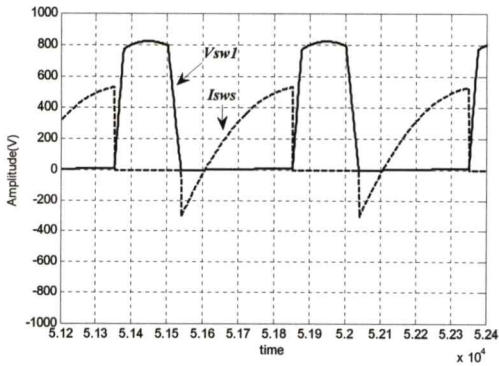
(ก) แรงดันและกระแสด้านอินพุท

100V/div, 10A/div, 2ms/div

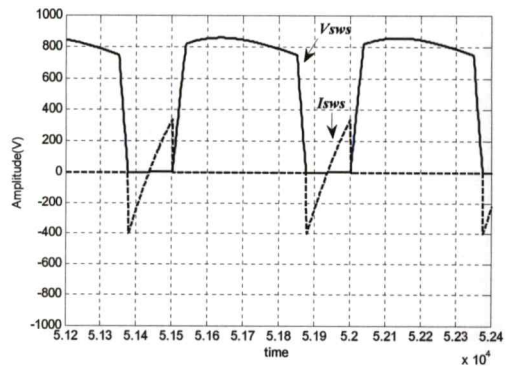


(ข) แรงดันและกระแสด้านเอาต์พุท

200V/div, 10A/div, 10us/div

(ค) แรงดันและกระแสสวิตช์ Q_1

200V/div, 10A/div, 10us/div

(ง) แรงดันและกระแสสวิตช์ Q_s

200V/div, 10A/div, 10us/div

รูปที่ 3.32 การจำลองการทำงานที่คิวดีแฟคเตอร์ 0.7

3.3.2.2 ผลการคำนวณค่ากำลังไฟฟ้า ประสิทธิภาพ และตัวประกอบกำลังหลังปรับปรุง

ในส่วนนี้เป็นผลการคำนวณค่าที่ได้การจำลองหลังปรับปรุงข้างต้น ซึ่งจะใช้ข้อมูลจากบล็อก Scope โดยตั้งค่าในบล็อก Scope ดังนี้เลือก Save data to Workspace ชนิดข้อมูลแบบ Array ความละเอียด $0.1e^{-6}$ แล้วจึงเริ่มต้นจำลองที่คิวดีแฟคเตอร์ต่างๆ โดยกำหนดให้ความถี่สวิตซ์คงที่ 20 kHz เมื่อการจำลองการทำงานเสร็จสิ้นลง ก็จะนำข้อมูลที่ได้จาก Workspace มาคำนวณเพื่อหาค่าต่างๆ ด้วยโปรแกรม Matlab ซึ่งองค์ประกอบทางไฟฟ้าต่างๆสามารถหาได้จากสมการที่ 3.39 - 3.46

ข้อมูลที่ได้จากการจำลอง เมื่อนำมาหาคำนวณหาค่าต่างๆ จะได้ค่าตามตารางที่ 3.5 ที่กำลังไฟฟ้าเอาต์พุตระหว่าง 0.5-2kW

เมื่อ

 D : คิวดีแฟคเตอร์ $\% \eta_{elec}$: ประสิทธิภาพทางไฟฟ้า

ตารางที่ 3.5 ค่าองค์ประกอบต่างๆ ทางไฟฟ้าที่ได้จากการคำนวณหลังปรับปรุง

D	$P_{in}(W)$	$I_{in}(A)$	$V_{in}(V)$	PF	$THD_v(\%)$	$THD_i(\%)$	$P_{out}(W)$	$\% \eta_{elec}$
0.339	529.42	2.43	220	0.988	0.47	5.61	502.00	94.82
0.366	634.78	2.91	220	0.991	0.56	4.86	602.00	94.9
0.393	739.82	3.38	220	0.993	0.66	4.42	702.00	94.96
0.419	841.37	3.84	220	0.994	0.76	4.17	799.32	95.00
0.444	947.36	4.32	220	0.995	0.86	3.99	900.30	95.03
0.468	1,053.34	4.80	220	0.995	0.96	3.88	1,001.00	95.05
0.491	1,158.73	5.28	220	0.996	1.05	3.81	1,101.00	95.06
0.513	1,262.93	5.76	220	0.996	1.15	3.76	1,200.69	95.07
0.535	1,370.32	6.25	220	0.996	1.24	3.72	1,302.80	95.07
0.555	1,470.56	6.70	220	0.996	1.32	3.70	1,402.80	95.06
0.576	1,578.00	7.20	220	0.996	1.41	3.68	1,500.30	95.05
0.596	1,683.03	7.67	220	0.996	1.50	3.67	1,599.64	95.04
0.616	1789.64	8.16	220	0.996	1.58	3.67	1,700.64	95.02
0.635	1897.82	8.66	220	0.996	1.66	3.68	1,803.00	95.00
0.655	2001.74	9.13	220	0.996	1.73	3.69	1,901.20	94.97
0.674	2106.43	9.61	220	0.996	1.81	3.73	1,999.96	94.94

จากค่าในตารางและการคำนวณเมื่อนำมาเขียนเป็นกราฟความสัมพันธ์ต่างๆกับคิวดิตีแฟคเตอร์จะได้ดังนี้

รูปที่ 3.33 ความสัมพันธ์ระหว่างกำลังไฟฟ้ากับคิวดิตีแฟคเตอร์

รูปที่ 3.34 ความสัมพันธ์ระหว่างประสิทธิภาพทางไฟฟ้ากับคิวดิตีแฟคเตอร์

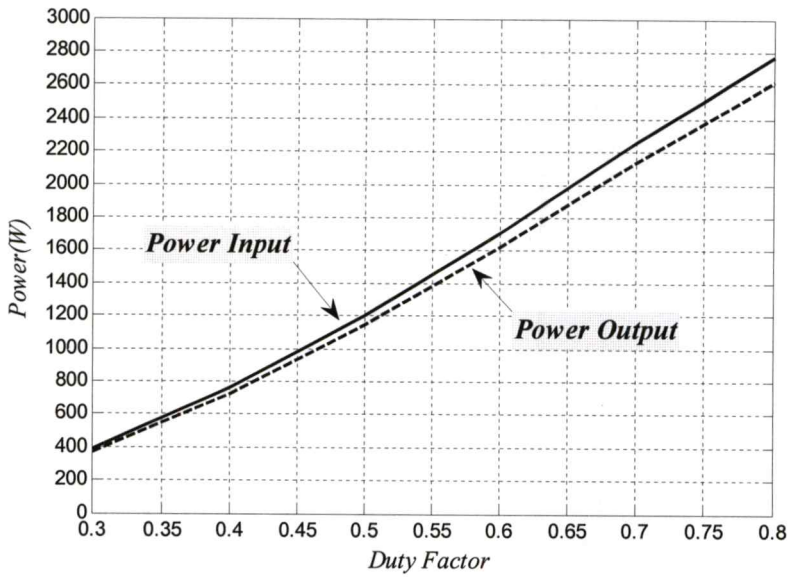
รูปที่ 3.35 ความสัมพันธ์ระหว่างกำลังไฟฟ้าสูญเสียกับคิวดิตีแฟคเตอร์

รูปที่ 3.36 ความสัมพันธ์ระหว่างกระแสอินพุทกับคิวดิตีแฟคเตอร์

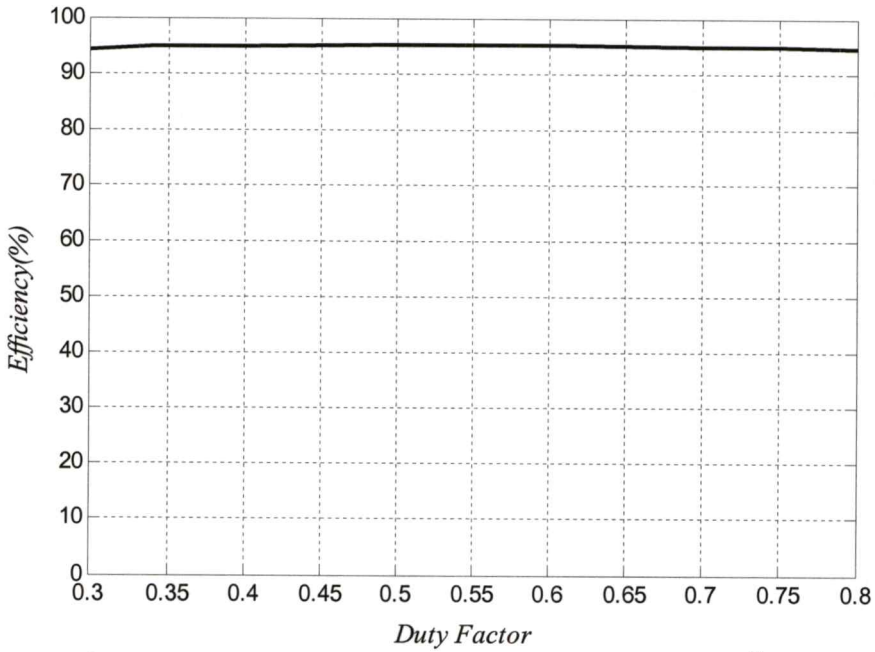
รูปที่ 3.37 ความสัมพันธ์ระหว่าง THD_v THD_i กับคิวดิตีแฟคเตอร์

รูปที่ 3.38 ความสัมพันธ์ระหว่างกำลังไฟฟ้าสูญเสียกับคิวดิตีแฟคเตอร์

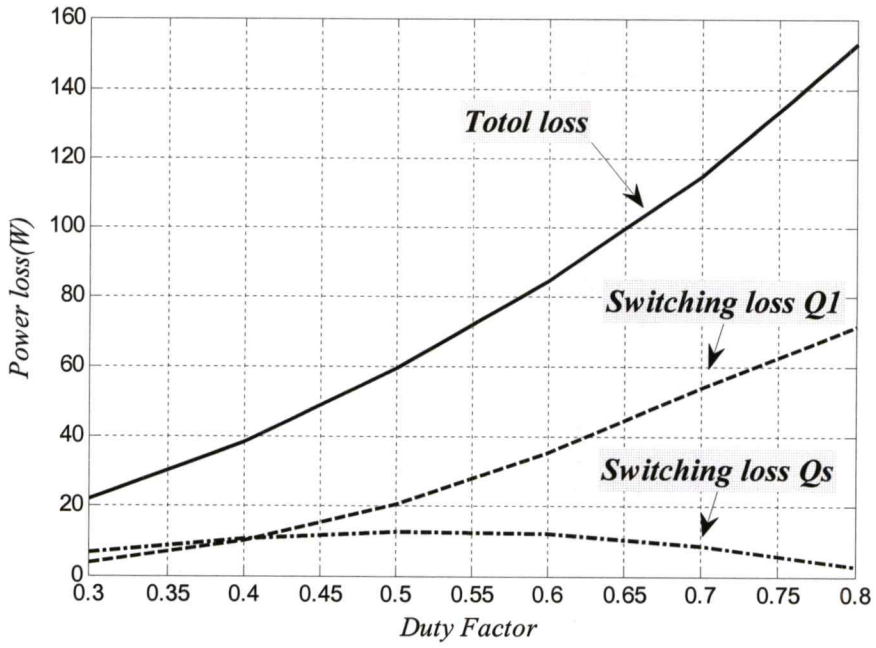
รูปที่ 3.39 ความสัมพันธ์ระหว่างพิกัดกระแสสูงสุดกับคิวดิตีแฟคเตอร์



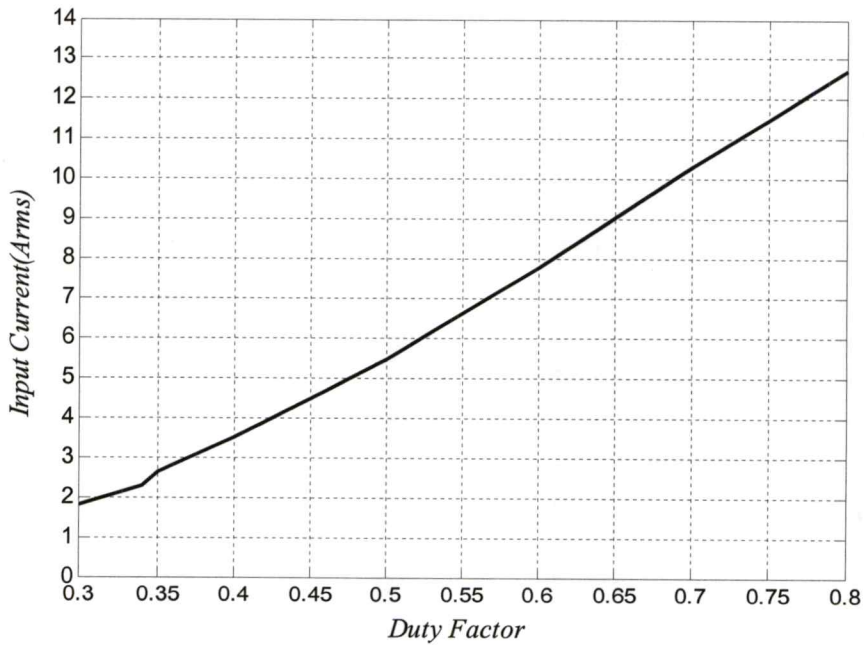
รูปที่ 3.33 ความสัมพันธ์ระหว่างกำลังไฟฟ้ากับคิวดัฟลักเตอร์



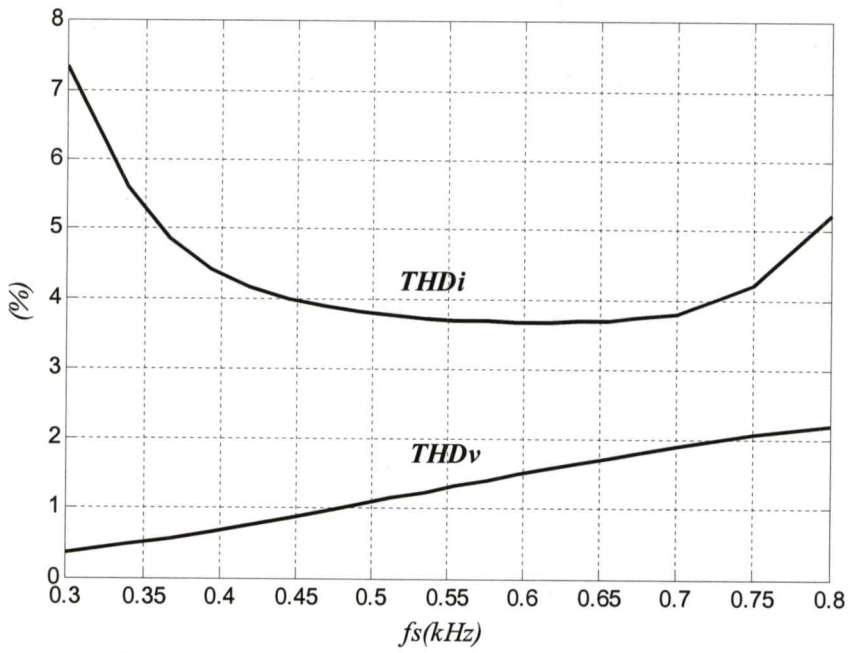
รูปที่ 3.34 ความสัมพันธ์ระหว่างประสิทธิภาพทางไฟฟ้ากับคิวดัฟลักเตอร์



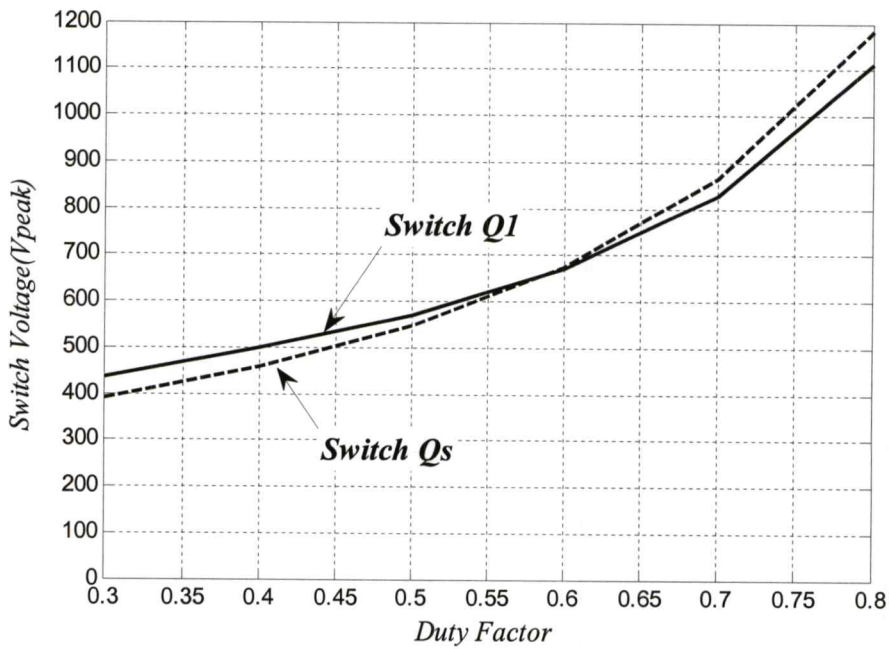
รูปที่ 3.35 ความสัมพันธ์ระหว่างกำลังไฟฟ้าสูญเสียกับคิวดั๊ฟแฟคเตอร์



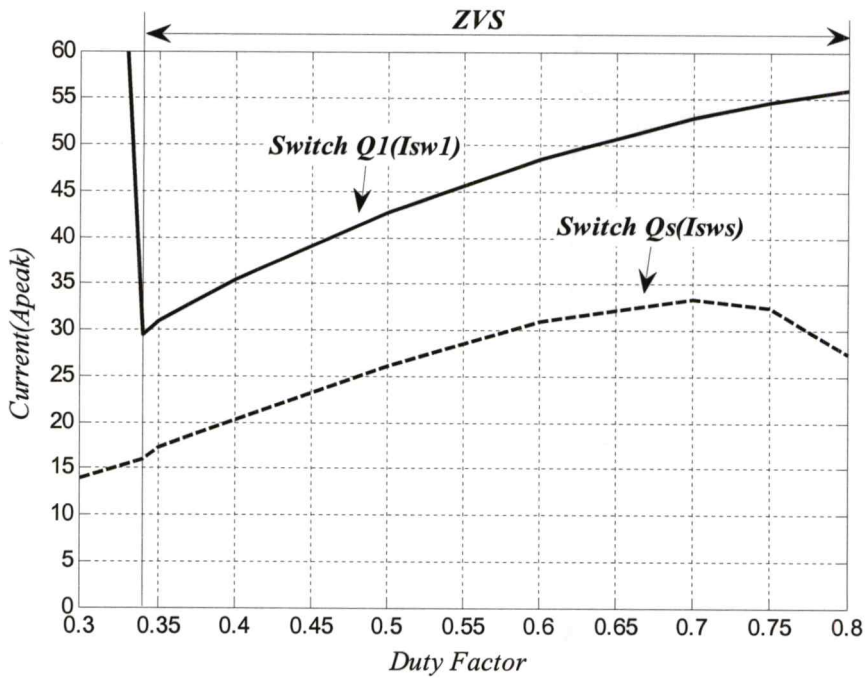
รูปที่ 3.36 ความสัมพันธ์ระหว่างกระแสอินพุตกับคิวดั๊ฟแฟคเตอร์



รูปที่ 3.37 ความสัมพันธ์ระหว่าง THDv THDi กับคิวดิตีแฟคเตอร์



รูปที่ 3.38 ความสัมพันธ์ระหว่างพิกัดแรงดันสูงสุดกับคิวดิตีแฟคเตอร์



รูปที่ 3.39 ความสัมพันธ์ระหว่างพิกัดกระแสสูงสุดกับดิวตี้แฟคเตอร์

จากรูปที่ 3.39 ที่ดิวตี้แฟคเตอร์ต่ำกว่า 0.34 พิกัดกระแสที่ไหลผ่านสวิตช์หลัก Q_1 จะสูงมาก เนื่องจากเกิดการสวิตช์ขณะแรงดันไม่เป็นศูนย์ (รูปที่ 3.28(ค)) ดังนั้นช่วงของการสวิตช์ขณะแรงดันเป็นศูนย์จะอยู่ระหว่าง 0.34-0.8 ส่วน Q_s สามารถทำงานในสภาวะสวิตช์ขณะแรงดันเป็นศูนย์ตลอดช่วงการทำงานของสวิตช์หลัก Q_1 แต่ในทางปฏิบัติจริงควรเลือกช่วงการใช้งานที่เหมาะสม เพื่อให้พิกัดของสวิตช์สูงมาก

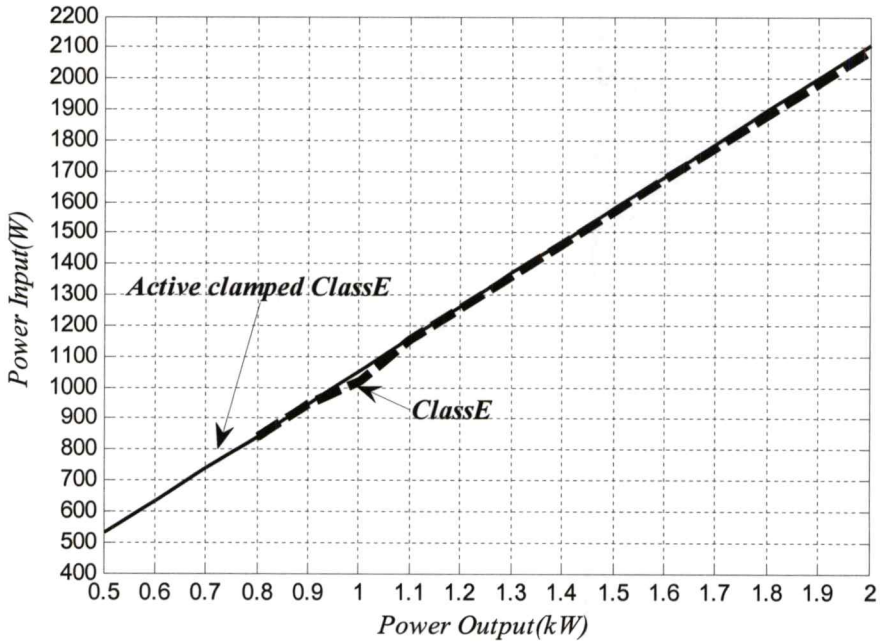
3.4 เปรียบเทียบผลจำลองคุณสมบัติของอินเวอร์เตอร์ก่อนปรับปรุงและหลังปรับปรุง

เป็นการเปรียบเทียบที่ขนาดกำลังไฟฟ้าเอาต์พุตที่เท่ากันระหว่าง 0.5-2kW ที่ระบบเอซี 220V, 50Hz โดยมีค่าตัวแปรคงที่ดังนี้ L_{eq} 84.25 μH , R_{eq} 3.8 Ω , C_1 173 μF และสามารถเขียนเป็นกราฟความสัมพันธ์ต่างๆเปรียบเทียบกับกำลังไฟฟ้าเอาต์พุตดังนี้

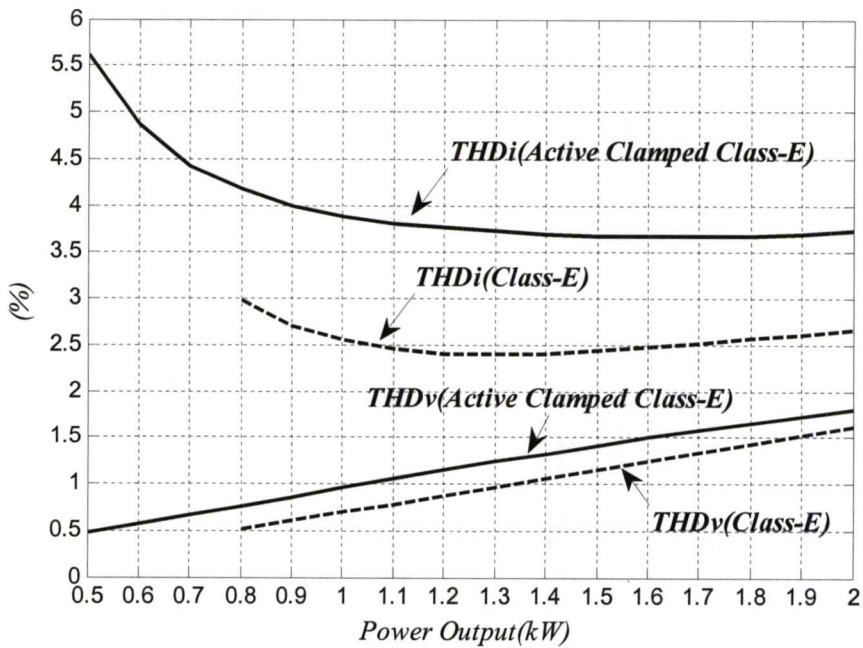
เมื่อ

อินเวอร์เตอร์กึ่งเรโซแนนท์หลังปรับปรุง : Active clamped class-E (ACCE)

อินเวอร์เตอร์กึ่งเรโซแนนท์ก่อนปรับปรุง : class-E

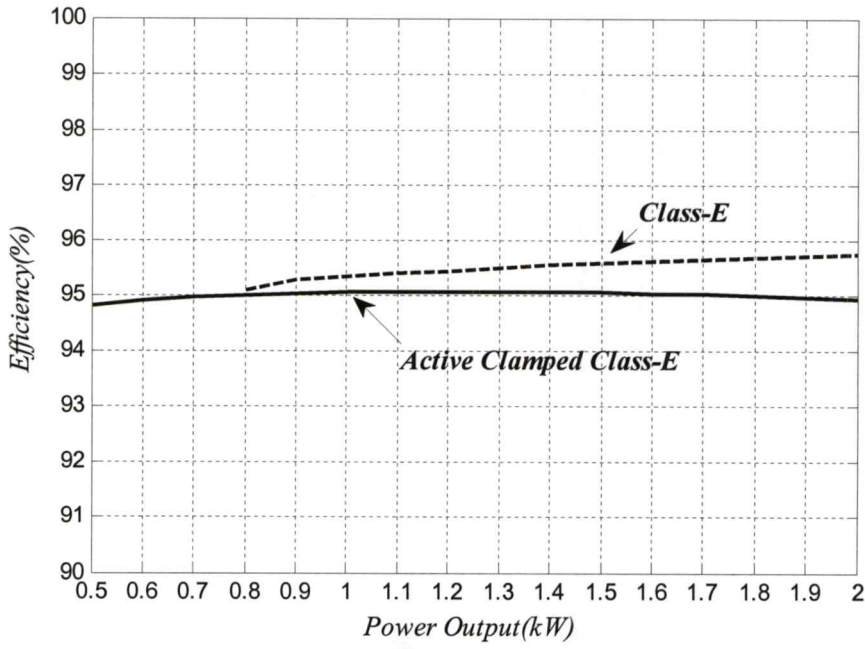


รูปที่ 3.40 เปรียบเทียบความสัมพันธ์ระหว่างกำลังไฟฟ้าอินพุตกับเอาต์พุต

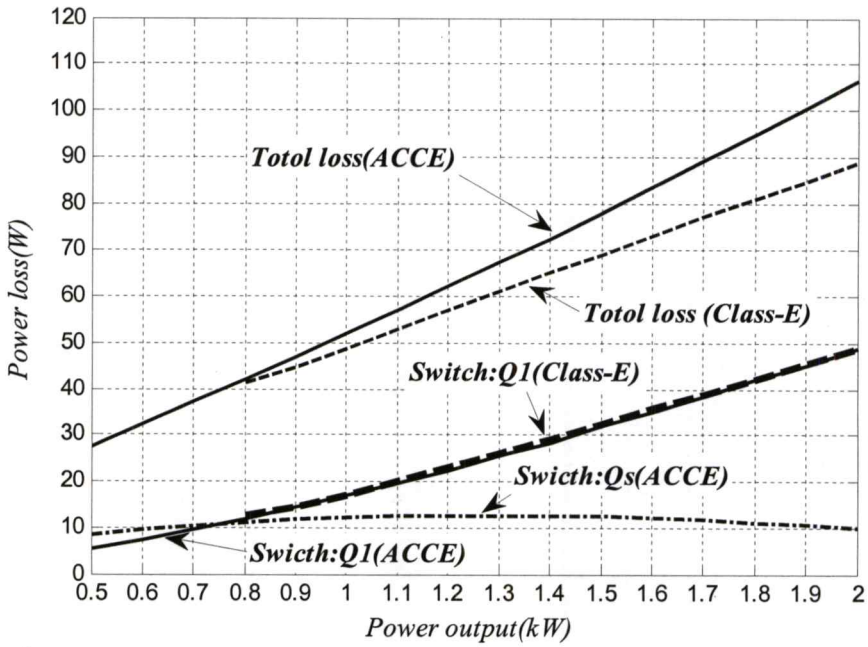


รูปที่ 3.41 เปรียบเทียบความสัมพันธ์ระหว่าง THDv, THDi กับกำลังไฟฟ้าเอาต์พุต

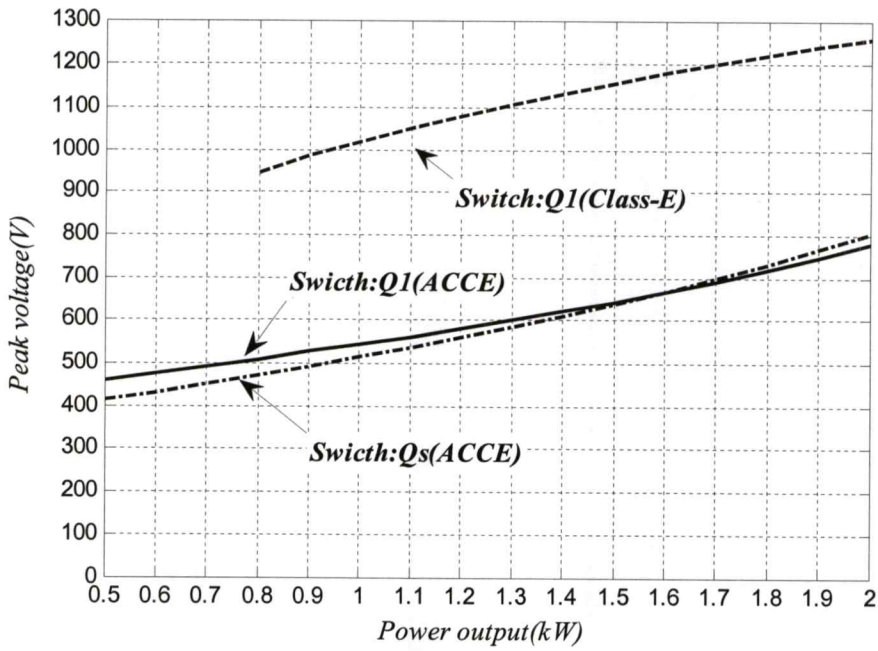
ความผิดเพี้ยนของกระแสด้านอินพุตหลังปรับปรุงจะเพิ่มขึ้นเนื่องจากการเพิ่มสวิตช์เข้าไปในวงจรทำให้มีการสวิตชิงในวงจรมากกว่าเดิมเป็นสองเท่าในทางปฏิบัติจะต้องเพิ่มขนาดของ L_f, C_f ฟิลเตอร์ให้เหมาะสม



รูปที่ 3.42 เปรียบเทียบความสัมพันธ์ระหว่างประสิทธิภาพทางไฟฟ้ากับกำลังไฟฟ้าเอาต์พุต

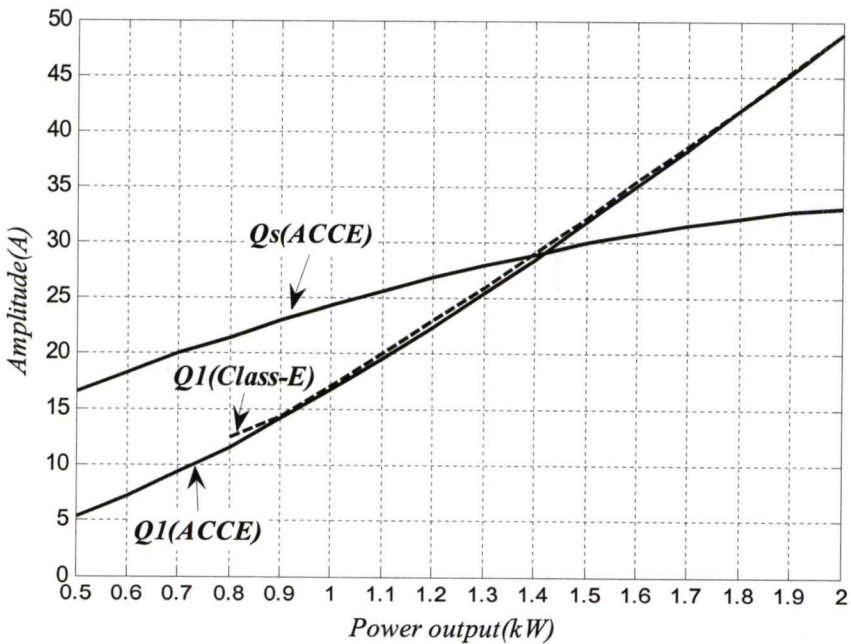


รูปที่ 3.43 เปรียบเทียบความสัมพันธ์ระหว่างกำลังไฟฟ้าสูญเสียกับกำลังไฟฟ้าเอาต์พุต



รูปที่ 3.44 เปรียบเทียบความสัมพันธ์ระหว่างพิกัดแรงดันของสวิตช์กับกำลังไฟฟ้าเอาต์พุต

จากรูปที่ 3.44 พิกัดแรงดันของสวิตช์หลักหลังปรับปรุงที่ขนาดกำลังไฟฟ้าเอาต์พุตเท่ากัน เมื่อเทียบกับก่อนปรับปรุงจะลดลงเฉลี่ย 44%



รูปที่ 3.45 เปรียบเทียบความสัมพันธ์ระหว่างพิกัดกระแสของสวิตช์กับกำลังไฟฟ้าเอาต์พุต

จากรูปที่ 3.45 พิกัดกระแสของสวิตช์หลักหลังปรับปรุงที่ขนาดกำลังไฟฟ้าเอาต์พุตเท่ากัน จะเพิ่มขึ้น 7%

จากการเปรียบเทียบทำให้ทราบว่าเมื่อเพิ่มชุด Active clamped จะสามารถลดพิกัดแรงดันตกคร่อมสวิตช์หลักจาก 1,258V เหลือ 780V เมื่อเปรียบเทียบที่กำลังไฟฟ้าเอาต์พุต 2 kW หรือลดลงเฉลี่ย 44 % แต่จะทำให้พิกัดกระแสเพิ่มจาก 50.12A เป็น 51.85A หรือเพิ่มขึ้นเฉลี่ย 7 %

3.5 สรุป

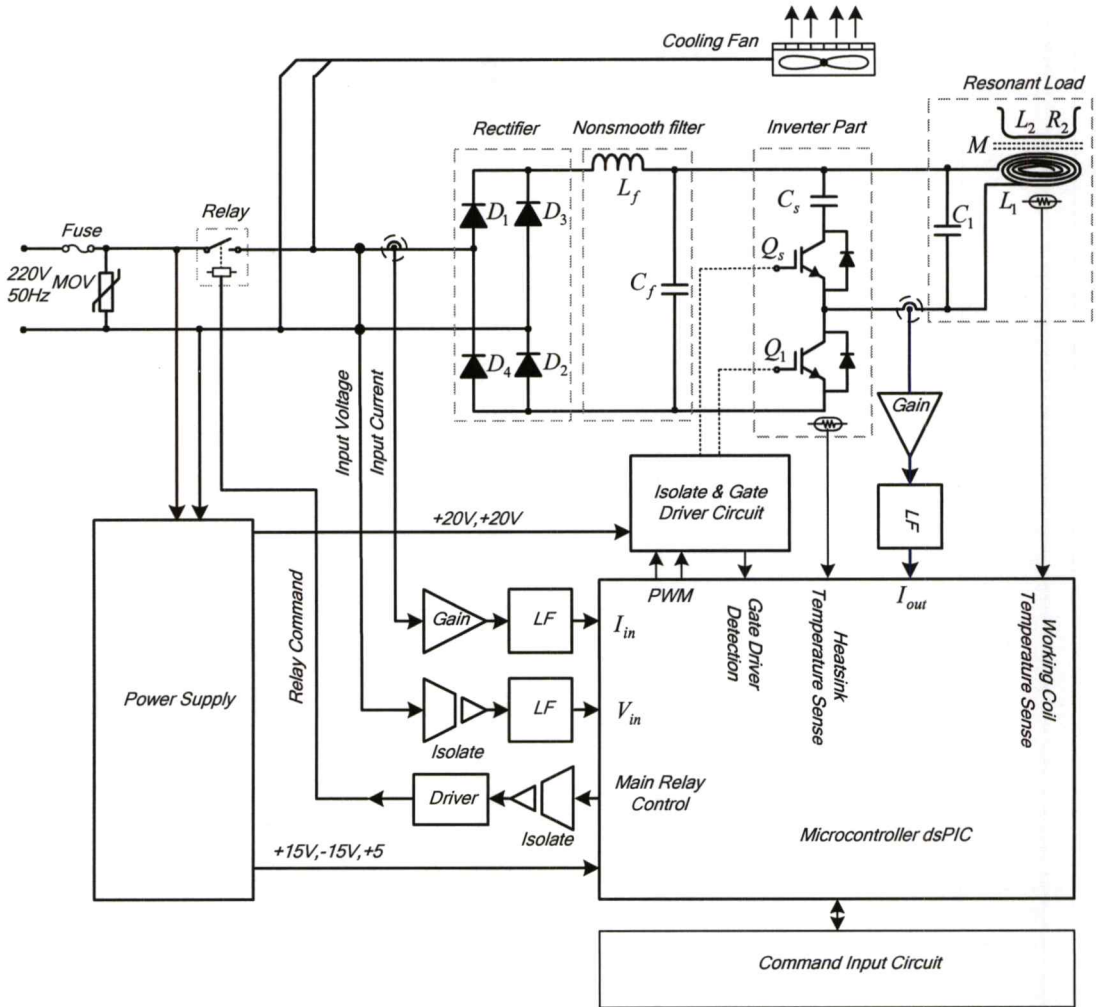
ในบทนี้ได้กล่าวถึงการวิเคราะห์อินเวอร์เตอร์กึ่งเรโซแนนท์ก่อนปรับปรุงและหลังปรับปรุงเพื่อลดขนาดพิกัดของสวิตช์หลักเมื่อใช้งานในระบบเอซี 220 V, 50Hz และจำลองการทำงานของวงจรด้วยโปรแกรม Matlab/Simulink เพื่อศึกษาพฤติกรรมและทำความเข้าใจการทำงานของวงจร เพื่อให้มั่นใจว่าวงจรที่ออกแบบมีความเป็นไปได้ตามทฤษฎีก่อนที่จะนำไปสร้างวงจรจริงและทดสอบในทางปฏิบัติต่อไป

บทที่ 4

การออกแบบและสร้างวงจรต้นแบบที่นำเสนอ

4.1 บทนำ

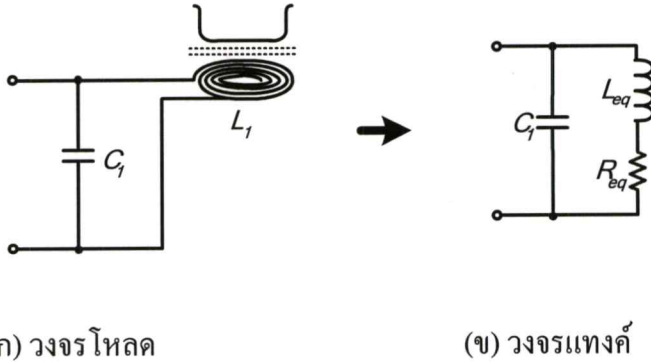
ในบทนี้จะกล่าวถึงการออกแบบวงจรและเลือกอุปกรณ์เพื่อนำมาใช้ในการสร้างเครื่องต้นแบบของเตาหุงต้มแบบเหนียวนำ ทั้งวงจรกำลังและวงจรควบคุม โดยที่ให้การทำงานเป็นไปตามเงื่อนไขต่างๆที่ได้ออกแบบไว้ รายละเอียดของวงจรสามารถเขียนเป็นบล็อกไดอะแกรมได้ดังรูปที่ 4.1 โดยสามารถแยกพิจารณาการออกแบบและสร้างวงจรในส่วนต่างๆดังนี้



รูปที่ 4.1 วงจรกำลังและวงจรควบคุมของเตาหุงต้มเหนียวนำที่นำเสนอ

4.2 ชุดวงจรโพลดิโรโซแนนท์

ในการออกแบบจะเริ่มจากเลือกชนิดของขนาดภาชนะที่ใช้ และขนาดกำลังไฟฟ้าเอาต์พุต เพื่อที่จะได้ทราบว่าต้องใช้จำนวนขดลวดและจำนวนรอบในการพันเท่าใดจึงจะสามารถทนกระแสเอาต์พุตได้โดยไม่ทำให้ขดลวดเสียหาย จากนั้นนำขดลวดที่ได้และภาชนะทำการวัดหาค่าความเหนี่ยวนำค่าความต้านทานสมมูลดังรูปที่ 4.2 (ก) และคำนวณหาค่าตัวเก็บประจุเรโซแนนท์



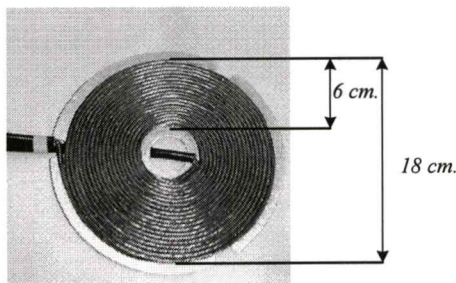
(ก) วงจรโพลดิ

(ข) วงจรแทนที่

รูปที่ 4.2 วงจรโพลดิและภาชนะหุ้มฉนวน

4.2.1 การสร้างขดลวดเหนี่ยวนำ (LI)

ในงานวิจัยนี้ได้ออกแบบให้ใช้งานกับภาชนะหุ้มฉนวนชนิดกั้นแบนขนาดเส้นผ่านศูนย์กลางระหว่าง 18-20 เซนติเมตร ดังนั้นความกว้างของชุดขดลวดจึงต้องมีขนาดใกล้เคียงหรือพอดีกับกั้นภาชนะ ขดลวดได้ใช้ขดลวดทองแดงเบอร์ 30 AWG ซึ่งสามารถทนอุณหภูมิสูงสุดได้ 200 องศาเซลเซียส จำนวน 26 เส้น พันติเกลียวเพื่อชดเชยผลสกินเอฟเฟค (Skin Effect) ที่เกิดขึ้นกับการไหลของกระแสในขดลวดทองแดงขณะทำงานที่ความถี่สูง และมีพื้นที่เพียงพอกับปริมาณกระแสที่ไหลขณะเตาหุ้มฉนวนทำงานที่พิกัดสูงสุด ($\sim 60 A_{peak}$) ออกแบบฟอร์มขดลวดเป็นวงกลมดังรูปที่ 4.3 โดยจุดศูนย์กลางเว้นช่องว่างเส้นผ่านศูนย์กลาง 4 เซนติเมตร พันให้ชิดติดกันจากด้านในออกสู่ด้านนอกทั้งหมด 29 ชั้น เคลือบวานิชแล้วอบให้แห้งขดลวดที่ได้เมื่อนำไปวัดค่าความเหนี่ยวนำ (L_{eq}) ขณะมีโพลดิภาชนะจะได้เท่ากับ 112 μH ความต้านทาน (R_{eq}) 4.8 Ω ระยะ Gap 1 เซนติเมตร ที่ความถี่ทดสอบ 20-40kHz



รูปที่ 4.3 ขดลวดสำหรับภาชนะกั้นแบน

4.2.2 การออกแบบค่าตัวเก็บประจุเรโซแนนท์ (CI)

จากคุณสมบัติของวงจรขนานที่ความถี่ต่ำกว่าจุดเรโซแนนท์จะมีคุณสมบัติเป็น Inductive เมื่อกำหนดให้ความถี่สวิตช์ 20 kHz ดังนั้นจึงต้องออกแบบตัวเก็บประจุที่ทำให้เกิดจุดเรโซแนนท์สูงกว่าความถี่สวิตช์ ในงานวิจัยนี้ได้ออกแบบไว้ที่ 36 kHz จะทำให้ได้ค่า C_1 ของวงจรเท่ากับอยู่ระหว่าง 2-3 ที่ความถี่สวิตช์ 20kHz ดังนั้น C_1 หาได้จาก

$$X_L = X_C$$

$$X_L = 2\pi f_r L_{eq}$$

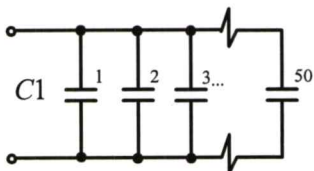
$$= 2\pi(36 \times 10^3)(112 \times 10^{-6})$$

$$= 25.4 \Omega$$

$$X_C = \frac{1}{2\pi f_r C_1}$$

$$C_1 = 173 \text{ nF}$$

ในทางปฏิบัติใช้ตัวเก็บประจุชนิด โพลีโพรไพลีนฟิล์มขนาด 4700pF 2000V_{DC} 37 ตัวต่อขนานกันดังรูปที่ 4.4 จะได้ค่า 173.9 nF เพื่อลดค่าความต้านทานอนุกรมสมมูล (ESR:Equivalent Series Resistant) ที่อยู่ในตัวเก็บประจุให้น้อยลงเพราะเนื่องมาจากค่าความต้านทานดังกล่าวจะทำให้ตัวเก็บประจุมีความสูญเสียมากขึ้นขณะทำงานที่กระแสและความถี่สูง ส่งผลให้ตัวเก็บประจุนั้นเกิดความเครียดทางไฟฟ้าและทำให้เสียหายได้ในที่สุด

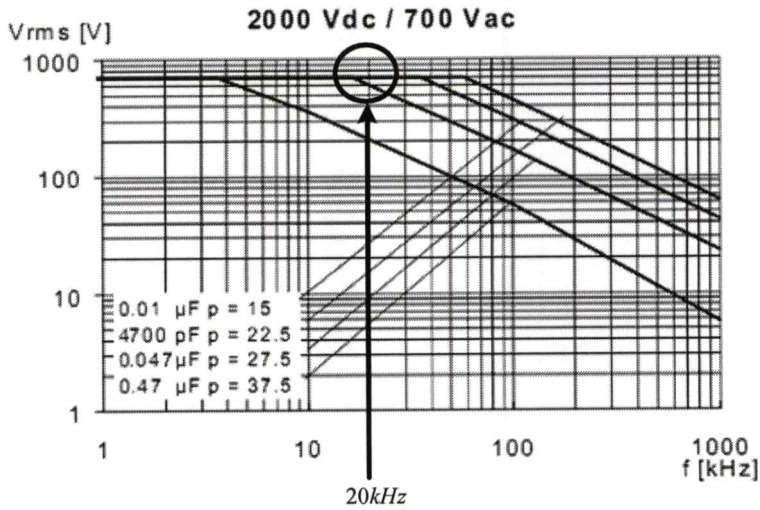


(ก) วงจรขนานตัวเก็บประจุ



(ข) รูปร่างของตัวเก็บประจุ 4700 pF

รูปที่ 4.4 ลักษณะตัวเก็บประจุที่ใช้งาน



รูปที่ 4.5 กราฟความสัมพันธ์ระหว่างแรงดัน (V_{rms}) และความถี่ที่ใช้งาน

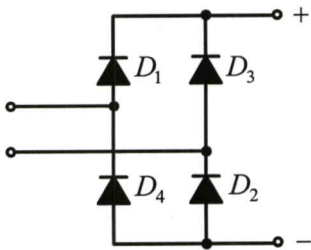
รูปที่ 4.5 เป็นกราฟใช้สำหรับตรวจสอบค่าเบอร์ของตัวเก็บประจุที่เลือกมาใช้งานมีคุณสมบัติเหมาะสมหรือไม่ซึ่งหาดูได้จากคู่มือการใช้งานของตัวเก็บประจุชนิดนั้นๆ

4.3 การออกแบบวงจรกำลัง

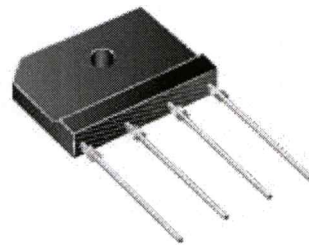
วงจรกำลังซึ่งประกอบด้วยส่วนต่างๆดังนี้

4.3.1 การออกแบบวงจรเรียงกระแส

ไดโอดที่ใช้ในงานวิจัยจะเป็นไดโอดกำลังชนิดเต็มคลื่นแบบโมดูลดังแสดงวงจรภายในและรูปร่างของไดโอดดังรูปที่ 4.6 (ก) และ (ข) ตามลำดับ โดยพิกัดกำลังหาได้ตามสมการที่ (4.1)



(ก) วงจรภายในของไดโอด



(ข) รูปร่างของไดโอด

รูปที่ 4.6 ไดโอดกำลังชนิดเต็มคลื่นแบบโมดูล

$$P_{in} = V_{in} \cdot I_{in} \cdot \cos \phi \tag{4.1}$$

ตามคุณสมบัติของของเตาหุงต้มที่กำหนดไว้เป็น

พิกัดกำลังไฟฟ้าเอาท์พุท	1,500	W
ประสิทธิภาพทางไฟฟ้าจากการจำลอง	95	%
ด้านอินพุทรับไฟฟ้ากระแสสลับ	220	V
ตัวประกอบกำลังมีค่า(ค่าต่ำสุด)	0.95	
กำลังไฟฟ้าอินพุท	= (1500x100)/95	
	= 1,579	W
จากสมการที่ (4.1) ได้		
กระแสที่จะไหลผ่านไดโอด	7.55	A

แต่เนื่องจากวงจรดังกล่าวมีการทำงานแบบสวิตซ์ซึ่งดังนั้นจึงกำหนดให้ไดโอดทำงานสูงสุดไม่เกิน 70 % ของพิกัดตัวเองจะได้พิกัดกระแสขั้นต่ำอยู่ที่ 10.78A ในที่นี้เลือกไดโอด บริดจ์เบอร์ RBV1510 พิกัดขนาด 1000 V 15 A โดยมีลักษณะรูปร่างดังรูปที่ 4.6 (ข)

4.3.2 การออกแบบ LC Filter

ในงานวิจัยที่เสนอนี้ได้ใช้มาตรฐาน IEC 61000-3-2 (2000-08) หรือ มอก.1448-2544 เป็นมาตรฐานอ้างอิงถึงสำหรับกำหนดขนาดฮาร์โมนิกที่เกิดขึ้นในระบบสายจ่ายของการทำงานของเครื่องที่ได้ออกแบบตามมาตรฐานระบุไว้ว่ามาตรฐานผลิตภัณฑ์อุตสาหกรรมนี้กำหนดขึ้นโดยรับ IEC 61000-3-2 (2000-08) Electromagnetic compatibility (EMC) – Part 3-2 : Limits-Limits for harmonic current emissions (equipment input current ≤ 16 A per phase) มาใช้ในระดัพบเหมือนกันทุกประการ (identical) โดยใช้ IEC ฉบับภาษาอังกฤษเป็นหลัก

มาตรฐานผลิตภัณฑ์อุตสาหกรรมนี้ เกี่ยวข้องกับขีดจำกัดของกระแสฮาร์โมนิกที่ถูกป้อนเข้าสู่ระบบจ่ายไฟฟ้าสาธารณะ โดยกำหนดขีดจำกัดของส่วนประกอบฮาร์โมนิกของกระแสไฟฟ้าเข้าซึ่งถูกสร้างขึ้นโดยบริษัทที่ถูกต้องทดสอบภายใต้ภาวะที่ระบุมาตรฐานนี้ใช้ได้กับบริษัทไฟฟ้าและอิเล็กทรอนิกส์ ที่มีกระแสไฟฟ้าเข้าไม่เกิน 16 แอมแปร์ต่อเฟส และประสงค์ให้ต่อกับระบบจ่ายไฟฟ้าแรงดันต่ำสาธารณะ

บริษัทเชื่อมโลหะด้วยการอาร์กซึ่งไม่ใช่บริษัทสำหรับมืออาชีพที่มีกระแสไฟฟ้าเข้าไม่เกิน 16 แอมแปร์ต่อเฟส อยู่ในขอบข่ายของมาตรฐานผลิตภัณฑ์อุตสาหกรรมนี้

บริษัทเชื่อมโลหะด้วยการอาร์กซึ่งประสงค์ให้มีอาชีพใช้ตามที่กำหนดใน IEC 60974-1 ไม่อยู่ในขอบข่ายของมาตรฐานผลิตภัณฑ์อุตสาหกรรมนี้ และอาจต้องเป็นไปตามข้อกำหนดที่เข้มงวดซึ่งระบุไว้ใน IEC 61000-3-4

ในมาตรฐานนี้แบ่งระดับโหนดในการพิจารณาเพื่อจำกัดฮาร์โมนิกได้ดังนี้

Class A : อุปกรณ์ที่ใช้กับระบบไฟฟ้าสามเฟสสมดุลหรืออุปกรณ์อื่นๆที่ไม่ได้ถูกกำหนดไว้

Class B : อุปกรณ์ที่ใช้พลังงานไฟฟ้าแบบพกพาได้และที่มีลักษณะใกล้เคียง เช่น อุปกรณ์ในการเชื่อม

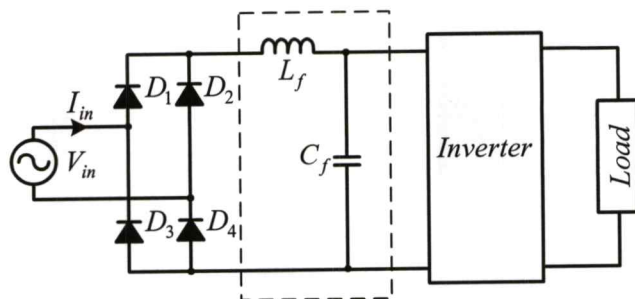
Class C : อุปกรณ์ไฟฟ้าประเภทให้แสงสว่างรวมทั้งตัวควบคุมการปรับแสงสว่าง

Class D : อุปกรณ์ไฟฟ้าที่ทำรูปร่างกระแสมัดเพี้ยนไปเป็นพิเศษ (Special Wave Shape) และกินกำลังไฟฟ้าน้อยกว่าหรือเท่ากับ 600 วัตต์

ในงานวิจัยนี้จะใช้ Class A ซึ่งสามารถพิจารณาค่าจำกัดกระแสฮาร์มอนิกได้ตามตารางที่ 4.1 ตารางที่ 4.1 ขีดจำกัดค่ากระแสฮาร์มอนิกตามมาตรฐานของ Class A

ฮาร์มอนิกลำดับเลขคู่		ฮาร์มอนิกลำดับเลขคู่	
ลำดับฮาร์มอนิก	ค่ากระแสสูงสุด (A)	ลำดับฮาร์มอนิก	ค่ากระแสสูงสุด (A)
3	2.30	2	1.08
5	1.14	4	0.43
7	0.77	6	0.30
9	0.40	$8 \leq n \leq 40$	$0.23(8/n)$
11	0.33		
13	0.21		
$15 \leq n \leq 39$	$0.15(15/n)$		

ในงานวิจัยจะใช้ลักษณะของวงจร LC Filter ที่ใช้ดังแสดงในรูปที่ 4.7 หาค่าโดยกำหนดให้ค่า C_f มีค่าน้อยๆในงานวิจัยนี้เลือกใช้ค่า $5 \mu F$ จากนั้นใช้โปรแกรม Matlab จำลองการทำงานของวงจรที่ความถี่สวิตช์ 20kHz ปรับคircuit เฟลคเตอร์ที่กำลังไฟฟ้าเอาต์พุตค่าสูงสุดและต่ำสุด โดยกำหนดค่าเริ่มต้นของ L_f 100 μH แล้วจึงค่อยๆเพิ่มขึ้น จากนั้นนำข้อมูลมาคำนวณหาค่ากระแสฮาร์มอนิกส์เปรียบเทียบกับค่ามาตรฐานของ Class A ได้ค่า L_f 450 μF



รูปที่ 4.7 วงจรเรียงกระแสหนึ่งเฟสและ LC Filter

4.3.3 วงจรอินเวอร์เตอร์

ในงานวิจัยนี้ใช้ไอจีบีทีเป็นอุปกรณ์สวิตช์โดยลักษณะของอินเวอร์เตอร์เป็นแบบกึ่งเรโซแนนท์ และโหลดเป็นตัวเหนี่ยวนำกระแสและแรงดันค่อนข้างสูงในการเลือกใช้อิจีบีทีจึงจำเป็นต้องเลือกพิกัดปลอดภัยที่เหมาะสมจากรูปที่ 4.8 (ก) สวิตช์ Q_1 และ Q_2 เราสามารถหาค่ากระแสที่ไหลผ่านสูงสุดได้จากสมการที่ 4.2

$$I_{peak} = \frac{2\pi \cdot P_{out}}{Vd_{min}} \quad (4.2)$$

โดย P_{out} คือ พิกัดกำลังเอาต์พุต(W)

Vd_{min} คือ แรงดันไฟฟ้ากระแสตรงต่ำสุด (V)

เมื่อพิกัดของเครื่องได้กำหนดไว้ที่ 1.5 kW อินพุตรับไฟฟ้า 220 V \pm 10% ซึ่งเมื่อแปลงเป็นไฟฟ้ากระแสตรงแล้วจะได้ค่าสูงสุดคือ

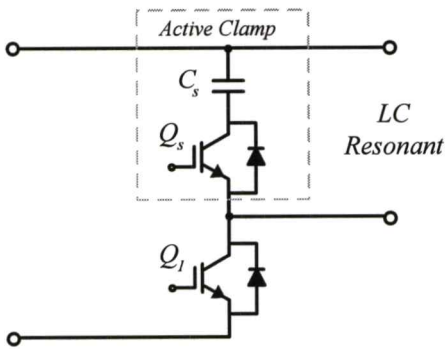
$$\begin{aligned} V_{peak} &= (220 \pm 10\%) \cdot \sqrt{2} \\ &= 342.2 \quad V \end{aligned}$$

ตามสมการที่ 4.2 เมื่อแทนค่าจะได้กระแสสูงสุดคือ

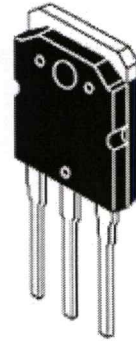
$$\begin{aligned} I_{peak} &= \frac{2\pi \cdot 1500}{(220 - 10\%) \sqrt{2}} \\ &= 33.6 \quad A \end{aligned}$$

โดยทั่วไปการใช้งานไอจีบีทีจะเผื่อพิกัดในการใช้งานไว้ที่ 70 % เพื่อป้องกันการกระชากและการเปลี่ยนแปลงของกระแสที่เกิดขึ้นอย่างทันทีทันใด แต่ในงานวิจัยนี้จะใช้ 60% เนื่องจากเป็น

โหลดตัวเหนี่ยวนำ จะได้ว่ากระแสสูงสุดที่เหมาะสมสำหรับไอจีบีทีจะมีค่าเท่ากับ 56 A ดังนั้นไอจีบีทีที่เลือกมาใช้งานที่มีพิกัดใกล้เคียงคือ 60 A 900 V (GT60M303) ซึ่งมีขายตามท้องตลาดทั่วไป โดยแสดงลักษณะของตัวอย่างตามรูปที่ 4.8(ข) ในการใช้งานจริงจะต้องติดตั้งบนแผ่นระบายความร้อนด้วย เพื่อระบายความร้อนให้กับไอจีบีทีป้องกันไม่ให้เกิดความเสียหายอันเนื่องมาจากอุณหภูมิขณะทำงานที่ไอจีบีทีเกิน นอกจากนี้สำหรับงานที่มีพิกัดกำลังหรือความถี่สูงๆ ในทางปฏิบัติจำเป็นต้องต่อตัวเก็บประจุ snubber เบอร์ (Snubber Capacitor) ไว้ด้วย เพื่อลดสไปรค์แรงดันตกคร่อมไอจีบีที ไม่ให้สูงเกินกว่าที่ไอจีบีทีจะทนได้ซึ่งตัวเก็บประจุดังกล่าวจะต่อคร่อมกับจุดแรงดันเชื่อมโยงไฟฟ้ากระแสตรง โดยค่าของตัวเก็บประจุจะได้มาจากคำแนะนำของกลุ่มมือใช้งานไอจีบีทีเบอร์นั้นๆ



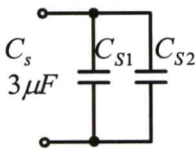
(ก) วงจรอินเวอร์เตอร์



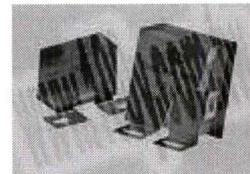
(ข) ลักษณะไอจีบีที GT60M303

รูปที่ 4.8 วงจรอินเวอร์เตอร์และ ไอจีบีทีที่ใช้ในงานวิจัยนี้

ตัวเก็บประจุ C_s ขนาด $3 \mu F$ ทำหน้าที่ลดแรงดันตกคร่อมสวิตช์หลัก Q_1 โดยใช้ชนิดโพลีโพรไพลีนฟิล์ม (Polypropylene film) ขนาด $1.5 \mu F$ $1000 V_{DC}$ ขนาดกันสองตัว



(ก) วงจรใช้งาน



(ข) ลักษณะตัวเก็บประจุที่ใช้

รูปที่ 4.9 ตัวเก็บประจุ C_s

4.4 วงจรรวมอื่นๆ

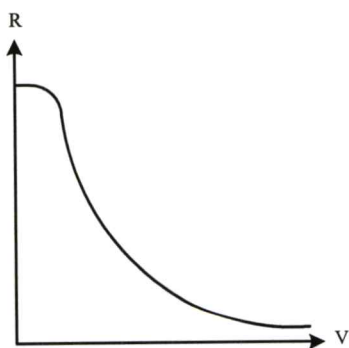
4.4.1 วงจรตัดกระแสเกิน (Fuse)

ใช้สำหรับป้องกันในกรณีที่ระบบควบคุมมีการทำงานผิดพลาดขึ้น ในงานวิจัยนี้ได้ใช้ฟิวส์หลอดแก้ว (Glass Tube) ชนิดขาดทันทีทันใด (Fast Acting) ต่อเข้ากับด้านอินพุท เป็นอุปกรณ์ในการป้องกันดังกล่าว ซึ่งการหาค่าพิคคของฟิวส์ในงานอิเล็กทรอนิกส์จะให้พิคคของฟิวส์มีค่าเป็น 2 เท่าของกระแสทำงานพิคค ดังนั้นเมื่อกระแสอินพุทของเดาहुงด์มีค่าประมาณ 7.55A จะได้พิคคฟิวส์มีค่าเป็น 15.1A ($7.55A \times 2$) จึงเลือกใช้ฟิวส์ขนาด 15 A/250 V

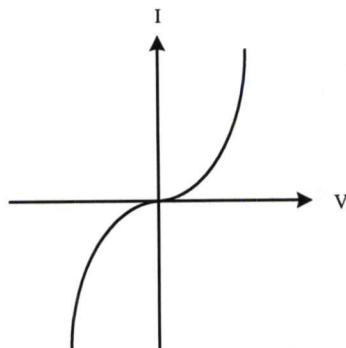
4.4.2 วงจรป้องกันแรงดันเกินเกินชั่วขณะ (MOV)

วงจรมีส่วนช่วยป้องกันแรงดันอินพุทสูงเกินชั่วขณะที่เกิดจากฟ้าผ่า การปิดเปิดวงจรที่ประกอบด้วยตัวเหนี่ยวนำหรือจากสัญญาณรบกวนที่เชื่อมโยงทางแม่เหล็กไฟฟ้า เป็นต้น ซึ่งสาเหตุต่าง ๆ เหล่านี้อาจจะทำให้เกิดความเสียหายกับวงจรได้ เหตุการณ์ดังกล่าวจะเกิดขึ้นอย่างรวดเร็วและด้วยระยะเวลาสั้น ดังนั้นการใช้วงจรป้องกันอื่น ๆ อาจจะไม่เพียงพอ หรือถ้าใช้วงจรที่มีความรวดเร็วกับการตรวจจับอาจจะมีราคาแพง และมีการทำงานที่ยุ่งยากซับซ้อนดังนั้นจึงใช้ตัวต้านทานที่แปรค่าตามแรงดัน ซึ่งเรียกว่า วาริสเตอร์ (Varistor) ซึ่งเป็นอุปกรณ์ลงทุนน้อยด้วยอุปกรณ์ที่เป็นตัวเดียวกันเท่านั้น

วาริสเตอร์จัดเป็นตัวต้านทานที่ไม่เป็นเชิงเส้น คอ้ลักษณะขนานกับวงจร โดยมีหลักการทำงานคือ เมื่อค่าแรงดันที่ป้อนให้วาริสเตอร์ต่ำกว่าค่าที่กำหนดไว้ กระแสจะไหลได้น้อย เนื่องจากค่าความต้านทานสูง เมื่อแรงดันเพิ่มขึ้น ค่าความต้านทานจะลดลง และกระแสเพิ่มขึ้นอย่างเป็นเอ็กโพเนนเชียล ดังรูปที่ 4.10 (ก) จนทำให้วาริสเตอร์นั้นพังทลายไปขณะนั้นความต้านทานจะมีค่าเท่ากับศูนย์จะทำให้เกิดการลัดวงจรจนทำให้ฟิวส์ขาด ซึ่งเป็นการเปิดวงจรออก ดังนั้นในการต่อใช้งานจริงจึงจำเป็นต้องต่อฟิวส์ด้านหน้าวาริสเตอร์ด้วย



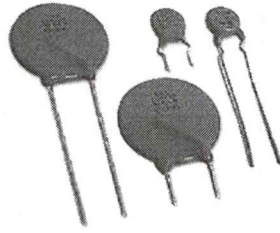
(ก) ค่าความต้านทานกับแรงดันตกคร่อม



(ข) กระแสกับแรงดัน

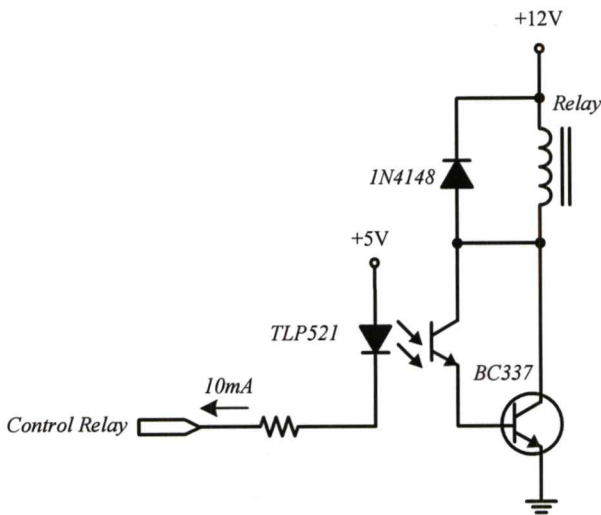
รูปที่ 4.10 กราฟแสดงคุณสมบัติการทำงานของวาริสเตอร์

การเลือกใช้งานวารีสเตอร์จะกำหนดมาจากแรงดันสูงสุดที่ยอมให้ผ่านวงจรนั้นได้ ในงานวิจัยนี้ได้กำหนดให้แรงดันสูงสุดมีค่าเท่ากับ $275 V_{peak}$ (220+25%) เพราะฉะนั้นจึงเลือกใช้วารีสเตอร์ขนาดพิกัด $275 V_{peak}$ ซึ่งหาซื้อได้ตามท้องตลาดทั่วไป ดังแสดงลักษณะของตัวอุปกรณ์ตามรูปที่ 4.11

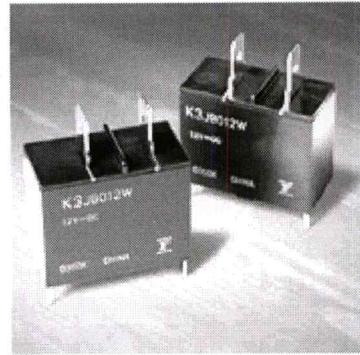


รูปที่ 4.11 รูปร่างของวารีสเตอร์

4.4.3 วงจรตัดต่อระบบไฟฟ้าเข้าวงจร (Relay)



(ก) วงจรขับรีเลย์



(ข) รูปร่างรีเลย์ที่ใช้ในงานวิจัยนี้

รูปที่ 4.12 วงจรตัดต่อระบบไฟฟ้าเข้าวงจร

ทำหน้าที่ตัดต่อระบบไฟฟ้ากระแสสลับที่เข้าวงจรกำลัง โดยมีเงื่อนไขการทำงานดังต่อไปนี้
สถานะตัดวงจร

1. ตัดวงจรขณะที่เครื่องไม่ทำงาน เพื่อลดค่าความสูญเสียที่เกิดขึ้นในวงจรกำลัง และช่วยยืดอายุตัวอุปกรณ์อิเล็กทรอนิกส์ที่ไม่จำเป็นต้องทำงานเช่น ไดโอดกำลัง ไอซีบีทีกำลัง หรือ อื่น ๆ
2. ตัดวงจรออกขณะมีการทำงานผิดปกติขึ้น เช่น กระแสเกิน แรงดันสูงหรือต่ำเกิน ความร้อนเกิน เป็นต้น เพื่อป้องกันการเสียหายที่อาจจะเกิดขึ้นกับวงจรกำลัง
3. ตัดวงจรเมื่อเครื่องมือทำงานเสร็จสิ้น หรือปิดเครื่อง

สภาวะต่อวงจร

1. ต่อระบบไฟฟ้าเข้าวงจร เมื่อต้องการให้เครื่องเริ่มทำงานตามคำสั่งของผู้ใช้งาน

อุปกรณ์ที่ทำหน้าที่ตัดต่อดังกล่าวในงานวิจัยนี้ได้เลือกใช้เป็นรีเลย์ (Relay) เนื่องจากควบคุมได้ง่าย และมีการทำงานที่ไม่ซับซ้อน ทุก ๆ ครั้งที่ต่อวงจรจะทำงานที่กระแสเป็นศูนย์ เพราะฉะนั้น ความเสียหายที่เกิดขึ้นกับหน้าสัมผัสจึงน้อยมาก โดยรีเลย์ที่ใช้จะเป็นชนิดที่มีหน้าสัมผัสแบบปกติเปิด (Normally Open : NO) และหน้าสัมผัสแบบปกติปิด (Normally Close : NC) อย่างละ 1 หน้าสัมผัส เลือกใช้งานที่มีขนาดพิกัดประมาณ 2 เท่าของกระแสอินพุต ดังแสดงในรูปที่ 4.13

4.4.4 ระบบระบายอากาศ (Cooling Fan)

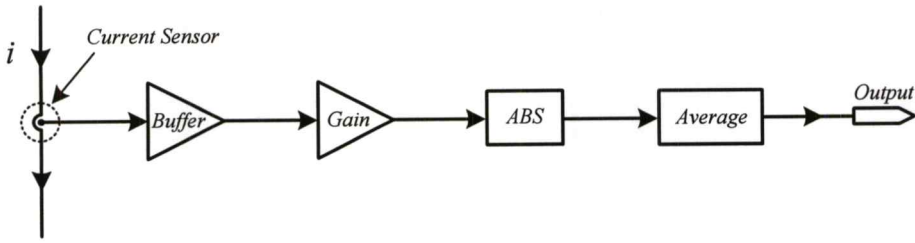
ทำหน้าที่ระบายความร้อนขณะทำงานอันเกิดมาจาก ความร้อนที่เกิดขึ้นจากการสูญเสียขดลวดเหนี่ยวนำของภาชนะ ความร้อนที่เกิดจากการสูญเสียของอุปกรณ์สวิตซ์กำลัง เช่น ไอจีบีที กำลัง และ ไดโอดกำลัง เป็นต้น และความร้อนที่เกิดขึ้นในส่วนอื่น ๆ ของวงจรที่คาดว่าจะเกิดขึ้น ซึ่งระบบระบายความร้อนถือว่าเป็นปัจจัยสำคัญต่อการทำงานของระบบ เป็นการป้องกันความเสียหาย หรือ ข้อผิดพลาดที่อาจเกิดขึ้นกับอุปกรณ์ขณะทำงานเมื่ออุณหภูมิสูงขึ้นได้ โดยระบบระบายอากาศดังกล่าวใช้พัดลมไฟฟ้ากระแสสลับ 220/240 V, 50/60 Hz, 0.125/0.11A เนื่องจากไม่จำเป็นต้องสร้างแหล่งจ่ายไฟเพิ่ม

4.5 การออกแบบและสร้างวงจรควบคุม

การออกแบบและสร้างวงจรควบคุมนั้นจะขึ้นอยู่กับเป้าหมายของการทำงานของเครื่องให้ เป็นไปตามต้องการ เช่น การสร้างสัญญาณควบคุม, มีระบบป้องกันต่าง ๆ หรือมีฟังก์ชันการทำงานอื่นตามความเหมาะสม ตามรูปที่ 4.1 ในงานวิจัยนี้วงจรควบคุมมีหน้าที่หลักคือ สร้างสัญญาณควบคุมวงจรกำลัง และตรวจสอบการทำงานของเครื่อง จะเห็นได้ว่าจะประกอบด้วย ส่วนของวงจรช่วย ซึ่งทำหน้าที่ตรวจจับสัญญาณกระแส, แรงดัน หรือ อุณหภูมิแล้วปรับแต่งสัญญาณให้มีค่าเหมาะสม และส่งให้ไมโครคอนโทรลเลอร์ประมวลผลต่อไป นอกจากนี้ยังมีส่วนของวงจรที่รับค่าต่าง ๆ จากผู้ใช้งานแสดงผล และวงจรขับไอจีบีที เป็นต้น โดยสามารถแยกพิจารณาการออกแบบและสร้างได้เป็นส่วนต่าง ๆ ดังนี้

4.5.1 การออกแบบและสร้างวงจรตรวจจับกระแสอินพุต (Input Current)

วงจรส่วนนี้ทำหน้าที่ตรวจจับกระแสอินพุต เพื่อนำกระแสจริงที่ได้ส่งต่อให้ไมโครคอนโทรลเลอร์ประมวลผลต่อไป โดยสัญญาณกระแสนี้จะป้อนกลับไปสำหรับการสร้างระบบป้องกันกระแสอินพุตมากเกินไป ดังแสดงบล็อกไดอะแกรมตามรูปที่ 4.14

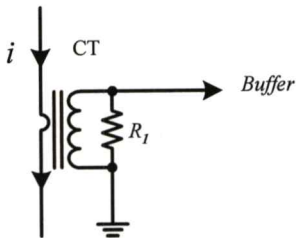


รูปที่ 4.13 บล็อกไดอะแกรมวงจรตรวจจับกระแสอินพุท

จากบล็อกไดอะแกรมวงจรตรวจจับกระแสตามรูปที่ 4.13 ประกอบไปด้วย

4.5.1.1 อุปกรณ์ตรวจจับกระแส (Current Sensor)

ได้ใช้ CT (Current Transformer) เป็นตัวตรวจจับกระแส ซึ่งเป็นผลิตภัณฑ์ของ Parallax Power Component รุ่น CSE187-L สามารถตรวจจับกระแสไฟสลับได้ตั้งแต่ 0.1-30A ที่ย่านความถี่ทำงาน 50-400 Hz ตามคู่มือใช้งานจะต่อความต้านทานขนานทางด้านทุติยภูมิขนาด $60\ \Omega$ (R_1) ซึ่งจะได้อัตราส่วนของแรงดันเป็น 110 mV/A



(ก) วงจรการต่อใช้งาน

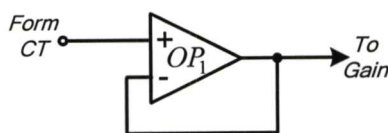


(ข) รูปร่างของ CT รุ่น CSE187-L

รูปที่ 4.14 อุปกรณ์ตรวจจับกระแสอินพุทที่ใช้

4.5.1.2 วงจรบัฟเฟอร์ (Buffer)

ทำหน้าที่ป้องกันการลดลงของสัญญาณที่มาจากอุปกรณ์ตรวจจับก่อนที่จะเข้าวงจรในส่วนต่าง ๆ ต่อไป (ซึ่งได้ใช้ออปแอมป์เบอร์ TL084 ออกแบบ และในส่วนของการออกแบบต่อไปจะใช้ตัวย่อ OP) วงจรบัฟเฟอร์ที่ใช้ต่อเป็นวงจรตามแรงดัน (Voltage Follower) ดังแสดงในรูปที่ 4.16

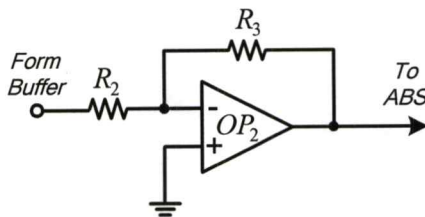


รูปที่ 4.15 วงจรการต่อบัฟเฟอร์

4.5.1.3 วงจรเพิ่มอัตราขยาย (Gain)

รูปที่ 4.17 วงจรเพิ่มอัตราขยายเนื่องจากอัตราส่วนของสัญญาณกระแสที่มาจากอุปกรณ์ตรวจจับมีค่าน้อยมาก ทำให้ขณะเครื่องทำงานที่กระแสนินพุตต่ำอาจจะทำให้เกิดการคำนวณผิดพลาดได้ ดังนั้นจึงต้องเพิ่มขนาดกระแสให้มีค่าเหมาะสมในที่นี้ได้ใช้วงจรขยายแบบกลับเฟส (Inverting Amplifier) เนื่องจากเป็นวงจรที่ง่ายและไม่ได้คำนึงถึงเฟสที่ได้ทางด้านเอาต์พุต โดยที่อัตราขยายแรงดันดังสมการที่ (4.3)

$$\frac{V_o}{V_i} = A_v = \frac{R_3}{R_2} \quad (4.3)$$

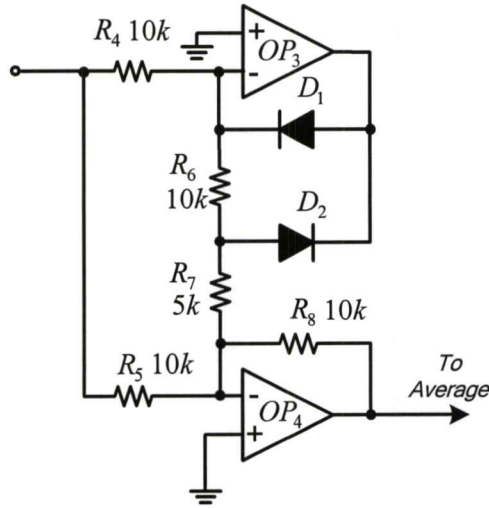


รูปที่ 4.16 วงจรเพิ่มอัตราขยาย

ในส่วนของวงจรตรวจจับกระแสนินพุตนี้ได้กำหนดค่าอัตราขยายแรงดันไว้เท่ากับ 4.55 เท่า ก็จะได้สัญญาณกระแสที่เหมาะสมและเพียงพอกับการคำนวณให้ถูกต้องแล้ว ดังนั้นจะได้ $R_3 = 10 \text{ k}\Omega$ และ $R_2 = 2.2 \text{ k}\Omega$

4.5.1.4 วงจรหาค่าขนาด(Absolute)

วงจรหาค่าขนาด (Absolute) เนื่องจากสัญญาณกระแสเป็นสัญญาณไฟฟ้ากระแสสลับซึ่งไม่สามารถนำไปป้อนให้ไมโครคอนโทรลเลอร์ได้ เพราะฉะนั้นจำเป็นต้องทำให้เป็นไฟฟ้ากระแสตรงโดยนำสัญญาณที่ได้มาผ่านวงจรหาค่าขนาด จากรูปวงจรจะประกอบด้วยความต้านทาน ($R_4 - R_8$), ไดโอด (D_1, D_2) และออปแอมป์ (OP_3, OP_4) ซึ่งตามหลักการทำงานวงจรนี้คือวงจรเรียงกระแสแบบเต็มคลื่นสัญญาณขนาดเล็ก (Precision Rectifier)



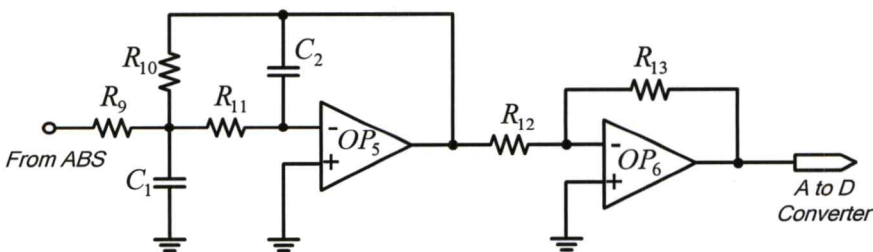
รูปที่ 4.17 วงจรเรียงกระแสแบบเต็มคลื่นสัญญาณขนาดเล็ก

4.5.1.5 วงจรหาค่าเฉลี่ย (Average)

สัญญาณที่ได้จากวงจรถ่ายค่าขนาดจะเห็นว่ามีการกระเพื่อม (Ripple) ซึ่งเมื่อนำสัญญาณนี้ไปป้อนให้กับไมโครคอนโทรลเลอร์อาจทำให้เกิดการคำนวณผิดพลาดได้ ดังนั้นจึงต้องทำให้การกระเพื่อมของสัญญาณลดน้อยลง ในที่นี้ได้ใช้วงจรถ่ายค่าเฉลี่ย ตามรูปที่ 4.19 วงจรนี้ประกอบด้วย ความต้านทาน ($R_9 - R_{13}$), ตัวเก็บประจุ (C_1, C_2) และออปแอมป์ (OP_5, OP_6) ซึ่งตามลักษณะวงจรก็คือ วงจรกรองความถี่ต่ำผ่าน (Low Pass Filter) ชนิดบัตเตอร์เวิร์ท (Butterworth) แบบ 2 ชั้น เป็นวงจรที่ง่าย มีคุณภาพการกรองที่ดีพอสมควรและมีอัตราการขยายสัญญาณสูง จากรูปที่ 4.19 สามารถหาค่าพารามิเตอร์ต่างๆของวงจรได้ดังนี้

ฟังก์ชันถ่ายโอน (Transfer Function) ของวงจรมีค่าเท่ากับ

$$A(s) = \left[-\frac{(R_{10}/R_9)}{1 + \omega_c C_2 \left(R_{10} + R_{11} + \frac{(R_{10}) \cdot (R_{11})}{R_9} \right) s + \omega_c^2 \cdot (C_1) \cdot (C_2) \cdot (R_{10}) \cdot (R_{11}) \cdot s^2} \right] \cdot \left[-\frac{R_{13}}{R_{12}} \right] \quad (4.4)$$



รูปที่ 4.18 วงจรหาค่าเฉลี่ย

จากสมการที่ (4.4) ถ้ากำหนดให้

$$A_0 = -\frac{R_{10}}{R_9} \quad (4.5)$$

$$A_1 = -\frac{R_{13}}{R_{12}} \quad (4.6)$$

$$a_1 = \omega_c C_2 \left(R_{10} + R_{11} + \frac{(R_{10}) \cdot (R_{11})}{R_9} \right) \quad (4.7)$$

$$b_1 = \omega_c^2 (C_1) \cdot (C_2) \cdot (R_{10}) \cdot (R_{11}) \quad (4.8)$$

$$\omega_c = 2\pi f_c \quad (4.9)$$

เมื่อ f_c คือค่าความถี่คัทออฟ (Cutoff) ซึ่งเป็นความถี่ที่บอกลถึงจุดกั้นไม่ให้สัญญาณที่มีความถี่สูงกว่าความถี่นี้ผ่านได้

ถ้ากำหนดค่า C_1 และ C_2 เราสามารถหาค่า $R_9 - R_{13}$ ได้คือ

$$C_1 \geq C_2 \frac{4b_1(1-A_0)}{a_1^2} \quad (4.10)$$

$$R_{10} = \frac{a_1 C_1 - \sqrt{a_1^2 C_1^2 - 4b_1 (C_1) \cdot (C_2) \cdot (1-A_0)}}{4\pi f_c C_1 C_2} \quad (4.11)$$

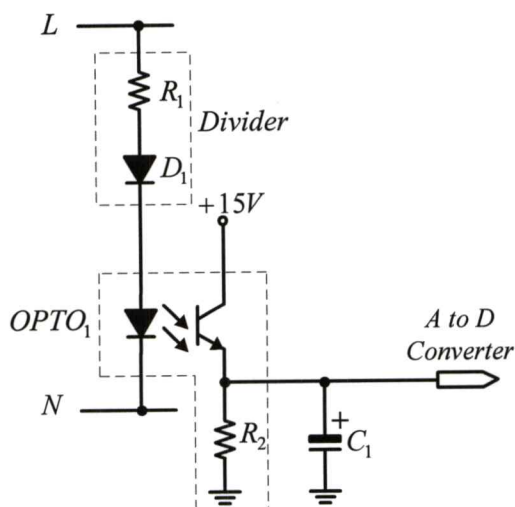
$$R_9 = \frac{R_{10}}{-A_0} \quad (4.12)$$

$$R_{11} = \frac{b_1}{4\pi^2 f_c^2 (C_1) \cdot (C_2) \cdot (R_{10})} \quad (4.13)$$

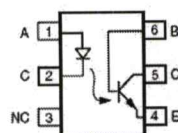
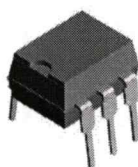
ในงานวิจัยนี้เราสามารถหาค่าต่างๆ เมื่อกำหนดให้ $A_0 = A_1 = -1$, $f_c = 15\text{Hz}$, $C_1 = 220\text{nF}$, $C_2 = 47\text{nF}$ และ $R_9 = 100\text{k}\Omega$ จากสมการที่ (4.11)–(4.13) หาค่าความต้านทานทั้งหมดจะได้ค่า $R_{10} = 100\text{k}\Omega$, $R_{11} = 110\text{k}\Omega$, $R_{12} = 10\text{k}\Omega$ และ $R_{13} = 10\text{k}\Omega$

4.5.2 การออกแบบและสร้างวงจรตรวจจับแรงดันอินพุท (Input Voltage)

วงจรส่วนนี้ทำหน้าที่ตรวจจับแรงดันอินพุทที่เป็นแรงดันไฟฟ้ากระแสสลับ เพื่อนำแรงดันจริงที่ได้ส่งต่อให้ไมโครคอนโทรลเลอร์ประมวลผลสำหรับการสร้างระบบป้องกันแรงดันอินพุทสูงหรือต่ำเกิน (สูงกว่า $220+10\% V_{peak}$ และต่ำกว่า $220-10\% V_{peak}$) ดังแสดงวงจรใช้งานจริงตามรูปที่ 4.20 วงจรตรวจจับแรงดันอินพุทประกอบด้วย



(ก) วงจรใช้งานจริง



(ข) รูปร่างออปโต

รูปที่ 4.19 วงจรตรวจจับแรงดันอินพุท

วงจรแยกส่วนสัญญาณ (Isolate) ทำหน้าที่แยกส่วนระหว่างส่วนวงจรกำลังและวงจรควบคุมหรือแยกส่วนระหว่างแรงดันสูงกับแรงดันต่ำออกจากกัน เพื่อป้องกันการลัดวงจร หรือสัญญาณรบกวนต่าง ๆ ที่อาจจะทำให้วงจรควบคุมทำงานผิดพลาดไปในที่นี้วงจรแยกส่วนได้ออปโต ซึ่งอาศัยหลักการแยกส่วนโดยใช้แสง เนื่องจากวงจรมีขนาดเล็ก และมีการทำงานที่ไม่ยุ่งยาก ซับซ้อนมากนัก ซึ่งวงจรประกอบด้วยออปโต ($OPTO_1$) และตัวต้านทาน R_2 ในที่นี้เลือกใช้ออปโตเบอร์ 4N25

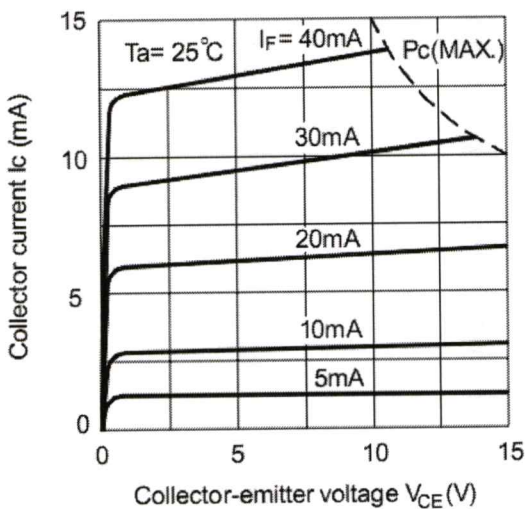
วงจรลดแรงดัน (Voltage Divider) ทำหน้าที่ลดแรงดันสูง (โดยปกติ 220V) ให้เป็นแรงดันต่ำ (R_1) และกำจัดสัญญาณช็กลบออก (D_1) ก่อนป้อนเข้าออปโตเพื่อจะไม่ทำให้เกิดความเสียหายกับออปโตได้

การออกแบบวงจรแยกส่วนสัญญาณ และวงจรลดแรงดันจะมีความสอดคล้องกัน โดยใช้กราฟความสัมพันธ์ระหว่างกระแส I_c, I_f และ V_{CE} ของข้อมูลออปโตดังรูปที่ 4.21 จากคู่มือการใช้งานกระแสและคุณสมบัติต่างๆจะเป็นเชิงเส้นเมื่ออุณหภูมิอยู่ในช่วง $25^\circ\text{C} - 50^\circ\text{C}$

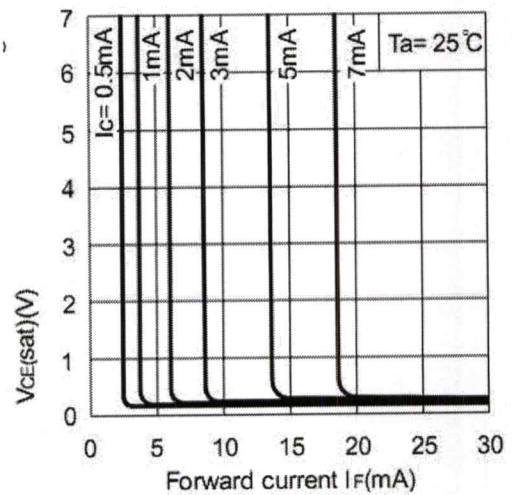
$$R_1 = \frac{\sqrt{2} \cdot (V_{rms} + 10\%)}{I_f} \quad (4.14)$$

จากสมการที่ (4.14) เมื่อกำหนดให้ $I_f = 10 \text{ mA}$ จะได้ $R_1 = 34.2 \text{ k}\Omega$ เลือก $R_1 = 30 \text{ k}\Omega$ นำค่า R_1 ไปคำนวณค่า I_f ใหม่ได้ 11.4 mA นำค่าที่ได้ไปหาค่ากระแส I_c จากกราฟจะได้ประมาณ 3.3 mA ทางด้านเอาต์พุตของออปโตไดโอดเมื่อกำหนดให้ R_2 มีค่าเท่ากับ $1 \text{ k}\Omega$ จะได้แรงดันเอาต์พุตสูงสุดประมาณ 3.3 V ซึ่งเป็นค่าที่มากพอสำหรับการป้อนให้ไมโครคอนโทรลเลอร์คำนวณแล้วมีความผิดพลาดน้อยที่สุด

วงจรกรอง (Filter) ทำหน้ากรองแรงดันเอาต์พุตที่ออกจากออปโตไดโอดให้เรียบ เนื่องจากรูปคลื่นที่ได้ทางด้านเอาต์พุตของออปโตไดโอดมีลักษณะเหมือนกับวงจรเรียงกระแสแบบครึ่งคลื่น ดังนั้นจะมีการกระเพื่อมของแรงดันเกิดขึ้น ส่งผลทำให้การคำนวณผิดพลาดได้ โดยใช้ตัวเก็บประจุ (C_1) เป็นตัวกรอง



(ก) ความสัมพันธ์ระหว่าง I_c และ V_{CE}

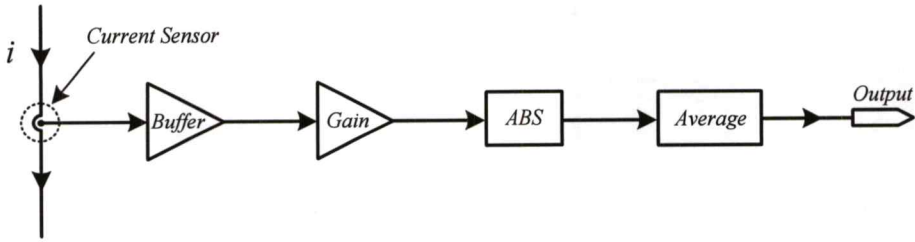


(ข) ความสัมพันธ์ระหว่าง I_f และ $V_{CE(sat)}$

รูปที่ 4.20 กราฟความสัมพันธ์ระหว่างกระแส I_c , I_f และ V_{ce} ของออปโตไดโอด

4.5.3 การออกแบบและสร้างวงจรตรวจจับกระแสเอาต์พุต

วงจรส่วนนี้ทำหน้าที่ตรวจจับกระแสเอาต์พุต เพื่อนำกระแสจริงที่ได้ส่งต่อให้ไมโครคอนโทรลเลอร์ประมวลผลต่อไป โดยสัญญาณกระแสนี้จะป้อนกลับไปสำหรับการสร้างระบบป้องกันกระแสเอาต์พุตมากเกินไป (สูงกว่า $60 A_{peak}$) และระบบควบคุมกำลังงานเอาต์พุต ดังแสดงบล็อกไดอะแกรมตามรูปที่ 4.22



รูปที่ 4.21 บล็อกโคอะแกรมวงจรตรวจจับกระแสเอาต์พุต

วงจรตรวจจับกระแสเอาต์พุตตามรูปที่ 4.22 โครงสร้างวงจรจะเหมือนกับวงจรจับกระแสอินพุต ซึ่งประกอบด้วยอุปกรณ์ตรวจจับกระแสแบบความถี่สูง, วงจรบัฟเฟอร์, วงจรเพิ่มอัตราขยาย, วงจรหาค่าขนาด และวงจรหาค่าเฉลี่ย โดยจะแตกต่างกันที่ชนิดของอุปกรณ์ตรวจจับกระแสและค่าของตัวอุปกรณ์ในวงจรต่าง ๆ เนื่องจากมีค่าความถี่สวิตซ์ที่ 20 kHz และกระแสสูงกว่าซึ่งสามารถหาค่าต่างๆและเลือกอุปกรณ์เพื่อใช้งานได้ตามที่ได้กล่าวมาแล้ว

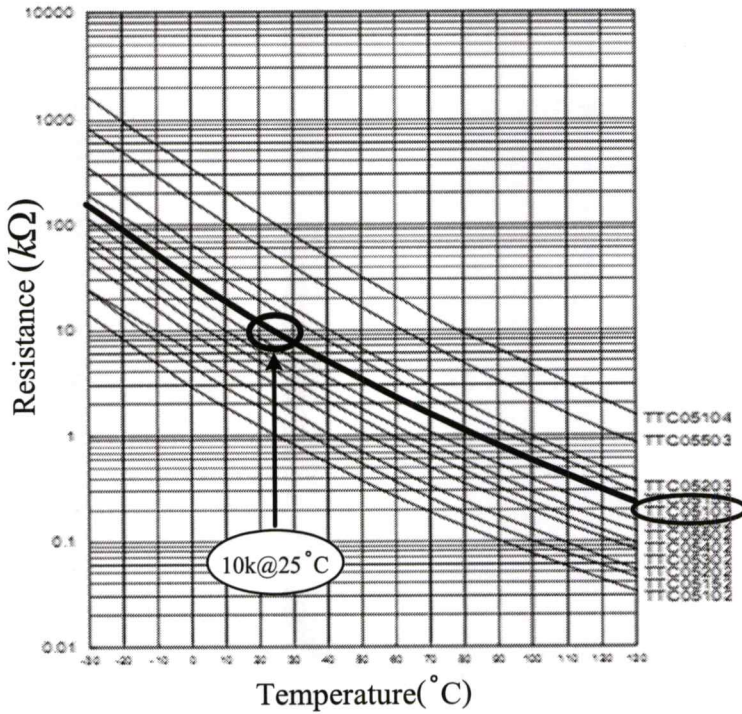
4.5.4 การออกแบบและสร้างวงจรตรวจจับอุณหภูมิ

ในงานวิจัยนี้ได้ออกแบบใช้เทอร์มิสเตอร์ (Thermistor) เบอร์ TTC05103 เป็นความต้านทานเปลี่ยนค่าได้ตามอุณหภูมิแบบลบ คือเมื่ออุณหภูมิเพิ่มขึ้นความต้านทานจะลดลงลักษณะการใช้งานจะนำตัวถังไปแนบกับตัวอุปกรณ์กำเนิดความร้อนซึ่งค่าที่กำหนดมาจะเป็นค่าความต้านทานที่อุณหภูมิ 25 °C เป็นส่วนใหญ่ในที่นี้ได้เลือกเทอร์มิสเตอร์ขนาด 10kΩ @ 25 °C มาใช้ การออกแบบจะใช้ข้อมูลความสัมพันธ์ระหว่างค่าความต้านทานกับอุณหภูมิที่ผู้ผลิตได้ตรวจสอบไว้ตามรูปที่รูปที่ 4.23

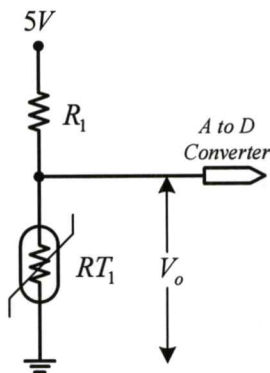
วงจรส่วนนี้ทำหน้าที่ตรวจจับอุณหภูมิซึ่งแบ่งออกเป็น 2 ส่วน คือ

1. ตรวจจับอุณหภูมิที่แผ่นระบายความร้อน
2. ตรวจจับอุณหภูมิที่ขดลวดเหนี่ยวนำของภาชนะ

โดยนำอุณหภูมิจริงที่ได้ส่งต่อให้ไมโครคอนโทรลเลอร์ประมวลผลต่อไป โดยสัญญาณอุณหภูมินี้จะป้อนกลับไปสำหรับการสร้างระบบป้องกันอุณหภูมิมากเกินไป ดังแสดงวงจรใช้งานจริงตามรูปที่ 4.24



รูปที่ 4.22 ความสัมพันธ์ระหว่างค่าความต้านทานกับอุณหภูมิ



รูปที่ 4.23 วงจรตรวจจับอุณหภูมิด้วยเทอร์มิสเตอร์

ตามรูปที่ 4.24 โครงสร้างของวงจรเป็นวงจรแบ่งแรงดัน หลักการทำงานของวงจร คือ เมื่ออุณหภูมิจุดที่ตรวจจับเปลี่ยนแปลงจะทำให้เทอร์มิสเตอร์เปลี่ยนค่าความต้านทานไป ดังนั้นจึงทำให้สัญญาณแรงดันเอาท์พุทเปลี่ยนแปลงไปตามค่าของเทอร์มิสเตอร์ด้วย ตามสมการที่ (4.15)

$$V_o = \frac{5(RT_1)}{R_1 + RT_1} \quad (4.15)$$

ในงานวิจัยนี้ได้กำหนดค่าอุณหภูมิป้องกันที่อุปกรณ์ต่าง ๆ ดังนี้

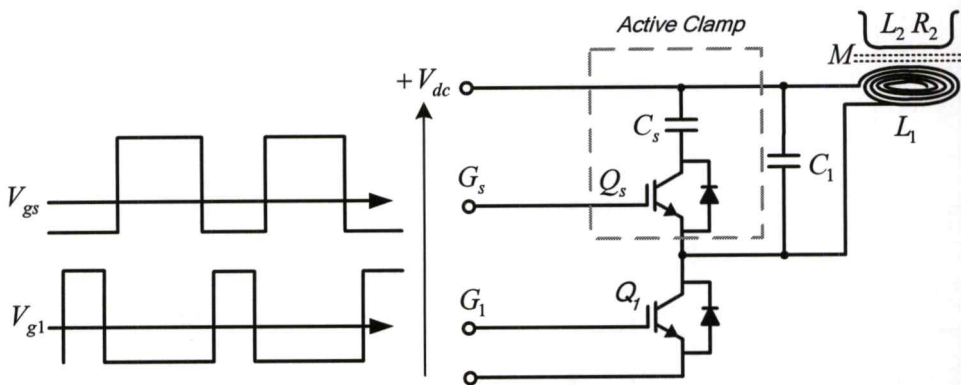
1. แผ่นระบายความร้อน 65°C

2. ขดลวดเหนี่ยวนำของภาชนะหุงต้ม 100°C

ค่าอุณหภูมิที่กำหนดขึ้นมานี้เป็นอุณหภูมิสูงสุดสำหรับอุปกรณ์นั้น ๆ สามารถทำงานได้ ซึ่งพิจารณาจากข้อมูลที่ทางผู้ผลิตออกแบบมา, การระบายความร้อน และอื่น ๆ ประกอบกัน

4.5.5 การออกแบบและสร้างวงจรขับไอจีบีที

วงจรถับทำหน้าที่แยกกราวด์ระหว่างวงจรถวลและวงจรถักพลังงาน นอกจากนี้แยกกราวด์ระหว่างอุปกรณ์สวิตช์ตัวบนและตัวล่างของวงจรถักอินเวอร์เตอร์ออกจากกัน เพื่อป้องกันการลัดวงจรระหว่างตัวอุปกรณ์สวิตช์ทั้ง 2 และขยายขนาดแรงดันและกระแสให้มีค่าเพียงพอกับความต้องการของไอจีบีทีที่สามารถทำงาน โดยไม่มีข้อผิดพลาดเกิดขึ้น แสดงลักษณะพื้นฐานของการขับไอจีบีทีแต่ละตัวในงานวิจัยนี้ตามรูปที่ 4.25



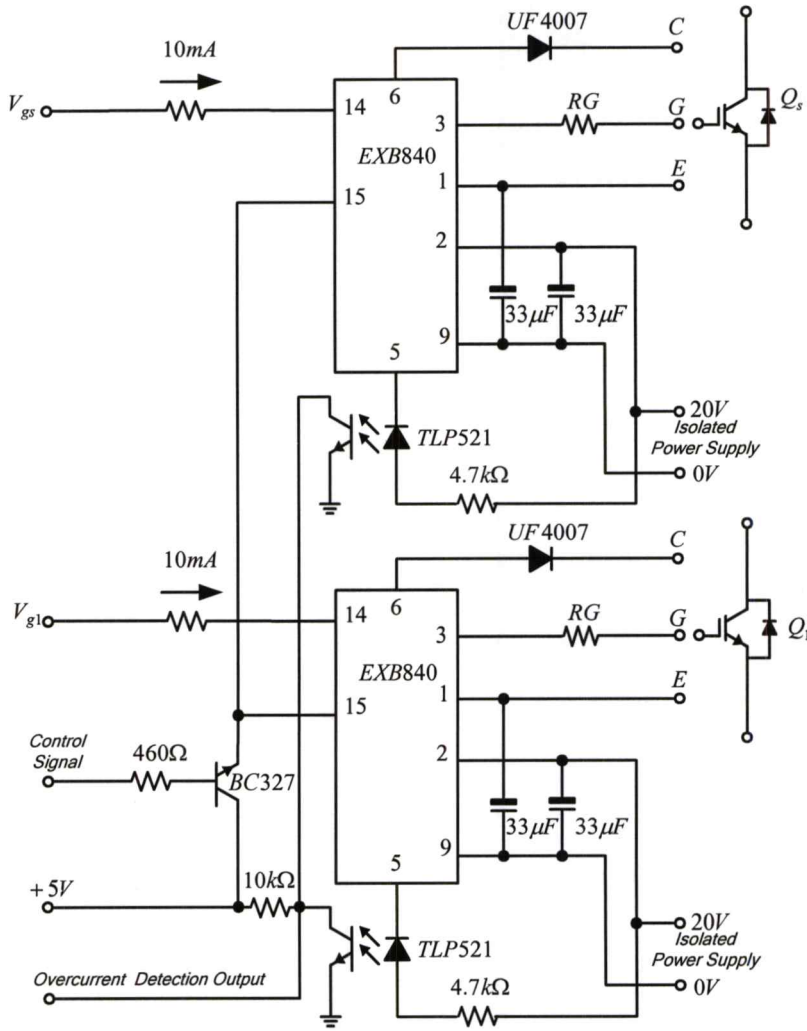
รูปที่ 4.24 สัญญาณ PWM ขับเกตไอจีบีที Q_s และ Q_1

วงจรถับไอจีบีทีดังรูปที่ 4.25 มีส่วนประกอบหลักดังนี้

วงจรถักสัญญาณและขับไอจีบีที เนื่องจากวงจรถักอินเวอร์เตอร์ที่ใช้ในงานวิจัยนี้เป็นแบบชนิดแหล่งจ่ายแรงดัน ซึ่งข้อเสียอย่างหนึ่งที่เกิดขึ้นกับวงจรถักอินเวอร์เตอร์แบบนี้ คือขณะทำงานอาจจะเกิดเหตุการณ์ลัดวงจรระหว่างไอจีบีที Q_s และ Q_1 ทำให้ไอจีบีทีมีความเสียหายได้ ผลที่เกิดขึ้นดังกล่าวส่วนใหญ่มักจะมีสาเหตุมาจากวงจรถักไอจีบีทีที่ไม่มีเสถียรภาพ ไม่มีระบบวงจรถักหรือวงจรถักยุ่งยากเกินไป มีขนาดใหญ่ ทำให้เกิดสัญญาณรบกวนได้ง่าย ดังนั้นในงานวิจัยนี้ได้เลือกใช้ไอซีเบอร์ EXB840 ซึ่งภายในไอซีตัวนี้จะรวมวงจรถักสัญญาณและขับไอจีบีทีเข้าด้วยกัน จึงทำให้ไม่ต้องมีวงจรถักภายนอกเข้ามาเพิ่มเติม นอกจากนี้คุณสมบัติการทำงานอื่น ๆ ประกอบด้วย

1. สามารถขับไอจีบีทีได้พิกัดสูงสุดที่ $150\text{A}@600\text{V}$ และ $75\text{A}@1200\text{V}$
2. ช่วงหน่วงเวลาการทำงาน $1\ \mu\text{sec}$ ที่ความถี่ 40kHz

3. มีวงจรตรวจจับป้องกันกระแสเกินที่เอาท์พุท



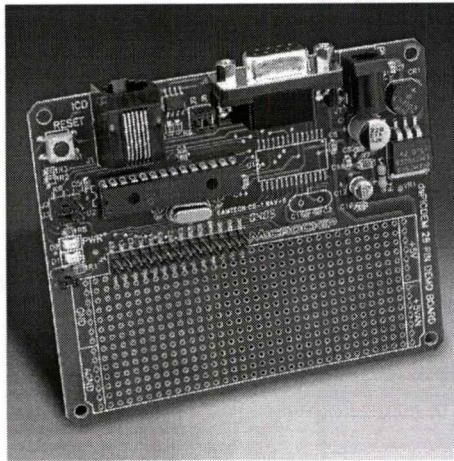
รูปที่ 4.25 วงจรจับเกทไอจีบีที Q_s และ Q_1

ตามรูปที่ 4.26 สัญญาณ V_{gs} , V_{g1} เป็น PWM เข้าที่ขา 14 ของ EXB840 แต่ละตัวโดยมีสัญญาณ Control Signal เป็นสัญญาณที่ออกมาจากไมโครคอนโทรลเลอร์จับทรานซิสเตอร์ BC327 ซึ่งเป็นสัญญาณป้องกันในกรณีไมโครคอนโทรลเลอร์เริ่มต้นทำงานเพราะฉะนั้นไอซีจะมีสัญญาณผ่านไปจับไอจีบีทีได้นั้นที่ขา 15 จะต้องมีสัญญาณควบคุมเป็น Low ป้อนที่ BC327 เมื่อไอจีบีทีทำงานผิดปกติจะทำให้ TLP521 นำกระแสเปลี่ยนลอจิก High เป็น Low ที่ขาสัญญาณ Overcurrent Detection Output ซึ่งถูกตรวจสอบโดยไมโครคอนโทรลเลอร์ วงจรตรวจจับกระแสเสถียรจะใช้การตรวจจับกระแสแบบทางอ้อมโดยอาศัยหลักการการทำงานของไอจีบีทีที่กล่าว คือขณะที่ไอจีบีทีทำงานจะมีกระแสไหลผ่านทำให้มีแรงดันตกคร่อม (V_{CE}) เมื่อกระแสไหลเพิ่มขึ้นแรงดันก็จะ

เพิ่มขึ้นด้วยจนเป็นแรงดันสูงสุด $V_{CE(sat)}$ ที่ไอจีบีทีสามารถทนได้ แรงดันที่ตรวจจับมาได้นี้จะถูกนำมาเปรียบเทียบกับแรงดันอ้างอิงภายใน(สามารถศึกษาการใช้งานได้ ตามข้อมูลการใช้งานของไอซี)

4.6 การออกแบบไมโครคอนโทรลเลอร์และการควบคุม

ในงานวิจัยได้เลือกใช้ไมโครคอนโทรลเลอร์เบอร์ dsPIC30F1010 และชุดพัฒนาของบริษัท Microchip รุ่น dsPICDEM 28PIN รายละเอียดสามารถหาข้อมูลเพิ่มเติมได้จาก www.microchip.com

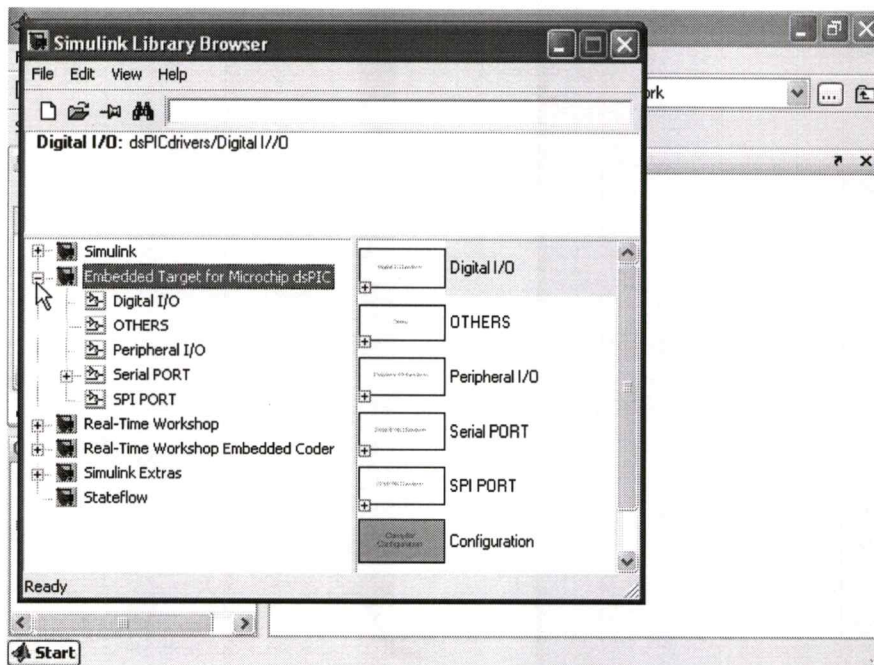


รูปที่ 4.26 ชุดพัฒนาไมโครคอนโทรลเลอร์dsPIC

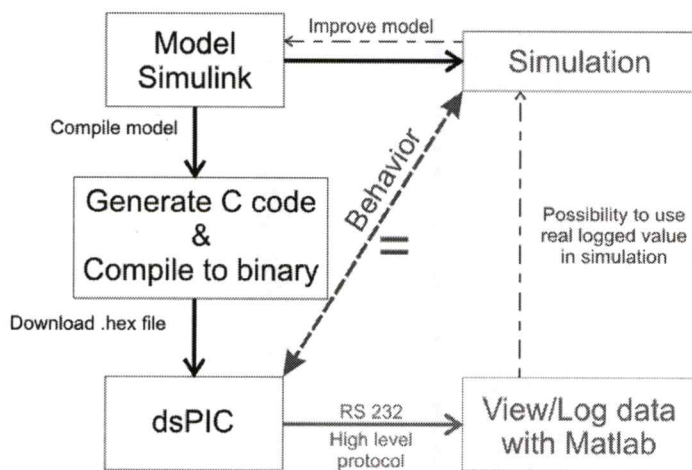
การควบคุมวงจรของอินเวอร์เตอร์ด้วยโปรแกรมสำเร็จรูป Matlab & simulink model ของไมโครคอนโทรลเลอร์ตระกูล dsPIC จะต้องใช้โปรแกรมหาดังนี้

1. โปรแกรม Matlab2006a หรือเวอร์ชันสูงกว่า
 2. โปรแกรม MPLAB C30 V 2.5 หรือสูงกว่า
 3. Embedded Target for dsPIC เวอร์ชันตรงกับ Matlab ที่ใช้งาน
- หลังจากติดตั้งจะสามารถใช้งานร่วมกับ Simulink Library อื่นๆได้

รูปที่ 4.27 เป็นหน้าต่างใช้งานที่ติดตั้งลงบน Simulink ซึ่งการออกแบบโปรแกรมมีขั้นตอนดังไดอะแกรมในรูปที่ 4.28 ซึ่งขั้นตอนเริ่มจากการเลือก Model Simulink ไมโครคอนโทรลเลอร์ที่จะใช้งานออกแบบวงจรจากนั้นจำลองการทำงานตรวจสอบว่าได้ค่าที่ต้องการหรือไม่ เพื่อการปรับปรุงตัวแปรต่างๆ หลังจากนั้นทำการแปลงเป็น .hex โปรแกรมลงไปยังตัวไมโครคอนโทรลเลอร์และนำไปควบคุมการทำงานของวงจรจริง



รูปที่ 4.27 Embedded Target for dsPIC ที่ติดตั้งลงบน Matlab Simulink



รูปที่ 4.28 โค้ดและการจำลองการทำงานและป้อนกลับเพื่อควบคุมอินเวอร์เตอร์

4.7 สรุป

ในบทนี้ได้กล่าวถึงวิธีการออกแบบและสร้างในส่วนของฮาร์ดแวร์หลักๆที่ใช้ในเตาหุงต้มเหนียวซึ่งประกอบด้วยวงจรกำลังและวงจรควบคุมบางส่วนที่ใช้งานร่วมกับไมโครคอนโทรลเลอร์เพื่อควบคุมการทำงานของอินเวอร์ติ่งเรโซแนนท์

บทที่ 5

การทดลองและผลการทดลอง

5.1 บทนำ

ในบทนี้เป็นการนำเครื่องต้นแบบของเตาหุงต้มเหนี่ยวนำที่สร้างขึ้นสำหรับงานวิจัย ทำการทดสอบกับภาชนะหุงต้มชนิด Stainless Steel 18 -10 ($\varnothing - 20$ cm.) หาค่าองค์ประกอบทางไฟฟ้าและความสัมพันธ์ต่างๆเพื่อปรับค่าการทำงานของวงจรให้เหมาะสม และสอดคล้องกับเงื่อนไขในการออกแบบซึ่งประกอบด้วย การทดสอบเพื่อหาระยะ Gap ที่เหมาะสมระหว่างขดลวดกับก้นภาชนะ การทดสอบเพื่อหาความสัมพันธ์ระหว่างเปอร์เซ็นต์วัตต์เฟลคเตอร์กับกำลังไฟฟ้าอินพุตและเอาต์พุต การทดสอบเพื่อหาความสัมพันธ์ระหว่างเปอร์เซ็นต์วัตต์เฟลคเตอร์กับขนาดพิกัดอุปกรณ์สวิตซ์ การทดสอบเพื่อหาค่าความสัมพันธ์ระหว่างเปอร์เซ็นต์วัตต์เฟลคเตอร์และค่าเวลาในการทำความร้อน การทดสอบเพื่อหาประสิทธิภาพทางไฟฟ้ารวม การทดสอบเพื่อหาประสิทธิภาพรวมของระบบ

เครื่องมือที่ใช้ในการทดสอบและบันทึกค่าองค์ประกอบทางไฟฟ้าในงานวิจัยประกอบด้วย

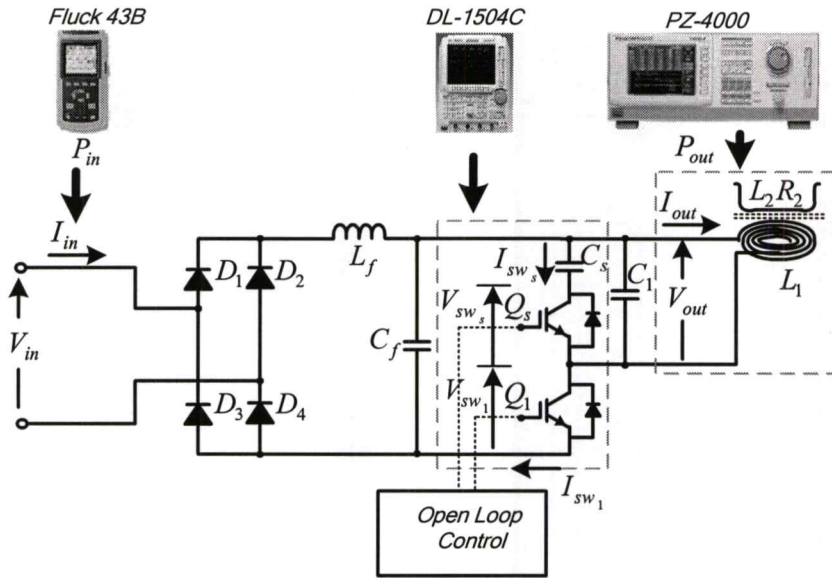
1. Digital Storage Scope ยี่ห้อ Yokogawa รุ่น DL-1504C
2. Power Analyzer ยี่ห้อ Yokogawa รุ่น PZ4000
3. Power Quality Analyzer ยี่ห้อ Fluke รุ่น 43B
4. Thermometer ยี่ห้อ Testo รุ่น Mini-Thermometer -50...+250°C

5.2 การทดสอบหาระยะ Gap ระหว่างขดลวดกับก้นภาชนะ

เป็นการทดสอบปรับระยะห่างระหว่างขดลวดกับก้นภาชนะตั้งแต่ 1-15 mm. เพื่อให้ได้กำลังไฟฟ้าเอาต์พุตและช่วงการควบคุมวัตต์เฟลคเตอร์ที่เหมาะสม ที่ความถี่สวิตซ์คงที่ 20 kHz และมีค่าตัวแปรการออกแบบดังนี้ $L_1 = 112 \mu H$, $C_1 = 173.9 nF$, $C_s = 3 \mu F$

วงจรทดสอบเป็นแบบ Open Loop Control โดยมีเงื่อนไขการทดสอบดังนี้

1. ขนาดพิกัดสูงสุดของการทำงานไอจีบีที Q_1 และ Q_s ไม่เกิน $60 A_{peak}$; $900 V_{peak}$
2. พิกัดกำลังไฟฟ้าเอาต์พุต 0.5-1.5 kW
4. ประสิทธิภาพทางไฟฟ้าไม่น้อยกว่า 95 %



รูปที่ 5.1 วงจรและเครื่องมือวัดสำหรับการทดสอบหาระยะ Gap

จากรูปที่ 5.1 การตรวจวัดได้ใช้ Digital Storage Scope รุ่น DL-1504C ตรวจวัดรูปคลื่นแรงดันและกระแสของสวิตช์ Q_1 และ Q_s , Power Quality Analyzer รุ่น 43B ตรวจวัดกำลังไฟฟ้าทางด้านอินพุท, Power Analyzer รุ่น PZ4000 ตรวจวัดกำลังไฟฟ้าทางด้านเอาต์พุทประสิทธิภาพทางไฟฟ้าหาได้จากสมการ (5.1)

$$\% \eta_{elec} = \frac{P_{in}}{P_{out}} \times 100 \quad (5.1)$$

โดยที่ $\% \eta_{elec}$ คือ ประสิทธิภาพทางไฟฟ้า

5.2.1 ตัวอย่างการทดสอบที่ระยะ Gap 10 mm.

รูปคลื่นแรงดันและกระแสของสวิตช์ Q_1 มีขนาดพิกัด $60 A_{peak}$ $780 V_{peak}$ ดังรูปที่ 5.2 (ก)

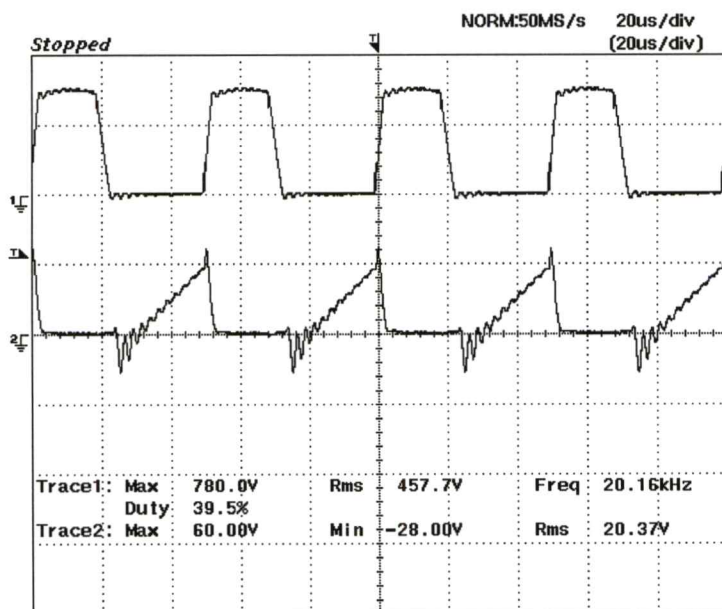
รูปคลื่นแรงดันและกระแสของสวิตช์ Q_s มีขนาดพิกัด $32 A_{peak}$ $800 V_{peak}$ ดังรูปที่ 5.2 (ข)

กำลังไฟฟ้าทางด้านอินพุทของเตาहुงต้มเหนียวน่า $1.55 kW$ ดังรูปที่ 5.2 (ค)

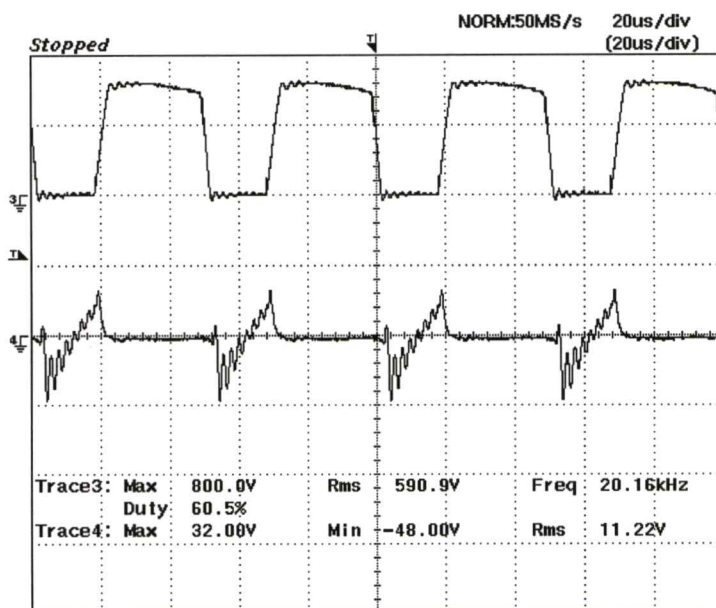
รูปคลื่นแรงดันและกระแสของขดลวดเหนียวน่า ดังรูปที่ 5.2 (ค)

กำลังไฟฟ้าทางด้านเอาต์พุทที่ขดลวดเหนียวน่า $1.49 kW$ ดังรูปที่ 5.2 (ง)

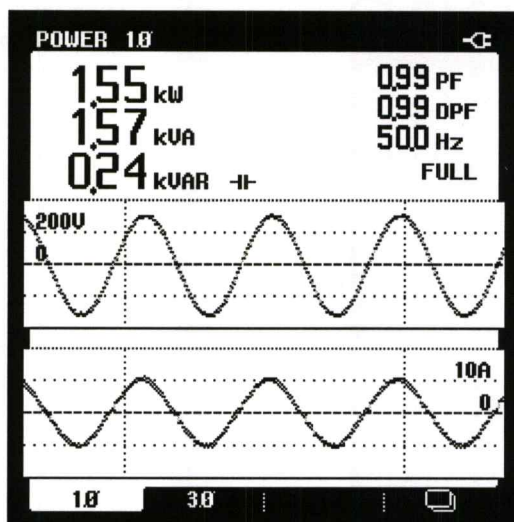
$$\begin{aligned} \text{ประสิทธิภาพทางไฟฟ้า} \quad \% \eta_{elec} &= \frac{1.49 kW}{1.55 kW} \times 100 \\ &= 96.12 \% \end{aligned}$$



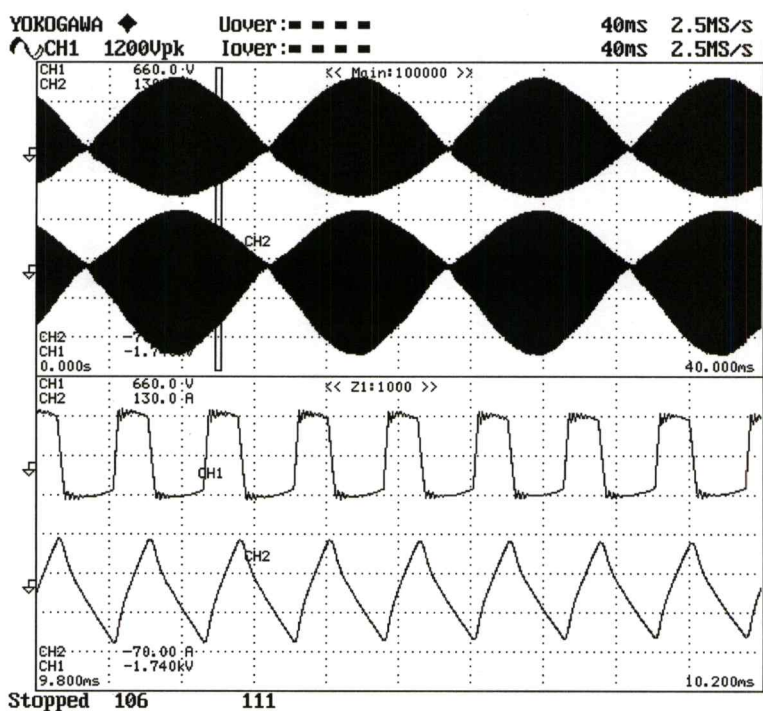
(ก) รูปคลื่นแรงดันและกระแสที่ Q_1
(500V/div, 50A/div, 20us/div)



(ข) รูปคลื่นแรงดันและกระแสที่ Q_2
(500V/div, 50A/div, 20us/div)



(ค) กำลังไฟฟ้าทางด้านอินพุทของเตาหุงต้มเหนี่ยวนำ



(ง) รูปคลื่นแรงดันและกระแสและภาพขยายบางส่วนที่ขดลวดเหนี่ยวนำ

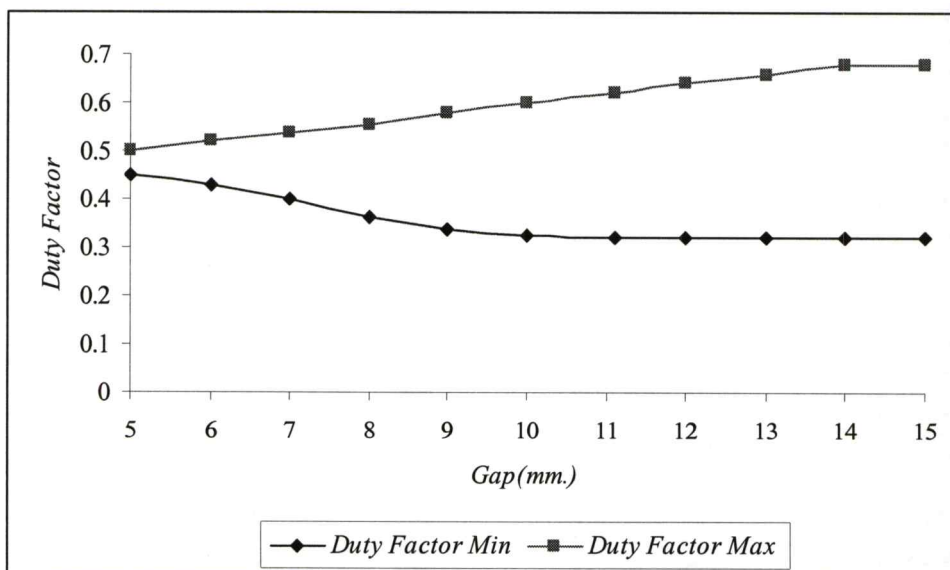
YOKOGAWA ◀ Uover : ■ ■ ■ ■ 40ms 2.5MS/s
 CH1 1200Upk Iover : ■ ■ ■ ■ 40ms 2.5MS/s

		Element1	Element2	Element3	Element4	Σ A
Urms [V]	I	0.2611k	0.0000k	0.0000k	0.0000k	0.2611k
Umn [V]	I	0.2483k	0.0000k	0.0000k	0.0000k	0.2483k
Udc [V]	I	-0.0007k	0.0005k	-0.0001k	-0.0004k	-0.0007k
Uac [V]	I	0.2611k	0.0000k	0.0000k	0.0000k	0.2611k
Irms [A]	I	19.74	0.00	0.000	0.000	19.74
Imn [A]	I	16.50	0.00	0.000	0.000	16.50
Idc [A]	I	-6.49	0.02	0.001	0.001	-6.49
Iac [A]	I	18.65	0.00	0.000	0.000	18.65
P [W]	I	1.49k	0.00k	-0.000k	-0.000k	1.49k
S [VA]	I	5.15k	0.00k	0.000k	0.000k	5.15k
Q [var]	I	4.93k	0.00k	0.000k	0.000k	4.93k
λ []	I	0.2895	Error	Error	Error	0.2895
φ [°]	IG	73.17	Error	Error	Error	73.17
fU [Hz]	I	18.551k	Error	Error	Error	-----
fI [Hz]	I	18.301k	Error	Error	Error	-----
U+pk [V]	I	0.5388k	0.0064k	0.0048k	0.0048k	-----
U-pk [V]	I	-0.3652k	-0.0044k	-0.0048k	-0.0048k	-----
I+pk [A]	I	35.74	0.26	0.023	0.028	-----
I-pk [A]	I	-56.54	-0.22	-0.025	-0.025	-----
CfU []	I	2.06	Error	Error	Error	-----
CfI []	I	2.86	Error	Error	Error	-----
FfU []	I	1.17	Error	Error	Error	-----
FfI []	I	1.33	Error	Error	Error	-----
Z [Ω]	I	13.223	Error	Error	Error	13.223
Rs [Ω]	I	3.8278	Error	Error	Error	3.8278

Stopped 106 111

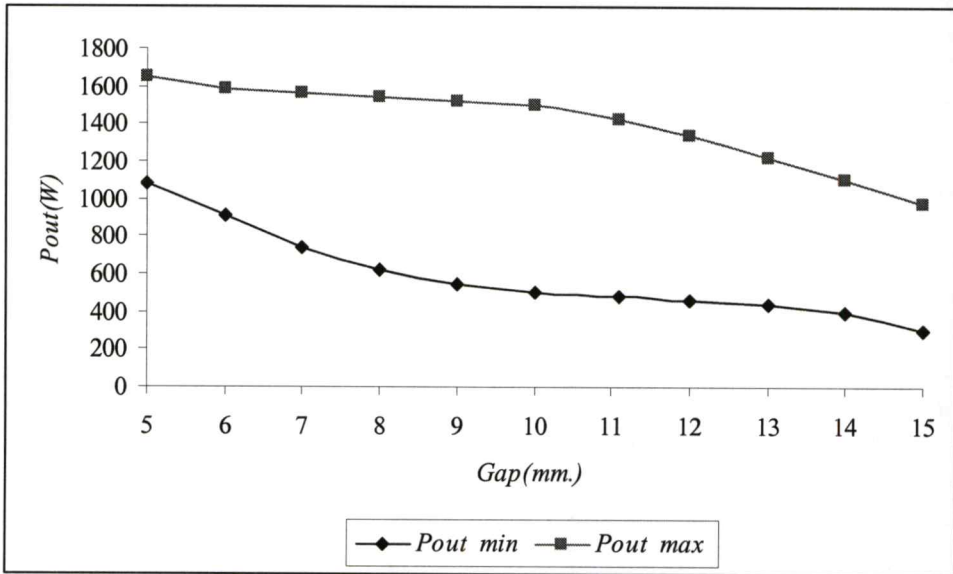
(จ) องค์ประกอบทางไฟฟ้าด้านเอาต์พุตที่ขดลวดเหนี่ยวนำ
 รูปที่ 5.2 การตรวจวัดและบันทึกผลที่ระยะ Gap 10 mm.

จากการทดสอบที่เงื่อนไขพิกัดของไอจีบีที่ Q_1 ไม่เกิน $60A_{peak}$; $900V_{peak}$ ที่ระยะ Gap เปลี่ยนแปลงสามารถเขียนกราฟความสัมพันธ์ต่างๆ ได้ดังรูปที่ 5.3 ช่วงของการสวิตช์ขณะแรงดันเป็นศูนย์ที่ควิต์แฟกเตอร์สูงสุดและต่ำสุดที่ระยะ Gap เปลี่ยนแปลงเขียนเป็นกราฟความสัมพันธ์ ดังรูปที่ 5.3 (ก)

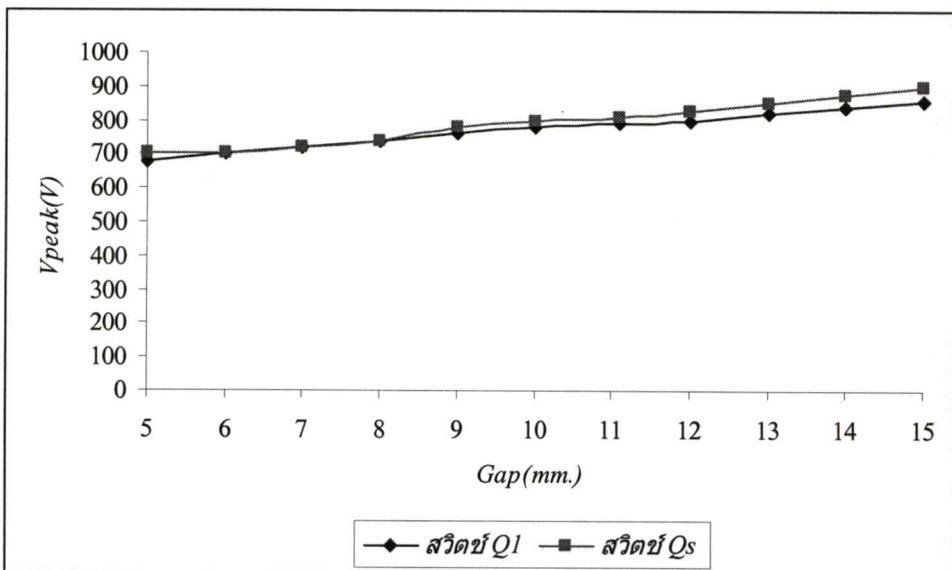


(ก) ความสัมพันธ์ระหว่าง Duty Factor กับระยะ Gap ที่ทำให้เกิดการสวิตช์แบบ ZVS

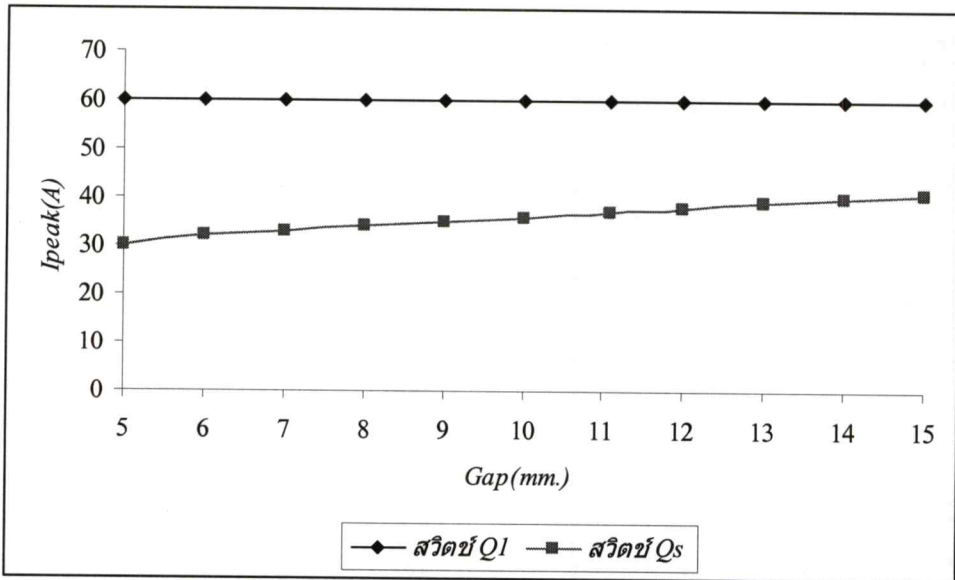
กำลังไฟฟ้าเอาต์พุตสูงสุดและต่ำสุดที่ระยะ Gap เปลี่ยนแปลงตลอดช่วงการควบคุมตัวที่ แพลเตอร์ที่ทำให้เกิดการสวิตช์ขณะแรงดันเป็นศูนย์ เขียนเป็นกราฟความสัมพันธ์ ดังรูปที่ 5.3 (ข) ขนาดพิกัดแรงดันและกระแสสูงสุดของสวิตช์ไอจีบีที Q_1 และ Q_s เขียนเป็นกราฟความสัมพันธ์ ดังรูปที่ 5.3 (ค), (ง) ตามลำดับ และประสิทธิภาพทางไฟฟ้าเมื่อระยะ Gap เปลี่ยนแปลง ดังรูปที่ 5.3 (จ)



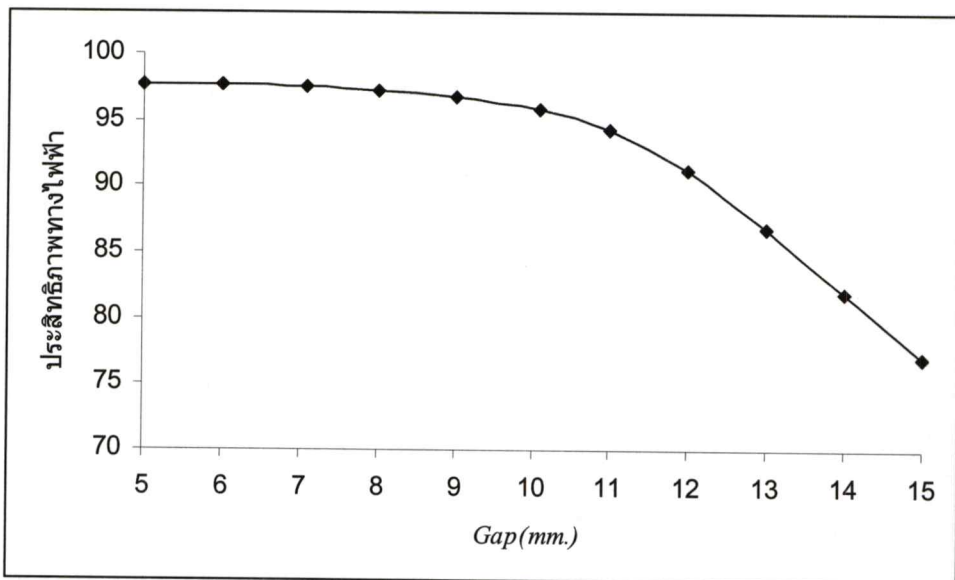
(ข) ความสัมพันธ์ระหว่างกำลังไฟฟ้าเอาต์พุตกับระยะ Gap



(ค) ความสัมพันธ์ระหว่างพิกัดแรงดันกับระยะ Gap



(ง) ความสัมพันธ์ระหว่างพิกัดกระแสกับระยะ Gap



(จ) ความสัมพันธ์ระหว่างประสิทธิภาพทางไฟฟ้ากับระยะ Gap

รูปที่ 5.3 กราฟความสัมพันธ์ทางไฟฟ้าเมื่อระยะ Gap เปลี่ยนแปลง

จากเงื่อนไขพิกัดของไอจีบีที Q_1 ไม่เกิน $60A_{peak}$; $900V_{peak}$ ผลการทดสอบจะเห็นได้ว่าที่ระยะ Gap น้อยๆจะให้กำลังไฟฟ้าทางด้านเอาต์พุตสูงและประสิทธิภาพทางไฟฟ้าสูงเนื่องจากค่าความต้านทานของภาชนะหุ้มตั้มีค่าลดลง (ตามความลึกของสนามแม่เหล็กเหนี่ยวนำที่เกี่ยวข้องกับภาชนะ) จึงทำให้ความหนาแน่นของกระแสเกิดที่ผิวของก้นภาชนะมากขึ้น แต่ช่วงของการ

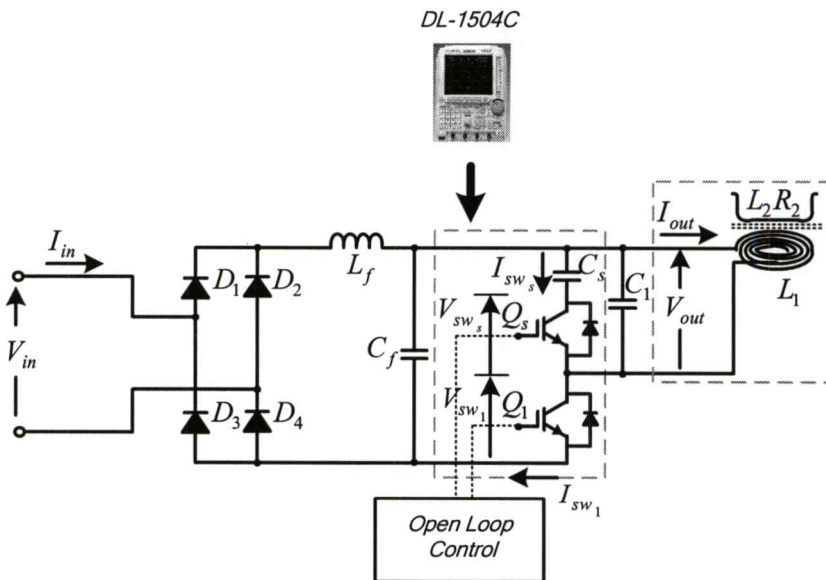
ควบคุมคิวดี้แฟลคเตอร์จะแคบลงเรื่อยๆจนไม่สามารถควบคุมกำลังไฟฟ้าเอาต์พุตที่ย่านต่ำๆได้ เช่นที่ระยะ Gap 5 mm. ประสิทธิภาพทางไฟฟ้าอยู่ที่ 97% ช่วงการควบคุมคิวดี้แฟลคเตอร์อยู่ระหว่าง 0.45-0.53 กำลังไฟฟ้าเอาต์พุตอยู่ระหว่าง 1.1-1.62kW อุณหภูมิที่ขดลวดเหนี่ยวนำจะค่อนข้างสูงเนื่องจากได้รับความร้อนที่ถ่ายเทมาจากภาชนะหุงต้ม

เมื่อเพิ่มระยะ Gap มากขึ้นกำลังไฟฟ้าทางด้านเอาต์พุต และประสิทธิภาพทางไฟฟ้าจะเริ่มลดลงเนื่องจากเส้นแรงแม่เหล็กที่ไปเกี่ยวคล้องกับกันภาชนะลดลงจะทำให้ความต้านทานสมมูลของวงจรมีค่ามากขึ้น ส่งผลให้ความหนาแน่นของกระแสเกิดที่ผิวของกันภาชนะลดลง แต่ช่วงของการควบคุมคิวดี้แฟลคเตอร์จะเพิ่มขึ้น ดังนั้นเพื่อให้ได้ย่านกำลังไฟฟ้าเอาต์พุตที่เหมาะสมและสอดคล้องกับเงื่อนไขการออกแบบ เตาหุงต้มเครื่องต้นแบบนี้ จึงปรับค่าระยะ Gap ระหว่างขดลวดเหนี่ยวนำกับกันภาชนะไว้ประมาณ 10 mm. ซึ่งเป็นค่าที่เหมาะสมกับกำลังงานเอาต์พุตที่ได้คือช่วง 0.5-1.5kW ประสิทธิภาพทางไฟฟ้า 96 % การควบคุมคิวดี้แฟลคเตอร์อยู่ระหว่าง 0.34 - 0.6 และมีช่วงว่างอากาศในการระบายความร้อนของขดลวดเหนี่ยวนำดีขึ้น

5.3 การทดสอบเพื่อตรวจสอบการทำงานของเครื่อง

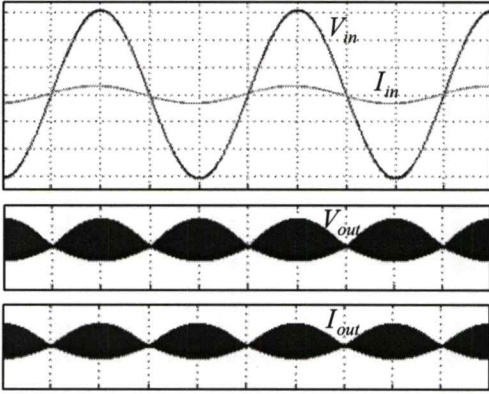
5.3.1 การตรวจสอบรูปคลื่นตามส่วนต่างๆ ของวงจร

การทดสอบนี้เป็นการตรวจสอบคุณสมบัติทางไฟฟ้าเมื่อคุณสมบัติของเครื่องเป็นไปตามที่ออกแบบไว้โดยจะตรวจสอบแรงดันและกระแสของสวิตช์ Q_1, Q_s รวมถึงรูปคลื่นด้านอินพุตและเอาต์พุตในช่วงคิวดี้แฟลคเตอร์ต่างๆ



รูปที่ 5.4 วงจรและเครื่องมือวัดสำหรับการตรวจสอบรูปคลื่น

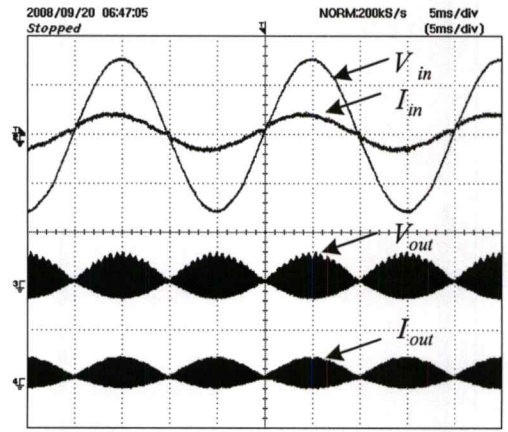
วงจรการทดสอบแสดงดังรูปที่ 5.4 โดยใช้ Digital Storage Scope รุ่น DL-1504C ตรวจสอบวัดรูปคลื่นแรงดันและกระแสในจุดต่างๆ ซึ่งได้แสดงตัวอย่างการตรวจสอบรูปคลื่นสัญญาณที่ควิตีแฟกเตอร์ 0.36 ดังรูปที่ 5.5 คิวตี้แฟกเตอร์ 0.5 ดังรูปที่ 5.6 และคิวตี้แฟกเตอร์ 0.6 ดังรูปที่ 5.7 เปรียบเทียบกับผลการจำลองด้วยโปรแกรม MATLA เพื่อตรวจสอบความถูกต้อง



(ก) ผลการจำลองรูปคลื่น

ด้านอินพุท (100V/div, 10A/div, 5ms/div)

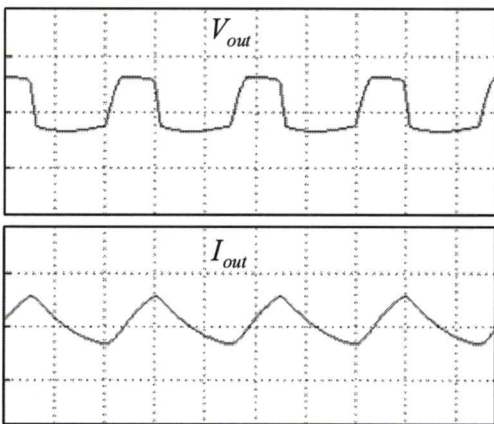
ด้านเอาต์พุท (500V/div, 50A/div, 5ms/div)



(ข) ผลการตรวจสอบรูปคลื่น

ด้านอินพุท (200V/div, 10A/div, 5ms/div)

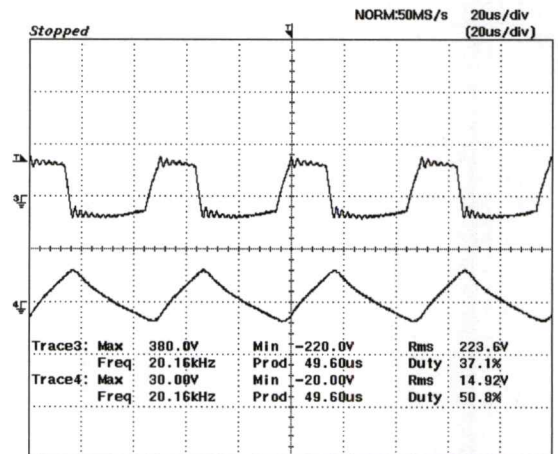
ด้านเอาต์พุท (500V/div, 50A/div, 5ms/div)



(ค) ผลการจำลองรูปคลื่น

ภาพขยายบางส่วนของกระแสและแรงดัน

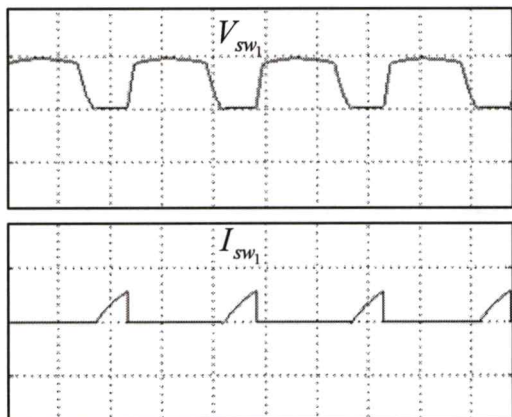
ด้านเอาต์พุท (500V/div, 50A/div, 20us/div)



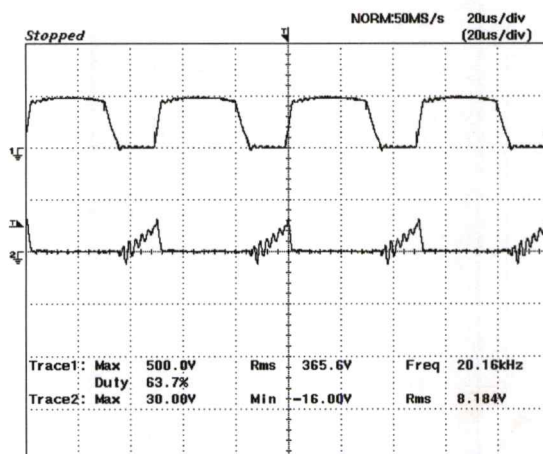
(ง) ผลการตรวจสอบรูปคลื่น

ภาพขยายบางส่วนของกระแสและแรงดัน

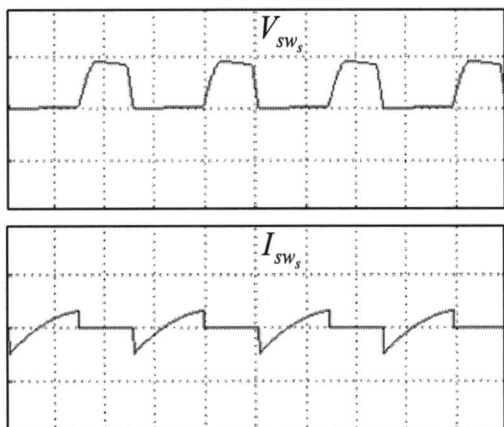
ด้านเอาต์พุท (500V/div, 50A/div, 20us/div)



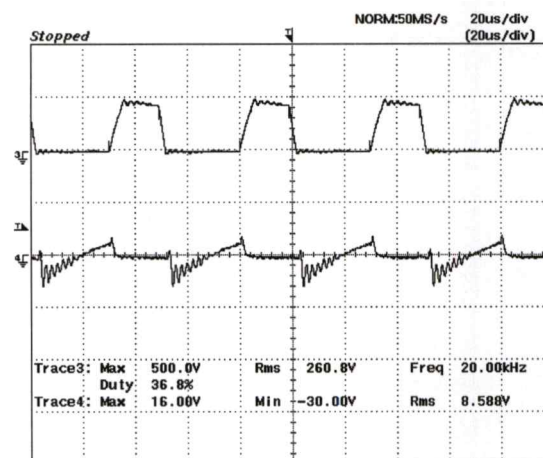
(จ) ผลการจำลองรูปคลื่นที่สวิตช์ Q_1
(500V/div,50A/div,20us/div)



(ฉ) ผลการตรวจสอบรูปคลื่นที่สวิตช์ Q_1
(500V/div,50A/div,20us/div)

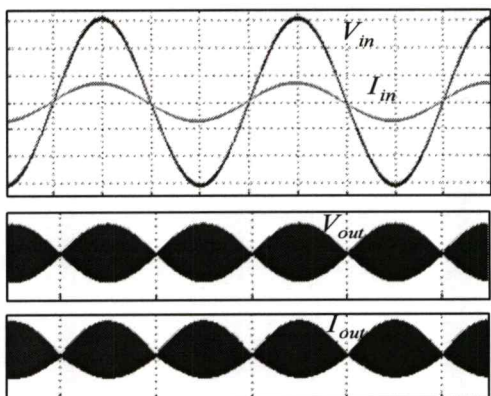


(ช) ผลการจำลองรูปคลื่นที่สวิตช์ Q_s
(500V/div,50A/div,20us/div)



(ซ) ผลการตรวจสอบรูปคลื่นที่สวิตช์ Q_s
(500V/div,50A/div,20us/div)

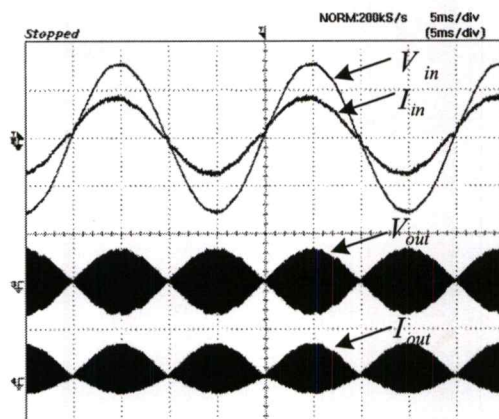
รูปที่ 5.5 การตรวจสอบรูปคลื่นเปรียบเทียบกับผลการจำลองที่คิวดีแฟคเตอร์ 0.36



(ก) ผลการจำลองรูปคลื่น

ด้านอินพุต (100V/div, 10A/div, 5ms/div)

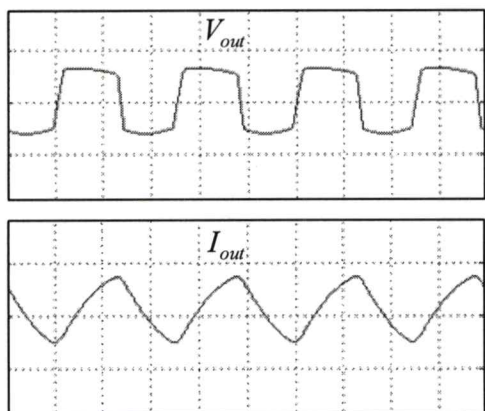
ด้านเอาต์พุต (500V/div, 50A/div, 10ms/div)



(ข) ผลการตรวจสอบรูปคลื่น

ด้านอินพุต (200V/div, 10A/div, 5ms/div)

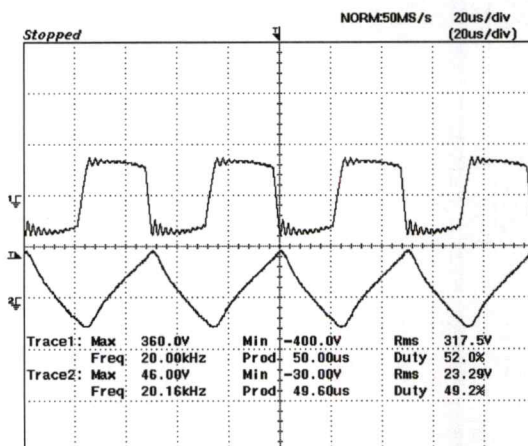
ด้านเอาต์พุต (500V/div, 50A/div, 5ms/div)



(ค) ผลการจำลองรูปคลื่น

ภาพขยายบางส่วนของกระแสและแรงดัน

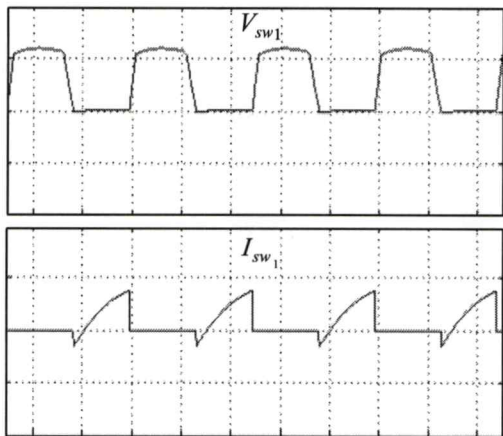
ด้านเอาต์พุต (500V/div, 50A/div, 20us/div)



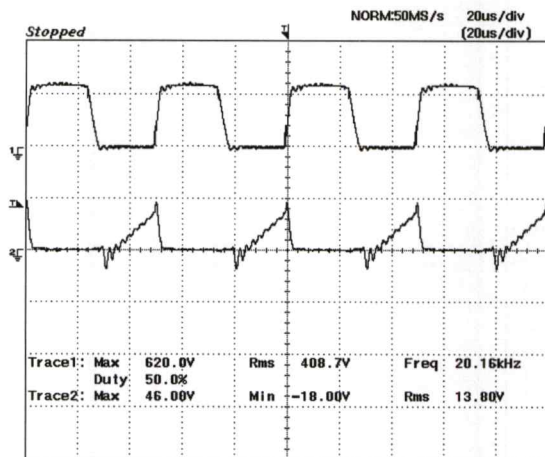
(ง) ผลการตรวจสอบรูปคลื่น

ภาพขยายบางส่วนของกระแสและแรงดัน

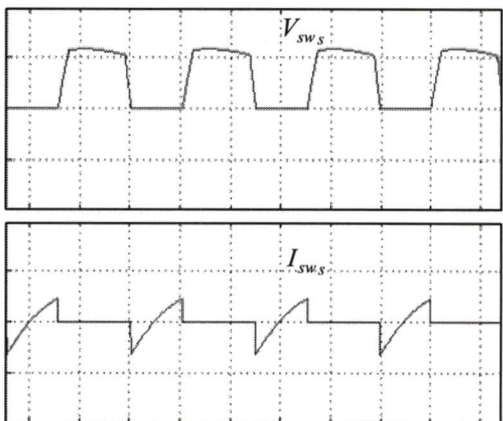
ด้านเอาต์พุต (500V/div, 50A/div, 20us/div)



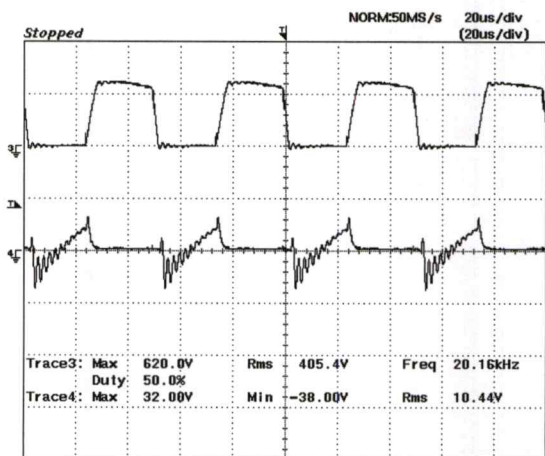
(จ) ผลการจำลองรูปคลื่นที่สวิตช์ Q_1
(500V/div,50A/div,20us/div)



(ฉ) ผลการตรวจสอบรูปคลื่นที่สวิตช์ Q_1
(500V/div,50A/div,20us/div)

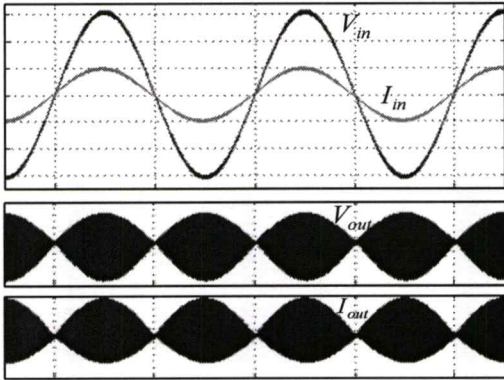


(ช) ผลการจำลองรูปคลื่นที่สวิตช์ Q_5
(500V/div,50A/div,20us/div)



(ซ) ผลการตรวจสอบรูปคลื่นที่สวิตช์ Q_5
(500V/div,50A/div,20us/div)

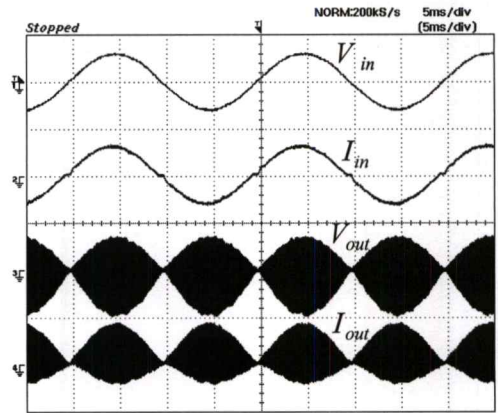
รูปที่ 5.6 การตรวจสอบรูปคลื่นเปรียบเทียบกับผลการจำลองที่คิวดีแฟคเตอร์ 0.5



(ก) ผลการจำลองรูปคลื่น

ด้านอินพุต (100V/div, 10A/div, 10ms/div)

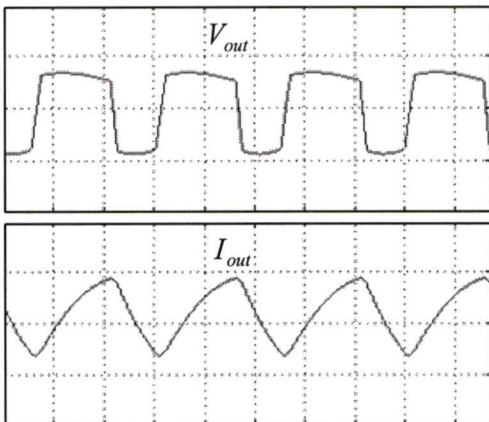
ด้านเอาต์พุต (500V/div, 50A/div, 10ms/div)



(ข) ผลการตรวจสอบรูปคลื่น

ด้านอินพุต (500V/div, 20A/div, 5ms/div)

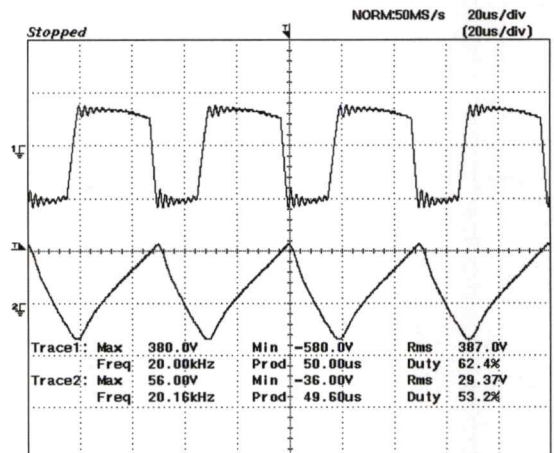
ด้านเอาต์พุต (500V/div, 50A/div, 5ms/div)



(ค) ผลการจำลองรูปคลื่น

ภาพขยายบางส่วนของกระแสและแรงดัน

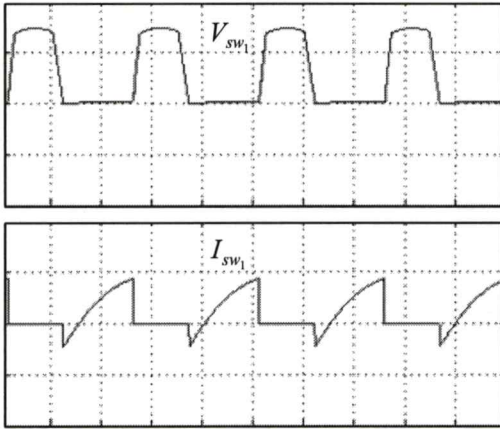
ด้านเอาต์พุต (500V/div, 50A/div, 20us/div)



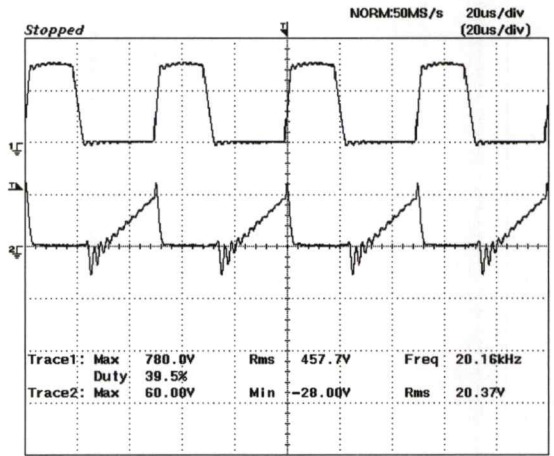
(ง) ผลการตรวจสอบรูปคลื่น

ภาพขยายบางส่วนของกระแสและแรงดัน

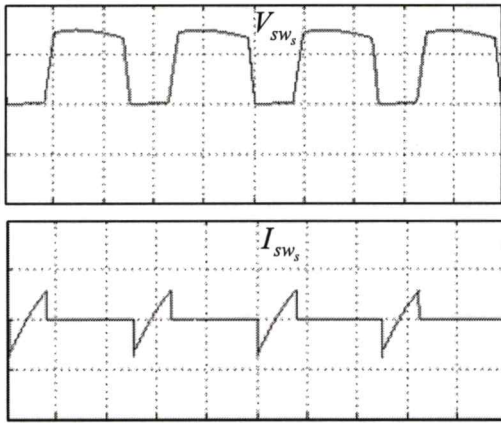
ด้านเอาต์พุต (500V/div, 50A/div, 20us/div)



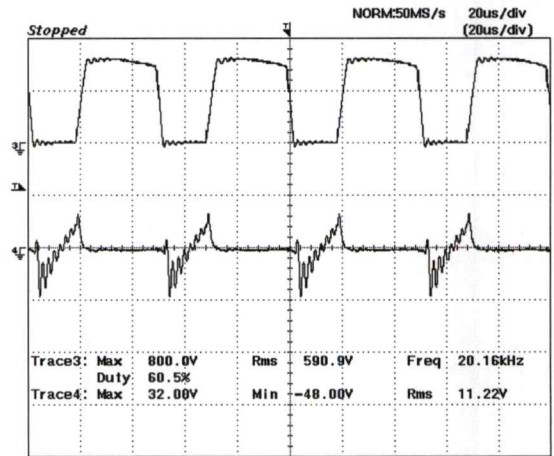
(จ) ผลการจำลองรูปคลื่นที่สวิตช์ Q_1
(500V/div, 50A/div, 20us/div)



(ฉ) ผลการตรวจสอบรูปคลื่นที่สวิตช์ Q_1
(500V/div, 50A/div, 20us/div)



(ช) ผลการจำลองรูปคลื่นที่สวิตช์ Q_s
(500V/div, 50A/div, 20us/div)

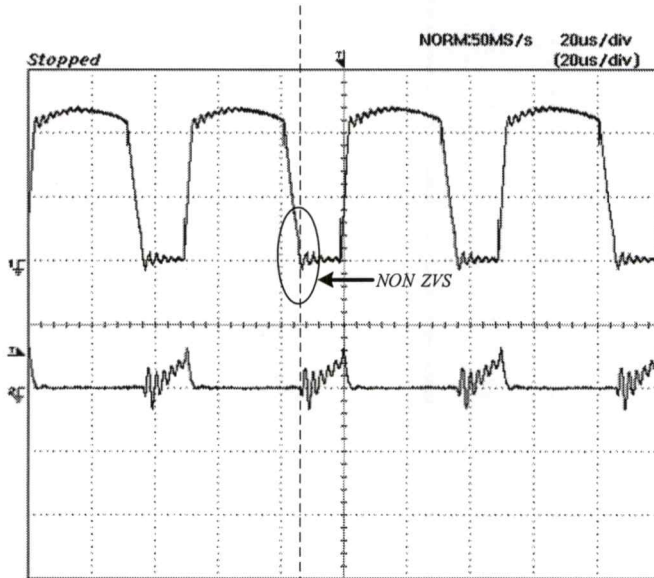


(ซ) ผลการตรวจสอบรูปคลื่นที่สวิตช์ Q_s
(500V/div, 50A/div, 20us/div)

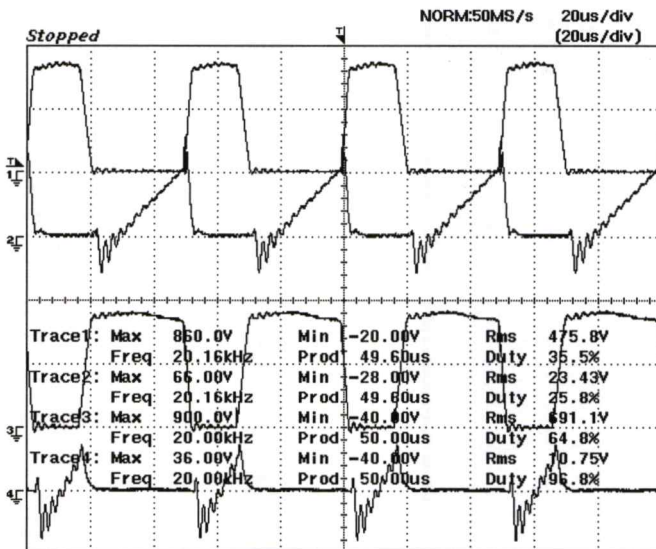
รูปที่ 5.7 การตรวจสอบรูปคลื่นเปรียบเทียบกับผลการจำลองที่คิวดีแฟคเตอร์ 0.6

จากการตรวจสอบรูปคลื่นสัญญาณของแรงดันและกระแสของเครื่องต้นแบบที่ได้ออกแบบไว้ซึ่งมีแนวโน้มไปทางเดียวกันและสอดคล้องกับผลการจำลอง คือช่วงคิวดีแฟคเตอร์ที่สามารถเกิดการสวิตช์ขณะแรงดันเป็นศูนย์ โดยที่มีขนาดพิกัดสวิตช์ Q_1 ไม่เกิน $60A_{peak}$, $900V_{peak}$ จะอยู่

ระหว่าง 0.34-0.6 จากรูปที่ 5.8 ที่คิวดี้แฟคเตอร์น้อยกว่า 0.34 จะเกิดการสวิตช์ขณะแรงดันไม่เป็นศูนย์ และเมื่อปรับคิวดี้แฟคเตอร์สูงกว่า 0.6 กระแสจะสูงกว่าพิกัดใช้งานดังรูปที่ 5.9 ที่คิวดี้แฟคเตอร์ 0.64 Q_1 จะมีขนาดพิกัด $64A_{peak}$ $860V_{peak}$ ขณะที่สวิตช์ Q_s มีขนาดพิกัด $36A_{peak}$ $900V_{peak}$ ซึ่งสามารถเขียนเป็นกราฟความสัมพันธ์ตลอดช่วงการควบคุมคิวดี้แฟคเตอร์ดังรูปที่ 5.10 (ก)-(จ)



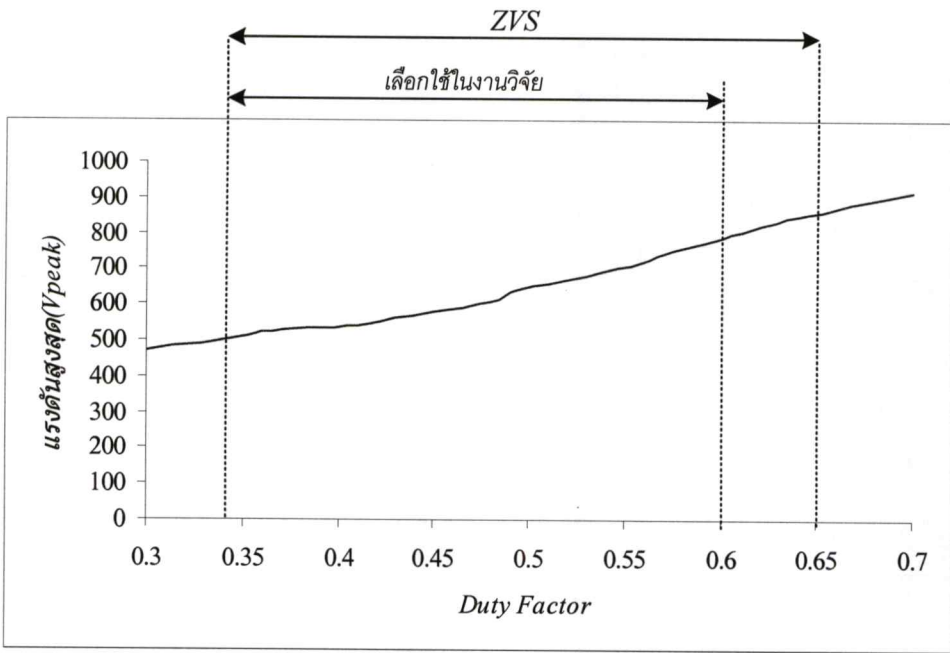
รูปที่ 5.8 การสวิตช์ขณะแรงดันไม่เป็นศูนย์ที่คิวดี้แฟคเตอร์ต่ำกว่า 0.34 ของ Q_1
(200V/div,50A/div,20us/div)



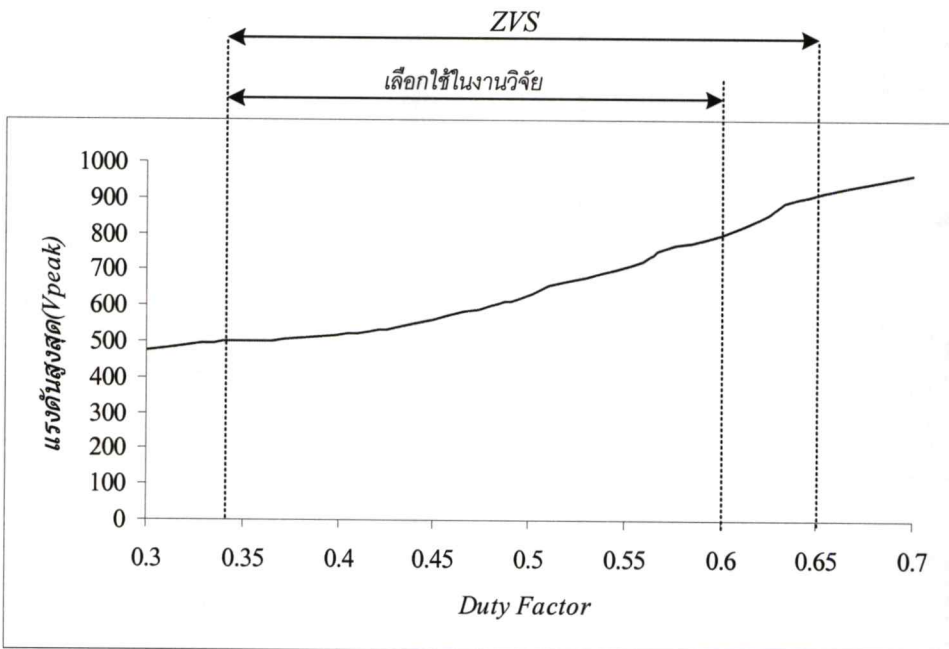
รูปที่ 5.9 รูปคลื่นแรงดันและกระแสที่คิวดี้แฟคเตอร์ 0.64

(CH1,CH2 รูปคลื่นแรงดันและกระแส Q_1 ;500V/div,50A/div,20us/div)

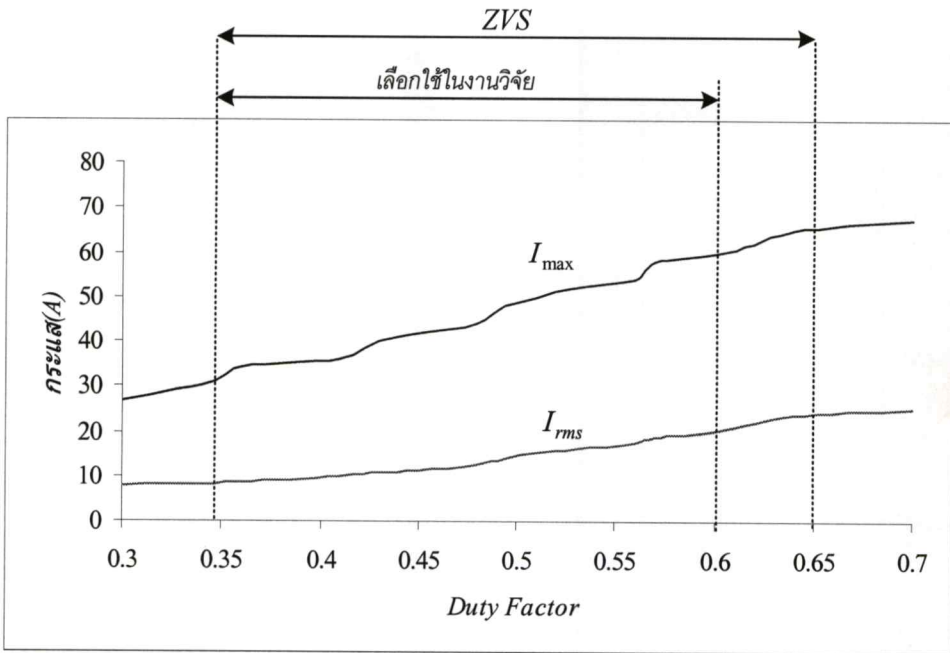
(CH3,CH4 รูปคลื่นแรงดันและกระแส Q_s ;500V/div,50A/div,20us/div)



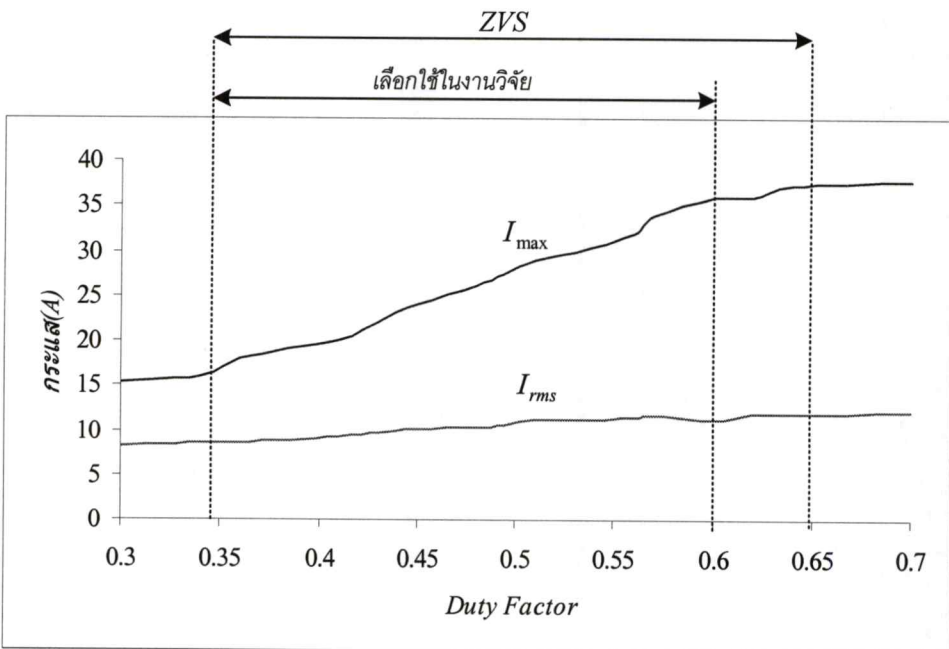
(ก) ความสัมพันธ์ระหว่างแรงดันสูงสุดกับดิวตี้แฟกเตอร์ของสวิตช์ Q_1



(ข) ความสัมพันธ์ระหว่างแรงดันสูงสุดกับดิวตี้แฟกเตอร์ของสวิตช์ Q_s

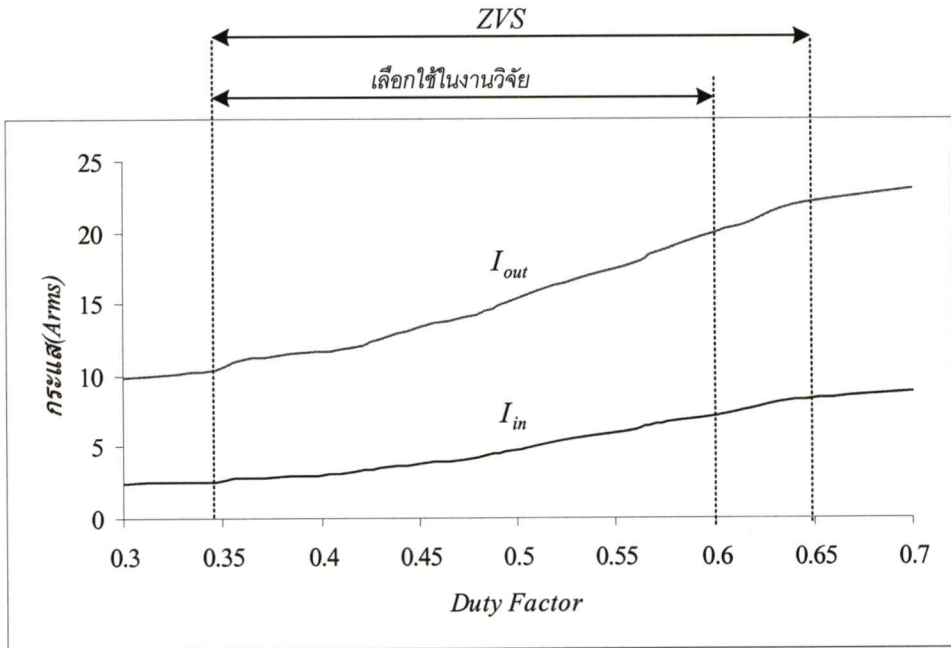


(ค) ความสัมพันธ์ระหว่างกระแสกับคิวดีแฟคเตอร์ของสวิตช์ Q_1



(ง) ความสัมพันธ์ระหว่างกระแสกับคิวดีแฟคเตอร์ของสวิตช์ Q_1

จากการตรวจสอบรูปคลื่นแรงดันและกระแสตลอดช่วงคิวดีแฟคเตอร์ที่ใช้งานทำให้ทราบว่าสวิตช์ Q_s มีพิกัดการใช้งานจริงอยู่ที่ $36A_{peak} 800V_{peak}$ ดังนั้นสามารถเลือกใช้งาน Q_s พิกัดเล็กกว่า Q_1 ได้



(จ) ความสัมพันธ์ระหว่างกระแสกับดิวตี้แฟคเตอร์ทางด้านอินพุทและเอาต์พุท
รูปที่ 5.10 ความสัมพันธ์ระหว่างพิกัดใช้งานกับดิวตี้แฟคเตอร์

5.3.2 การตรวจสอบสมรรถนะการทำงานของเครื่อง

เป็นการทดสอบเพื่อหาค่าประสิทธิภาพทางไฟฟ้า, ประสิทธิภาพรวมของระบบ, ค่าตัวประกอบกำลัง, $\%THD_v$, $\%THD_i$, ค่าเวลาในการทำความร้อน เมื่อปรับเปลี่ยนดิวตี้แฟคเตอร์ตั้งแต่ 0.34- 0.6 โดยใช้ภาชนะหุงต้ม Stainless Steel 18 -10 (\varnothing - 20 cm.) การทดสอบจะต้มน้ำดิบในปริมาณ 1 ลิตร จากอุณหภูมิเริ่มต้มนจนถึงน้ำเดือด 100°C การตรวจวัดกำลังไฟฟ้าทางด้านอินพุท โดยใช้ Power Quality Analyzer รุ่น 43B ตรวจวัดกำลังไฟฟ้าทางด้านเอาต์พุทด้วย Power Analyzer รุ่น PZ4000 และตรวจวัดอุณหภูมิของน้ำด้วย Thermometer การควบคุมเป็นแบบ Open Loop Control วงจรทดสอบดังรูปที่ 5.11 ประสิทธิภาพทางไฟฟ้าหาได้จากสมการที่ (5.1) ประสิทธิภาพรวมหาได้จากสมการที่ (5.3) ตัวอย่างการตรวจวัดแสดงดังรูปที่ 5.12 (ก)-(จ) เป็นการตรวจสอบสมรรถนะการทำงานของเครื่องที่ดิวตี้แฟคเตอร์ 0.6

$$P_{out,total} = 4180 \frac{(T_2 - T_1)}{(t_2 - t_1)} \quad (5.2)$$

โดยที่ $P_{out,total}$ คือ กำลังงานเอาต์พุทที่เปลี่ยนมาจากพลังงานความร้อนของน้ำ (W)

T_1 คือ อุณหภูมิเริ่มต้นของน้ำ ($^{\circ}\text{C}$)

T_2 คือ อุณหภูมิสุดท้ายของน้ำ ($^{\circ}\text{C}$)

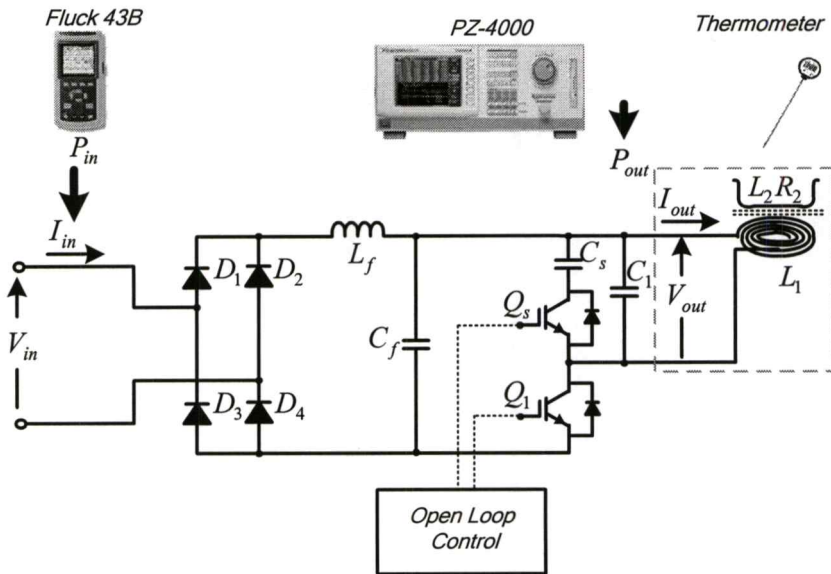
t_1 คือ เวลาเริ่มต้นทำงาน (Sec)

t_2 คือ เวลาสิ้นสุดทำงาน (Sec)

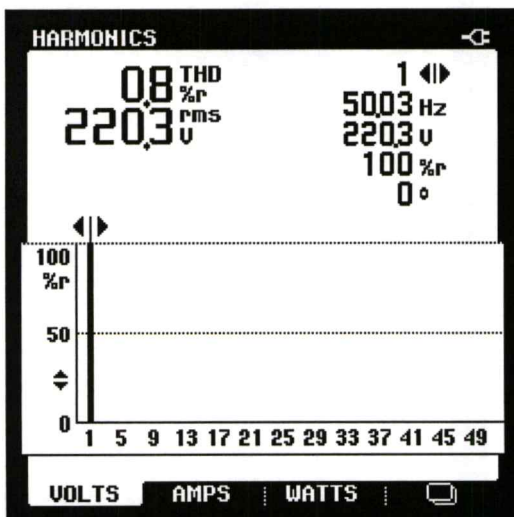
4180 คือ ค่าความร้อนจำเพาะของน้ำ (J/chg.) ซึ่งเป็นค่าพลังงานความร้อน 1 แคลอรีของน้ำขนาดน้ำหนัก 1 กรัม ที่มีอุณหภูมิเปลี่ยนไป 1 องศาเซลเซียส

$$\% \eta_{total} = \frac{P_{out, total}}{P_{in}} \times 100 \quad (5.3)$$

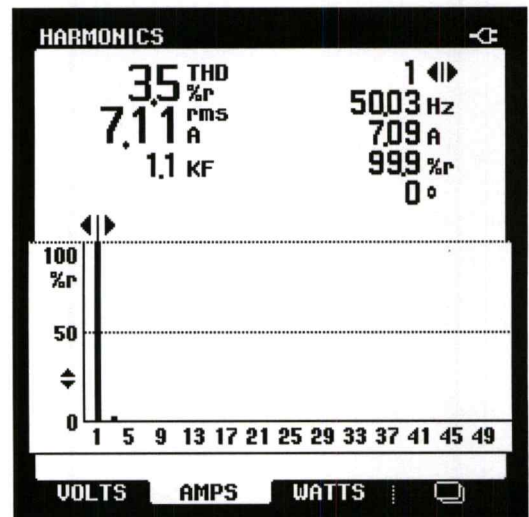
โดยที่ $\% \eta_{total}$ คือ ประสิทธิภาพรวมระบบ



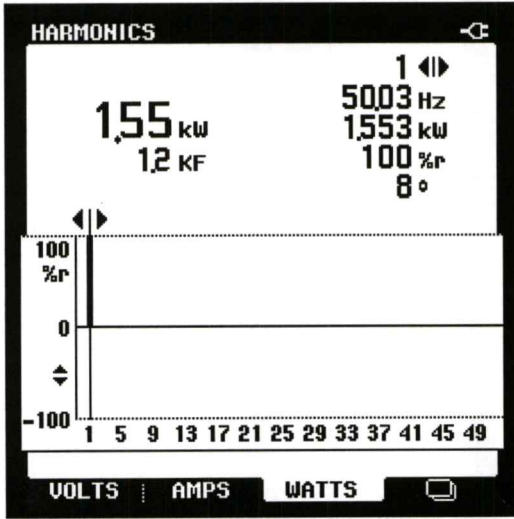
รูปที่ 5.11 วงจรและเครื่องมือวัดสำหรับการตรวจสอบสมรรถนะการทำงานของเครื่อง



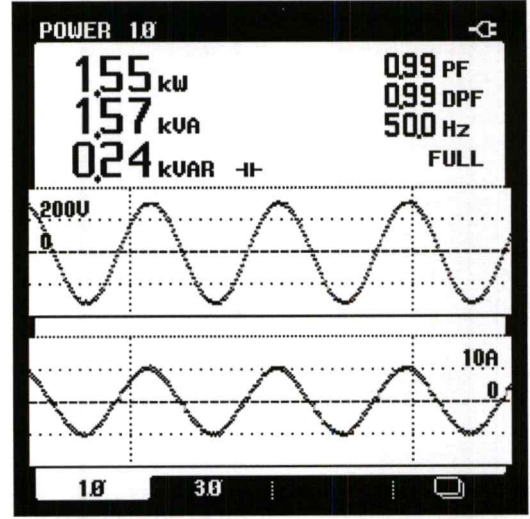
(ก) แรงดันและค่า THD_v อินพุท



(ข) กระแสและค่า THD_i อินพุท



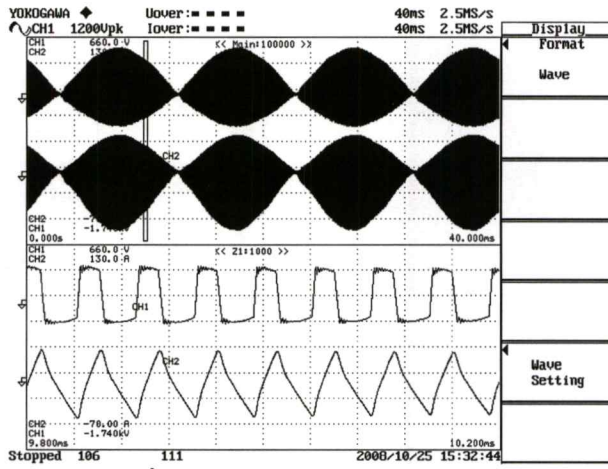
(ค) กำลังไฟฟ้าอินพุท



(ง) กำลังไฟฟ้าอินพุทและตัวประกอบกำลัง

YOKOGAWA		Uover: - - - -		40ms 2.5MS/s		40ms 2.5MS/s		Display	
CH1 1200Upk		Iover: - - - -						Format	
		Element1	Element2	Element3	Element4	Σ A		Numeric	
Urms[V]	1	0.2611k	0.0000k	0.0000k	0.0000k	0.2611k		Item Amount	
Umn [V]	1	0.2483k	0.0000k	0.0000k	0.0000k	0.2483k		All	
Udc [V]	1	-0.0007k	0.0005k	-0.0001k	-0.0004k	-0.0007k		Function	
Uac [V]	1	0.2611k	0.0000k	0.0000k	0.0000k	0.2611k		CFI	
Irms[A]	1	19.74	0.00	0.000	0.000	19.74			
Inn [A]	1	16.50	0.00	0.000	0.000	16.50			
Idc [A]	1	-6.49	0.02	0.001	0.001	-6.49			
Iac [A]	1	18.65	0.00	0.000	0.000	18.65			
P [W]	1	1.49k	0.00k	-0.000k	-0.000k	1.49k			
S [VA]	1	5.15k	0.00k	0.000k	0.000k	5.15k			
Q [var]	1	4.93k	0.00k	0.000k	0.000k	4.93k			
λ []	1	0.2895	Error	Error	Error	0.2895			
φ [°]	1G	73.17	Error	Error	Error	73.17			
fU [Hz]	1	18.551k	Error	Error	Error	-----			
fI [Hz]	1	18.301k	Error	Error	Error	-----			
U+pk[V]	1	0.5388k	0.0064k	0.0048k	0.0048k	-----			
U-pk[V]	1	-0.3652k	-0.0044k	-0.0048k	-0.0048k	-----			
I+pk[A]	1	35.74	0.26	0.023	0.028	-----			
I-pk[A]	1	-56.54	-0.22	-0.025	-0.025	-----			
CFU []	1	2.06	Error	Error	Error	-----			
CFI []	1	2.86	Error	Error	Error	-----			
FFU []	1	1.17	Error	Error	Error	-----			
FFI []	1	1.33	Error	Error	Error	-----			
Z [Ω]	1	13.223	Error	Error	Error	13.223			
Rs [Ω]	1	3.8278	Error	Error	Error	3.8278			

(จ) การตรวจวัดเชิงตัวเลขทางด้านเอาท์พุท



(ฉ) การตรวจวัดรูปคลื่นสัญญาณและภาพขยายบางส่วนทางด้านเอาต์พุต

รูปที่ 5.12 การตรวจวัดรูปคลื่นและองค์ประกอบทางไฟฟ้าดีวีพีแฟคเตอร์ 0.6

5.3.3 การหาประสิทธิภาพทางไฟฟ้า

จากการตรวจวัดที่ดีวีพีแฟคเตอร์ 0.6 ดังรูปที่ 5.12 กำลังไฟฟ้าทางด้านอินพุตอ่านค่าได้ 1.55 kW แสดงดังรูปที่ 5.12 (ค) และกำลังไฟฟ้าด้านเอาต์พุตอ่านค่าได้ 1.49 kW แสดงดังรูปที่ 5.12 (จ) ดังนั้นสามารถหาประสิทธิภาพทางไฟฟ้าได้จากสมการที่ (5.1) ผลที่ได้คือ 96% จากขั้นตอนข้างต้นนำไปทดสอบหาประสิทธิภาพทางไฟฟ้าและจดบันทึกผลองค์ประกอบทางไฟฟ้าที่ดีวีพีแฟคเตอร์ตั้งแต่ 0.34-0.6 แสดงในตารางที่ 5.1

ตารางที่ 5.1 การทดสอบและบันทึกผลประสิทธิภาพทางไฟฟ้า

Duty Factor	$P_{in}(W)$	$I_{in}(A)$	$V_{in}(V)$	PF	%THD _v	%THD _i	$P_{out}(W)$	% η_{elec}
0.34	530	2.48	220	0.95	1.3	2.9	510	96.23
0.36	600	2.79	220	0.96	1.4	2.8	580	96.67
0.41	660	3.1	220	0.96	1.2	2.9	640	96.97
0.43	740	3.45	220	0.97	1.2	2.4	720	97.29
0.45	820	3.78	220	0.97	1.2	2.4	790	96.34
0.48	900	4.18	220	0.98	1.3	2.7	870	96.67
0.49	987	4.58	220	0.98	1.2	2.5	950	96.21
0.51	1,100	5.09	220	0.98	1.2	2.9	1,060	96.36
0.53	1,200	5.55	220	0.98	1.3	2.8	1,160	96.67
0.56	1,320	6.13	220	0.98	1.2	3.1	1,270	96.21
0.57	1,420	6.62	220	0.98	1.2	3.3	1,370	96.48
0.6	1,550	7.11	220	0.99	1.3	3.6	1,490	96.13

5.3.4 การหาประสิทธิภาพรวม

ในการทดสอบใช้ภาชนะหุงต้มชนิด Stainless Steel 18 -10 ($\varnothing - 20$ cm.) ในการทดสอบจะต้มน้ำดิบในปริมาณ 1 ลิตร จากอุณหภูมิเริ่มต้มน้ำจนถึงน้ำเดือดที่ 100°C โดยใช้สูตรการคำนวณตามสมการที่(5.2) หากำลังงานเอาท์พุทที่เปลี่ยนมาจากพลังงานความร้อนของน้ำและหาประสิทธิภาพรวมจากสมการที่ (5.3) ตัวอย่างการหาประสิทธิภาพรวมที่คิวตี้แฟลคเตอร์ 0.6 โดยตัวแปลต่างๆมีการกำหนดค่าดังนี้

P_{in} 1,550 W ที่คิวตี้แฟลคเตอร์ 0.6 จากตารางการทดสอบที่ 5.1

$P_{out,total}$ คือ กำลังงานเอาท์พุทที่เปลี่ยนมาจากพลังงานความร้อนของน้ำ (W)

T_1 คือ อุณหภูมิเริ่มต้นของน้ำจากการตรวจวัดด้วย Thermometer อยู่ที่ 27°C

T_2 คือ อุณหภูมิสุดท้าย 100°C ตรวจวัดด้วย Thermometer

t_1 คือ เวลาเริ่มต้นทำงาน กำหนดให้มีค่าเท่ากับศูนย์ เนื่องจากใช้น้ำพิกาจับเวลา

t_2 คือ เวลาสิ้นสุดทำงาน เป็นเวลาที่ Thermometer อ่านค่าอุณหภูมิของน้ำได้เท่ากับ 100°C ซึ่งอ่านค่าได้ 4.06 นาที หรือ 246 วินาที

4180 คือ ค่าความร้อนจำเพาะของน้ำ (J/chg.) ซึ่งเป็นค่าพลังงานความร้อน 1 แคลอรีของน้ำขนาดน้ำหนัก 1 กรัม ที่มีอุณหภูมิเปลี่ยนไป 1 องศาเซลเซียส

แทนค่าในสมการที่(5.2) หาค่า $P_{out,total}$

$$\begin{aligned} P_{out,total} &= 4180 \frac{(100 - 27)}{(246 - 0)} && \text{W} \\ &= 1,240.41 && \text{W} \end{aligned}$$

แทนค่า $P_{out,total}$ ในสมการที่ (5.3) หาประสิทธิภาพรวมระบบ ($\% \eta_{total}$)

$$\begin{aligned} \% \eta_{total} &= \frac{1,240.41}{1,550} \times 100 \\ &= 80.03 \end{aligned}$$

จากขั้นตอนการหาดังกล่าวนำมาหาค่าประสิทธิภาพรวมที่คิวตี้ตั้งแต่ 0.34-0.6 ได้ดังตารางที่ 5.2 และจากการทดสอบเครื่องต้นแบบสามารถสรุปคุณสมบัติทางไฟฟ้าของเตาหุงต้มเหนียวที่พิกัดได้ดังตารางที่ 5.3 ทั้งหมด 15 รายการ

ตารางที่ 5.2 การทดสอบและบันทึกผลการหาค่าประสิทธิภาพรวมทั้งควิตีแฟคเตอร์ 0.34-0.6

Duty Factor	อุณหภูมิเริ่มต้น °C	อุณหภูมิสุดท้าย °C	Time		Pin (W)	Pout, total (W)	%ηtotal
			(min)	(sec)			
0.34	28	90	15.00	900	530	287.96	54.33
0.36	28.2	100	11.10	670	600	447.95	74.66
0.41	28	100	9.40	580	660	518.90	78.62
0.43	27.4	100	8.30	510	740	595.04	80.41
0.45	28.2	100	7.30	450	820	666.94	81.33
0.48	27.9	100	6.47	407	900	740.49	82.28
0.49	27.5	100	6.18	378	987	801.72	81.23
0.51	27.2	100	5.34	334	1100	911.09	82.83
0.53	28.7	100	4.56	296	1200	1006.87	83.91
0.56	28.6	100	4.38	278	1320	1073.57	81.33
0.57	27	100	4.22	262	1420	1164.66	82.02
0.6	27	100	4.06	246	1550	1240.41	80.03

ตารางที่ 5.3 คุณสมบัติทางไฟฟ้าของเตาหุงต้มเหนียวหน้าที่พิกัด กำลังไฟฟ้าเอาต์พุต 1.5 kW

f_s (kHz)	20
Duty Factor	0.6
$Q_1 (V_{peak} / I_{peak})$	780/60
$Q_s (V_{peak} / I_{peak})$	800/36
$V_{in} (V_{rms})$	220
$I_{in} (A_{rms})$	7.11
%THD _v	1.3
%THD _i	3.6
$S_{in} (kV)$	1.57
$P_{in} (kW)$	1.55
PF	0.99
$P_{out} (kW)$	1.5
%η _{elec}	96.12
%η _{total}	80.03
Heating Time (min)	4.06

จากตารางที่ 5.2 กำลังไฟฟ้าที่เอาท์พุท 1.5kW ใช้เวลาในการหุงต้มประมาณ 4 นาที และเมื่อกำลังวัตต์ลดลงเวลาที่ใช้ในการหุงต้มจะนานขึ้นและเมื่อกำลังไฟฟ้าต่ำสุดประมาณ 0.5kW น้ำจะไม่สามารถเดือดได้

5.4 สรุป

1. ระยะ Gap น้อยๆจะให้กำลังไฟฟ้าทางด้านเอาท์พุทสูงและประสิทธิภาพทางไฟฟ้าสูง เนื่องจากค่าความต้านทานของภาชนะหุงต้มมีค่าลดลง (ตามความลึกของสนามแม่เหล็กเหนี่ยวนำที่เกี่ยวข้องกับภาชนะ) จึงทำให้ความหนาแน่นของกระแสเกิดที่ผิวของก้นภาชนะมากขึ้น แต่ช่วงของการควบคุมควิตตี้แฟลคเตอร์จะแคบลงเรื่อยๆจนไม่สามารถควบคุมกำลังไฟฟ้าเอาท์พุทที่ย่านต่ำๆได้ เมื่อเพิ่มระยะ Gap มากขึ้นกำลังไฟฟ้าทางด้านเอาท์พุท และประสิทธิภาพทางไฟฟ้าจะเริ่มลดลงเนื่องจากเส้นแรงแม่เหล็กที่ไปเกี่ยวข้องกับก้นภาชนะลดลงจะทำให้ความต้านทานสมมูลของวงจรมีค่ามากขึ้น ส่งผลให้ความหนาแน่นของกระแสเกิดที่ผิวของก้นภาชนะลดลง แต่ช่วงของการควบคุมควิตตี้แฟลคเตอร์จะเพิ่มขึ้น ดังนั้นเพื่อให้ได้ย่านกำลังไฟฟ้าเอาท์พุทที่เหมาะสมและสอดคล้องกับเงื่อนไขการออกแบบ จึงปรับค่าระยะ Gap ระหว่างขดลวดเหนี่ยวนำกับก้นภาชนะไว้ประมาณ 10 mm. ซึ่งเป็นค่าที่เหมาะสมกับกำลังงานเอาท์พุทที่ได้คือช่วง 0.5-1.5kW ประสิทธิภาพทางไฟฟ้า 96 % ประสิทธิภาพรวมของระบบ 80% การควบคุมควิตตี้แฟลคเตอร์อยู่ระหว่าง 0.34 - 0.6
2. จากเงื่อนไขการออกแบบ โดยใช้ขีดจำกัดของขนาดพิกัดสวิตช์ Q_1 ไม่เกิน $60A_{peak} 900V_{peak}$ จะทำให้ทราบว่าเมื่อใช้งานจริงสวิตช์ Q_1 มีขนาดพิกัด $60A_{peak} 780V_{peak}$ และสวิตช์ Q_s อยู่ที่ $36A_{peak} 800V_{peak}$ ซึ่งสามารถสรุปคุณสมบัติเบื้องต้นแบบได้ดังตารางที่ 5.3

บทที่ 6

สรุปผลการวิจัยและข้อเสนอแนะ

ในการออกแบบเตาหุงต้มเหนียวน่า จะเริ่มต้นจากการกำหนดขนาดของภาชนะหุงต้มให้เหมาะสมกับการใช้งานและช่วงเวลาที่ต้องการหุงต้มเดือด จากนั้นจึงทำการคำนวณและทดสอบหาปริมาณกำลังไฟฟ้าที่เหมาะสม เพื่อใช้ในการหุงต้มขนาดดังกล่าวให้สามารถหุงต้มเดือดได้ภายในช่วงเวลาตามที่กำหนด จากนั้นจะเป็นขั้นตอนการกำหนด จำนวนเส้นลวดตีเกลียวของขดลวดเหนียวน่า ระยะ Gap ระหว่างขดลวดเหนียวน่ากับก้นภาชนะหุงต้ม และช่วงการควบคุมควิตตี้แฟลคเตอร์ที่เหมาะสมที่ความถี่สวิตซ์ 20 kHz

จากผลการจำลองด้วยโปรแกรม MATLAB และผลการทดสอบเครื่องต้องแบบได้ผลลัพธ์ที่สอดคล้องกัน คือการเพิ่มสวิตซ์ Q_2 อนุกรมกับคาปาซิเตอร์ C_2 ต่อคร่อมโหลดกึ่งเรโซแนนท์เพื่อลดแรงดันตกคร่อมสวิตซ์หลัก Q_1 สามารถควบคุมแบบพีคดับเบิ้ลยูเอ็ม ได้ที่ความถี่สวิตซ์ซึ่งคงที่ภายใต้เงื่อนไขสวิตซ์ซึ่งขณะแรงดันเป็นศูนย์ในช่วงควิตตี้ไซเคิลตั้งแต่ 0.34 - 0.6 ให้กำลังไฟฟ้าเอาต์พุต 0.5-1.5kW และสามารถแก้ปัญหขนาดพิคคของอุปกรณ์สวิตซ์ให้ลดต่ำลง เมื่อนำมาใช้งานระบบแหล่งจ่ายเอชอี 220 โวลต์

ข้อเสนอแนะในการพัฒนาและปรับปรุงต่อไป ในการเลือกช่วงของการสวิตซ์ซึ่งขณะแรงดันเป็นศูนย์นั้นจะมีประสิทธิภาพสูงขึ้นหากมีการตรวจจับการเกิดสถานะแรงดันเป็นศูนย์เพื่อลดช่วงประวิงเวลาในการสวิตซ์

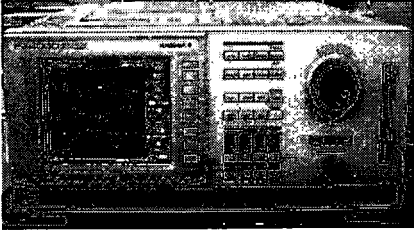
เอกสารอ้างอิง

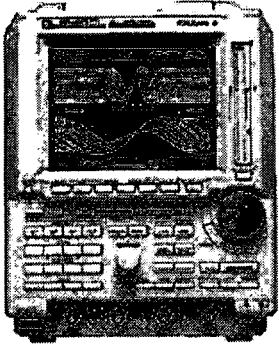
- [1] Koki Ogura, Yoshihiko Hirota and Mutsuo Nakaoka, "Comparative Performance Evaluations of IGBTs and MCT in Single-Ended Quasi-Resonant Zero Voltage Soft Switching Inverter." Power Electronics Specialists Conference, IEEE 32nd Annual , Vol.4, pp.2178-2182, June 2001.
- [2] Kwang-Joo Choi ,Hyun-Woo Lee and Mutsuo Nakaoka "An Improved Prototype of Soft Switching Duty Cycle Controlled High Frequency Inverter with Minimum Circuit Components." ,ICIT, IEEE International Conference , pp. 750-755, Dec. 2005.
- [3] Wang S, Izaki K, Hirota I, Yamashita H,Omori H, Nakaoka M," Induction-heated Cooking Appliance using new Quasi-Resonant ZVS-PWM Inverter with Power Factor Correction", Industry Applications, IEEE Transactions Vol. 34,pp. 705 – 712, July-Aug. 1998.
- [4] Ogura K,Gamagel, Ahmed T, Nakaoka M, Hirota I, Yamashita H, Omori H," Performance Evaluation of Edge-Resonant ZVS-PWM High-frequency Inverter using Trench-gate IGBTs for Consumer Induction Cooking Heater." Electric Power Applications, Vol. 151,pp.563-568, Sept. 2004.
- [5] ไพโรจน์ ทองประศรี. 2549. "การควบคุมความถี่ของการสวิตซ์ที่สภาวะเรโซแนนซ์แบบอัตโนมัติโดยใช้เฟสล็อกกลูป สำหรับเตาหาลอมแบบเหนี่ยวนำ." วิทยานิพนธ์วิศวกรรมศาสตรมหาบัณฑิต สาขาวิชาวิศวกรรมไฟฟ้า บัณฑิตวิทยาลัย ,สถาบันเทคโนโลยีพระจอมเกล้าเจ้าคุณทหารลาดกระบัง.
- [6] ยนต์ ไชยสงคราม. 2550. "การออกแบบและพัฒนาระบบควบคุมของเครื่องเหนี่ยวนำความร้อนโดยใช้ไมโครคอนโทรลเลอร์ขนาด 32 บิต" วิทยานิพนธ์วิศวกรรมศาสตรมหาบัณฑิต สาขาวิชาวิศวกรรมไฟฟ้า บัณฑิตวิทยาลัย,สถาบันเทคโนโลยีพระจอมเกล้าเจ้าคุณทหารลาดกระบัง.
- [7] สิทธิโชค สินรัตน์. 2545. "การวิเคราะห์เตาหุงต้มเหนี่ยวนำความถี่สูงชนิดควบคุมกำลังไฟฟ้าด้วยความถี่." วิทยานิพนธ์วิศวกรรมศาสตรมหาบัณฑิต สาขาวิชาวิศวกรรมไฟฟ้า บัณฑิตวิทยาลัย, สถาบันเทคโนโลยีพระจอมเกล้าเจ้าคุณทหารลาดกระบัง.
- [8] T.Tanaka, " A New Induction Cooking Range for Heating and Kind of Metal Vessels", IEEE Tran.Consumer Electronic, Vol.35, No.3, 1989. pp. 635-641.

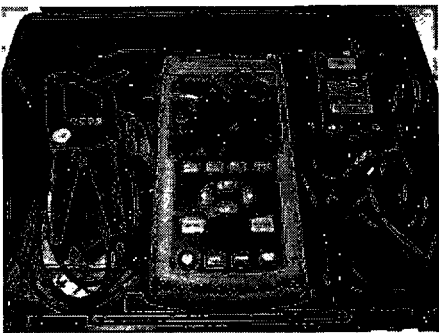
- [9] Steven T. Karris Circuit Analysis II with MATLAB® Applications. Orchard Publications, Fremont, California , U.S.A. ,2003.
- [10] Fairchild Semiconductor. “AN9012: Induction Heating System Topology Review”, 2000.
- [11] สุวัฒน์ ดัน. “ เทคนิคและการออกแบบสวิตซ์িংเพาเวอร์ซัพพลาย” , บริษัท เอนเทลไทย จำกัด, พิมพ์ครั้งที่ 1, 2537.
- [12] Brown, Marty. Power supply cookbook. 2nd ed. 2001.
- [13] สำนักงานมาตรฐานผลิตภัณฑ์อุตสาหกรรม. 2543. มอก. 1956 – 2542 ปรริภัณฑ์เทคโนโลยีสารสนเทศ: ชีดจำกัดสัญญาณรบกวนวิทยุ. กรุงเทพฯ : ไทยเจริญการพิมพ์..
- [14] สำนักงานมาตรฐานผลิตภัณฑ์อุตสาหกรรม. 2544. มอก. 1448 – 2544 IEC 61000-3-2 (2000-08) ความเข้ากันได้ทางแม่เหล็กไฟฟ้า เล่มที่ 3-2 : ชีดจำกัด-ชีดจำกัดสำหรับสิ่งที่ส่งออกมาซึ่งเป็นกระแสดรอนิก (กระแสไฟฟ้าเข้า ≤ 16 แอมแปร์ต่อเฟส). กรุงเทพฯ : หจก. พี.เอ็น. การพิมพ์.
- [15] Tim Williams and Keith Armstrong.“EMC for Systems and Installation”.Oxford: Newnes.Inc. 2000.
- [16] Fairchild Semiconductor. “Application Note 9020: IGBT Basic II”, 2002.
- [17] www.microchip.com
- [18] Lubin Kerhuel's. “Embedded Target for dsPIC”, www.kerhuel.eu

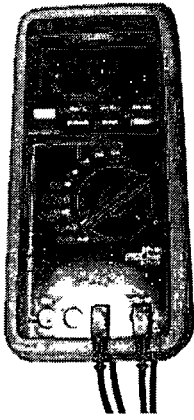
ภาคผนวก ก.

เครื่องมือที่ใช้ในการทำวิจัย

	<p>ผลิตภัณฑ์ Power Analyzer (YAKOGAWA)</p> <p>รุ่น PZ4000</p> <p>รายละเอียด</p> <p>Wide Measurement Bandwidth (DC to 2 MHz)</p> <p>Accurately Sampling 5 MS/s</p> <p>Harmonic Analysis (up to 500th Order)</p>
---	--

	<p>ผลิตภัณฑ์ Digital Oscilloscope (YOKOGA)</p> <p>รุ่น DL1540 /DL (4 Channel)</p> <p>รายละเอียด 150 MHz Analog Bandwidth</p> <p>200 MS/s on two channel</p> <p>8 bit vertical resolution</p> <p>DC to 30 MHz, 850V</p> <p>(DC+AC peak)2% DC accuracy,</p> <p>Internal low pass filter</p>
--	--

	<p>ผลิตภัณฑ์ Power Quality Analyzer (FLUKE)</p> <p>รุ่น FLUKE 43B</p> <p>รายละเอียด 5 to 600 Vrms. 1.00 to 1000 Arms</p> <p>Up to 600 kw., 6 Hz to 99.9 Hz.</p> <p>8 bit vertical resolution</p> <p>Indicates fundamental to 13th harmonics</p> <p>Measures crest factor, PF, DPF, K-factor</p> <p>%THDi, %THD-R</p>
--	--



ผลิตภัณฑ์ Multi Meter (Hewlett Packard)

รุ่น 973 A

รายละเอียด True RMS 20 kHz

Accuracy = 0.1 %

Vac or Vdc : 0 to 1000 Volts

Iac or Idc : 0 to 10 Amp



ผลิตภัณฑ์ Current Probe (FLUKE)

รุ่น 80i-110s AC/DC

รายละเอียด 10mV/A, 100mV/A

Input 100A peak Max

Frequency: DC to 100 kHz .(@3 db)

Output 10 mV/A, 100 mV/A CAT III

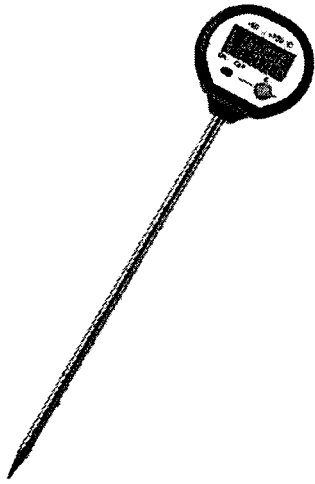


ผลิตภัณฑ์ Differential Probe (YOKOGA)

รุ่น 700925

รายละเอียด 1/10V, 1/100V

500V Peak Max



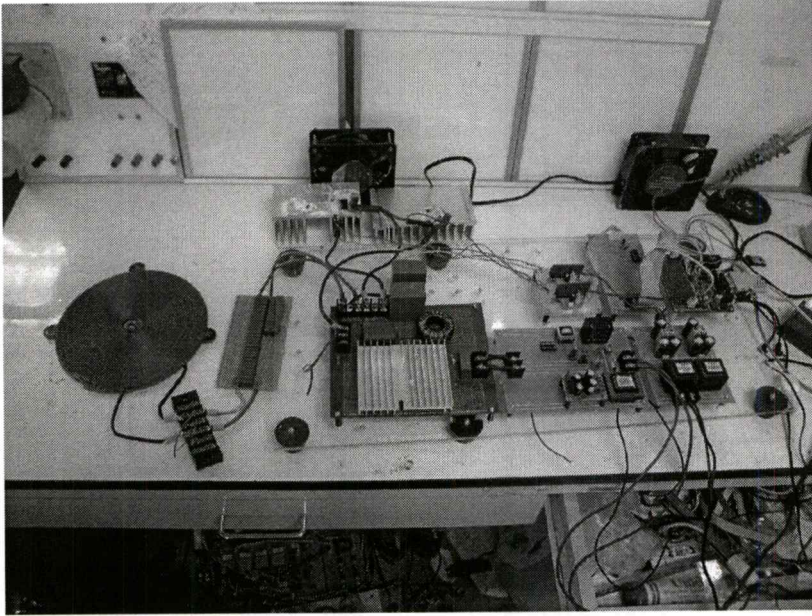
ผลิตภัณฑ์ Thermometer ยี่ห้อ Testo

รุ่น Mini-Thermometer

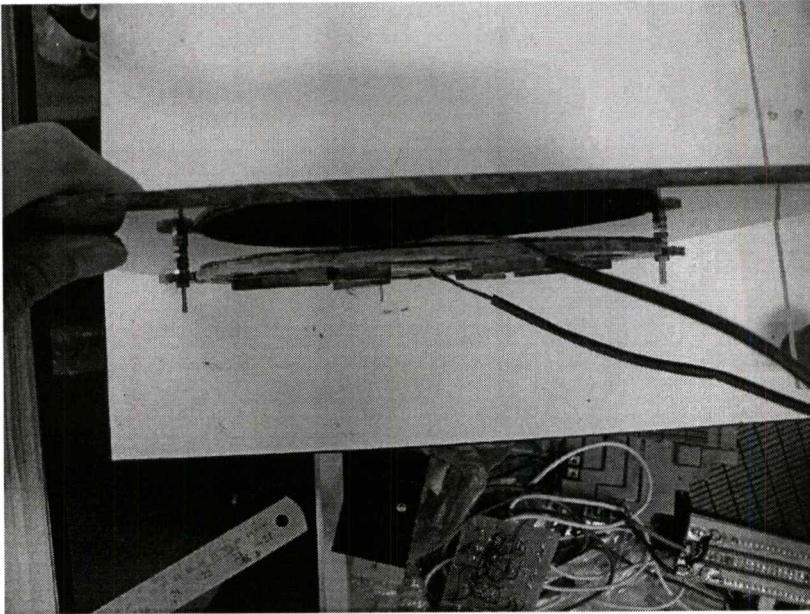
รายละเอียด วัดอุณหภูมิย่าน $-50\dots+250^{\circ}\text{C}$

ภาคผนวก ข.

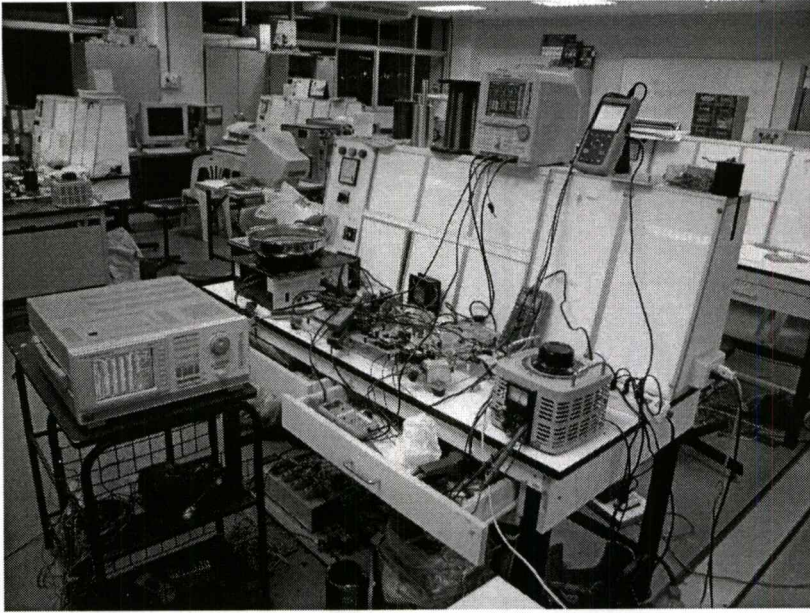
เครื่องต้นแบบที่ใช้ในงานวิจัย



รูปที่ ข1 อินเวอร์เตอร์ต้นแบบที่สร้างขึ้น



รูปที่ ข2 การทดสอบปรับระยะ Gap



รูปที่ ข3 การทดสอบและบันทึกค่าองค์ประกอบทางไฟฟ้า

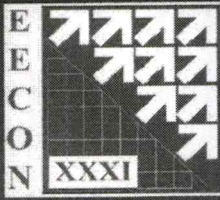


รูปที่ ข4 การทดสอบไหลดหุงต้ม

ภาคผนวก ค.

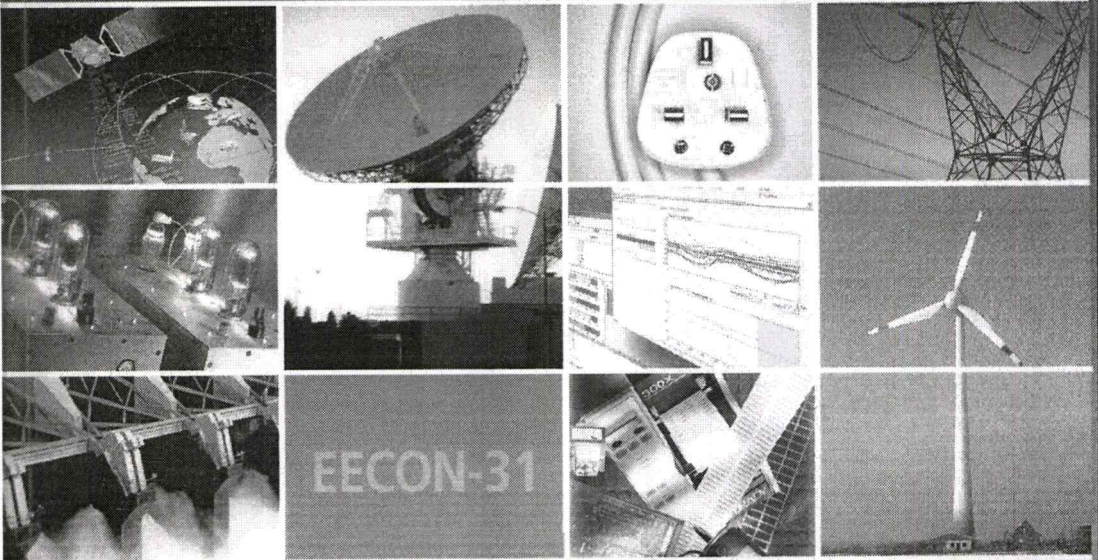
ผลงานวิจัยที่ได้รับการเผยแพร่ในวารสารทางวิชาการ

[1] ณรงค์ชัย ทศพร และ วิจิตร กิณเรศ, “การออกแบบและวิเคราะห์อินเวอร์เตอร์พีดับเบิลยูเอ็ม กึ่งเรโซแนนท์แบบขนานสวิตช์ขั้วแรงดันเป็นศูนย์สำหรับการหุงต้มแบบเหนี่ยวนำ” การประชุม วิชาการทางไฟฟ้าครั้งที่ 31, หน้าที่ 557-560 , 29-31 ตุลาคม 2551



การประชุมวิชาการ ทางวิศวกรรมไฟฟ้า ครั้งที่ 31

31st Electrical Engineering Conference (ECON-31)



- Volume I**
- ไฟฟ้ากำลัง (PW)
 - อิเล็กทรอนิกส์กำลัง (PE)
 - คอมพิวเตอร์ และเทคโนโลยีสารสนเทศ (CP)

29 - 31 ตุลาคม 2551

ณ รอยัลฮิลส์ ทอว์ฟ รีซอร์ท แอนด์ สปา จังหวัดนครนายก

ร่วมจัดโดย



มหาวิทยาลัยศรีนครินทรวิโรฒ
SRINAKHARINWIROT UNIVERSITY



มหาวิทยาลัยศรีปทุม
SRIPATUM UNIVERSITY

สนับสนุนโดย



Western
Digital®



CAT

NECTEC
a member of NECTEC



ABB

สารบัญ

PE-24	<p>เครื่องผลิตก๊าซไอโซนแบบแรงดันสูงความถี่สูงโดยใช้เทคนิคความหนาแน่นพัลส์ สราวุธ คำนันทไทย วิจิตร กิณเรศ สถาบันเทคโนโลยีพระจอมเกล้าเจ้าคุณทหารลาดกระบัง</p>	541
PE-25	<p>Modeling of a SEPIC Converter for Feedback Control Design E. Vuthchhay V. Wutti C. Bunlaksananusorn King Mongkut's Institute of Technology Ladkrabang</p>	545
PE-26	<p>การควบคุมเอช-บริดจ์อินเวอร์เตอร์ 11 ระดับด้วยวิธีจ่ายโหลดอย่างสมดุล ที่ใช้เซลล์แสงอาทิตย์เป็นแหล่งจ่าย ณัฐภัทร ไพรสุวรรณ¹ ฉัตรชัย เอ็มสะอาด² สุรินทร์ คำฝอย¹ ประกาย ไพรสุวรรณ¹ ¹ สถาบันเทคโนโลยีพระจอมเกล้าเจ้าคุณทหารลาดกระบัง ² บริษัท พีระบราเธอร์ จำกัด</p>	549
PE-27	<p>อินเวอร์เตอร์แหล่งจ่ายอิมพีแดนซ์สำหรับประยุกต์ใช้งานร่วมกับพลังงานทดแทน พินิจ เทพสาทร¹ เวทิน ปิยรัตน์¹ ชาญฤทธิ์ ธาราสันติสุข² ¹ มหาวิทยาลัยศรีนครินทรวิโรฒ องครักษ์ ² มหาวิทยาลัยเทคโนโลยีราชมงคลกรุงเทพ</p>	553
PE-28	<p>การออกแบบและวิเคราะห์อินเวอร์เตอร์ที่ดับเบิลยูเอ็มกึ่งเรโซแนนซ์แบบ ขนานสวิตช์ขณะแรงดันเป็นศูนย์สำหรับการหุงต้มแบบเหนี่ยวนำ ณรงค์ชัย ทศพร วิจิตร กิณเรศ สถาบันเทคโนโลยีพระจอมเกล้าเจ้าคุณทหารลาดกระบัง</p>	557
PE-29	<p>การใช้วงจรกรอง EMI ชนิดไฮบริดแบบใหม่เพื่อแก้ปัญหาผลกระทบจากแรงดัน โหมคร่วมในระบบขับเคลื่อนมอเตอร์แบบ PWM เพ็ญภา ไพโรจน์อมรชัย สุรพงษ์ สุวรรณกวิน สมบูรณ์ แสงสว่างวัฒน์ จุฬาลงกรณ์มหาวิทยาลัย</p>	561
PE-30	<p>การขับเคลื่อนเหนี่ยวนำแบบควบคุมแรงบิดโดยตรงบนพื้นฐานอัตราส่วน แรงดันและความถี่คงที่โดยใช้ตัวสังเกตุเพิ่มอันดับ ณรงค์ฤทธิ์ พิมพ์คำวงศ์ มหาวิทยาลัยเทคโนโลยีราชมงคลล้านนา</p>	565
PE-31	<p>การปรับปรุงเทคนิคการควบคุมการแกว่งแบบแอดทีฟด้านเข้าตัวกรองแบบแอล-ซีของ วงจรเรกติฟายเออร์สามเฟสแบบที่ดับบลิวเอ็ม กำจัด ใจตรง เสกสรรค์ พลศรี วิชาญกรณ์ บุญสุข มหาวิทยาลัยเทคโนโลยีราชมงคลอีสาน</p>	569

การออกแบบและวิเคราะห์อินเวอร์เตอร์ที่ดับเบิลยูเอ็มทีกรโชนันท์แบบขนาน
 สวิตช์ขณะแรงดันเป็นศูนย์สำหรับการหุงต้มแบบเหนี่ยวนำ

Design and Analysis of Quasi-Parallel Resonant ZVS-PWM Inverter for Induction Cooking

ณรงค์ชัย ทศพร และ วิจิตร กิณรศ

ภาควิชาวิศวกรรมไฟฟ้า คณะวิศวกรรมศาสตร์ สถาบันเทคโนโลยีพระจอมเกล้าเจ้าคุณทหารลาดกระบัง
 ถนนฉลองกรุง เขตลาดกระบัง กรุงเทพฯ 10520

โทร 0-2737-3000 E-mail: kknarongchai@yahoo.com, kkwijit@kmitl.ac.th

บทคัดย่อ

บทความนี้นำเสนอการออกแบบ วิเคราะห์และสร้างอินเวอร์เตอร์ที่ดับเบิลยูเอ็มทีกรโชนันท์แบบขนานสวิตช์ขณะแรงดันเป็นศูนย์ สำหรับเตาหุงต้มเหนี่ยวนำ ด้วยหลักการความถี่สวิตช์คงที่ และปรับเปลี่ยนกำลังไฟฟ้าเอาต์พุต โดยการเพิ่มสวิตช์อนุกรมกับตัวเก็บประจุต่อกร่อมโวลต์ของอินเวอร์เตอร์ที่กรโชนันท์ซึ่งทำหน้าที่ลดแรงดันตกคร่อมสวิตช์หลัก ทำให้ขนาดพิกัดของอุปกรณ์สวิตช์ ไอจีบีที เล็กลงอีกทั้งเป็นการลดการสูญเสียเนื่องจากแรงดันตกคร่อมสวิตช์สูง ความคุมการทำงานของวงจรด้วยการแปลงการจำลองการทำงานของโปรแกรม Simulink บน โปรแกรมสำเร็จรูป MATLAB ความคุมการทำงานไมโครคอนโทรลเลอร์ dsPIC

คำสำคัญ : กรโชนันท์แบบขนานสวิตช์ขณะแรงดันเป็นศูนย์

Abstract

The paper presents the design, analysis and implementation of a Quasi-Parallel Resonant ZVS-PWM inverter for Induction Cooking with constant frequency and variable output power. The additional switch and series capacitor are used across the quasi-resonant load. This topology is used for reducing voltage across the main switch resulting in a reduction in IGBTs switch rating. Moreover turn-off switching loss is reduced due to high voltage across the switch. The control of the circuit operation is based on the transformation of the circuit operation in Simulink on dsPIC microcontroller.

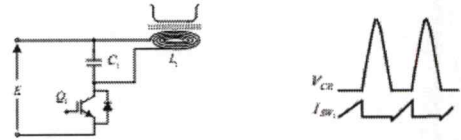
Keywords: Quasi-Parallel Resonant ZVS-PWM

1. บทนำ

ปัจจุบันการให้ความร้อนด้วยหลักการเหนี่ยวนำความถี่สูงถูกนำมาใช้มาทดแทนการให้ความร้อนแบบทางอ้อมโดยหลักการจ่ายกระแส

ไฟฟ้าสลับความถี่สูงให้กับขดลวดเหนี่ยวนำสร้างสนามแม่เหล็กเกี่ยวคล้องกับภาชนะหุงต้มที่ทำจากวัสดุชนิดสารตัวนำแม่เหล็กทำให้เกิดกระแสไหลวนที่กินภาชนะเป็นผลให้เกิดความร้อนและส่งผ่านไปยังการหุงต้มซึ่งเป็นการให้ความร้อนโดยตรง

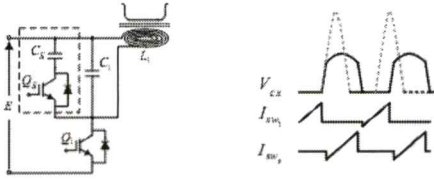
ปัจจุบันเตาหุงต้มแบบเหนี่ยวนำที่กำลังเป็นที่นิยมในท้องตลาดใช้อินเวอร์เตอร์ที่กรโชนันท์ควบคุมด้วยการปรับความถี่สวิตช์ (ZVS-PFM) [1] ดังรูปที่ 1 มีข้อดีคือมีขนาดเล็กควบคุมง่ายประสิทธิภาพสูง มีข้อด้อยคือแรงดันตกคร่อมในการสวิตช์ก่อนข้างสูง ทำให้เกิดปัญหาเกี่ยวกับขนาดของพิกัดของอุปกรณ์สวิตช์เมื่อนำมาใช้งานกับระบบแรงดันเอชซี 200V ขึ้นไปและการควบคุมด้วยการปรับความถี่สวิตช์ที่ผ่านความถี่สูงจะส่งผลให้เกิดสัญญาณรบกวน EMI กลับเข้าสู่ระบบเอชซี [2]



รูปที่ 1 อินเวอร์เตอร์ที่กรโชนันท์ควบคุมด้วยการปรับความถี่สวิตช์

การนำอินเวอร์เตอร์ที่กรโชนันท์มาใช้งานจึงจำเป็นต้องมีขนาดพิกัดของอุปกรณ์สวิตช์ที่มีขนาดพิกัดสูงมากเพื่อให้สามารถทนแรงดันตกคร่อมขณะเกิดการสวิตช์ การลดขนาดแรงดันตกคร่อมสวิตช์จึงเป็นทางเลือกหนึ่งซึ่งทำได้โดยการเพิ่มสวิตช์อนุกรมกับตัวเก็บประจุต่อขนานกับวงจรของโวลต์อินเวอร์เตอร์ที่กรโชนันท์ดังรูปที่ 2 เพื่อลดแรงดันตกคร่อมสวิตช์หลัก Q_1 ทำให้พิกัดอุปกรณ์สวิตช์เล็กลง ลดการเกิดสัญญาณรบกวนจากการปรับความถี่สวิตช์ ด้วยการควบคุมความถี่สวิตช์คงที่แบบดับเบิลยูเอ็มที [3]

ในบทความนี้เป็นการนำเสนออินเวอร์เตอร์ที่ดับเบิลยูเอ็มทีกรโชนันท์แบบขนาน [4] ปรับปรุงให้ใช้มีขนาดของพิกัดของอุปกรณ์สวิตช์เล็กลง ลดการสูญเสียเนื่องจากแรงดันตกคร่อมสวิตช์สูงใช้งานกับระบบแหล่งจ่ายเอชซี 220 V

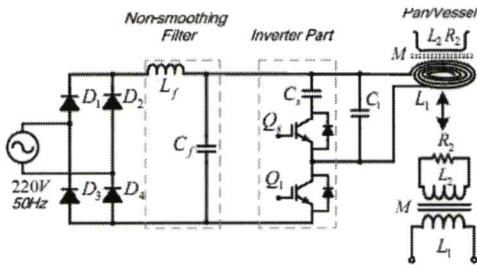


รูปที่ 2 อินเวอร์เตอร์ที่ดับเบิลยูเอ็มกีงรีโซแนนซ์แบบขนาน

2. อินเวอร์เตอร์ที่ดับเบิลยูเอ็มกีงรีโซแนนซ์แบบขนาน [4]

2.1 วงจรกำลัง

จากรูปที่ 3 ประกอบด้วยแหล่งจ่ายเอชซี 220 V 50 Hz ชุดรีคตีไฟเออร์ วงจรกรองแรงดันทางด้นเอาท์พุท L_f, C_f จ่ายให้วงจรอินเวอร์เตอร์โคมมิตัวเก็บประจุ C_s อนุกรมกับสวิตช์ Q_s ทำหน้าที่ลดแรงดันต้นกรรอมสวิตช์หลัก Q_1 ขดลวดเหนี่ยวนำ L_1 ขนาน C_1 และวงจรสมมูลเทียบเท่าหม้อแปลงไฟฟ้ของภาชนะหุงต้ม L_1, M, L_2, R_2

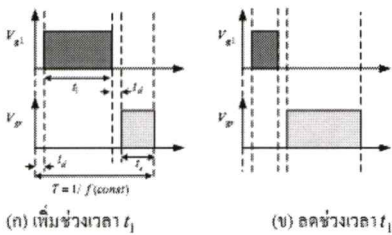


รูปที่ 3 วงจรกำลังและวงจรสมมูลโหลดภาชนะหุงต้ม

2.2 การควบคุมการทำงานของสวิตช์

ที่ความถี่สวิตช์ซึ่งคงที่สามารถควบคุมกำลังไฟฟ้เอาท์พุทได้โดยการปรับเปอร์เซ็นต์ดีวตีแฟกเตอร์ตามสมการที่ (1) ได้สัญญาณที่ดับเบิลยูเอ็มดังรูปที่ 4 เติมกำลังไฟฟ้เอาท์พุทโดยการปรับช่วงเวลา t_1 ให้กว้างออกและลดกำลังไฟฟ้เอาท์พุทโดยการปรับ t_1 ให้แคบลง

$$D = t_1 / T \quad (1)$$

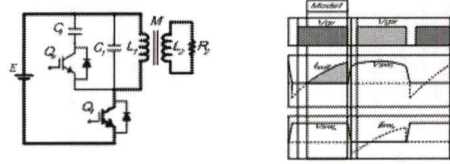


รูปที่ 4 สัญญาณขับเคลื่อน

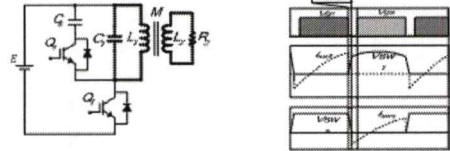
เมื่อ V_{s1} คือสัญญาณขับเคลื่อนสวิตช์ Q_1, t_1 ระยะเวลา Q_1 ทำงาน
 V_{s2} คือสัญญาณขับเคลื่อนสวิตช์ Q_2, t_2 ระยะเวลา Q_2 ทำงาน
 t_d คือช่วงปร่วงเวลา, D คือเปอร์เซ็นต์ดีวตีแฟกเตอร์

2.3 การวิเคราะห์โหมดการทำงาน

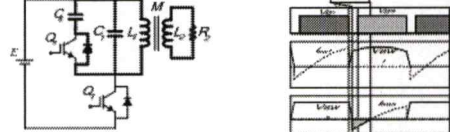
พิจารณาในสภาวะการทำงานคงที่ในหนึ่งไซเคิล ดีวตีแฟกเตอร์ 0.5 ความถี่สวิตช์ 20 kHz สามารถแบ่งโหมดการทำงานได้ดังนี้



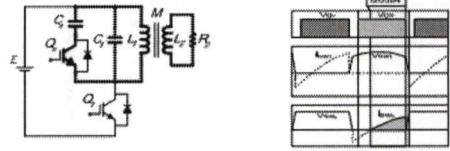
โหมด 1 $Q_1 : ON, D_1 : OFF, Q_2 : OFF, D_2 : OFF$



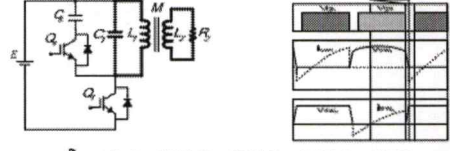
โหมด 2 $Q_1 : OFF, D_1 : OFF, Q_2 : OFF, D_2 : OFF$



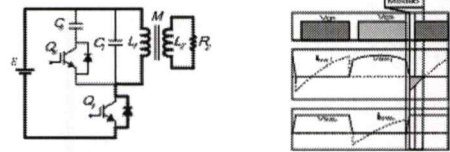
โหมด 3 $Q_1 : OFF, D_1 : OFF, Q_2 : OFF, D_2 : ON$



โหมด 4 $Q_1 : OFF, D_1 : OFF, Q_2 : ON, D_2 : OFF$



โหมด 5 $Q_1 : OFF, D_1 : OFF, Q_2 : OFF, D_2 : OFF$



โหมด 6 $Q_1 : OFF, D_1 : ON, Q_2 : OFF, D_2 : OFF$

รูปที่ 5 โหมดการทำงาน

โหมด 1 สวิตช์ Q_1 ทำงานขณะที่แรงดันเป็นศูนย์ กระแส i_{L_1} จะไหลผ่านขดลวดเหนี่ยวนำ L_1 เนื่องจากได้รับแรงดันจากแหล่งจ่าย E ซึ่ง L_1 จะเหนี่ยวนำ L_2 หรือภาระหนึ่งชุด โดยอาศัยหลักการรวมสมมูลหรือแปลงไฟฟ้า

โหมด 2 หลังจากสวิตช์ Q_1 หยุดทำงานจะเป็นโหมดของการเกิดโรยเนนทซ์ของ C_1, L_1, L_2, R_2 และ M (Mutual Inductance) เมื่อกระแสไหลผ่าน C_1 จนแรงดันที่ตัวเก็บประจุ C_1 มีค่าแรงดันตกคร่อมเท่ากับ $E - V_{C_1} - V_{C_5}$ ไดโอด D_1 จะเริ่มนำกระแสซึ่งจะเข้าสู่สภาวะการทำงานโหมดที่ 3

โหมด 3 ไดโอด D_1 ทำงานกระแสจะไหลผ่าน C_1 และ C_5 เนื่องจาก C_5 มีค่ามากกว่า C_1 มากๆ ส่งผลทำให้กระแสยังคงไหลผ่าน C_5 ซึ่งมีผลทำให้แรงดันที่ตกคร่อมสวิตช์ Q_1 ลดลงโดยโหมดนี้เป็นการลดแรงดันตกคร่อมสวิตช์หลัก Q_1

โหมด 4 สวิตช์ Q_2 ทำงานขณะที่แรงดันเป็นศูนย์ส่งผลให้กระแสไหลกลับทิศทางตรงกันข้าม

โหมด 5 สวิตช์ Q_2 หยุดทำงานจะเป็นโหมดของการเกิดโรยเนนทซ์ของ C_1, L_1, L_2, R_2 และ M จนกว่าแรงดันที่ตกคร่อม C_1 จะมากกว่าแหล่งจ่ายแรงดัน E ซึ่งจะทำให้ไดโอด D_1 ของสวิตช์ Q_1 นำกระแส

โหมด 6 เมื่อกระแส i_{L_1} มีค่าเป็นศูนย์ D_1 จะหยุดนำกระแสในขณะเดียวกันสวิตช์ Q_1 เริ่มทำงานอีกครั้งในโหมด 1

จากโหมดการทำงานในแต่ละสภาวะ อาศัยหลักการของวงจรมูลเหมือนแปลงไฟฟ้าเขียนเป็น State Equation ได้ดังนี้

จากโหมด 1 และโหมด 6 เขียนเป็น State Equation

$$\frac{d\phi_1}{dt} = \frac{1}{1-k^2} \left(E + \phi_2 \right), \quad \frac{dV_{C_1}}{dt} = 0 \tag{2}$$

$$\frac{d\phi_2}{dt} = \frac{1}{1-k^2} \left(k^2 E + \phi_2 \right), \quad \frac{dV_{C_5}}{dt} = 0 \tag{3}$$

จากโหมด 2 และโหมด 5 เขียนเป็น State Equation

$$\frac{d\phi_1}{dt} = \frac{1}{1-k^2} \left(V_{C_1} + \phi_2 \right), \quad \frac{dV_{C_1}}{dt} = \frac{\phi_1}{L_1 C_1} \tag{4}$$

$$\frac{d\phi_2}{dt} = \frac{1}{1-k^2} \left(k^2 V_{C_1} + \phi_2 \right), \quad \frac{dV_{C_5}}{dt} = 0 \tag{5}$$

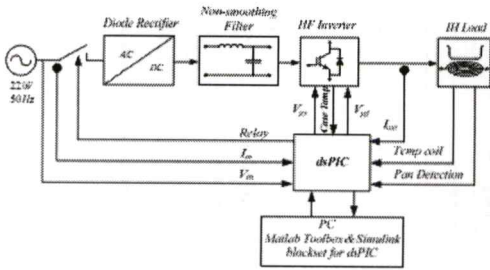
จากโหมด 3 และโหมด 4 เขียนเป็น State Equation

$$\frac{d\phi_1}{dt} = \frac{1}{1-k^2} \left(V_{C_1} + \phi_2 \right), \quad \frac{dV_{C_1}}{dt} = \frac{\phi_1}{L_1 (C_1 + C_5)} \tag{6}$$

$$\frac{d\phi_2}{dt} = \frac{1}{1-k^2} \left(k^2 V_{C_1} + \phi_2 \right), \quad \frac{dV_{C_5}}{dt} = \frac{\phi_1}{L_1 (C_1 + C_5)} \tag{7}$$

3. การออกแบบระบบควบคุมเหนี่ยวนำ

จากรูปที่ 6 เมื่อมีแรงดัน 220V ให้กับระบบซึ่งมีรีเลย์ป้องกันชุดรีเลย์ไฟเออร์จ่ายคิซีโวลท์ไปยังไอจีบีทีจนกว่าไมโครคอนโทรลเลอร์จะพร้อมทำงาน เมื่อมีการสั่งงานจะทำกริ่งโคไนท์กับระบบเมื่อรีเลย์จะขณะที่แรงดันเป็นศูนย์ขดลวดเหนี่ยวนำให้ชุดรีเลย์ไฟเออร์จ่ายคิซีโวลท์ไปยังไอจีบีทีระบบตรวจสอบสถานะหุงต้มจะทำงาน เมื่อมีไหลจะส่งสัญญาณไปยังชุดขับเคลื่อนกราวด์ V_{R1} และ V_{R2} สั่งงานไอจีบีทีจ่ายกระแสไฟฟ้าสลับความถี่ 20 kHz ให้กับขดลวดเหนี่ยวนำที่เพอร์เซ็นต์ดีวีดีที่เฟคเตอร์ต่างๆตามที่กำหนด โดยมีการป้องกันกระแสทางด้านเอาท์พุท ตรวจสอบกระแสและแรงดันอินพุทเพื่อรักษาตัวกำลังไฟฟ้าอินพุท ตรวจสอบอุณหภูมิของภาระหุงต้มเพื่อรักษาระดับอุณหภูมิ ตรวจสอบอุณหภูมิที่สวิตช์ไอจีบีทีป้องกันความเสียหายเนื่องจากคุณสมบัติการเปลี่ยนแปลงเนื่องจากอุณหภูมิ

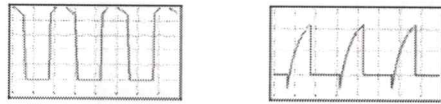


รูปที่ 6 บล็อกโคะแรมระบบควบคุมการทำงานของเตาหุงต้มเหนี่ยวนำ

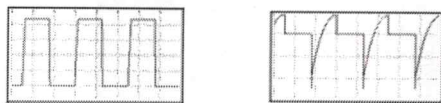
ค่าตัวแปรการออกแบบเตาหุงต้มเหนี่ยวนำเครื่องต้นแบบประกอบด้วย แหล่งจ่ายแรงดันไฟฟ้าคิซี 310V, ความถี่สวิตซ์ 20kHz, ตัวเก็บประจุ $C_1 = 0.16\mu F$, ตัวเก็บประจุ $C_5 = 3\mu F$, ขดลวดเหนี่ยวนำ $L_1 = 66\mu H$, Electromagnetic Coupling Coefficient; $k = 0.73$, Load Time Constant: $\tau = 0.84\mu sec$, ช่วงประวัติเวลา $t_d = 4\mu sec$

4. ผลการทดสอบอินเวอร์เตอร์

4.1 ผลการจำลอง



(ก) สวิตซ์ Q_1 สเกล: 100V/div; 20A/div; 20μsec/div



(ข) สวิตซ์ Q_2 สเกล: 100V/div; 20A/div; 20μsec/div



(ค) โหลด L_1 สเกล: 100V/div; 20A/div; 20µsec/div
รูปที่ 7 ผลการจำลองการทำงาน ที่คัตวี่แฟคเตอร์ 0.5

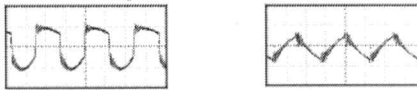
4.2 ผลการทดสอบเครื่องต้นแบบ



(ก) สวิตช์ Q_1 สเกล: 300V/div; 20A/div; 20µsec/div

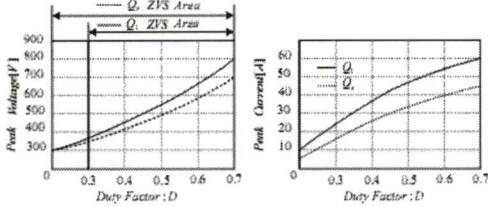


(ข) สวิตช์ Q_2 สเกล: 300V/div; 20A/div; 20µsec/div

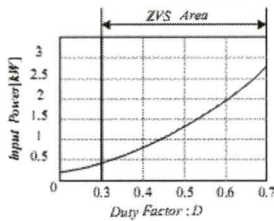


(ค) โหลด L_1 สเกล: 300V/div; 50A/div; 20µsec/div
รูปที่ 8 ผลการทดสอบที่คัตวี่แฟคเตอร์ 0.5

จากโหมดการทำงานในรูปที่ 5 ผลการจำลองรูปที่ 7 และผลการทดสอบรูปที่ 8 ได้ผลลัพธ์ที่สอดคล้องกัน และสามารถสรุปผลการทดสอบที่กักสูงสุคของกระแสและแรงดันของสวิตช์ Q_1 และ Q_2 ที่ค่าคัตวี่แฟคเตอร์ต่างๆดังรูปที่ 9



(ก) ความสัมพันธ์ระหว่างที่กักไอซีบีที Q_1, Q_2 กับคัตวี่แฟคเตอร์



(ข) ความสัมพันธ์ระหว่างกำลังไฟที่อินพุตกับคัตวี่แฟคเตอร์ รูปที่ 9 ความสัมพันธ์ระหว่างที่กักแรงดัน, ที่กักกระแส, กำลังไฟที่อินพุตและค่าคัตวี่แฟคเตอร์

จากรูปที่ 9 (ก) สวิตช์หลัก Q_1 ไม่สามารถสวิตช์ขณะแรงดันเป็นศูนย์เมื่อคัตวี่แฟคเตอร์ต่ำกว่า 0.3 และมากกว่า 0.7 ดังนั้นการเลือกขนาดที่กักปลอดภัยของไอซีบีทีและกำลังไฟที่อินพุตในการใช้งานจะอยู่ในช่วงคัตวี่แฟคเตอร์ระหว่าง 0.3-0.7

5. สรุป

จากผลการจำลองด้วยโปรแกรม MATLAB และผลการทดสอบเครื่องต้นแบบได้ผลลัพธ์ที่สอดคล้องกัน คือการเพิ่มสวิตช์ Q_2 อนุกรมกับตัวเก็บประจุ C , ต่อคร่อมโหลดถึงเรโซแนนซ์เพื่อลดแรงดันตกคร่อมสวิตช์หลัก Q_1 สามารถควบคุมแบบที่ดับเบิลยูเอ็มได้ที่มีความถี่สวิตช์ซึ่งคงที่ภายใต้เงื่อนไขสวิตช์ซึ่งขณะแรงดันเป็นศูนย์ในช่วงคัตวี่แฟคเตอร์ตั้งแต่ 0.3-0.7 และสามารถแก้ปัญหาขนาดที่กักของอุปกรณ์สวิตช์ให้ลดต่ำลง เมื่อนำมาใช้งานระบบแหล่งจ่ายอซี 220 V

เอกสารอ้างอิง

- [1] K Ogura, Hirota Y and Nakaoka M, "Comparative Performance Evaluations of IGBTs and MCT in Single-Ended Quasi-Resonant Zero Voltage Soft Switching Inverter." IEEE 32nd Annual, June 2001.
- [2] Kwang-Joo Choi, Hyun-Woo Lee and M Nakaoka, "An Improved Prototype of Soft Switching Duty Cycle Controlled High Frequency Inverter with Minimum Circuit Components." , ICIT, IEEE, Dec 2005.
- [3] I Hirota, H Yamashita, H Omori, M Nakaoka, "Induction-heated Cooking Appliance using new Quasi-Resonant ZVS-PWM Inverter with Power Factor Correction", IEEE Transactions, 1998.
- [4] M Nakaoka, I Hirota, H Yamashita, H Omori, "Performance Evaluation of Edge-Resonant ZVS-PWM High-frequency Inverter using Trench-gate IGBTs for Consumer Induction Cooking Heater." Electric Power Applications, Sept. 2004.



ณรงค์ชัย ทศพร การศึกษาระดับวศบ. จาก สจล. ปัจจุบันกำลังศึกษาต่อระดับปริญญาโท (วศ.ม.) สาขาวิศวกรรมไฟฟ้า (สจล.)



วิจิตร กิณทร สำเร็จการศึกษาระดับวศบ. (เกียรตินิยมอันดับ2), วศ.ม. จาก สจล. และ Ph.D. จาก University of Nottingham, UK. ปัจจุบันดำรงตำแหน่งรองศาสตราจารย์

ประจำภาควิชาวิศวกรรมไฟฟ้า สจล. สนใจงานวิจัยทางด้าน Power electronic and Electric Driver.

ประวัติผู้เขียน

ชื่อ - นามสกุล นายณรงค์ชัย ทศพร
วัน เดือน ปีเกิด 17 ตุลาคม 2520
ที่อยู่ 27 หมู่ 10 ต. สากเหล็ก กิ่ง อ. สากเหล็ก จ. พิจิตร 66160
ประวัติการศึกษา 2546 วิศวกรรมศาสตรบัณฑิต (วศ.บ) สาขาวิชาวิศวกรรมไฟฟ้า
สถาบันเทคโนโลยีพระจอมเกล้าเจ้าคุณทหารลาดกระบัง
2540 ประกาศนียบัตรวิชาชีพชั้นสูง (ปวส.) สาขาวิชาไฟฟ้ากำลัง
วิทยาลัยเทคนิคพิษณุโลก
2538 ประกาศนียบัตรวิชาชีพ (ปวช.) สาขาวิชาไฟฟ้ากำลัง
วิทยาลัยเทคนิคพิษณุโลก